

Université de Montréal

Impact épigénomique de mutations associées à des syndromes neurodéveloppementaux dans
des régulateurs de la chromatine

par Sophie Ehresmann

Programmes de Biologie Moléculaire

Faculté de Médecine

Mémoire présenté en vue de l'obtention du grade de Maîtrise
en Biologie Moléculaire
option Générale

Avril, 2019

© Sophie Ehresmann, 2019

Résumé

Les syndromes neurodéveloppementaux, caractérisés par un déficit intellectuel, un retard global du développement, ou un trouble du spectre de l'autisme, affectent environ cinq pourcents de la population. De ceux-ci, une grande partie de leur génétique sous-jacente est encore inconnue. Des mutations dans des composantes de complexes de remodelage de la chromatine ont été associées précédemment à plusieurs syndromes neurodéveloppementaux, impliquant des modifications épigénétiques de l'ADN ou d'histones, et le remodelage de nucléosomes. Nous avons identifié des individus porteurs de mutations dans *TRRAP*, un gène impliqué dans les complexes histone acétyl-transférase, *SMARCC2*, une protéine structurale du complexe de remodelage des nucléosomes SWI/SNF, et *CHD3*, l'une des hélicases ATP-dépendantes du complexe de remodelage des nucléosomes NuRD. Pour les trois, nous avons étudié à l'échelle cellulaire l'expression génique globale et l'ouverture de la chromatine dans des cellules provenant de certains de ces individus par séquençage à haut débit. Ainsi pour chacun des groupes d'individus, nous avons pu démontrer que certains gènes sont différentiellement exprimés, et dans le cas d'individus porteurs de mutations dans *TRRAP*, que plusieurs de ces gènes sont associés à une plus grande ouverture de la chromatine au niveau de leur promoteur; une grande partie d'entre eux ayant un rôle dans le développement neural ou la fonction neuronale.

Mots-clés

Syndrome Neurodéveloppemental, RNAseq, ATACseq, Acétylation d'histones, remodelage de nucléosomes, *TRRAP*, *SMARCC2*, *CHD3*

Abstract

Neurodevelopmental syndromes, characterized by a global developmental delay, intellectual deficiency, or autism spectrum disorders, affect around five percent of the population. Of these, a large part of their genetic causes remains unresolved. Lately, mutations in subunits of large chromatin remodeling complexes have been associated with neurodevelopmental syndromes, affecting DNA and histone modifications, as well as nucleosome remodeling. We have identified individuals carrying mutations in *TRRAP*, a component of multiple histone acetyltransferase complexes; *SMARCC2*, a structural protein involved in the formation of the BAF (SWI/SNF) nucleosome remodeling complex; and *CHD3*, one of the ATP-dependent helicases of the NuRD nucleosome remodeling complex. For these three genes, we characterized gene expression patterns and chromatin structure for several individuals harboring *de novo* mutations by RNAseq and ATACseq in individuals' fibroblasts or lymphoblastoid cell lines. We observed that they showed differential expression for a number of genes, of which a large proportion is associated with neural development or neuronal function. We also showed that some differentially expressed genes in *TRRAP* individuals are also associated with a higher chromatin opening at their promoter.

Keywords

Neurodevelopmental syndrome, RNAseq, ATACseq, Histone acetylation, Nucleosome remodeling, *TRRAP*, *SMARCC2*, *CHD3*

Table des matières

Université de Montréal	ii
Résumé.....	i
Mots-clés.....	i
Abstract.....	ii
Keywords.....	ii
Table des matières.....	iii
Liste des tableaux.....	vi
Liste des figures	vi
Liste des sigles	viii
Remerciements.....	xi
1. Introduction.....	xi
1.1 Remarques générales	1
1.2 Les mécanismes de l'épigénétique.....	2
1.2.1 L'ADN et sa composition	2
1.2.2 La chromatine et les nucléosomes	4
1.2.3 Les histones et leurs variantes.....	5
1.2.4 Les modifications d'histones	7
1.3. Le développement neural	9
1.3.1 Différenciation séquentielle des différents types cellulaires du cerveau	9
1.3.1.a Cellules Souches Neurales et Cellules Neuroépithéliales	9
1.3.1.b Progéniteurs Apicaux.....	11
1.3.1.c Progéniteurs Basaux.....	11
1.3.2 Voies moléculaires de la différenciation neurale.....	13
1.3.2.a Pluripotence et Auto-Renouvellement	14
1.3.2.b Neurogenèse.....	15
1.3.2.c Astrogenèse	16
1.3.2.d Oligodendrogenèse	17
1.3.3 L'épigénétique dans le développement neural.....	18
1.3.3.a Le Complexe BAF	19
1.3.3.b Le Complexe NuRD	22

1.3.3.c <i>TRRAP</i> et le complexe TIP60	24
1.4. Retard du développement, déficit intellectuel, et autisme	27
1.4.1 Définitions et informations générales	27
1.4.2 Caractérisation des phénotypes étudiés	29
1.4.2.a Les BAFOpathies et <i>SMARCC2</i>	29
1.4.2.b Syndrome Neurodéveloppemental associé à <i>CHD3</i>	31
1.4.2.c Syndrome Neurodéveloppemental associé à <i>TRRAP</i>	32
1.5. Gènes à l'étude.....	33
1.5.1 SMARCC2: SWI/SNF Related, Matrix Associated, Actin Dependent Regulator of Chromatin Subfamily C Member 2.....	33
1.5.2 CHD3: Chromodomain Helicase DNA binding protein 3	35
1.5.3 TRRAP: Transformation/Transcription domain Associated Protein	36
1.6 Problématique et Hypothèses.....	37
2. Matériel et Méthodes	38
2.1. Génération de lignées fibroblastiques et lymphoblastoïques et extraction d'ARN	38
2.1.1 Génération de lignées et extraction d'ARN.....	38
2.1.2 Séquençage et qPCR	40
2.2. Analyse Bioinformatique	42
2.2.1 Séquençage de l'ARN	42
2.2.2 ATACseq	43
2.2.3 Analyse du regroupement statistique des mutations.....	43
3. Résultats.....	44
3.1 Des mutations dans le gène <i>TRRAP</i> sont associées à un syndrome neurodéveloppemental et induisent des changements d'expression génique.....	44
3.1.1 Mise en situation	44
3.1.2 Article 1	45
3.1.2. Vérification des résultats de RNAseq	85
3.1.3 Séquençage de l'ARNm de LCLs d'individus <i>TRRAP</i>	86
3.2. Des mutations dans <i>SMARCC2</i> sont associées à un syndrome neurodéveloppemental et causent des changements d'expression génique	88
3.2.1 Mise en situation	88
3.2.2 Article 2	89

3.3 Des mutations dans CHD3 sont associées à un syndrome neurodéveloppemental et induisent des changements d'expression génique.....	131
3.4 Analyse de l'ouverture de la chromatine dans des fibroblastes d'individus TRRAP, SMARCC2, et CHD3.....	133
4. Discussion	136
Bibliographie.....	143
Annexe I : Gènes différemment régulés dans les fibroblastes ou LCLs d'individus porteurs de variants dans <i>SMARCC2</i> , <i>TRRAP</i> , et <i>CHD3</i>	i

Liste des tableaux

Tableau I - Syndromes associés aux hélicases de la famille CHD	32
Tableau II - Syndromes Associés aux KATs/KDACs.....	33
Tableau III - Cellules utilisées dans les expériences.	39
Tableau IV: Séquence des amorces utilisées pour la quantification par PCR en temps réel.	
.....	42
Tableau V - Gènes différentiellement régulés dans les LCLs d'individus porteurs de variants dans TRRAP impliqués dans le développement neural.	87
Tableau VI - Gènes différentiellement régulés dans des fibroblastes d'invididus porteurs de mutations dans <i>CHD3</i> impliqués dans le développement neural.	132
Tableau VII - Gènes significatifs en RNAseq et ATACseq pour des fibroblastes TRRAP.	
.....	135

Liste des figures

Figure 1: L'épigénétique régule l'expression génique en modifiant la chromatine (Mirabella et al, 2016).....	2
Figure 2: Les résidus des queues d'histones peuvent être modifiées. (Lawrence et al., 2016)	
.....	7
Figure 3: Différenciation séquentielle des progéniteurs neuraux au cours du développement mammifère	12
Figure 4: Voies moléculaires impliquées dans la différenciation de cellules neurales	13
Figure 5: Les régulateurs de la chromatine sont impliqués dans le développement neural. (Sokpor et al, 2018)	18
Figure 6: Répartition des mutations associées à un syndrome neurodéveloppemental dans les gènes du complexe BAF (Adapté de Mashtalir, et al. 2018)	30
Figure 7: Localisation des mutations dans <i>CHD3</i> associées au syndrome Snijders-Blok-Campeau	35
Figure 8: Genotype-phenotype correlation associated with TRRAP variants.....	55
Figure 9: <i>TRRAP</i> sequence is intolerant to missense variants.....	57
Figure S2. Fibroblasts harboring the p.(Leu805Phe) or p.(Trp1866Cys) variants have differential gene expression patterns.	83

Figure 10: Vérification des gènes sélectionnés du RNAseq par qPCR.	86
Figure 11 : Les LCLs d'individus TRRAP présentent des gènes différentiellement régulés.	87
Figure 12: Pictures of ten of the individuals with SMARCC2 variants.	94
Figure 13: SMARCC2 (BAF170) main domains and variants.	96
Figure 14: Splicing variant analyses in Individual 8 and 4.	99
Figure 15: Fibroblasts harboring p.Leu610Pro or p.Asn134Asp SMARCC2 mutation have differential gene expression patterns when compared to fibroblasts from healthy controls.	102
Figure 16: Les fibroblastes porteurs de mutations dans <i>CHD3</i> présentent un profil d'expression génique différent.	131

Liste des sigles

- TSS : Transcription Start Site
- DMR : Differentially Methylated Region
- MBP : Methyl Binding Protein
- CPN : Cœur Protéique Nucléosomique
- NFR : Nucleosome Free Region
- CRC : Complexe de remodelage de la chromatine
- HAT : Histone Acetyl-Transferase
- KAT : Lysine Acetyl-Transferase
- HDAC : Histone Deacetylase
- KDAC : Lysine Deacetylase
- SNC : Système Nerveux Central
- CNE : Cellule Neuroépithéliale
- CSN : Cellule Souche Neurale
- PA : Progéniteur Apical
- ZV : Zone Ventriculaire
- PARG : Progéniteur Apical Radial Glial
- API : Apical Progenitor Intermediate
- LCR Liquide Céphalo Rachidien
- PB : Progéniteur Basal
- ZSV : Zone Sub-Ventriculaire
- PNE : Progéniteur Neuronale
- PAC : Progéniteur Astrocytaire
- POC : Progéniteur Oligodendrocytaire
- TCF : T-Cell Factor
- LEF : Lymphocyte Enhance Factor
- aPKC : Protéine Kinase C atypique
- SHH : Sonic Hedgehog
- PTCH : Patched
- SMO : Smoothened
- NICD : NOTCH Intracellular Domain

bHLH : basic Helix Loop Helix

BMP : Bone Morphogenic Protein

TGF β : Transformation Growth Factor beta

CNTF : Ciliary Neurotrophic Factor

LIF : Leukemia Inhibitory Factor

GFAP : Glial Fibrillary Acidic Protein

ISWI : Imitation Switch

CHD/NuRD : Chromodomain Helicase DNA binding / Nucleosome Remodeling Deacetylase

BAF : Brg or Brm Associated Factors

SWI/SNF : Switch / Sucrose Non Fermentable

esBAF : Embryonic Stem BAF

npBAF/nBAF : neural progenitor / neuronale BAF

PRC1 : Polycomb Repressor Complex 1

PKCd : Protein Kinase C delta

iPSC : induced Pluripotent Stem Cell

ATM : Ataxia telangiectasia mutated

NDD : NeuroDevelopmental Disorder

DD/RDG : Délai du Développement / Retard du Développement Global

DI : Déficit Intellectuel

TSA : Trouble du Spectre de l'Autisme

VTP : Variant Tronquant la Protéine

pLI : Probability of Loss-of-Function Intolerance

TDIIS : Troubles de Déficience Intellectuelle liés au SWI/SNF

CSS : Coffin-Siris Syndrome

NBS : Nicolas-Baraudster Syndrome

PHD : Plant Homeodomain

Chromo : Chromatin Organization Modifier

DUF : Domain of Unknown Function

ATACseq : Assay for Transposase Accessible Chromatin Sequencing

RNAseq : RNA Sequencing

PBS : Phosphate Buffer Saline

FBS : Fetal Bovine Serum

DMEM : Dulbecco's Minimum Essential Media

RPMI : Roswell Park Memorial Institute

LCL : Lymphoblastoïc Cell Line

GO : Gene Ontology

DEG : Differentially Expressed Gene

Remerciements

Je tiens tout d'abord à remercier Philippe pour m'avoir donné une chance malgré mon dossier académique peu performant; pour son soutien continual et de m'avoir laissé développer mes capacités en bio-informatique en dépit de mes connaissances initiales presque nulles dans le domaine. Je remercie particulièrement Justine, qui a été un pilier de mon cheminement académique et personnel, une personne inspirante qui m'a permis de rester saine toutes ces années. Je remercie Nissan, Mai, les stagiaires et employés du laboratoire qui m'ont beaucoup appris et ont su garder une bonne ambiance. Je remercie aussi mes amis et ma famille qui m'ont soutenue et aidée.

Introduction

1.1 Remarques générales

Depuis la découverte de la double hélice d'ADN par Watson, Crick et Franklin¹, et de la structure des acides nucléiques par Pauling et Corey en 1953², le dogme principal de la biologie moléculaire se résume en trois mots: ADN, ARN, protéine. Depuis, des avancées majeures ont permis la découverte des mécanismes de régulation opérant à travers ce dogme pour permettre d'affiner les subtilités de l'homéostasie cellulaire. Notamment, l'équilibre de l'expression d'ARN a été démontré comme étant un phénomène complexe et indispensable, reposant sur une organisation infinitésimale de régulateurs de l'expression génique. De ces régulateurs, certains agissent sur la structure même de la chromatine afin de modifier à la fois sa composition chimique au niveau de l'acide nucléique ou de l'histone, et sa compaction à l'échelle locale. Ces trois mécanismes, soit la modification directe de l'ADN, l'ajout ou la rétraction de groupes chimiques sur les octamères d'histones, et le remodelage de la chromatine forment l'épigénétique: l'information «au-dessus» de la génétique (Figure 1). Sans changer la nature même de l'ADN, l'épigénétique est, à travers l'action des régulateurs de la chromatine et par sa nature à la fois transmissible et malléable, le chef d'orchestre du destin cellulaire qui différencie un neurone d'un ostéoblaste. De par la complexité de cette organisation et le nombre de régulateurs responsables du maintien ou du changement des marques de l'épigénétique, le système est sensible et vulnérable à des variations. Ainsi, de nombreuses mutations dans ces régulateurs épigénétiques ont été rapportées comme étant pathogéniques et des causes de maladies telles que le cancer ou des troubles neurodéveloppementaux (Neurodevelopmental Disorders, ou NDDs). Dans le cadre de ce présent mémoire, des mutations dans des régulateurs épigénétiques qui n'ont précédemment pas été associés à des maladies humaines impliquant le neurodéveloppement seront étudiées afin d'établir de nouveaux liens entre régulateurs épigénétiques et le neurodéveloppement.

1.2 Les mécanismes de l'épigénétique

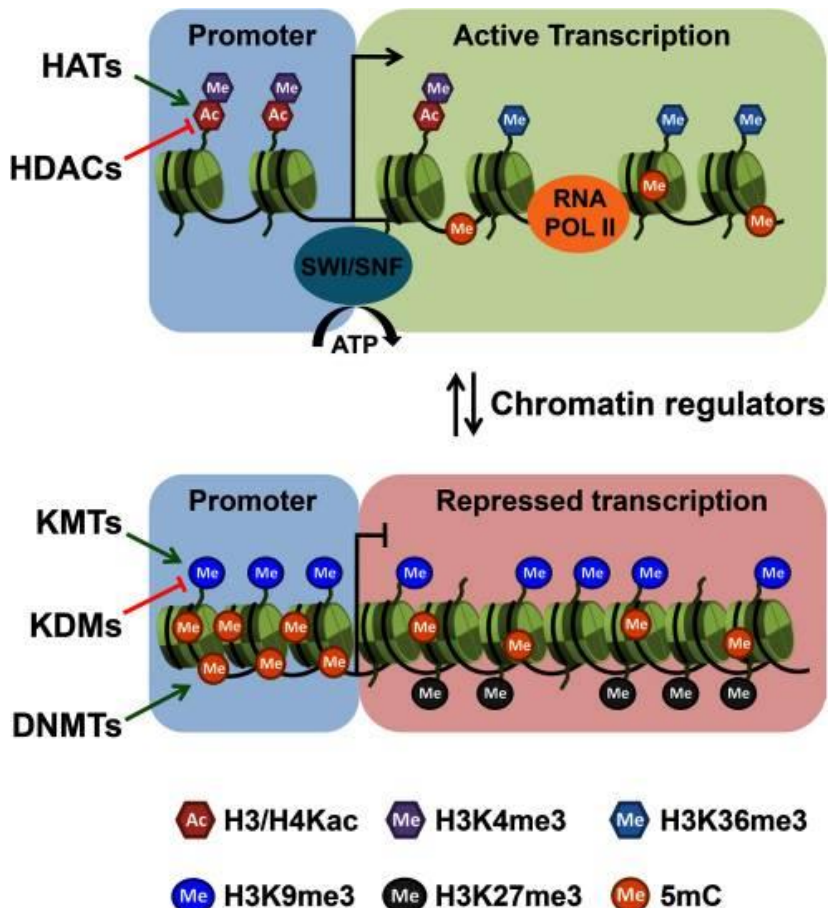


Figure 1: L'épigénétique régule l'expression génique en modifiant la chromatine (Mirabella et al, 2016). Schéma montrant les modifications possibles de la chromatine, soit les modifications d'histones (méthylation, acétylation), la modification de l'ADN (méthylation), et le déplacement de nucléosomes. La polymérase à ARN (RNA POL II) n'a accès à la chromatine que quand sa structure est accessible. HAT : Histone Acétyltransférase, HDAC : Histone Deacetylase, KMT : Lysine Méthyltransférase, KDM : Lysine Déméthylase, DNMT : Déméthylase de l'ADN.

1.2.1 L'ADN et sa composition

La molécule d'ADN, ou acide désoxyribonucléique, est porteuse de l'information génétique par sa séquence. Elle est formée d'une succession de nucléotides qui sont rajoutés les uns après les autres pour former des chromosomes allant de 250 millions de paires de bases à 46 millions pour une totalité de plus de trois milliards de paires de bases^{3,4}. Les nucléotides traditionnels sont l'adénosine (A), la Thymine (T), la Guanine (G), et la Cytosine (C). Ce dernier

nucléotide est unique dans sa capacité à être modifié de façon covalente par l'addition d'un groupement méthyle (CH_3) pour devenir du 5-méthylcytosine. Cette réaction est catalysée par des enzymes méthyltransférases à ADN (DNA methyltransferase, DNMT)⁵, tandis que la déméthylation peut se faire de façon passive pendant la réPLICATION où l'ADN nouvellement synthétisé ne porte pas de modification et elle n'est pas rajoutée de façon subséquente⁵. Ainsi, la marque épigénétique à ce locus précis est perdue après plusieurs cycles de réPLICATION. Sinon, la déméthylation peut se faire de façon active en plusieurs étapes qui permettront d'enlever le groupement méthyle, en substituant le nucléotide modifié par une cytosine à travers la modification par les enzymes de la famille TET, ou en excisant une région entière et la réparant avec des nucléotides non-modifiés⁶.

La méthylation de l'ADN est généralement considérée comme une marque de réPRESSION de l'expression, principalement à travers la méthylation d'îlots CpG (une Cytosine reliée à une Guanine par un seul phosphate) qui se trouvent au niveau des sites de début de transcription (transcription start-site; TSS)⁵. Près de 70% des promoteurs annotés dans le génome humain sont associés à ces régions caractérisées par un haut taux de G/C et un enrichissement de CpG, et qui permettent une régulation de l'initiation de la transcription⁵. La méthylation permet d'établir une réPRESSION à long terme d'une région transcrrite car la déméthylation spontanée est un événement extrêmement rare⁶.

Chez les mammifères, les cellules embryonnaires sont dénudées d'une grande partie des marques de méthylation dans leurs premiers instants^{5,7}. Ensuite, de nouvelles marques sont établies et maintenues lors de la différenciation cellulaire, notamment pour empêcher l'expression de gènes de pluripotence, mais aussi l'expression de transposons et d'un allèle des gènes soumis à empreinte parentale^{5,8,9}. La méthylation *de novo* de l'ADN se fait sous l'action de la protéine DNMT1 tandis que la maintenance se fait par DNMT3A et B⁹. Alors, la méthylation de certaines régions du génome permet le recrutement de protéines les reconnaissant spécifiquement: les MBPs (Methyl Binding Proteins, ou Protéines de Liaison au Méthyle)^{10,11}. Les MBPs peuvent coordonner un effet réPRESSEUR en recrutant des co-réPRESSEURS qui empêcheront la liaison de la machinerie de transcription ou d'enzymes permettant d'inverser la réACTION et de retrouver un nucléotide non-modifié. Elles peuvent aussi recruter des complexes

capables de remodeler les nucléosomes l’entourant et compacter l’ADN afin de stabiliser la région réprimée^{12,13}.

1.2.2 La chromatine et les nucléosomes

Le brin d’ADN est formé de nucléotides qui forment une double hélice. Cette dernière s’enroule autour de complexes protéiques nommés nucléosomes qui permettent une compaction de la molécule d’ADN afin d’en réduire son volume. Le nucléosome comprend le cœur protéique nucléosomique (CPN) et l’ADN qui l’entoure. Le CPN est lui-même composé de sous-unités nommées histones, soit H2A, H2B, H3, et H4, qui sont présentes chacune en deux exemplaires pour former un octamère^{13,14}. Chacune de ces sous-unités possède aussi des variantes (sauf H4) codées par des gènes différents et pour lesquels différentes fonctions sont associées¹⁵. Les nucléosomes sont aussi associés à des histones de liaison H1 qui permettent de lier un CPN à l’ADN de liaison entre deux nucléosomes. Par ce fait, la région est compactée et le nucléosome est stabilisé. Les histones étant porteuses de charges positives, il est convenu que la force d’interaction entre le nucléosome et l’ADN chargé négativement se fait par des interactions électrostatiques. Un nucléosome est entouré de 145-147 nucléotides, et un nucléosome est généralement trouvé toutes les 200 paires de bases¹⁶.

La chromatine existe principalement sous deux états: l’euchromatine qui est considérée comme une conformation «ouverte» où la machinerie de transcription et d’autres complexes sont en mesure d’accéder à la chromatine, et l’hétérochromatine où la compaction de la chromatine ne permet pas la liaison de facteurs de transcriptions et d’autres complexes protéiniques¹⁷⁻¹⁹. Ces régions sont limitées dans l’espace, c’est à dire qu’à un moment donné, certains domaines de la chromatine se trouvent sous forme d’euchromatine tandis que d’autres sont maintenus fermés. De plus, l’hétérochromatine peut être fermée en tout temps, comme dans les régions des gènes soumis à l’empreinte; elle est nommée hétérochromatine constitutive^{9,18}. Sinon, elle peut être fermée uniquement à certains moments selon le type cellulaire, le stade de différenciation, ou même la phase du cycle cellulaire²⁰⁻²³. Tous ces mécanismes sont dépendants des nucléosomes et de leur position dans la chromatine, où le consensus général tend vers une accumulation de nucléosomes dans des régions fermées du

génome, à l'inverse de régions relativement dépourvues de nucléosomes (Nucleosome Free Regions, NFRs) lorsqu'elles sont transcriptionnellement actives²⁴.

Les complexes responsables du remodelage de la chromatine sont multiples et permettent plusieurs réactions qui modifieront la position ou la composition du CPN. Ils peuvent, par leur fonction hélicase ATP-dépendante, déplacer des nucléosomes à la paire de base près le long d'un brin d'ADN^{25,26}. De plus, ils peuvent modifier un nucléosome en expulsant une ou plusieurs histones, déstabilisant le nucléosome²⁷. La composition unique du complexe déterminera les séquences cibles en combinant des protéines ayant des domaines de reconnaissance de séquences ou de marques épigénétiques spécifiques.

1.2.3 Les histones et leurs variantes

Le CPN est formé de deux copies de chaque histone du cœur, et chacune d'entre elle peut exister sous leur forme canonique, ou sous la forme d'une variante. Les variantes sont codées par des gènes différents et sont aussi stabilisées dans le noyau par des chaperonnes différentes des histones constitutives¹⁵. Du fait de leur propension à sédimenter ensemble, il est indispensable de les associer à une chaperonne qui pourra aussi leur donner une spécificité de ciblage dans le génome par ses sites de liaison distincts. Chaque chaperonne est porteuse d'un dimère d'histones H3/H4 ou H2A/H2B, où chacune des histones peut se trouver sous sa forme canonique ou d'une variante, de sorte à créer des homo-dimères ou hétéro-dimères^{15,27}. Contrairement aux histones canoniques, la transcription des gènes codants pour les variantes n'est pas dépendante de la réplication. Au contraire, leur transcription est régulée par différents signaux, tels que la réparation aux dommages à l'ADN, l'augmentation de la transcription, ou la différenciation cellulaire^{15,27-29}. L'échange d'histones peut se faire par le désassemblage total de nucléosomes par des complexes de remodelage de la chromatine, puis la reformation de nucléosomes en utilisant de nouveaux dimères d'histones pouvant comprendre des variantes. Sinon, un nucléosome peut aussi être déstabilisé et un unique dimère déplacé du CPN. Ensuite, un nouveau dimère est déposé par une chaperonne et restabilise la structure du nucléosome^{28,30}.

Le dépôt d'histones ayant des séquences légèrement différentes, et donc des propriétés chimiques et physiques différentes permet à plusieurs mécanismes épigénétiques de se produire. Premièrement, des protéines comprenant des domaines de liaison à ces variantes d'histones

peuvent s'y lier, et donc conférer une spécificité de liaison à la chromatine qui va au-delà de la simple séquence. De ce fait, l'histone H2A.X est spécifiquement phosphorylée (γ H2AX) aux sites de bris de l'ADN, permettant le recrutement et le maintient à ces sites, ou *foci*, de la machinerie de réparation des dommages à l'ADN^{31,32}. Notamment, la chromatine est décondensée au niveau des *foci* de dommages à l'ADN, probablement par les complexes de remodelage de la chromatine qui y sont recrutés par affinité pour γ H2AX³². Ensuite, les propriétés de différentes variantes confèrent au nucléosome une stabilité en conséquence. Certaines variantes étant plus sensible *in vitro* à un gradient de sel; elles se délogeant plus facilement de la chromatine *in vitro*, probablement à cause d'interactions moins fortes avec le reste du CPN ou l'ADN^{15,30}. Ainsi, la variante H3.3 est plus présente au niveau des TSS, correspondant au besoin de la polymérase à ARN POL II de déplacer les nucléosomes lors de la transcription^{30,31}.

1.2.4 Les modifications d'histones

Chaque histone forme une structure particulière incluant une queue N-terminale et un cœur globulaire positionnée plus centralement au nucléosome. Sur ceux-ci, certains acides aminés peuvent être modifiés chimiquement pour rajouter de façon réversible des groupements permettant d'altérer les interactions entre nucléosome et ADN, ou de changer les interactions spécifiques avec d'autres protéines (Figure 2)³³. Toutes les histones peuvent être modifiées, bien que les histones du CPN soient les plus étudiées^{16,34}. Les queues des histones étant positionnées à l'extérieur du CPN, elles sont donc plus accessibles et plus facilement modifiables, mais des modifications du cœur d'histone sont aussi possibles. Malgré leur rôle important dans la biologie cellulaire, les queues d'histones peuvent être complètement tronquées sans impact sur la stabilité du CPN³⁵. C'est donc leur rôle dans la formation de la structure locale et globale de la chromatine qui est indispensable.

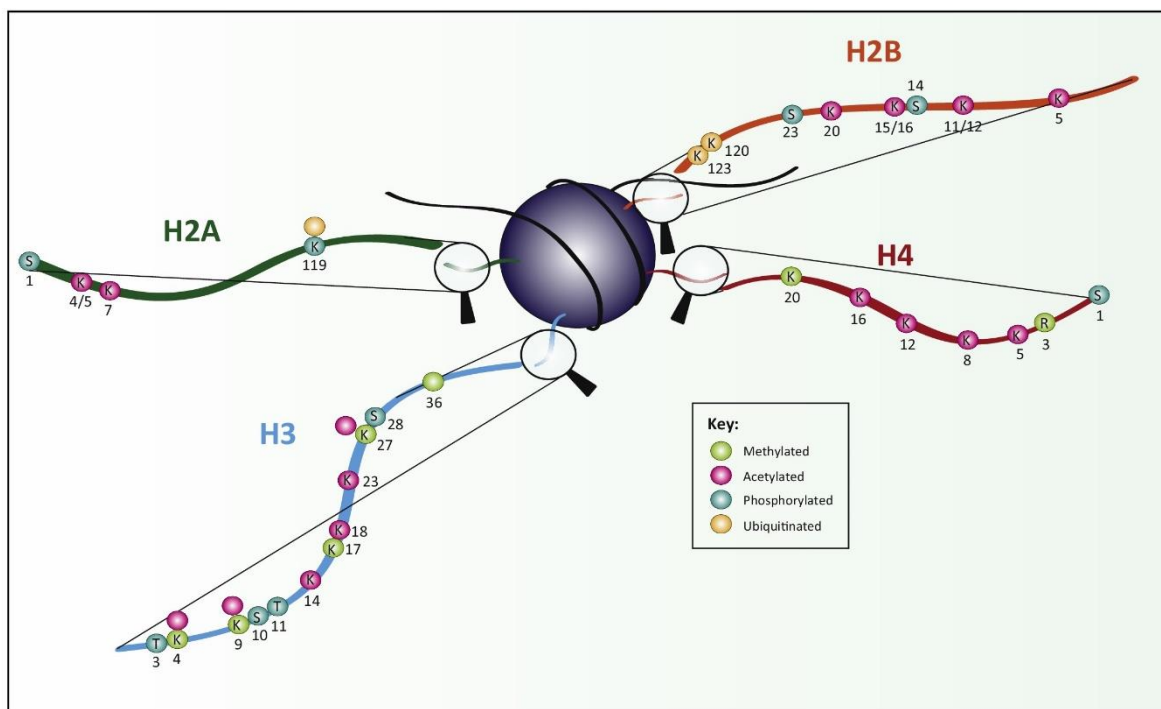


Figure 2: Les résidus des queues d'histones peuvent être modifiés. (Lawrence et al., 2016). Chaque résidu est indiqué par son code uni-lettre, soit T : Thréonine, S : Sérine, K : Lysine, R : Arginine. La modification du résidu est indiquée par sa couleur, soit vert : méthylation, rose : acétylation, bleu : phosphorylation, jaune : ubiquitination.

Ainsi, sachant que les interactions se font principalement grâce aux charges positives des histones en complément des charges négatives de l'ADN, l'ajout de groupements acétyles permet la neutralisation de l'histone et donc la déstabilisation de ces interactions^{16,33}. Par conséquent, la structure de la chromatine décondensée et plus accessible pour la transcription. L'ajout de groupements acétyles sur les lysines d'histones est médié par des Histones Acétyle-Transférases (HAT) ou Lysine Acétyle-Transférases (KAT), tandis que le retrait de ces modifications se fait par des Histones Déacétylases (HDAC) ou Lysine Déacétylases (KDAC)¹⁶. Les HAT et HDAC sont spécifiques aux histones, tandis que les KAT et KDAC peuvent aussi acétyler d'autres protéines. Chacune permet de modifier une ou plusieurs lysines distinctes, permettant l'obtention de profils uniques selon l'expression de certaines HAT ou HDAC. Certaines acétylations sont connues comme étant des signes évidents d'une région transcriptionnellement active, comme H3K27Ac, H3K4Ac, ou encore H2AK7Ac^{16,36}.

La seconde modification d'histone est la méthylation de résidus lysines. Contrairement à l'acétylation, la méthylation ne cause pas de modification au niveau de la chimie du nucléosome¹⁶. Par contre, elle permet le recrutement d'autre facteurs qui amplifient le signal à travers la poly-méthylation (jusqu'à trois groupements sur la même lysine) et le recrutement de complexes de remodelage de la chromatine comme PRC1/2³⁷, ou même empêche le recrutement de certains facteurs en cachant le site de liaison. De plus, il n'y a pas de consensus quant au rôle de la méthylation des lysines d'histones. En effet, elle a généralement un rôle de répression, comme pour H3K27me3 qui est notamment associée à la répression par son rôle antagoniste à l'acétylation, et est une marque indispensable pour l'inactivation du chromosome X³⁸. Certaines méthylations sont aussi des marques de l'hétérochromatine constitutive comme H4K20me3, H3K9me3, et H3K79me3. Par contre, H3K36me3 est une marque enrichie dans les régions transcriptionnellement actives, mais aussi présente dans l'hétérochromatine constitutive de certains gènes soumis à l'empreinte^{39,40}. Enfin, H3K4me2 est une marque épigénétique intéressante car elle est présente en complément avec des marques de répression comme H3K27me3 dans des régions qui ne sont pas transcriptionnellement actives, mais qui le deviendront dans le développement, acquérant à la place la marque activatrice H3K27ac^{41,42}. Ce phénomène forme des régions de préparation à la transcription (« poise ») qu'on appelle bivalentes, c'est à dire de l'hétérochromatine facultative. Autre que les lysines, certains résidus

d'arginine peuvent aussi être méthylés, et ces méthylations sont principalement associées à l'activation de la transcription^{16,36}.

Les queues d'histones étant à l'extérieur du CPN, elles sont bien plus accessibles par les enzymes capables de les modifier. Pourtant, un nombre de résidus localisés sur la surface globulaire du nucléosome ont été détectés portant des modifications, et sont nécessaires pour plusieurs mécanismes cellulaires. Par exemple, H3K79me3 est indispensable pour le raccourcissement des télomères causé par la sénescence⁴³, et H3K122Ac augmente l'éviction de nucléosomes *in vitro* et stimule la transcription en s'intercalant directement entre le CPN et le brin d'ADN qui l'entoure^{16,44}.

D'autres modifications peuvent être sources de signaux sur les nucléosomes, comme la phosphorylation, l'ubiquitination, l'ADP ribosylation, la déamination, ou la sumoylation¹⁵. Notamment, la phosphorylation par les kinases Aurora A et B sont nécessaires lors de la mitose pour l'hypercondensation des chromosomes et le recrutement d'enzymes capables de déacétyler les histones du CPN pour stimuler des interactions inter-nucléosomes^{45,46}.

1.3. Le développement neural

1.3.1 Différenciation séquentielle des différents types cellulaires du cerveau

1.3.1.a Cellules Souches Neurales et Cellules Neuroépithéliales

Le système nerveux central (SNC) est formé de cellules provenant de l'ectoderme qui se différencient en les premières cellules neurales: les cellules neuroépithéliales (CNE). Celles-ci donneront lieu aux cellules souches neurales (CSNs), ou cellules progénitrices neurales, la source de toutes les cellules neurales du cerveau^{47,48}. Sachant que la totalité des cellules neurales proviennent d'une petite population de cellules, et que le destin cellulaire est engagé relativement tôt dans la différenciation de la cellule, il est important de différencier les deux types de divisions qu'elles peuvent engager. La première est la division dite proliférative, ou symétrique, tandis que la seconde est de différenciation, ou asymétrique. Le caractère symétrique ou asymétrique est coordonné par l'orientation du fuseau mitotique en comparaison à la composition de la membrane de la cellule. En effet, certains éléments du cortex cellulaire

et du cytoplasme peuvent être ségrégés à certaines régions de façon parallèle ou perpendiculaire au fuseau mitotique^{48,49}. Si la séparation est parallèle au fuseau, alors la cytokinèse permet la séparation de deux cytoplasmes et deux membranes porteurs de facteurs différents. Par conséquent, il est possible d'obtenir deux cellules filles différentes dans une même division cellulaire. Ainsi, dans le cas d'une division asymétrique d'une CSN, une des cellules filles conserve ses traits de cellule progénitrice, tandis que l'autre peut engager un destin cellulaire terminal. De plus, les divisions symétriques peuvent se produire soit pour amplifier la population de progéniteurs souches qui n'ont pas enclenché un profil de différenciation, ou des progéniteurs qui sont déjà destinés à un type cellulaire particulier afin de contrôler spécifiquement le nombre de cellules correspondant à chaque catégorie⁴⁷⁻⁴⁹. En général, le terme de CSN est controversé car une cellule neurale est déjà partiellement différenciée mais sera utilisée pour caractériser les cellules donnant lieu aux trois types majoritaires de cellules du cerveau: les neurones, les astrocytes, et les oligodendrocytes.

Les cellules NE ainsi que les autres progéniteurs neuraux non-souches (qui ne peuvent pas se différencier en tous les types neuraux, mais ne sont pas en phase terminale de différenciation) sont capables de se diviser de façon asymétrique et symétrique, bien que la division symétrique de progéniteurs non-souches déjà enclenchés dans un sous-type neural soit généralement courte (2-3 divisions)⁴⁸. On parle de cellules souches neurales, ou cellules progénitrices neurales, pour des CNEs qui ont acquis des marqueurs de différenciation, mais qui sont encore multipotentes. La grande majorité des cellules neurales progénitrices est épuisée lors du développement, mais certaines cellules appelées cellules souches adultes sont conservées et peuvent être ré-activées plus tard, bien que leurs fonctions et mécanismes soient peu connus^{50,51}. Les CSNs sont, à tous les stades du développement, organisées parallèlement les unes aux autres, avec un côté orienté vers l'intérieur, que l'on nomme la surface apicale; et un côté orienté vers l'extérieur, soit la surface basale. Quand il y a division, les cellules différencieront vers l'extrémité basale de sorte que les cellules les plus jeunes soient à l'extrémité basale du cerveau. Il y a donc un gradient de cellules formées au cours du temps de la surface apicale à la surface basale, formant des couches successives de cellules spécifiques. C'est la continuité des CNEs et des premiers progéniteurs entre les deux extrémités qui permet

de guider les cellules différenciées vers la lamina basale en leur permettant de migrer le long des projections des progéniteurs.

1.3.1.b Progéniteurs Apicaux

La première grande catégorie de CSNs est les progéniteurs apicaux (PAs). Ces derniers sont différents des CNEs par l'acquisition de marqueurs astrogliaux tels que GLAST ou BLBP qui permettent de les différencier des progéniteurs du système nerveux périphérique et des progéniteurs de la rétine⁴⁹. Chaque PA est généralement restreint dans sa capacité à générer un type cellulaire selon le type de marqueur qu'il exprime, qui lui même dépend du stade de développement. En effet, les PAs acquièrent successivement différents marqueurs leur permettant de se diviser en un seul type cellulaire, principalement neurone, astrocyte, puis oligodendrocyte^{52,53}.

Le noyau des PAs migre de façon dépendante du cycle cellulaire le long de l'axe apico-basal. Ainsi, en stade G1, leur noyau se trouve accolé à la surface apicale puis migre radialement vers la lamina basale pour la réplication. Chez les PAs, contrairement aux CNEs, le noyau n'atteint pas l'extrémité basale, et est restreint dans la couche appelée zone ventriculaire (ZV), où il n'y a que des progéniteurs. Ensuite, le noyau rebrousse chemin vers l'extrémité apicale où se produit sa mitose. S'il y a formation d'une cellule différenciée, elle migre au dessus des noyaux des PAs hors de la ZV^{52,54}. La majorité des PAs sont des PA radiaux gliaux qui conservent un processus apical et basal. Certains progéniteurs apicaux sont nommés progéniteurs apicaux intermédiaires (APIs) puisqu'ils se différencient des PA radiaux gliaux par la rétraction de leur processus basal pour la mitose, les forçant dans une division symétrique neurogénique⁵⁴. La membrane apicale des PAs ne représente que 1 à 2% de la membrane totale, mais contient le cilium primaire qui s'étend vers la lumière du ventricule du cortex en développement⁴⁸. Par cette connection, les cellules apicales maintiennent un contact avec le Liquide Céphalo-Rachidien et sert d'antenne pour recevoir les signaux moléculaires en provenant.

1.3.1.c Progéniteurs Basaux

La seconde classe de progéniteur neural est les progéniteurs basaux (PBs). Ces progéniteurs sont formés par la division de PAs, mais ce sont toujours des cellules capables de

proliférer et de donner lieu à des types cellulaires différents^{47,48,55}. Les PBs sont différents des PAs par leur mouvement lors du cycle cellulaire: à la première division d'un PB généré depuis un PA, son noyau migre vers la lamina basale, et la cellule se détache de la surface apicale de sorte à perdre le contact avec les signaux apicaux^{48,53}. Alors, les PBs sont ensuite générés, en différents sous-types. Contrairement aux PAs, la mitose des PBs a lieu à l'extrémité basale de la ZV, et leur noyau migre très peu dès qu'il y est localisé. Tous les PBs se divisent peu, soit une à trois divisions, et de façon uniquement symétrique, premièrement proliférative puis neurogénique⁵⁴. Plusieurs types de PBs existent selon leur morphologie, catégorisés en deux classes majeures: les PBs radiaux et les PBs intermédiaires. Seuls les PB radiaux maintiennent un processus basal, les PB intermédiaires se trouvant dans la ZV sans attache aux extrémités^{48,53}.

Les PBs forment au cours du développement la zone sub-ventriculaire (ZSV) qui se trouve entre la ZV et la surface basale. Celle-ci est suggérée comme étant responsable de la croissance de la quantité de neurones au cours de l'évolution. En effet, un lien entre la taille de la ZSV et l'avancement dans l'arbre phylogénétique a été observé, indiquant qu'un plus grand nombre de progéniteurs donne lieu à un plus grand cortex; et donc une plus grande complexité neurale⁵⁶.

Après une différenciation terminale, les cellules formées sont des précurseurs des types cellulaires majoritaires dans le cortex: des précurseurs neuronaux (PNE), astrocytaires (PAC), ou oligodendrocytaires (POC) (Figure 3). Chacun opère ensuite à plusieurs étapes de maturation afin de former des cellules opérationnelles.

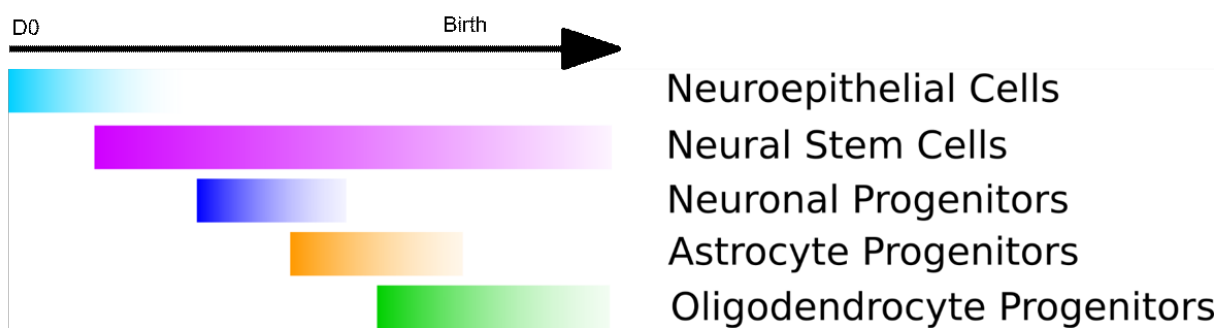


Figure 3: Différenciation séquentielle des progéniteurs neuraux au cours du développement mammifère. Schéma démontrant la progression de la formation de chacun des progéniteurs des cellules du cortex cérébral dans le développement des mammifères. Les cellules neuroépithéliales acquièrent rapidement les marqueurs des cellules souches neurales qui peuvent former séquentiellement en progéniteur neuronal,

progéniteur astrocytaire, et enfin progéniteur oligodendrocytaire selon la phase du développement à laquelle la division prend lieu.

1.3.2 Voies moléculaires de la différenciation neurale

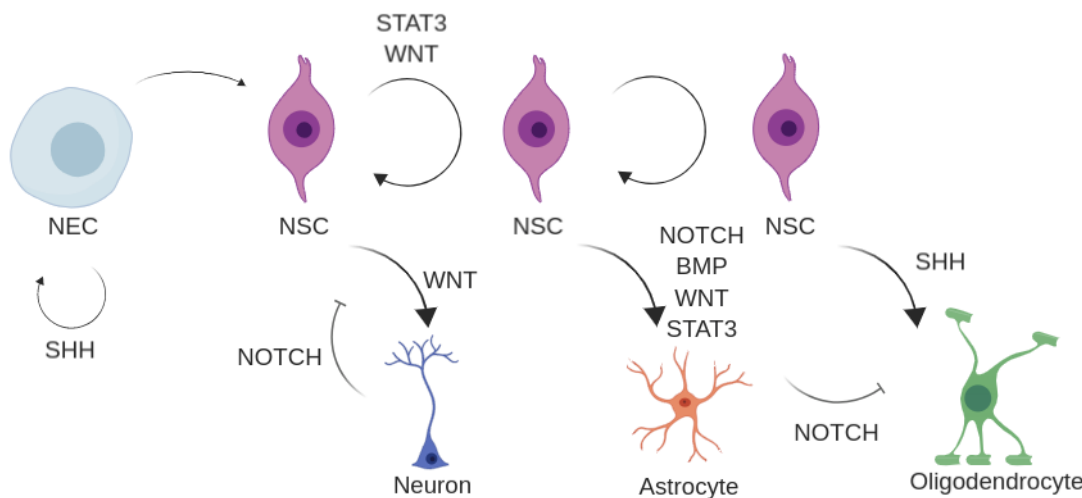


Figure 4: Voies moléculaires impliquées dans la différenciation de cellules neurales. L’activation ou la répression de voies moléculaires est indispensable pour la maintenance de l’état pluripotent ou la différenciation en progéniteur spécialisé. NEC : Cellule Neuroépithéliale, NSC : Cellule Souche Neurale. Les flèches circulaires indiquent l’auto-renouvellement.

Chaque étape du développement des CNEs jusqu’aux cellules différencierées est contrôlé par des changements spécifiques des gènes exprimés dans les cellules progénitrices (Figure 4). Ainsi, plusieurs voies biologiques sont responsables de la formation de certains types cellulaires, par leur présence ou leur absence. De plus, l’activation d’une même voie moléculaire dans des contextes différents par le temps ou l’espace peut avoir une conséquence radicalement différente. Deux mécanismes principaux agissent de façon antagoniste afin de déterminer le type de division que les progéniteurs réalisent: le maintien de la multipotence et la différenciation. Ainsi, la multipotence insinue l’expression de facteurs appartenant aux cellules « souches » ou prolifératives, et la différenciation signifie la répression de ceux-ci, et l’expression de facteurs spécifiques à un type cellulaire. De ce fait, ce n’est pas qu’en réprimant les facteurs de prolifération qu’un progéniteur peut donner lieu à une cellule différencierée, mais aussi en induisant une spécification. De plus, une hypothèse majoritaire de la sélection de la voie de

différentiation ou de l'auto-renouvellement est que la longueur du cycle cellulaire serait un des ses facteurs déterminants^{57,58}. En effet, un cycle cellulaire court ne serait pas propice à l'accumulation de facteurs de polarité et promouvrrait une différenciation symétrique. Au contraire, le cycle cellulaire d'une cellule progénitrice est significativement ralenti quand elle va procéder à une division neurogénique⁵⁹, et l'inhibition temporaire de l'avancement du cycle cellulaire est suffisante pour induire une division neurogénique⁶⁰.

1.3.2.a Pluripotence et Auto-Renouvellement

En général, le développement des cellules du SNC se fait de façon séquentielle, soit en premier la prolifération des CSNs, puis l'acquisition de marqueurs gliaux leur permet de se différencier. Les premières cellules à être formées sont des PNE, puis les CSNs gagnent la capacité de se différencier alternativement en PAC, et enfin la capacité de former des POC. L'activation successive de différentes combinaisons de voies biologiques permet la spécification de chacun des types. Dans les CNEs, l'activation de la voie WNT/β-caténine est nécessaire pour la maintenance de l'état pluripotent tôt dans leur développement⁶¹⁻⁶³. Cette voie biologique est activée de façon canonique par la liaison de protéines de la famille WNT à un récepteur extracellulaire de la famille Frizzled. La voie d'activation canonique implique la stabilisation de la β-caténine en inhibant sa dégradation par GSK-3β, lui permettant de transloquer vers le noyau et s'associer à des facteurs de transcription TCFs (T-cell factors, facteurs des cellules T) ou LEFs (Lymphocyte Enhance Factor, Facteur de renforcement des lymphocytes)^{64,65}. En effet, la β-caténine est nécessaire pour maintenir la polarité apico-basale des CNEs en induisant l'expression de la Protein Kinase C atypique (aPKC) grâce à l'activation de la transcription dépendante de TCF⁶⁶. Aussi, la β-Caténine serait responsable de la formation d'une surface apicale suffisamment grande pour que les deux cellules filles soient porteuses de suffisamment des facteurs de multipotence, quoi que soit l'axe de division. La voie WNT/β-Caténine semblerait promouvoir la prolifération de CNEs en induisant les cyclines D1 et D2, ainsi que c-Myc, ce qui semble suivre l'hypothèse du cycle cellulaire contrôlant l'auto-renouvellement^{62,64,66}. Dans la rétine, la voie WNT/β-Caténine induit l'expression de SOX2, un facteur de transcription indispensable pour l'auto-renouvellement et qui inhibe la différenciation^{62,66}. Par contre, SOX2 est responsable d'une boucle de rétroaction négative où il réprime la voie WNT pour permettre aux CSN de se différencier⁶⁶.

La prolifération des CNEs est particulièrement dépendante de la voie Sonic Hedgehog (SHH). Sa voie canonique implique la liaison du ligand SHH à son récepteur extracellulaire Patched (PTCH), induisant la relâche de la répression de Smoothened (SMO), ce qui entraîne l'activation des facteurs de la famille GLI⁶⁷. Ces facteurs peuvent être activateurs ou répresseurs selon le contexte, mais il est connu que *SHH* est nécessaire pour la prolifération des CNEs *in vivo*, et que l'ajout de SHH ectopique *in vivo* induit le doublement de la prolifération de CSNs provenant du tube neural, ainsi que la prolifération de progéniteurs *in vitro*⁶⁷⁻⁶⁹. Aussi, la voie SHH inhibe la différenciation des CSN *in vivo*^{67,69}.

La voie moléculaire NOTCH dépend d'une interaction entre deux cellules, où la première exprime un ligand de la voie NOTCH, tandis que la seconde y exprime un récepteur spécifique. L'interaction induit le clivage du récepteur NOTCH pour produire le Domaine NOTCH Intracellulaire (NICD, NOTCH Intracellular Domain) qui transloque vers le noyau et s'associe avec la protéine CSL (CBF1 ou RBPJ) pour l'activer et former un complexe activateur de la transcription⁷⁰. La fonction de la voie NOTCH est particulière: l'engagement dans une voie neuronale active l'expression de gènes proneuraux, tels que *ASCL1* ou *NEUROG1*, qui eux-mêmes induisent l'expression de ligands de NOTCH à la surface des cellules en différenciation⁷⁰⁻⁷². De ce fait, la voie NOTCH est activée dans les cellules avoisinantes, permettant un ralentissement dans la réponse à des signaux extracellulaires, ce qui inhiberait la différenciation^{70,71}. Dans ces cellules là, des facteurs de transcription bHLH (basic Helix Loop Helix, Hélice Boucle Hélice basique) comme *HES1* et *HES5* sont exprimés en aval de la voie NOTCH, ce qui inhibe l'expression de régulateurs de la différenciation comme *SOX21* et de gènes neurogéniques comme *ASCL1*^{72,73}.

1.3.2.b Neurogenèse

Au cours du développement neural, la voie WNT/β-Caténine s'éloigne de son pouvoir prolifératif pour induire à la place l'arrêt du cycle cellulaire et la différenciation neuronale⁶¹. L'accumulation nucléaire de β-Caténine est suffisante pour induire la différenciation neuronale⁷⁴⁻⁷⁶. De plus, la voie β-Caténine active des facteurs neurogéniques comme *NEUROG1* et *NEUROG2*, des facteurs de transcriptions indispensables pour l'engagement vers un destin neuronal^{61,76}.

Les BMPs (Bone Morphogenic Proteins, Protéines Morphogènes de l’Os) font partie de la famille des TGF β (Transforming Growth Factor β , Facteur de Croissance Transformateur β). Ils sont sécrétés et activent des récepteurs à la surface des cellules BMPRI et BMRII, des récepteurs tyrosine kinase (RTK)⁷⁷. La transduction du signal se fait ensuite par la phosphorylation de protéines SMAD qui peuvent ensuite former des complexes avec la protéine SMAD4, ou co-SMAD, et transloquer vers le noyau pour activer des gènes en se liant à la séquence de réponse spécifique aux BMPs dans leur promoteur⁷⁷. Dans les premières CSNs, les BMPs activent spécifiquement BMPRIa, qui promeut la prolifération mais qui induit aussi l’expression de *BMPRIb*^{61,74,77,78}. C’est ensuite l’atteinte d’un seuil spécifique de BMPRIb qui change l’activité des BMPs pour activer l’expression de gènes neurogéniques et induire l’arrêt du cycle cellulaire^{61,77}.

1.3.2.c Astrogenèse

Les cellules non-neuronales du cerveau sont principalement des astrocytes et des oligodendrocytes. Afin de produire ces cellules gliales, il est nécessaire pour les CSNs de réduire l’expression des gènes neurogéniques qu’elles exprimaient afin de produire des PNEs par division asymétrique, et d’exprimer en leur place des marqueurs gliaux. Même en culture, les CSNs produisent premièrement des PNEs, puis des PACs, et enfin des POCs, signifiant qu’il existe des mécanismes intrinsèques aux CSNs qui régulent la formation séquentielle de chacun des types cellulaires⁷⁹. En effet, les neurones premièrement formés sont la source de l’astrogenèse à travers leur expression de CTF1, un gène indispensable pour la formation d’astrocytes, et qui permet d’instruire les CSNs parentes de procéder au changement vers la gliogenèse⁷⁹⁻⁸¹. CT-1, la cytokine de la famille de l’interleukine-6 codée par le gène CTF1, active la voie JAK/STAT dans les CSNs. Aussi, les facteurs solubles CNTF (Ciliary Neurotrophic Factor, Facteur Ciliaire Neurotrophique) et LIF (Leukemia Inhibitory Factor, Facteur d’Inhibition de la Leucémie) induisent la voie STAT3/JAK pour permettre l’expression de GFAP (Glial Fibrillary Acidic Protein, Protéine Acide Fibrillaire Gliale)^{81,82}. Les récepteurs de CNTF et LIF permettent la phosphorylation de STAT3 en activant la kinase JAK (Janus Kinase), ce qui l’active et induit sa translocation au noyau pour activer l’expression de GFAP^{61,79,82}.

Les voies NOTCH, WNT, et BMP sont activées de façon concorrente pour stimuler la formation d'astrocytes. En effet, l'activation de la voie NOTCH dans les cellules non-neuronales permet l'expression de bHLH répresseurs qui empêchent l'expression de facteurs pro-neuronaux, ainsi que l'expression CSL-dépendante de GFAP^{80,83}. Effectivement, l'expression ectopique de HES5 promeut la gliogenèse aux dépends de la neurogenèse. De plus, la voie STAT3 induit la répression de facteurs de transcription bHLH neurogéniques en activant la voie NOTCH, tandis que la voie NOTCH active elle-même la voie STAT3 en recrutant la kinase JAK2^{61,82}. De son côté, BMP4 peut aussi activer la voie JAK/STAT pour promouvoir la maturation d'astrocytes GFAP⁺⁷⁷. Enfin, la voie WNT activée dans les neurones induit l'expression de ligands BMPs qui sont ensuite sécrétés et activent l'astrogenèse dans les cellules environnantes, tout en inhibant la différenciation oligodendrogliale^{61,77}.

1.3.2.d Oligodendrogenèse

Le dernier type cellulaire à être formé est l'oligodendrocyte. Alors que la voie NOTCH est réactivée pour former des astrocytes, il est nécessaire de l'inhiber de nouveau pour former les POCs car le maintien de l'activation de la voie NOTCH empêche la différenciation de POCs *in vitro* et la perte du signal NOTCH induit la maturation précoce de POCs^{61,83}. De plus, l'expression ectopique de SHH induit la formation de POCs exprimant des marqueurs spécifiques oligodendrocytaires comme OLIG1/2 *in vitro* et *in vivo*, tandis que sa perte entraîne une baisse de la population oligodendrocytaire et de la myélination⁸⁴⁻⁸⁷. Les deux facteurs de transcription OLIG1 et OLIG2 sont nécessaires et suffisants à la formation d'oligodendrocytes, et leur perte induit un défaut total de la production de POCs^{88,89}. Au contraire, l'activation de la voie BMP inhibe la formation de POCs *in vivo* et l'ajout de BMPs dans une culture de POCs induit même leur différenciation anormale en astrocytes GFAP⁺^{84,88,90,91}.

1.3.3 L'épigénétique dans le développement neural

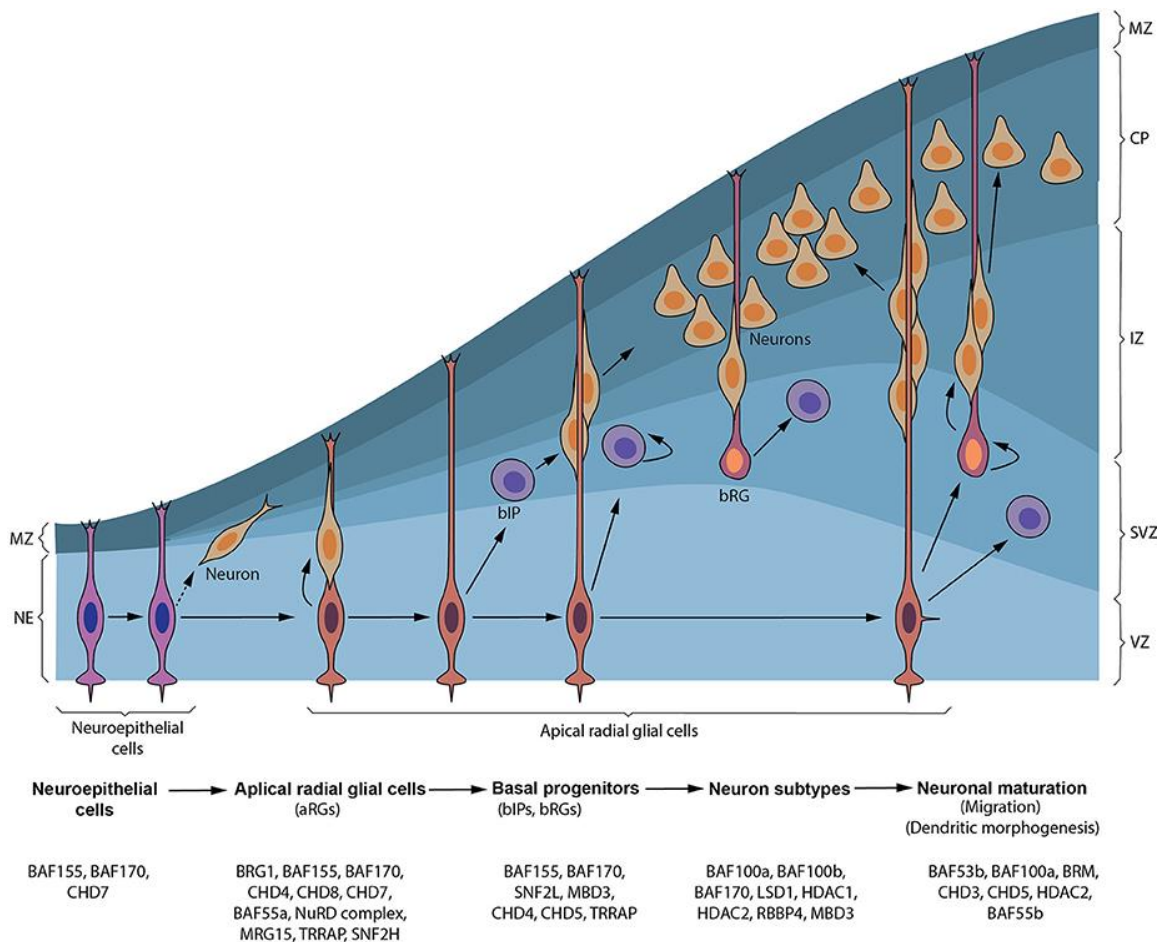


Figure 5: Les régulateurs de la chromatine sont impliqués dans le développement neural. (Sokpor et al, 2018). Des gènes impliqués dans la régulation de la structure de la chromatine ont été impliqués dans le développement du cortex cérébral. Chaque gène est associé à un phénotype pathogénique dans un modèle animal à un certain stade du développement.

Comme il a été établi ci-dessus, le développement neural nécessite l'expression de gènes selon un modèle spatio-temporel extrêmement précis. La modification du profil transcriptionnel cellulaire repose sur l'action de remodelleurs épigénétiques qui induisent des changements dans la chromatine pour activer ou inhiber les voies impliquées dans le neurodéveloppement. En effet, une multitude de facteurs impliqués dans les mécanismes épigénétiques énoncés précédemment ont une place pivotale dans l'identité des différents progéniteurs neuraux et leur maturation (Figure 5)^{92,93}. Particulièrement, ces facteurs agissent généralement en tant que complexes composés d'une multitude de protéines ayant des fonctions différentes, et dont la

composition change au cours du développement, leur octroyant une spécificité à la fois dans le ciblage et l'activité.

Le remodelage des nucléosomes de façon ATP-dépendante est composé de trois mécanismes: l'assemblage et l'organisation nucléosomale, l'accès à la chromatine, et l'édition nucléosomale. Les facteurs responsables de l'organisation nucléosomale permettent le positionnement correct des nucléosomes lors de la formation initiale de la chromatine. Les complexes capables de réaliser cet assemblage sont les familles ISWI (Imitation Switch) et CHD/NuRD (Chromodomain Helicase DNA-Binding / Nucleosome Remodeling Deacetylase)^{93,94}. Ils peuvent donc former des nucléosomes matures séparés de ~147pb. L'accès à la chromatine est ensuite modulé par la modification du positionnement de ces nucléosomes le long de la chromatine, soit en les déplaçant, soit en procédant au désassemblage de composantes du NPC ou du nucléosome en entier⁹³. La majorité des acteurs de l'accès à la chromatine est formée par la famille BAF (BRG1 or BRM Associated Factors) ou SWI/SNF (SWItch/Sucrose Non Fermentable). Généralement, l'agrégation de nucléosomes déplacés plus proches les uns des autres promeut l'éviction de dimères puis de l'octamère en entier, formant des régions d'ADN libres à la liaison par d'autres protéines^{93,95}. Enfin, l'édition de nucléosomes implique le changement de certaines histones pour des variantes, particulièrement par la famille INO80. La déstabilisation de nucléosomes par des CRC permet le retrait puis l'ajout subséquent de différentes histones, et donc la possibilité de rajouter de nouvelles histones à certains *loci*^{93,95}. Les complexes de remodelage de la chromatine étudiés ici sont le complexe BAF et le complexe NuRD.

1.3.3.a Le Complex BAF

Le complexe BAF est composé de plus de 15 sous-unités, certaines étant mutuellement exclusives et occupant la même position à certaines étapes du développement, tandis que d'autres sont des composantes facultatives ou échangeables. Les différents complexes BAF sont nommés selon le moment où ils sont exprimés, soit pour le cortex le complexe esBAF (Embryonic Stem cell BAF), npBAF (Neural Progenitor BAF), et nBAF (Neuronal BAF). Il existe aussi le complexe PBAF (Polybromo-associated BAF) dont la composition est légèrement différente car ils ne contient que l'hélicase BRG1/SMARCA4 et possède les sous-unités

spécifiques PBRM1 (BAF180) et ARID2 (BAF200) contrairement aux complexes BAF qui comprennent à la place la sous-unité BAF250 (ARID1)^{93,93}. Le complexe BAF est composé d'une hélicase (SMARCA4 ou BRM/SMARCA2), d'un complexe-cœur formé de SMARCB1 (BAF47), SMARCC1 (BAF155), et/ou SMARCC2 (BAF170), et d'autres facteurs interchangeables⁹⁵. Chacune des sous-unités possèdent un ou plusieurs domaines capables de se lier à l'ADN directement ou à des histones, modifiées ou non, ou des domaines de liaison à d'autres protéines^{26,95}. Le complexe BAF a, sous toutes ses formes, une importance cruciale quant au développement neural, dans la formation de SCNs, leur prolifération, leur différenciation, et la maturation de types cellulaires ou de sous-types particuliers⁹⁵⁻⁹⁷.

La perte du complexe BAF dans un modèle animal ou cellulaire peut se faire soit par inactivation génétique de l'hélicase *SMARCA4* ou *SMARCA2*, ou par la double inactivation de *SMARCC1* et *SMARCC2* qui entraîne la séparation des sous-unités et leur dégradation subséquente⁹⁷. Ces modèles sont létaux au stade embryonnaire, et l'inactivation du complexe BAF SCN-spécifique induit la perte de structures corticales et la malformation du neuroépithélium olfactif⁹⁵⁻⁹⁷. Plus précisément, l'ablation du gène *Smarca4* après la formation des premières SCNs chez la souris entraîne la perte des progéniteurs Sox2+, notamment par la perte de la transcription Pax6-dépendante, ce dernier étant un marqueur exprimé majoritairement chez les PARGs et nécessaire à la formation du cortex et de l'oeil⁹⁷⁻¹⁰⁰. Dans le neuroépithélium olfactif, la perte de *Smarcc1* entraîne une baisse de la capacité proliférative des SCNs due à un arrêt du cycle cellulaire précoce, et la délétion de *Smarcc2* dans le cortex en développement induit un biais vers l'astrogenèse et une déplétion des progéniteurs radiaux^{96,98}. Outre *Smarca4*, l'inactivation des sous-unités du complexe npBAF *Phf10/Dpf2* (*Baf45a/d*) ou *Actl6a* (*Baf53a*) empêche aussi la prolifération et l'auto-renouvellement des SCNs, particulièrement en inhibant la voie Wnt dans la corticogenèse tardive¹⁰¹⁻¹⁰³. Enfin, la sous-unité spécifique au npBAF SS18 est nécessaire pour l'auto-renouvellement et sa délétion dans des SCNs est suffisante pour induire l'arrêt du cycle-cellulaire^{102,104}.

Pourtant, dans des progéniteurs plus précoces, le complexe BAF active l'expression de gènes gliaux comme *GLAST* ou *BLBP* et inhibe l'expression de gènes spécifiques de prolifération comme *Pax6* et *Sox2*, et le marqueur neuroépithéial *Ocln*, démontrant un pouvoir neurogénique^{101,105}. De plus, le complexe BAF est nécessaire pour l'inhibition de la voie Shh

dans le développement cortical en interagissant directement avec des facteurs Gli, et en se liant à des séquences cibles des facteurs Gli¹⁰⁶. Aussi, le complexe BAF est impliqué dans l'activation de la voie Shh et l'expression de ses gènes cibles dans des neurones en maturation^{103,106}. Additionnellement, Brg est impliqué dans l'expression des gènes de la voie Notch dans les SCNs, et donc dans l'inhibition de la différenciation neurale¹⁰¹. Ainsi, le complexe BAF exhibe une dichotomie dans ses fonctions cellulaires, étant à la fois promoteur de l'auto-renouvellement et inhibant la pluripotence.

Durant le développement, un changement critique du complexe npBAF au complexe nBAF est nécessaire pour la maturation neuronale. Ce transfert se fait par l'expression du répresseur REST dans les neurones post-mitotiques, qui réprime l'expression des micro ARNs mir-9* et mir-124¹⁰⁷. Par conséquent, la cible des ces miRNAs *Actl6a* est réprimé et la sous-unité exclusive *Actl6b* prend sa place dans le complexe nBAF^{107,108}. De plus, la maturation neuronale implique la compétition entre *Smarcc1* et *Smarcc2*, où le dernier est plus exprimé dans les progéniteurs puis son expression est diminuée lors de la différenciation^{109,110}. Dans le complexe BAF, ces protéines peuvent exister sous forme d'homodimère ou d'hétérodimère, donnant une spécificité au complexe par leur singularité structurale. En effet, SMARCC2 possède un domaine de liaison à REST à son extrémité N-terminale, contrairement à SMARCC1¹⁰⁹. L'augmentation graduelle de *Smarcc1* induit l'ouverture de la chromatine et l'activation de gènes cibles de Pax6, ainsi que le recrutement *Brg1*-dépendant des facteurs neurogéniques Sox11, Nfib et Pou3f4 aux cibles de Pax6 comme *Cux1* et *Tbr1*^{109,110}. Ensuite, *Actl6b* et le reste du nBAF (notamment les marqueurs de neurones matures *Ctip1/2* ou BAF100a/b, *Bcl11a/b*) sont nécessaires pour la maturation, la survie, et la dendrogenèse neuronale^{101,111}.

La maturation neuronale implique la migration neuronale vers les couches supérieures, un mécanisme affecté par la délétion de *Ctip1* à travers la perte de la répression du facteur *Sema3c*¹¹². De plus, *Ctip1* est nécessaire pour la morphogenèse de neurones de la moelle épinière¹¹³. Additionnellement, la dendritogenèse de neurones corticaux en culture est dépendante de l'expression d'*Actl6b*, notamment à travers un domaine qui lui est spécifique par rapport à son homologue *Actl6a*, avec qui il a pourtant 87% d'homologie¹⁰¹. Enfin, la transition vers le complexe nBAF implique l'échange de SS18 pour la sous-unité CREST (Calcium

Responsive Transactivator) à la sortie du cycle cellulaire¹¹². Cette dernière est responsable pour l'activation de *c-fos* lors de la synaptogenèse et est impliquée dans l'arborisation neuronale dépendante du calcium^{114,115}.

En plus de la neurogenèse, le complexe BAF est aussi impliqué dans la gliogenèse, particulièrement l'oligodendrogenèse. En effet, l'ablation de SMARCA4 ou SMARCC2 dans des SNCs adultes empêche la formation de neurones et induit directement la gliogenèse, et la perte de Smarca4 dans les SCNs murines induit la différenciation terminale des neurones avant la gliogenèse^{109,110,116}. De plus, lors de la maturation oligodendrocytaire, il y a un enrichissement significatif de l'ARN polymérase RNAPII au niveau des gènes de remodelage de la chromatine, particulièrement au *locus* de *Smarca4*¹¹⁷. La perte de Brg1 sous le contrôle du promoteur Olig1 induit des défauts de myélination bien que les OPCs soient toujours présents, indiquant un rôle du complexe BAF dans la maturation des oligodendrocytes^{117,118}. Enfin, le facteur de transcription Olig2 interagit avec Smarca4 pour recruter le complexe BAF au niveau des gènes responsables de la maturation oligodendrocytaire¹¹⁷. Pourtant, Smarca4 est positionné au promoteur du gène *Olig2* dans les progéniteurs neuraux, et induit sa répression¹¹⁶. Le complexe BAF est donc nécessaire pour la maintenance de la pluripotence à travers l'inhibition de la gliogenèse, mais d'autres facteurs induisant la différenciation en oligodendrocytes entraînent un changement d'environnement où le complexe BAF serait nécessaire pour leur maturation.

De façon intéressante, le complexe BAF interagit directement avec le complexe PRC1 (Polycomb Repressor Complex 1) et sa liaison entraîne l'éviction de PRC1 de la chromatine^{119,120}. Ainsi, un équilibre entre la répression par la marque épigénétique PRC1-dépendante H3K27Me3 et l'ouverture de la chromatine BAF-dépendante est indispensable pour le développement neural, l'activation de l'expression génique nécessitant à la fois le remodelage de la chromatine par le complexe BAF, et l'inhibition de la méthylation d'histone¹²⁰.

1.3.3.b Le Complex NuRD

Le complexe NuRD est composé d'une entité centrale à fonction hélicase ATP-dépendante, traditionnellement CHD3 ou CHD4 (Mi-2α/β) et dans certains cas CHD5, et d'une multitude d'autres sous-unités¹²¹⁻¹²⁴. *CHD4* est spécifiquement exprimé dans les progéniteurs neuraux précoces tandis que *CHD5* n'est seulement exprimé dans les précurseurs qui ont

commencé leur différenciation et *CHD3* dans les précurseurs terminaux dans les dernières étapes de la maturation neuronale¹²⁴. Les trois hélicases sont toutes présentes dans le cadre du complexe NuRD, mais elles sont mutuellement exclusives, et ont des fonctions singulières. En effet, l’ablation de *CHD4* sous l’action du promoteur Nestin induit une sortie prématurée du cycle cellulaire des SCNs et une réduction de la quantité de progéniteurs neuraux, et sa perte dans des cellules ES empêche la différenciation neuronale^{14,124,125}. En interagissant avec le facteur de transcription ZFHX4, le complexe CHD4-NuRD peut réprimer l’expression de gènes neurogéniques¹²⁶. Au contraire, la fonction de *CHD5* se trouve dans la différenciation neuronale et la migration radiale initiale car sa perte entraîne un défaut de polarité dans les neurones sortant du cycle cellulaire^{124,127,128}. Enfin, *CHD3* est nécessaire pour la migration radiale plus tardive des neurones et n’est seulement exprimé dans les neurones post-mitotiques¹²⁴.

D’autres composantes du complexe NuRD sont des histones déacétylases: HDAC1 et HDAC2. Bien qu’elles possèdent 86% d’homologie au niveau de leur séquence protéique, leur expression est différente dans le développement neural. *Hdac1* est préférentiellement exprimé dans les progéniteurs neuraux, tandis que *Hdac2* est restreint aux neurones post-mitotiques^{129,130}. Pourtant, la perte de l’une des deux protéines ne cause pas de phénotype sévère, mais leur double inactivation empêche le développement cortical et est létal au stade embryonnaire¹²⁹. Notamment, la présence d’un seul allèle de *Hdac2* est nécessaire pour le développement neural normal, tandis qu’un allèle de *Hdac1* ne le permet pas, suggérant une redondance des fonctions de *Hdac1* par *Hdac2* avec une spécificité fonctionnelle additionnelle de *Hdac2*¹³¹. Cette singularité opère à travers la répression du gène codant pour la Protéine Kinase Delta Pkc(δ) par la liaison directe de Hdac2 au locus de *Prkcd*, sa perte induisant une augmentation locale activatrice de la marque H3K29Ac¹³¹. L’expression ectopique de Pkc δ entraîne une polarité aberrante et la déplétion de la population progénitrice neurale.

Les dernières sous-unités du complexe NuRD sont des protéines qui n’ont pas de fonction enzymatique. Au contraire, elles ont pour fonction de cibler le complexe à certaines régions du génome par leur capacité de se lier à l’ADN (MTA1/2/3), l’ADN méthylé sur la cytosine (MBD2 ou MBD3, MBD2 ayant une plus forte affinité pour l’ADN méthylé), ou l’histone H4 (Rbbp7/4)^{121,122}. La présence de ces sous-unités est nécessaire à la fois pour le fonctionnement du complexe, et pour son assemblage par leur fonction d’échafaud protéique

indispensable pour la formation du complexe¹²¹. Par exemple, l'invalidation génétique de *Mbd3* entraîne la dissociation du complexe NuRD et la perte de la répression des gènes *Nanog* et *Oct4*, laissant les cellules dans un état pluripotent perpétuel¹³². Contrairement à MBD2, MBD3 n'est pas enrichi au niveau des régions méthylées de l'ADN, mais est au contraire présent dans des régions portant des marques traditionnellement actives de la chromatine comme H3K27Ac¹³³. De plus, dans des cellules *Mbd3* déficientes, les régions normalement dites « bivalentes », sont déplétées de marques de répression H3K27me3 et enrichies à la place pour la marque H3K27Ac, démontrant un rôle pour le complexe de maintenance de l'état de préparation à la transcription¹³⁴. Dans les iPSCs (Cellules Souches Pluripotentes induites), la formation du complexe NuRD est dépendante de l'interaction avec le facteur de transcription Gata2a, ou p66α, un facteur dont la dépléction dans des cellules différencierées n'a pas d'impact, mais qui est indispensable pour la répression de la pluripotence NuRD-dépendante¹³⁵.

1.3.3.c *TRRAP* et le complexe TIP60

Le gène *TRRAP* encode une protéine de 437kDa qui appartient à la famille des kinases PIKK (phosphoinositide 3-kinase-related kinase) qui n'a pas d'activité enzymatique, mais qui est extrêmement bien conservée jusqu'à la levure¹³⁶. Cependant, elle est présente en complexe avec une multitude de facteurs épigénétiques et de facteurs de transcription, et sa présence est indispensable pour le développement^{136,137}. En tant que protéine échafaud dans les complexes HAT, l'homologue de TRRAP chez la levure Tra1 est nécessaire pour la formation des complexes NuA4 et SAGA et leur stabilité, leur recrutement aux promoteurs, et leur activité acétyl-transférase¹³⁸. Le complexe NuA4/TIP60 est responsable de l'acétylation des histones H4 (K5, 8, 12) et H2A (K5) ainsi que ses variantes H2AZ et H2AX, mais aussi de plus d'une centaine de protéines grâce à sa sous-unité TIP60 (*KAT5*) qui possède l'activité acétyltransférase¹³⁹. En général, il est impliqué dans la régulation du cycle cellulaire par l'acétylation de protéines comme AuroraB, mais aussi à travers son interaction avec les facteurs Myc, E2F, et Rb^{139–142}. Sa présence est nécessaire pour la sortie du cycle cellulaire grâce à la répression de gènes de la mitose¹³⁹. Il joue aussi un rôle important dans la réparation des bris double-brins de l'ADN. En effet, le complexe reconnaît les marques H3K9me3 et H4K20me1/2 déposées aux *foci* de dommages à l'ADN et y recrute des facteurs de réparation des bris double brins^{143,144}. TIP60 est donc responsable de l'activation directe d'ATM (Ataxia Telangiectasa

Mutant) par son acétylation, et l'acétylation de p53 lors de l'arrêt du cycle cellulaire est aussi dépendante de TIP60^{144,145}. En plus de son rôle d'acétyltransférase, TIP60 est en complexe avec l'hélicase ATP-dépendante p400 et la chaperonne de l'histone H2A.Z et est essentiel au fonctionnement de ce complexe en tant qu'échangeur de variantes d'histones¹⁴⁶⁻¹⁴⁹.

Dans les ESCs, le complexe Tip60 agit de façon indépendante de son activité acétyltransférase pour activer leur auto-renouvellement. Effectivement, son interaction ESC-spécifique avec Hdac6 semble lui donner un rôle répresseur où son recrutement au niveau des promoteurs de gènes de différenciation comme *Nodal*, *Dkk4*, ou *Gata6* induit la déacétylation de leurs *loci*¹⁵⁰. Ensuite, l'exclusion nucléaire de Hdac6 pourrait être le signal d'activation des gènes de différenciation, pour lesquels la transcription nécessite l'activité acétyltransférase de Tip60¹⁴⁶. De plus, la déposition de l'histone H2A.Z aux *loci* des gènes cibles de la voie NOTCH est TIP60-p400 dépendante, et celle-ci diminue leur expression^{147,151}. L'association de TIP60 avec p400 inhibe son activité HAT, tandis que sa dissociation lui permet d'acétyler les variantes H2A.Z et d'activer la voie moléculaire NOTCH^{147,148}. Chez la drosophile, l'ablation du complexe Tip60 dans les SNCs entraîne une perte de la polarité de façon aPKC dépendante et des anomalies du fuseau mitotique, et par conséquent la déplétion des progéniteurs neuraux due à une réduction des divisions asymétriques¹⁵². Additionnellement, Pax6 interagit directement avec Tip60 dans les progéniteurs neuraux de la rétine, et cette liaison est essentielle pour son activité transcriptionnelle¹⁵³. De plus, l'homologue chez la drosophile de BAF53a, Bap55, est retrouvé à la fois dans le complexe BRM et le complexe Tip60, où il est nécessaire pour la dendrogenèse des neurones olfactifs¹⁵⁴. Enfin, la fonction HAT de Tip60 est indispensable pour la neuroplasticité et la mémoire chez la drosophile¹⁵⁵⁻¹⁵⁷.

La protéine TRRAP fait aussi partie des complexes STAGA contenant les HATs GCN5 ou PCAF, et importants pour le développement neural. En effet, l'invalidation génétique de *Gcn5* induit l'exencéphalie dans un modèle murin et empêche la fermeture du tube neural, par l'inhibition de la prolifération des progéniteurs neuraux¹⁵⁸⁻¹⁶⁰. Plus précisément, STAGA interagit avec N-Myc à travers des sites de liaison de TRRAP et GNC5, lui permettant d'être localisé aux cibles de Myc dans les CSNs et d'induire leur acétylation et leur expression¹⁶⁰⁻¹⁶². Les gènes affectés par la perte de N-Myc ou GCN5 sont impliqués dans la prolifération des CSNs, la gliogenèse, et la guidance axonale¹⁵⁹. Dans la rétine, le complexe STAGA interagit

directement avec CRX (Cone Rod Homeobox) pour acétyler les *loci* de ses cibles et maintenir leur expression, mécanisme essentiel pour la survie de ces cellules¹⁶³. La perte de *Pcaf* n'est pas délétère, mais l'ablation de *Gcn5* en conjonction de celle de *Pcaf* donne lieu à un phénotype plus sévère que celle de *Gcn5* seul, suggérant un rôle redondant pour *Pcaf*¹⁶⁴. En revanche, *Pcaf* est nécessaire pour la régénération axonale dans le SNC, grâce à son activité acétyltransférase déposant la marque H3K9Ac dépendante de l'activation de la voie ERK¹⁶⁵. *Gcn5* et *Trrap* sont notamment indispensables pour la transcription des gènes cibles de la famille de facteurs de transcription E2F¹⁶⁶.

TRRAP est une protéine échafaud dont la présence est essentielle pour la formation d'une multitude de complexes à activité acétyltransférase. Particulièrement, TRRAP est recruté à la chromatine en premier, puis les complexes sont formés dessus, démontrant un recrutement TRRAP-dépendant aux *loci* ciblés afin de les acétyler¹⁶⁷. Le gène *Trrap* a été impliqué dans la régulation de multiples voies moléculaires, et est particulièrement essentiel à l'activation de la voie Notch dans le développement de l'aile de la Drosophile¹⁶⁸. De plus, TRRAP fait partie d'un complexe capable de diméthyler et triméthyler H3K79 en conjonction avec β-Caténine de façon à réguler négativement les cibles en aval de la voie WNT¹⁶⁹. La régulation de la β-Caténine se fait aussi directement par TRRAP qui induit son délogement de la chromatine ainsi que son ubiquitination et sa dégradation subséquente¹⁷⁰. Enfin, TRRAP est impliqué dans la régulation de la voie Ras chez le ver *C. Elegans*¹⁷¹. La délétion du gène *Trrap* est létal au stade embryonnaire, et son ablation sous le promoteur Nestin cause des défauts du cycle cellulaire, une perte de la polarité cellulaire, et une différenciation prématuée des progéniteurs neuraux^{130,172,173}. TRRAP et GCN5 sont aussi nécessaires pour l'activation de la transcription par le complexe TFTC (TBP Free TAF Complex) qui recrute POLRII pour initier la transcription¹⁷⁴.

D'autres histone acétyltransférases sont aussi impliquées dans le développement neural. Notamment, les HATs P300 et CBP sont importantes pour l'acétylation de l'histone H3. Particulièrement, des études dans le modèle *Xenopus laevis* ont démontré que l'ablation de *p300/CBP* entraîne la neuralisation de l'embryon en entier; toutes les cellules souches embryonnaires ont une propension intrinsèque à la neurogenèse, et l'inhibition de ce mécanisme est acétylation-dépendante¹⁷⁵. Des mutations hétérozygotes de *Cbp* ne sont pas suffisantes pour

affecter le développement morphologique murin, mais entraînent des défauts dans le comportement, et les embryons hétérozygotes pour *p300* ne présentent un phénotype exencéphalique restreint et avec une moindre pénétrance en comparaison avec les invalidations homozygotes de chacun des gènes^{176,177}. Cependant, la double perte hétérozygote des deux gènes est létale au stade embryonnaire, suggérant une redondance fonctionnelle des deux HATs, et un effet dose-dépendant de l'acétylation sur le développement. L'ablation hétérozygote de *Cbp* dans des progéniteurs neuraux induit la perte de leur capacité à se différencier en neurones, astrocytes, et oligodendrocytes¹⁷⁷. Notamment, *Cbp* permet l'acétylation H3K9/14 au niveau des promoteurs de *α1-tubulin*, *Gfap*, et *MBP* (Myelin Binding Protein), des marqueurs neuronal, astrocytaire, et oligodendocytaire respectivement. *Cbp* interagit avec Stat3 au niveau du promoteur de *Gfap* pour induire l'astrogenèse¹⁷⁸. Ensuite, l'expression de *Hdac3* est suffisante pour déplacer Stat3 et le nouveau complexe *Hdac3/Cbp* est nécessaire pour l'inhibition de l'expression de gènes astrogéniques (*Gfap*, *NFIA*, *Aqp9*) et la nouvelle localisation de *Cbp* au locus de gènes de l'oligodendrogenèse comme *Olig2* et *Smarca2*¹⁷⁹. Le facteur de transcription Ngn1 (homologue murin de NEUROG1) active la neurogenèse notamment en séquestrant le complexe *Cbp/Smad1* hors des promoteurs de gènes astrocytaires et en inhibant les facteurs de transcription Stat¹⁸⁰.

1.4. Retard du développement, déficit intellectuel, et autisme

1.4.1 Définitions et informations générales

Les maladies neurodéveloppementales (Neurodevelopmental Disabilities – NDDs) sont relativement prévalentes dans la population; on estime qu'entre 3 et 5% de la population est affectée d'une forme de NDD^{181–183}. Elles peuvent être séparées en trois diagnostics: Retard du Développement Global (RDG ou DD, délai du développement), Déficit Intellectuel (DI), et Trouble du Spectre de l'Autisme (TSA). Le RDG est défini par un déficit dans au moins deux domaines du développement, soit la motricité globale ou fine, le langage, les capacités cognitives ou sociales, ou les tâches de quotidien¹⁸³. Il se présente généralement avant l'âge de 5 ans et est le présage d'un DI. Le DI ne peut, par définition, être diagnostiqué qu'à partir de 5 ans et est traditionnellement caractérisé grâce à un test de QI afin d'analyser les capacités de l'enfant dans l'intelligence et le comportement adaptatif, dans un contexte social déterminé au

préalable. On diagnostique un DI quand le score QI de l'individu est en dessous de 70¹⁸¹. Le TSA est plus compliqué à diagnostiquer et à distinguer des autres NDDs, du fait de ses symptômes parfois plus légers ou confondus avec des domaines impliqués dans le RGD ou le DI. Un enfant présentant avec un TSA a des défauts dans les relations interpersonnelles, la communication sociale, et parfois des comportements répétitifs ou des intérêts restreints. De plus, 70% des individus ayant un TSA ont une forme de DI, et 10% des cas de DI sont associés à un TSA¹⁸².

En général, la génétique des NDDs est mal comprise, bien qu'un lien causal entre anomalies chromosomiques, variabilité du nombre de copies, ou mutations ponctuelles ont été établis pour une multitude de phénotypes. Les mâles ont une prévalence de TSA au moins trois fois plus haute que les femelles, potentiellement expliqué par un modèle d'effet protecteur féminin où des variants ayant une charge pathogénique plus forte sont nécessaires pour un diagnostic, dû à des causes à la fois sociales et génétiques du fait de la présence d'un nombre de gènes associés au TSA sur le chromosome X^{184,185}. Aujourd'hui, un diagnostic ne se fait plus simplement par le phénotype, mais aussi par le génotype, où les individus sont aussi caractérisés par leur gène affecté grâce au séquençage de l'exome ou du génome¹⁸³. Il y a un enrichissement significatif de variants tronquant la protéine (VTPs) dans les cohortes de TSA/DI, et ce seulement dans les gènes qui ont une probabilité d'intolérance à la perte de fonction (pLI – probability of loss-of-function intolerance) qui est haute ($pLI > 0.995$), c'est-à-dire les gènes sensibles à l'haploïnsuffisance¹⁸⁵. Elle peut avoir lieu par la perte de fonction d'un domaine protéique, ou par la perte de l'expression du gène par la dégradation des ARNm non-sens (DMN). Pourtant, la majorité des variants identifiés (~65 % dans les trios *de novo*, les trios avec héritage, et les cas-contrôles *de novo*) sont des mutations faux-sens ponctuelles, laissant penser que ceux-ci fonctionnent par un mécanisme autre que l'haploïnsuffisance où des domaines particuliers de la protéine sont affectés^{185,186}. Malheureusement, des mutations faux-sens peuvent être localisées dans des régions du gène n'ayant pas d'impact, rajoutant du bruit dans les contrôles auxquels les individus affectés, et des mutations rares peuvent être détectées chez l'individu sans qu'elles ne soient causatives du phénotype. Aussi, des mutations dans différentes régions du gène peuvent causer des phénotypes à pénétrance variable à cause de leur impact unique sur la fonction de la protéine. Ainsi, les méthodes utilisées aujourd'hui ne permettent

qu'à la caractérisation de mutations causant des phénotypes très sévères, et des cas peuvent être ajoutés à une cohorte quand un phénotype plus léger est diagnostiqué avec une mutation dans le même gène.

Les gènes dont l'association avec un NDD est significative peuvent être regroupés dans des groupes fonctionnels distincts, soit la fonction neuronale/synaptique, le cytosquelette et les molécules d'adhésion, la régulation de l'expression génique, et la régulation de la traduction ou dégradation protéique^{182,185}. Dans une étude de 35,584 individus diagnostiqués avec un TSA avec ou sans co-mobidités (DI/DD), 99 gènes ont été identifiés comme étant statistiquement sur-représentés dans les variants identifiés chez les individus affectés. Sur les 99, 98 sont enrichis dans le cortex et ils sont tous exprimés en plus grande quantité dans le cortex prénatal par rapport au cortex postnatal¹⁸⁵. De plus, les types cellulaires associés à ces gènes sont les neurones en maturation et matures, les astrocytes, et les POCs. En séparant les gènes impliqués dans la fonction neuronale et ceux impliqués dans la régulation de l'expression génique, cette étude démontre que les gènes de régulation de l'expression génique sont plus exprimés dans les stades primaires du développement, et sont enrichis dans le TSA associé au DI/DD; les gènes de la fonction neuronale sont au contraire enrichis plus tard dans le développement et impliqués dans le TSA seul.

1.4.2 Caractérisation des phénotypes étudiés

1.4.2.a Les BAFOpathies et *SMARCC2*

Les syndromes causés par des mutations dans les gènes codant pour des sous-unités du complexe BAF, et plus récemment aussi dans le gène codant pour le facteur de transcription SOX11, ont été englobés dans un spectre de pathogénies nommé Troubles de Déficience Intellectuelle liés au SWI/SNF (TDISS)¹⁸⁷. Les TDISS représentent un spectre continu de phénotypes d'abord appelés Syndrome de Coffin-Siris (CSS, [OMIM: PS135900]) et Syndrome de Nicolaides-Baraitser (NBS, [OMIM: 601358]), mais dont la pénétrance extrêmement variable associée à un même gène a permis un regroupement sous une même identité plutôt que des syndromes singuliers. Les caractéristiques principales du SCS sont le DI, l'hypotonie, des problèmes d'alimentation, l'hypertrichose, et la malformation d'au moins un ongle et/ou un doigt de la main¹⁸⁸. Le SNB comprend le DI, une petite taille, la brachydactylie, des problèmes

du comportement, et des crises épileptiques¹⁸⁹. Nous avons énuméré les caractéristiques des phénotypes associés à chaque gène, et montré qu'il existe une grande variabilité dans les présentations cliniques des individus affectés¹⁹¹.

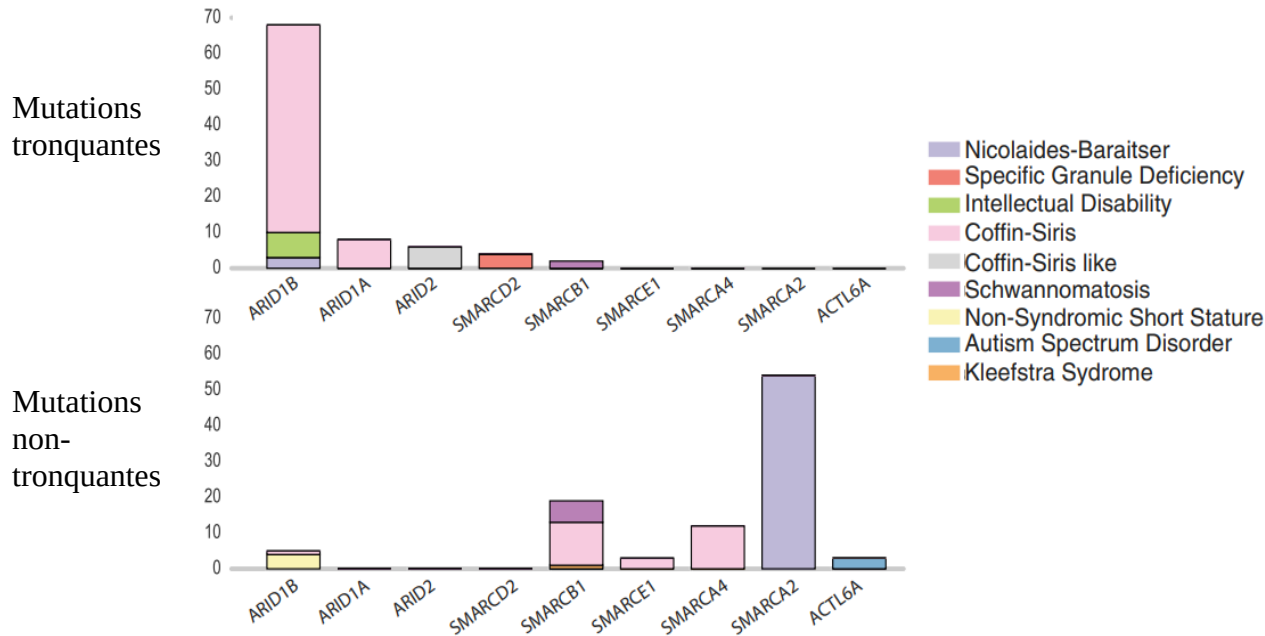


Figure 6: Répartition des mutations associées à un syndrome neurodéveloppemental dans les gènes du complexe BAF (Adapté de Mashtalar, et al. 2018). Des mutations tronquantes (mutations non-sens ou dans un site d'épissage) ou non-tronquantes (mutations ponctuelles faux sens ou additions/délétions ne changeant pas le cadre de lecture) ont été associées aux TDISS et d'autres maladies). Les barres représentent le nombre d'individus rapportés dans la littérature pour chacun des syndrômes.

Dans tous les cas reportés de TDISS, deux tiers des mutations sont retrouvés dans les gènes *ARID1B* (*BAF250b*) et *SMARCA2* (*BRM, BAF190B*) (Figure 6)¹⁸⁷. En revanche, 97% des mutations probablement pathogéniques dans le gène *ARID1B* (n=119) fonctionnent par une perte de fonction (changement du cadre de lecture, troncation, site d'épissage). Au contraire, les mutations de *SMARCA2* sont presque toutes faux-sens ou ne changent pas le cadre de lecture, avec une accumulation significative au niveau du domaine SNF2 ATPase, pointant vers un mécanisme pathogénique différent. Cependant, il est impossible de savoir si la cause de la prévalence des mutations de *ARID1B* est une mutagénicité particulière à son locus, ou une pathogénicité mutationnelle moins restrictive. La famille des gènes SMARC semble être plus affectée par des mutations ponctuelles agissant par un mécanisme de gain de fonction où ces

mutations sont localisées dans des domaines fonctionnels de la protéine. Les gènes de la famille ARID sont plutôt porteurs de mutations qui ne sont pas regroupées et qui fonctionneraient par perte de fonction ou haploinsuffisance.

Nous avons présenté 15 individus portant des mutations *de novo* dans le gène *SMARCC2* et présentant des caractéristiques du TDISS¹⁹⁰. Les individus ont tous une forme de DI allant de léger (5/15) à modéré/profond (10/15), avec 13 des individus ayant un défaut du langage. Huit des individus sont porteurs d'une mutation faux-sens et un individu porte une délétion d'un codon, deux individus sont porteurs de mutations tronquantes dans le N-terminus de la protéine, et quatre individus sont porteurs de mutations dans des sites d'épissage. Toutes les mutations sont localisées au niveau de nucléotides extrêmement conservés dans les vertébrés, et semblent indiquer un rôle important des domaines protéiques SWIRM et SANT de *SMARCC2* dans la pathologie.

1.4.2.b Syndrome Neurodéveloppemental associé à *CHD3*

Plusieurs des hélicases de la famille des CHD ont été associées à des syndromes neurodéveloppementaux. Ces syndromes impliquent tous une forme de DI ou de TSA, et la majorité implique des anomalies du SNC (macro/microcéphalie, anomalies du prosencéphale). Les phénotypes variables peuvent être expliqués par les rôles à la fois redondants et singuliers des hélicases dans le développement¹⁹¹.

Tableau I - Syndromes associés aux hélicases de la famille CHD

Gène	Phénotype	Références
CHD1	Syndrome de Pilarowski-Bjornsson [OMIM:617682]	192
CHD2	Épilepsie myoclono-astatique du jeune enfant [OMIM:615369]	193–196
CHD3	Syndrome de Snijders Blok – Campeau [OMIM:618205]	197,198
CHD4	Syndrome de Sifrim-Hitz-Weiss [OMIM:617159]	199,200
CHD5	-	
CHD6	-	
CHD7	Syndrome CHARGE [OMIM:214800]	201–203
CHD8	Autisme [OMIM: 615032]	204,205
CHD9	-	

Nous avons rapporté 35 individus avec des mutations *de novo* dans le gène *CHD3*¹⁹⁷. Tous les individus ont un DI avec un QI allant de 70-85 à en dessous de 35, avec des défauts dans l'apprentissage du langage. La majorité des individus affectés présentent une macrocéphalie, tandis qu'un présente une microcéphalie; 75% ont aussi de l'hypotonie. Sur les 35 individus, 31 sont porteurs de mutations faux-sens, deux sont porteurs d'une délétion d'un codon et un porteur d'une mutation d'épissage ne changeant pas le cadre de lecture. Le dernier individu est porteur d'une mutation à l'extrémité C-terminale changeant le cadre de lecture et rajoutant 108 acide-aminoacides. Ce transcrit est correctement exprimé et n'est pas dégradé par DMN.

1.4.2.c Syndrome Neurodéveloppemental associé à *TRRAP*

Les KAT/KDACs sont impliqués dans une multitude de syndromes neurodéveloppementaux et neurodégénératifs. Les phénotypes associés sont multiples et à sévérité variable.

Tableau II - Syndromes Associés aux KATs/KDACs

Gène	Phénotype	Références
HDAC4	Délétion Chromosome 2q37 [OMIM:600430]	206
HDAC6	Chondrodysplasie avec Platyspondylie, Brachydactylie, Hydrocéphalie, et Microptalgie [OMIM:300863]	207,208
HDAC8	Syndrome Cornelia De Lange [OMIM:300882]	209,210
HDAC9	Autisme, Schizophrénie	211–213
KAT6A	Retard du Développement global et microcéphalie [OMIM:616268]	214,215
KAT6B	Syndrome Génitopatellaire [OMIM:606170] Syndrome de Say-Barber-Biesecker-Young-Simpson [OMIM:603736]	216–219
CREBBP (CBP)	Syndrome de Rubinstein-Taybi 1 [OMIM:180849] Duplication Chromosome 16p.13.3 [OMIM:613458]	220–222
EP300 (p300)	Syndrome de Rubinstein-Taybi 2 [OMIM:613684]	223,224
BRPF1	DI avec Facies Dysmorphique et Ptosis [OMIM:617333]	225

Nous avons caractérisé 24 individus portant des mutations faux-sens *de novo* dans le gène *TRRAP*²²⁶. Les individus présentent tous un DI ou une forme de TSA, mais il semblerait y avoir une corrélation entre la localisation de la mutation et la sévérité du phénotype, avec une accumulation significative de mutations autour de la mutation récurrente NM_001244580.1 c.3127G>A,p.A1043T, donnant lieu à un phénotype syndromique associé à des malformations du cerveau, du cœur, des reins, ou du système génito-urinaire. Le second phénotype est caractérisé par un DI ou TSA avec ou sans épilepsie.

1.5. Gènes à l'étude

1.5.1 SMARCC2: SWI/SNF Related, Matrix Associated, Actin Dependent Regulator of Chromatin Subfamily C Member 2

Le gène *SMARCC2* encode la protéine BAF170, une protéine faisant partie du cœur du complexe BAF. Récemment, une étude de la composition structurale du complexe BAF a permis

la caractérisation systématique des interactions entre ses sous-unités²²⁷. Par la fixation et la caractérisation des différents complexes BAF, Mashtalir et al. ont pu démontrer que le cœur initial est formé d'un dimère SMARCC (homo/hétérodimère avec SMARCC1 et/ou SMARCC2) et d'une sous-unité SMARCD.

L'intégration d'autres sous-unités structurales se fait de façon subséquente, tandis que le module ATPase formé au minimum de l'hélicase SMARCA2/4, d'une sous-unité ACTL6, d'actine, et de BRD7 ne se fait qu'en dernier.

Les mutations que nous avons identifiées dans le gène *SMARCC2* sont localisées majoritairement dans des domaines connus, soit les domaines SMARCC et le domaine SANT. Les mutations sont visualisables dans la section résultats 3.2.2 (Figure 13). Les premiers, SMARCC_N localisé en N-terminal, et SMARCC_C, en C-terminal, sont des domaines présents dans BAF155/170 et qui sont extrêmement conservés jusqu'à leurs orthologues chez *S. Pombe* Ssr1/2 et chez *S. Cerevisiae* Swi3, mais dont la fonction n'est pas connue^{228,229}. Le second domaine touché est le domaine SANT (Swi3, Ada2, N-CoR, TFIIB), qui est un court domaine retrouvé chez plusieurs protéines impliquées dans le remodelage de la chromatine ou la régulation de l'expression génique. Il a une homologie structurale avec les domaines HTH (helix turn helix) qui se lie à l'ADN, mais a au contraire une fonction de liaison aux protéines, notamment aux histones^{230,231}. Un dernier domaine est présent dans la protéine SMARCC2: le domaine SWIRM. Celui-ci est un domaine associé à la liaison à l'ADN et aux nucléosomes, et est indispensable pour la formation des complexes associés aux protéines ayant ce domaine^{232,233}.

SMARCC1 et SMARCC2 sont interchangeables dans le complexe BAF, étant capables de former des homo/hétéro-dimères, mais leur stœchiométrie change au cours du développement, suggérant à la fois une redondance et un rôle unique pour chacune des protéines. Par exemple, le complexe esBAF présent dans les cellules souches embryonnaires ne contient que l'homodimère SMARCC1²³⁴. La double délétion de *SMARCC1/SMARCC2* induit la dégradation quasi-totale des autres sous-unités du complexe BAF, ce qui signifierait que la formation du complexe est dépendante du dimère SMARCC et que les autres sous-unités sont dégradées de façon ubiquitaire si elles ne sont pas incorporées dans un complexe²²⁷.

1.5.2 CHD3: Chromodomain Helicase DNA binding protein 3

Le gène *CHD3* encode une hélicase ATP-dépendante, qui avec CHD4 et CHD5, peut s'insérer dans le complexe NuRD et agir en tant que remodeleur de la chromatine. Nous avons

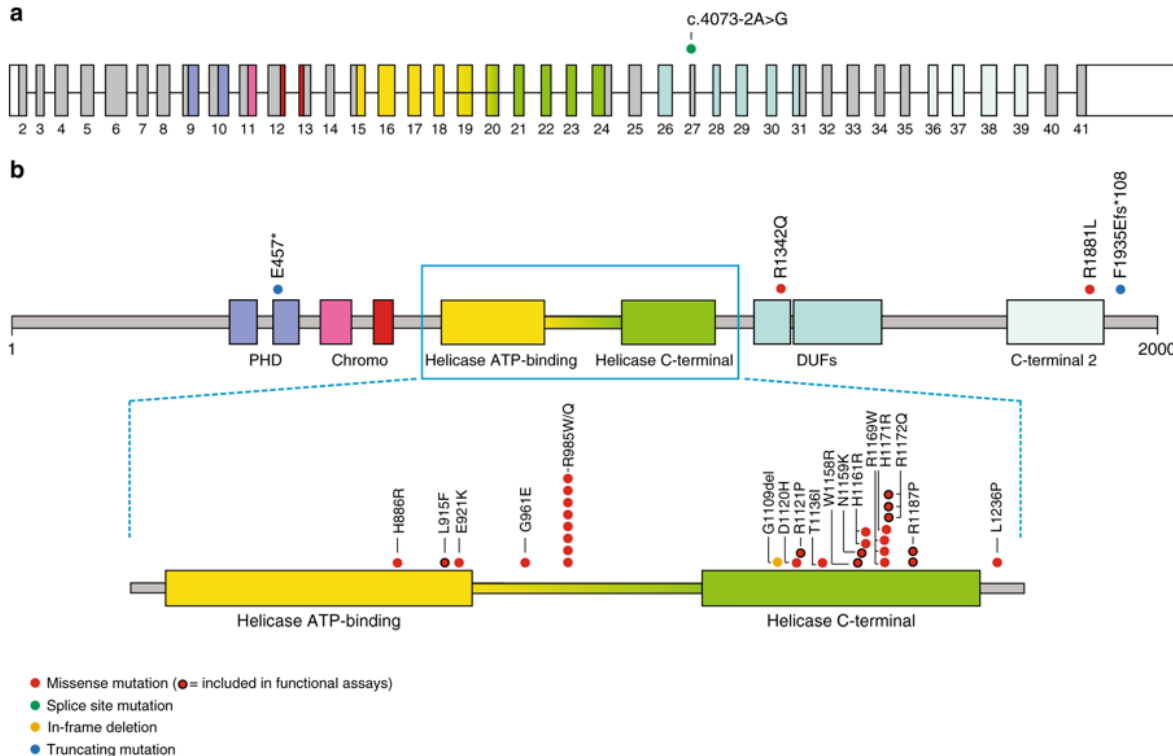


Figure 7: Localisation des mutations dans *CHD3* associées au syndrome Snijders-Blok-Campeau. Chaque individu est représenté par un point, et chaque mutation est classifiée selon sa fonction : le rouge représente une mutation faux-sens, le vert une mutation d'un site d'épissage, le jaune une délétion n'affectant pas le cadre de lecture, et le bleu une mutation tronquante.

caractérisé 35 individus avec 23 mutations *de novo* différentes; toutes les mutations sauf quatre étant des mutations faux-sens¹⁹⁷. La localisation des mutations présente un regroupement frappant, avec la quasi-totalité des mutations retrouvés dans les domaines de l'hélicase de liaison à l'ATP ou C-terminal, ou entre les deux (Figure 7). Ce phénomène suggère que la pathogénicité des mutations est due à une perte de la capacité de remodelage de la chromatine, soit par sa capacité de lier et d'hydrolyser l'ATP, soit par sa capacité de remodelage des nucléosomes.

La protéine CHD3 possède plusieurs domaines connus, dont deux domaines PHD (Plant HomeoDomain) qui sont impliqués dans l'épigénétique et la régulation de la transcription. Dans la HAT p300, le domaine PHD est responsable de sa liaison aux nucléosomes hautement

acétylés en conjonction avec son domaine Bromo²³⁵. Le domaine Chromo (Chromatin Organization Modifier) participe à la formation de l'hétérochromatine et pourrait prendre part dans la reconnaissance de nucléosomes méthylés²³⁶. Il est intéressant de noter que CHD3 et CHD4 sont particulièrement présents au niveau de l'hétérochromatine, et CHD3 est significativement enrichi dans l'hétérochromatine périnucléolaire¹²⁵. Tous ces domaines sont aussi présents dans son homologue CHD4, où les domaines PHD, Chromodomain, DUF (Domain of Unknown Function), et domaine C-terminal sont nécessaires pour réguler leur activité ATPase^{132,237}.

1.5.3 TRRAP: Transformation/Transcription domain Associated Protein

Le gène *TRRAP* encode une protéine de 3859 acides aminés de la famille des PIKKs qui n'a pas de fonction enzymatique à cause de la perte d'un acide aminé critique dans son site catalytique²³⁸. Toutes les PIKKs ont un domaine kinase, flanqué de domaines FAT et FATC, de sorte à former un motif FAT/PIKK/FATC. Les domaines FATC des PIKKs sont nécessaires pour l'interaction avec TIP60 et sont fonctionnellement interchangeables²³⁹. Le domaine FAT, quant à lui, est relativement conservé mais sa fonction n'est pas connue²⁴⁰.

Nous avons caractérisé 24 individus portant 17 mutations *de novo* différentes dans le gène *TRRAP*²²⁶. Pourtant, toutes sauf une mutation sont localisées en dehors des domaines connus, et sont restreints de façon significative dans des régions spécifiques, suggérant la présence de domaines fonctionnels non-identifiés (Section résultats 3.1.2, Figure 8). Effectivement, dans son homologue chez la levure *Tra1*, la délétion systématique des séquences répétées de type HEAT (Huntingtin, EF3, PP2A, TOR1 – structure secondaire formée de deux hélices alpha reliées par une liaison courte) a démontré que les régions mutées chez les individus les plus affectés sont indispensables pour la survie cellulaire et la liaison avec les complexes SAGA et/ou NuA4¹³⁸. En revanche, les délétions comprenant les mutations associées avec un phénotype moins sévère (acides aminés 1859-1932) sont viables et permettent quand même l'association avec les complexes SAGA et NuA4, suggérant un mécanisme pathogénique différent.

1.6 Problématique et Hypothèses

Problématique : Les régulateurs de la chromatine sont importants pour le développement neural par leur coordination des changements de profils d'expression génique au cours du temps à travers des modifications directes de la chromatine qui lui donnent une structure plus ou moins ouverte et prédisposée à la transcription génique. Nous avons caractérisé des individus présentant des symptômes de syndrômes neurodéveloppementaux caractérisés principalement par un DI, DD, et/ou TSA. Ceux-ci sont porteurs de variants dans des gènes codant pour des régulateurs de la chromatine (*TRRAP*, *SMARCC2*, et *CHD3*).

Hypothèse : Nous émettons l'hypothèse que les mutations ont un impact sur la fonction de ces sous-unités de complexes épigénétiques, qui se reflète par des changements de l'expression de gènes normalement régulée par ces complexes, et que c'est ce dérèglement qui donne lieu aux syndrômes observés.

Objectifs : Afin de tester l'impact des variants potentiellement pathogéniques sur le fonctionnement des complexes associés à *TRRAP*, *SMARCC2*, et *CHD3*, on cherche à évaluer si l'expression génique gloable de cellules provenant d'individus porteurs de ces variants est significativement différente de celles provenant d'individus sains. Pour tester cette hypothèse, nous avons utilisé des cellules provenant de certains des individus affectés, soit des lignées primaires fibroblastiques et des lignées transformées lymphoblastoïques afin d'étudier l'impact des mutations sur l'expression génique par séquençage à haut débit de l'ARNm. Ensuite, sachant que la régulation de l'expression génique se fait par des modifications de la chromatine orchestrées par les complexes de remodelage de la chromatine que l'on étudie, et que celles-ci ont un impact sur l'ouverture de la chromatine, nous cherchons à évaluer cet état par ATACseq (Assay of Transposase Accessible Chromatin).

Résultats attendus : Nous nous attendons à trouver des profils d'expression génique différents dans les cellules provenant d'individus affectés par rapport aux cellules d'individus sains, et que les gènes affectés par des variants dans un même gène soient en majorité identiques car ce seraient les gènes cibles du complexe en temps normal. De plus, nous nous attendons à ce que l'ouverture de la chromatine soit différente entre les individus affectés et sains dans les régions proches des gènes dérégulés.

2. Matériel et Méthodes

2.1. Génération de lignées fibroblastiques et lymphoblastoïques et extraction d'ARN

2.1.1 Génération de lignées et extraction d'ARN

Les lignées fibroblastes utilisées sont établies depuis une biopsie de peau des individus. La biopsie est découpée et placée dans un pétri, peau vers le haut, dans un milieu DMEM (Dulbecco's Minimum Essential Medium) à haut glucose, 20% FBS (en anglais, Sérum Bovin Fétal), 1% Pénicilline/Streptomycine, 1% Glutamax. Huit jours plus tard et quand la biopsie a bien adhéré, les cellules sont trypsinisées puis du milieu frais est rajouté. Quand suffisamment de fibroblastes sont visibles autour de la biopsie, les cellules sont trypsinisées et transférées dans un nouveau contenant dans du DMEM à haut glucose, 10% FBS, 1% Pen/Strep, 1% Glutamax. Les cellules sont cultivées jusqu'à 80-90% confluence, puis trypsinisées, lavées deux fois au PBS 1X (en anglais, Saline Tamponnée au Phosphate), et lysées du Qiazol. L'ARN total est ensuite extrait à l'aide du kit Qiagen RNEasy mini, et traité à la DNase avec le kit Turbo DNA free.

Les lignées lymphoblastoïques utilisées sont établies à partir du sang des individus. Six à huit mL sang sont déposés sur un volume 1:1 équivalent de Ficoll-Plaque dans un tube de 15mL qui est centrifugé sans freinage à 2000rpm pendant 20 minutes. Les cellules mono-nucléées sanguine périphériques (Peripheral Blood Mononucleated Cells, PBMCs) à l'interface entre le plasma et les cellules erythroïdes sont transférées dans un nouveau tube et lavées plusieurs fois avec du milieu RPMI (Roswell Park Memorial Institute) avec 1% FBS. Les cellules sont ensuite resuspendues dans du RPMI contenant du virus Eppstein-Barr et incubées à 37°C pendant une heure. Enfin, elles sont transférées dans un contenant T75 avec 7mL de

RPMI 10% FBS, 1% Pen/Strep, 1% Glutamax, 0.5gml⁻¹ Cyclosporine A. Quand les cellules ont atteint une confluence optimale (un million de cellules par mL de milieu), les cellules sont centrifugées et lavées deux fois au PBS. L'ARN total est isolé de la même façon que pour les fibroblastes.

Tableau III - Cellules utilisées dans les expériences.

Gène Affecté	Variant	Type Cellulaire	Sexe	Age
CHD3	NM_001005273.2 : p.L915F	Fibroblaste	F	4 ans
CHD3	NM_001005273.2 : p.N1159K	Fibroblaste	F	8 ans
SMARCC2	NM_003075.3 : p.L610P	Fibroblaste	M	11 ans
SMARCC2	NM_003075.3 : p.N134D	Fibroblaste	M	5 ans
SMARCC2	NM_003075.3 : c.1833+1G>T	LCL (pas de RNAseq)	M	11 ans
TRRAP	NM_001244580.1 : p.A1043T	Fibroblaste (pas de RNAseq), LCL	F	2 ans
TRRAP	NM_001244580.1 : p.W1866C	Fibroblaste	F	10 ans
TRRAP	NM_001244580.1 : p.L805F	Fibroblaste, LCL	F	8 ans
TRRAP	NM_001244580.1 : p.G1883R	Fibroblaste (pas de RNAseq)	M	16 ans
TRRAP	NM_001244580.1 : p.A1043T	LCL	F	7 ans
Contrôle Sain RNAseq et qPCR	NA	Fibroblaste	F	9 ans
Contrôle Sain RNAseq et qPCR	NA	Fibroblaste	M	9 ans
Contrôle Sain RNAseq	NA	Fibroblaste	F	39 ans

Contrôle RNAseq	Sain	NA	Fibroblaste	F	Inconnu
Contrôle qPCR	Sain	NA	Fibroblaste	M	1 an
Contrôle qPCR	Sain	NA	Fibroblaste	F	3 mois
Contrôle qPCR	Sain	NA	Fibroblaste	M	7 ans
Contrôle qPCR	Sain	NA	Fibroblaste	F	16 ans
Contrôle RNAseq	Sain	NA	LCL	F	46 ans
Contrôle RNAseq	Sain	NA	LCL	F	39 ans
Contrôle RNAseq	Sain	NA	LCL	F	Inconnu

2.1.2 Séquençage d'ARN et qPCR

La qualité de l'ARN a ensuite été analysée par la plateforme de séquençage au Centre Intégré de Génomique Clinique Pédiatrique CHU Sainte-Justine et Génome Québec (CIGCP) avec le Bioanalyseur Agilent 2100. Les librairies ont été préparées avec des échantillons ayant un RIN (RNA Integrity Number) de plus de 8. Les librairies ont été préparées avec le kit Illumina TruSeq Stranded mRNA V2 (Illumina) ou le kit NEBNext Ultra Directional II (New England Biosystems). Nous étions intéressés principalement par les ARNs codants car ceux-ci sont les

mieux annotés et permettent une analyse fonctionnelle plus simple, et nous avons choisi ces préparations des librairies sur les conseils de la plateforme de Génomique du CHU Sainte Justine. Les librairies ont ensuite été séquencées sur Illumina HiSeq4000 ou NovaSeqS2 avec au moins 25 millions de reads de 100pb par échantillon.

Pour la quantification d'ARNm par RT-qPCR, l'ARN est isolé de la même façon, traité à la DNase, puis 3 µg d'ARN sont rétro-transcrits avec le kit qScript cDNA Supermix (Quantabio). L'ADN complémentaire obtenu est ensuite utilisé à une dilution finale de 1/200 et quantifié avec le kit de qPCR PowerUp SYBR Green Master Mix (Thermo).

2.1.3 ATACseq

2 millions de fibroblastes congelés dans du DMEM +10% FBS, 1% P/S, 1% Glutamax, 10% DMSO ont été envoyées à la compagnie Quick Biology (Pasadena, USA). Les cellules ont été homogénéisées, les noyaux isolés, et les librairies préparées in-vitro selon le protocole de la compagnie. Les librairies ont ensuite été séquencées par Illumina HiSeq4000, avec 80 millions de reads par échantillon en paired-end, soit 40 millions de fragments.

Tableau IV: Séquence des amores utilisées pour la quantification par PCR en temps réel. Les amores ont été générées manuellement à partir des séquences de cDNA de l'isoforme le plus long pour chaque gène, téléchargées depuis NCBI Refseq et visualisées sur Geneious version 7.0. La spécificité et le potentiel de dimérisation a été vérifié sur NCBI PrimerBlast.

Amorce	Séquence
SE_hABCC9_qPCR_F	TCGCTTCCTTTGAGTCCTG
SE_hABCC9_qPCR_R	ATGTCCCTGTTCTGCGG
SE_hKCNJ8_qPCR_F	GCTCTCGCTATCATGTGGT
SE_hKCNJ8_qPCR_R	GAAGAGAAAAGCAGAAGTGAAAGAC
SE_hSLC12a8_qPCR_F	TGTCTTGCGGGTTTCTTCCC
SE_hSLC12a8_qPCR_R	AACAGCTGCCAGGGAGCC
SE_hSLC12a7_qPCR_F	TGCGTCGTGCTGTCCATCC
SE_hSLC12a7_qPCR_R	TTGACGCAGGCATCGAACG
SE_hADR2A_qPCR_F	TCGTCATCATGCCGTGTT
SE_hADR2A_qPCR_R	AAGCCTGCCGAAGTACCAAG
SE_hARRB1_qPCR_F	AAGAAGGCCAGTCAAATGG
SE_hARRB1_qPCR_R	GTCCACGAGGTCGATGTGG
SE_hKCNS1_qPCR_F	TTCCCGTACTCAAGTTGG
SE_hKCNS1_qPCR_R	AACACTGACACACCCACAGC
SE_hGRK3_qPCR_F	TGCAGGAAAGCAGACACTGG
SE_hGRK3_qPCR_R	TTAAGGCTAATGTTCTCCTTG
SE_hSMARCC2_qPCR_F	AGTATCTTACCTCTACCGCC
SE_hSMARCC2_qPCR_R	TAAGACCCCACTGTTCTAGG

2.2. Analyse Bioinformatique

Tous les fichiers contenant le code informatique que j'ai écrit sont disponibles sur github.com/CampeauPipelines.

2.2.1 Séquençage de l'ARN

Les librairies ont été analysées avec le pipeline bioinformatique Genpipes de MUGQIC (McGill University Genome Quebec and Innovation Centre)²⁴¹. En résumé, les fichiers BAM ont été retransformés en FASTQ avec le paquet Picard²⁴², les séquences ont été raccourcies avec Trimmomatic²⁴³, puis alignées sur le génome GRCh38 avec le paquet STAR²⁴⁴. Les séquences

dupliquées et mal alignées ont été enlevées avec Picard, puis les comptes par gène ont été déterminés avec le paquet Htseq²⁴⁵. Ensuite, l’analyse de l’expression différentielle a été réalisée avec le paquet DESeq2 sur R²⁴⁶. Les annotations GO (Gene Ontology) et leur enrichissement sont analysés avec le logiciel web GOrilla²⁴⁷ ou Panther²⁴⁸.

2.2.2 ATACseq

Les fichiers FASTQs ont été raccourcis avec Trimmomatic²⁴³, puis alignées avec Bowtie2 avec les paramètres additionnels --local et -mm²⁴⁹. Les fichiers ont ensuite été organisés et les duplicitas annotés et enlevés avec Samtools et Picard^{242,250}. Enfin, les pics ont été détectés avec MACS2 avec les paramètres --broad, --nomodel, --extsize 200, --nolambda, et l’analyse statistique réalisée avec Homer (findPeaks.pl et AnnotatePeaks.pl)^{251,252}.

2.2.3 Analyse du regroupement statistique des mutations

L’analyse a été effectuée sur le transcrit le plus long de chaque gène selon la méthode déjà publiée¹⁸⁶. Pour les mutations introniques dans les sites d’épissage, la mutation est annotée selon le nucléotide codant le plus proche.

3. Résultats

3.1 Des mutations dans le gène *TRRAP* sont associées à un syndrome neurodéveloppemental et induisent des changements d'expression génique

3.1.1 Mise en situation

Le gène *TRRAP* encode une protéine de près de 4000 acides-aminés qui est présent dans plusieurs complexes histone acétyl-transférase et interagit avec E2F et Myc pour activer leur activité transcriptionnelle. Nous avons identifié des mutations dans le gène *TRRAP* associées à un syndrome neurodéveloppemental, et avons montré un impact de certaines de ces mutations sur le profil d'expression de cellules provenant d'individus affectés.

Benjamin Cogné a organisé le recrutement des patients et leur regroupement et a, avec Eliane Beauregard-Lacroix, étudié le phénotype des individus affectés. J'ai cultivé les cellules des individus et extrait l'ARN, puis j'ai effectué les analyses bio-informatiques. Thomas Garcia a fait les RT-qPCR pour vérifier les gènes ciblés. Slavé Petrovski a réalisé l'image composite des photos d'individus affectés. Benjamin, Eliane, Justine et moi avons participé à la rédaction de l'article. Les autres auteurs sont des cliniciens qui ont participé au recrutement de patients et à la collecte des données. Le papier est publié : Cogné et al., *Am J Hum Genet* 2019²²⁶.

3.1.2 Article 1

Missense variants in the histone acetyltransferase complex component gene *TRRAP* cause autism and syndromic intellectual disability. Benjamin Cogné,^{1,2,80} Sophie Ehresmann,^{3,80} Eliane Beauregard-Lacroix,^{3,80} Justine Rousseau,³ Thomas Besnard,^{1,2} Thomas Garcia,³ Slavé Petrovski,^{4,5} Shiri Avni,⁶ Kirsty McWalter,⁷ Patrick R. Blackburn,^{8,9} Stephan Sanders,¹⁰ Kévin Uguen,^{11,12} Jacqueline Harris,^{13,14} Julie S. Cohen,¹³ Moira Blyth,¹⁵ Anna Lehman,¹⁶ Jonathan Berg,¹⁷ Mindy H. Li,¹⁸ Usha Kini,¹⁹ Shelagh Joss,²⁰ Charlotte von der Lippe,²¹ Christopher T. Gordon,^{22,23} Jennifer B. Humberson,²⁴ Laurie Robak,²⁵ Daryl A. Scott,^{25,26,27} Vernon R. Sutton,^{25,26,28} Cara M. Skraban,^{29,30} Jennifer J. Johnston,³¹ Annapurna Poduri,³² Magnus Nordenskjöld,^{33,34} Vandana Shashi,³⁵ Erica H. Gerkes,³⁶ Ernie M. Bongers,³⁷ Christian Gilissen,³⁷ Yuri A. Zarate,³⁸ Malin Kvarnung,^{33,34} Kevin P. Lally,³⁹ Peggy A. Kulch,⁴⁰ Brina Daniels,³⁸ Andres Hernandez-Garcia,²⁵ Nicholas Stong,⁴¹ Julie McGaughran,⁴² Kyle Retterer,⁷ Kristian Tveten,⁴³ Jennifer Sullivan,³⁵ Madeleine R. Geisheker,⁴⁴ Asbjorg Stray-Pedersen,⁴⁵ Jennifer M. Tarpinian,⁴⁶ Eric W. Klee,^{8,9,47,48} Julie C. Sapp,³¹ Jacob Zyskind,⁷ Øystein L. Holla,⁴³ Emma Bedoukian,⁴⁶ Francesca Filippini,^{22,23} Anne Guimier,^{22,23,49} Arnaud Picard,^{23,50} Øyvind L. Busk,⁴³ Jaya Punetha,²⁵ Rolph Pfundt,³⁷ Anna Lindstrand,^{33,34} Ann Nordgren,^{33,34} Fayth Kalb,⁵¹ Megha Desai,⁷ Ashley Harmon Ebanks,³⁹ Shalini N. Jhangiani,⁵² Tammie Dewan,¹⁶ Zeynep H. Coban Akdemir,²⁵ Aida Telegrafi,⁷ Elaine H. Zackai,^{29,30} Amber Begtrup,⁷ Xiaofei Song,²⁵ Annick Toutain,^{53,54} Ingrid M. Wentzensen,⁷ Sylvie Odent,^{55,56} Dominique Bonneau,^{57,58} Xénia Latypova,^{1,2} Wallid Deb,^{1,2} CAUSES Study,¹⁶ Sylvia Redon,^{11,12} Frédéric Bilan,^{59,60} Marine Legendre,^{59,60} Caitlin Troyer,²⁴ Kerri Whitlock,⁶¹ Oana Caluseriu,⁶¹ Marine I. Murphree,⁴⁷ Pavel N. Pichurin,⁴⁷ Katherine Agre,⁴⁷ Ralitza Gavrilova,^{47,62} Tuula Rinne,³⁷ Meredith Park,⁶³ Catherine Shain,⁶⁴ Erin L. Heinzen,⁴¹ Rui Xiao,^{25,65} Jeanne Amiel,^{22,23,49} Stanislas Lyonnet,^{22,23,49} Bertrand Isidor,^{1,2} Leslie G. Biesecker,³¹ Dan Lowenstein,⁶⁶ Jennifer

E. Posey,²⁵ Anne-Sophie Denommé-Pichon,^{57,58} Deciphering Developmental Disorder study,⁶⁷
Claude Férec,^{11,12} Xiang-Jiao Yang,^{68,69} Jill A. Rosenfeld,²⁵ Brigitte Gilbert-Dussardier,^{59,60}
Séverine Audebert-Bellanger,⁷⁰ Richard Redon,² Holly A. F. Stessman,⁷¹ Christoffer
Nellaker,^{72,73,74} Yaping Yang,^{25,65} James R. Lupski,^{25,26,52,75} David B. Goldstein,⁴¹ Evan E.
Eichler,^{44,76} Francois Bolduc,^{61,77,78} Stéphane Bézieau,^{1,2} Sébastien Küry,^{1,2,81,*} Philippe M.
Campeau^{3,79,81,*}

1. CHU Nantes, Service de Génétique Médicale, 9 quai Moncousu, 44093, France;
2. l’Institut du Thorax, INSERM, CNRS, UNIV Nantes, 44007 Nantes, France;
3. Centre Hospitalier Universitaire Sainte-Justine Research Centre, University of Montreal, Montreal, QC H3T 1C5, Canada;
4. Department of Medicine, The University of Melbourne, Melbourne, Australia;
5. AstraZeneca Centre for Genomics Research, Precision Medicine and Genomics, IMED Biotech Unit, AstraZeneca, Cambridge CB2 0AA, UK;
6. Visual Geometry Group, Dept. of Engineering Science, University of Oxford, Oxford OX1 3PJ, UK;
7. GeneDx, 207 Perry Parkway, Gaithersburg, Maryland 20877, USA;
8. Department of Laboratory Medicine and Pathology, Mayo Clinic, Rochester, MN, 55905, USA;
9. Center for Individualized Medicine, Health Sciences Research, Mayo Clinic, Rochester, MN 55905, USA;
10. Department of Psychiatry, UCSF Weill Institute for Neurosciences, University of California, San Francisco, San Francisco, California 94158, USA;
11. UMR1078 "Génétique, Génomique Fonctionnelle et Biotechnologies", Inserm, EFS, Université de Brest, ISBAM, 29200 Brest, France;
12. Laboratoire de Génétique Moléculaire et d’Histocompatibilité, CHRU Brest, 29200 Brest, France;
13. Division of Neurogenetics and Hugo W. Moser Research Institute, Kennedy Krieger Institute, Baltimore, MD 21205, USA;
14. McKusick-Nathans Institute of Genetic Medicine, Johns Hopkins University School of Medicine, Baltimore, MD 21205, USA;

15. Yorkshire Regional Genetics Service, Leeds Teaching Hospitals NHS Trust, Department of Clinical Genetics, Chapel Allerton Hospital, Chapeltown Road, Leeds LS7 4SA, UK;
16. Department of Medical Genetics, Children's and Women's Health Centre of British Columbia, Vancouver, BC V6H 3N1, Canada;
17. Molecular and Clinical Medicine, School of Medicine, University of Dundee, Ninewells Hospital & Medical School, Dundee DD1 9SY, UK;
18. Rush University Medical Center, Department of Pediatrics, Division of Genetics, Chicago, IL, 60612, USA;
19. Oxford Centre for Genomic Medicine, Oxford University Hospitals NHS Trust, Oxford OX3 7LE, UK;
20. West of Scotland Regional Genetics Service, Queen Elizabeth University Hospital, Glasgow G51 4TF, UK;
21. Department of Medical Genetics, St. Olav's Hospital, Trondheim University Hospital, 7006 Trondheim, Norway;
22. Laboratory of Embryology and Genetics of Human Malformations, Institut National de la Santé et de la Recherche Médicale (INSERM) UMR 1163, Institut Imagine, 75015 Paris, France;
23. Paris Descartes-Sorbonne Paris Cité University, Institut Imagine, 75015 Paris, France;
24. Division of Genetics, Department of Pediatrics, University of Virginia Children's Hospital, Charlottesville, Virginia 22903, USA;
25. Department of Molecular and Human Genetics, Baylor College of Medicine, Houston, TX 77030, USA;
26. Texas Children's Hospital, Houston, TX 77030, USA;
27. Department of Molecular Physiology and Biophysics, Baylor College of Medicine, Houston, TX 77030, USA;
28. Baylor Genetics, Houston, TX 77030, USA;
29. Division of Human Genetics, Children's Hospital of Philadelphia, Philadelphia, PA 19104, USA;
30. Department of Pediatrics, Perelman School of Medicine, University of Pennsylvania, Philadelphia, PA 19104, USA;
31. Medical Genomics and Metabolic Genetics Branch, National Human Genome Research Institute, National Institutes of Health, Bethesda, Maryland 20892-4472, USA;
32. Division of Epilepsy and Clinical Neurophysiology and Epilepsy Genetics Program, Boston Children's Hospital, Harvard Medical School, Boston, MA 02115, USA;

33. Department of Molecular Medicine and Surgery, Center for Molecular Medicine, Karolinska Institutet, 17176 Stockholm, Sweden;
34. Department of Clinical Genetics, Karolinska University Hospital, 17176 Stockholm, Sweden;
35. Division of Medical Genetics, Department of Pediatrics, Duke University Medical Center, Durham, NC 27710, USA;
36. University of Groningen, University Medical Center Groningen, Department of Genetics, Groningen, 9700 RB, The Netherlands;
37. Department of Human Genetics, Donders Institute for Brain, Cognition and Behaviour, Radboud University Medical Center, Nijmegen, 6525 GA, the Netherlands;
38. Section of Genetics and Metabolism, University of Arkansas for Medical Sciences, Little Rock, Arkansas 72202, USA;
39. Department of Pediatric Surgery, The McGovern Medical School at the University of Texas Health Science Center at Houston, 6431 Fannin Street, Suite 5.258 Houston, Texas 77030 Children's Memorial Hermann Hospital, Houston, Texas;
40. Division of Genetics and Metabolism, Phoenix Children's Hospital, Phoenix, AZ 85006, USA;
41. Institute for Genomic Medicine, Columbia University, New York, NY 10032, USA;
42. Genetic Health Queensland, Royal Brisbane and Women's Hospital, Brisbane, Queensland and School of Medicine, The University of Queensland, Brisbane, Queensland 4029, Australia;
43. Department of Medical Genetics, Telemark Hospital Trust, 3710 Skien, Norway;
44. Department of Genome Sciences, University of Washington School of Medicine, Seattle, Washington 98195, USA;
45. Division of Pediatric and Adolescent Medicine, Oslo University Hospital - Rikshospitalet, Pb 4950 Nydalen, N-0424 Oslo, Norway;
46. Roberts Individualized Medical Genetics Center, Children's Hospital of Philadelphia, Philadelphia, Pennsylvania 19104, USA;
47. Department of Clinical Genomics, Mayo Clinic, Rochester, MN, 55905, USA;
48. Department of Biomedical Informatics, Mayo Clinic, Rochester, MN, 55905, USA;
49. Service de Génétique, Hôpital Necker-Enfants Malades, Assistance Publique - Hôpitaux de Paris (APHP), 75015 Paris, France;
50. Service de Chirurgie Maxillofaciale et Plastique, Centre de référence MAFACE, Hôpital Necker-Enfants Malades, Assistance Publique - Hôpitaux de Paris (APHP), 75015 Paris, France;

51. Division of Genetics, Birth Defects, and Metabolism, Ann & Robert H. Lurie Children's Hospital of Chicago, Chicago, IL 60611, USA;
52. Human Genome Sequencing Center, Baylor College of Medicine, Houston, TX 77030, USA;
53. CHU Tours, Service de Génétique, 2 Boulevard Tonnellé, 37044 Tours, France;
54. INSERM U1253, ibrain, Université de Tours, 37032 Tours, France;
55. Service de Génétique Clinique, Centre Référence "Déficiences Intellectuelles de causes rares" (CRDI), Centre de référence anomalies du développement CLAD-Ouest, CHU Rennes, 35203 Rennes, France;
56. CNRS UMR 6290, Université de Rennes, 2 Avenue du Professeur Léon Bernard, 35043 Rennes, France;
57. CHU Angers, Département de Biochimie et Génétique, 49933 Angers Cedex 9, France;
58. MITOVASC, UMR CNRS 6015-INSERM 1083, Université d'Angers, 49933 Angers, France;
59. CHU Poitiers, Service de Génétique, BP577, 86021 Poitiers, France;
60. EA 3808, Université Poitiers, 86034, France;
61. Department of Medical Genetics, University of Alberta, Edmonton, AB T6G 2H7, Canada;
62. Department of Neurology, Mayo Clinic, Rochester, MN, 55905, USA;
63. Epilepsy Genetics Program, Department of Neurology, Boston Children's Hospital, Boston, Massachusetts 02115, USA;
64. Department of Neurology, Boston Children's Hospital, Harvard Medical School, Boston, Massachusetts 02115, USA;
65. Baylor Genetics, Houston, TX, 77021, USA;
66. Department of Neurology, University of California, San Francisco, San Francisco, California 94143, USA;
67. Wellcome Trust Sanger Institute, Wellcome Trust Genome Campus, Hinxton CB10 1SA, UK;
68. Rosalind & Morris Goodman Cancer Research Center and Department of Medicine, McGill University, Montreal, QC H3A 1A3, Canada;
69. Department of Biochemistry, McGill University and McGill University Health Center, Montreal, QC H3A 1A3, Canada;
70. CHRU Brest, Génétique médicale, 29609 Brest, France;

71. Department of Pharmacology, Creighton University Medical School, Omaha, NE 68178, USA;
72. Nuffield Department of Women's and Reproductive Health, University of Oxford, Oxford, UK;
73. Institute of Biomedical Engineering, Department of Engineering Science, University of Oxford, Oxford, UK;
74. Big Data Institute, Li Ka Shing Centre for Health Information and Discovery, University of Oxford, Oxford OX3 7FZ, UK;
75. Department of Pediatrics, Baylor College of Medicine, Houston, TX 77030, USA;
76. Howard Hughes Medical Institute, Seattle, Washington 98195, USA;
77. Division of Pediatric Neurology, University of Alberta, Edmonton, Alberta, Canada;
78. Neuroscience and Mental Health Institute, University of Alberta, Edmonton, Alberta, Canada;
79. Department of Pediatrics, University of Montreal, Montreal, QC H3T1J4, Canada;
80. These authors contributed equally to this work.
81. These authors contributed equally to this work.

*Corresponding authors: p.campeau@umontreal.ca, sebastien.kury@chu-nantes.fr

Abstract

Acetylation of the lysine residues in histones and other DNA-binding proteins play a major role in regulation of eukaryotic gene expression. This process is controlled by histone acetyltransferases (HATs/KATs) found in multiprotein complexes that are recruited to chromatin by the scaffolding subunit TRAnsformation/tRanscription domain-Associated Protein (TRRAP). *TRRAP* is evolutionarily conserved and is among the top five genes intolerant to missense variation. Through an international collaboration, 17 distinct *de novo* or apparently *de novo* variants were identified in *TRRAP* in 24 individuals. A strong genotype-phenotype correlation was observed with two distinct clinical spectra. The first is a complex, multi-systemic syndrome characterized by a wide range of intellectual functioning, including a number of individuals with intellectual disability (ID) and markedly impaired basic life functions and associated with various malformations of the brain (i.e. cerebellar vermis hypoplasia and microcephaly), heart, kidneys, and genitourinary system. Individuals with this phenotype had missense variants clustering around the c.3127G>A p.(Ala1043Thr) variant identified in five individuals. The second spectrum manifested with autism spectrum disorder and/or ID and epilepsy. Facial dysmorphism was seen in both groups and included upslanted palpebral fissures, epicanthus, telecanthus, a wide nasal bridge and ridge, a broad and smooth philtrum and a thin upper lip. RNA sequencing analysis on affected individual-derived skin fibroblasts showed significant changes in expression of several genes implicated in neuronal function and ion transport. Thus, we describe here the clinical spectrum associated with *TRRAP* pathogenic missense variants and suggest a genotype-phenotype correlation useful for clinical evaluation of the pathogenicity of the variants.

Keywords:

TRRAP, histone acetylation, *de novo* variants, intellectual disability, congenital malformations, autism spectrum disorder

Introduction

Post-translational modifications of core histones including acetylation, methylation, phosphorylation, and ubiquitination directly alter DNA-histone and histone-histone interactions, thus influencing nucleosome dynamics^{1(p)}. Tight regulation of these marks is required by cells for proper gene transcription², DNA repair³, and DNA replication. One major activator of transcription is the acetylation of histone tails, which act by neutralizing the positive charges of lysine residues or by recruiting chromatin remodelers and transcription factors⁴. This tightly regulated process is performed by histone acetyltransferases (HAT) and reversed by histone deacetylases (HDAC). There are three major families of HAT: Gcn5-related N-acetyltransferase (GNAT), MOZ, YBF2/SAS3, SAS2, TIP60 (MYST), and EP300-CREBBP⁵. The activity and localization of most HATs like TIP60 or GCNL5 depend on a multiprotein assembly that contains the scaffolding protein TRAnsformation/tRanscription domain-Associated Protein (TRRAP).

TRRAP is a large protein of 3859 amino acids that is conserved from yeast to humans. It is an ataxia-telangiectasia mutated (ATM)-related member of the phosphatidylinositol (PI) 3-kinase-related kinase (PIKK) family⁶. Like other ATM-related members, it contains FAT (FRAP, ATM and TRRAP) and FATC (FRAP, ATM and TRRAP, C terminus) domains flanking a PI3/PI4-kinase domain. The kinase domain of TRRAP does not possess catalytic activity⁷, but is required for the proper recruitment of HAT complexes⁸. TRRAP has been shown to be involved in P53-, E2F- and c-MYC-dependent gene transcription and oncogenic transformation^{6,9,10}. As stressed in cancer studies, TRRAP plays an important role in cell cycle regulation. A recurrent somatic *TRRAP* variant c.2165C>T p.(Ser722Phe)¹¹ has been identified in melanoma and the oncogenic potential of TRRAP has been identified in glioblastoma multiforme¹², pancreatic adenocarcinoma¹³, and lymphoma¹⁰. Furthermore, *Trrap* knockout

leads to early embryonic lethality in mice through errors in the cell-cycle and a failure to arrest at the mitotic checkpoint¹⁴. In mouse embryonic stem cells (ESCs), *Trrap* is indispensable for self-renewal as well as correct differentiation¹⁵, suggesting an essential role in embryonic development and morphogenesis. Moreover, brain-specific *Trrap* knockout in mice leads to premature differentiation of neural progenitors and abnormal brain development through a decrease in the expression of cell-cycle regulators resulting in brain atrophy and microcephaly¹⁶. *TRRAP* has previously been associated with neuropsychiatric disorders such as schizophrenia in few patients^{17–20}. We herein provide data showing that *TRRAP* pathogenic variants are associated with a variable neurodevelopmental disorder.

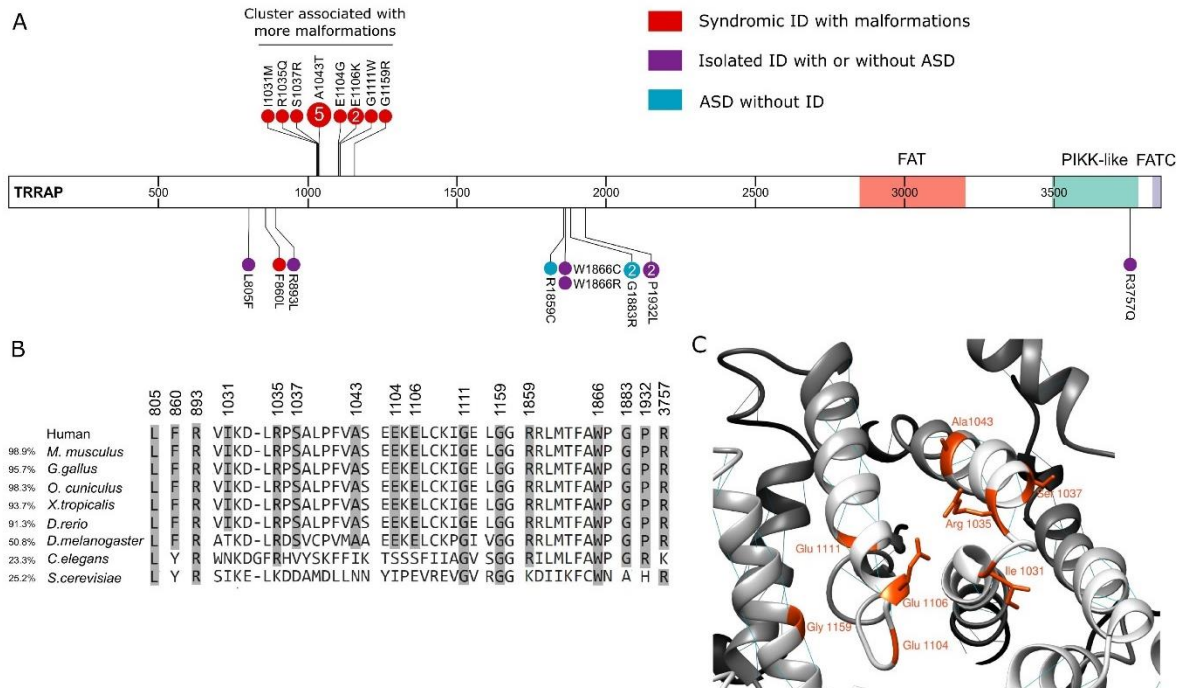


Figure 8: Genotype-phenotype correlation associated with TRRAP variants.

(A) Predicted *de novo* and apparently *de novo* variants in affected subjects represented on the TRRAP protein. The variants in red represent individuals with apparent intellectual disability (ID) and malformations, in purple individuals with isolated ID with or without autism spectrum disorder (ASD), and in blue individuals with only ASD and an IQ above 70. If more than one individual was heterozygous for the variant, the number of affected individuals is indicated in the circle. Adapted from ProteinPaint⁵⁵. (B) Amino acid conservation of each mutated residue. The overall amino acid similarity with the human sequence is shown on the left. (C) Homology model of human TRRAP (NP_001231509.1) predicted by PHYRE2 Protein Fold Recognition Server⁵⁶ represented by UCSF Chimera⁵⁷. Mutated residues in the cluster 1031-1159 cluster are shown. FAT: FRAP, ATM and TRRAP; PIKK-like: phosphatidylinositol 3-kinase-related protein kinase-like; FATC: FRAP, ATM, TRRAP C-terminal.

Results:

Through an international collaboration and aided by the web-based tool GeneMatcher²¹, we identified 17 distinct missense variants in *TRRAP* with strong clinical and/or molecular evidence for pathogenicity in 24 individuals with neurodevelopmental disorders (**Table 1**, **Figure 8A**). These variants were identified either by trio or solo exome sequencing (ES) from research and clinical cohorts. All affected individuals or their guardians gave appropriate consent for research procedures. Methods are described in **Table S1**.

These 17 variants were absent from ExAC and gnomAD²², and were found *de novo* or apparently *de novo* (maternity and paternity not checked) in all individuals, except for two sisters with a variant inherited from a mother with low-level mosaicism (**Figure S1**) and an individual whose father was unavailable but whose paternal grandparents did not carry the variant. Three variants were recurrently observed: p.(Ala1043Thr) identified in five individuals and p.(Glu1106Lys) and p.(Gly1883Arg) identified in two individuals each. All the variants were predicted to be deleterious by CADD²³ (scaled C-scores over 20) and variously predicted pathogenic by SIFT²⁴ and PolyPhen-2 HVAR²⁵. As shown in **figure 8A**, the 17 variants seen in our subjects had significantly increased CADD scores compared to singleton missense variants reported in gnomAD.

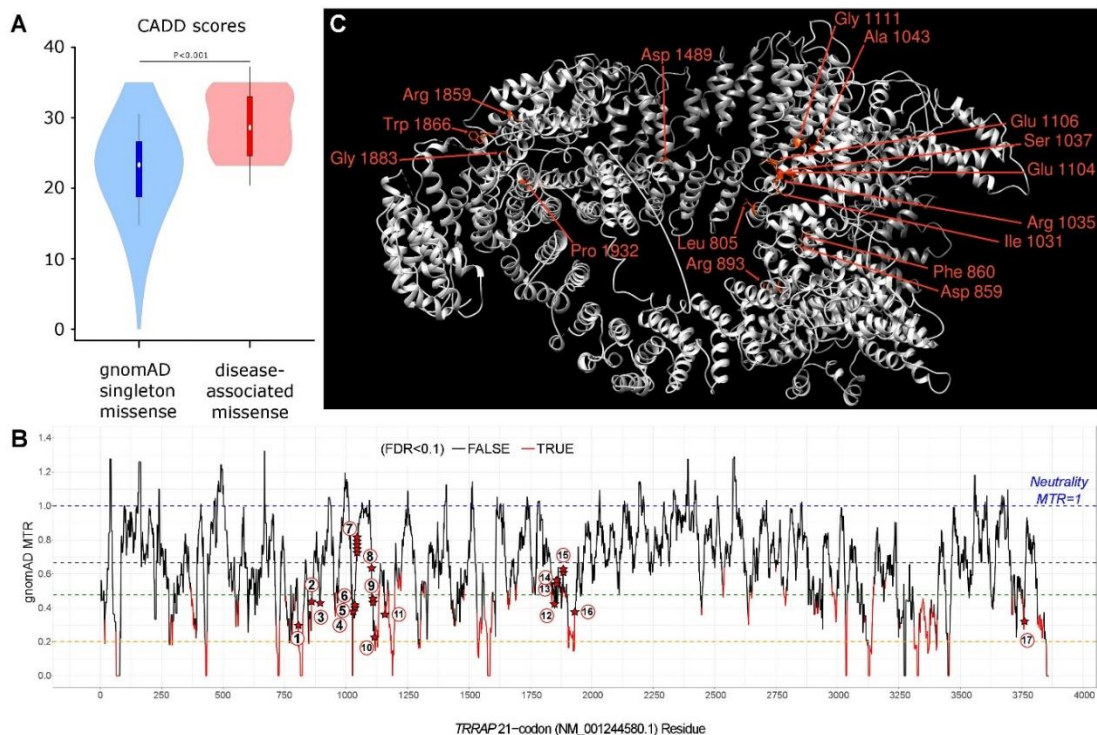


Figure 9: *TRRAP* sequence is intolerant to missense variants.

(A) CADD scores of the 17 variants identified in affected individuals compared to gnomAD singleton missense variants. The individuals' variants were compared to variants seen once in gnomAD, in order to avoid CADD training circularity. **(B)** *TRRAP* Missense Tolerance Ratio (MTR) plot. **(C)** Localization of the TRRAP residues affected in the individuals in 3D protein models, including 14 out of 17 likely pathogenic variants and 2 out of 6 additional variants of unknown significance. The representation of the structure of human TRRAP (NP_001231509.1) was predicted by PHYRE2 Protein Fold Recognition Server by comparison to its *Saccharomyces cerevisiae* ortholog, according to the cryo-EM structure of the SAGA and NuA4 coactivator subunit Tra1 present in the protein data bank (PDB ID: 5OJS). Variants in regions non-homologous to Tra1 are not represented. Structure representation was made with UCSF Chimera.

The 17 variants all occurred at residues conserved among vertebrates (**Figure 8B**), and in regions depleted in missense variants in gnomAD. Indeed, assessing Missense Tolerance Ratios for *TRRAP*, we observed that most of the 17 variants were in regions intolerant to missense variants (**Figure 9B**). Nine out of the 17 variants occurred at highly mutable CpG sites, including one within the codon that leads to the recurrent p.(Ala1043Thr) variant observed in five individuals. Six missense variants with lesser evidence for pathogenicity were found in another six unrelated individuals (Individuals 25 to 30 in **Table S1**). These variants may be deleterious but were not clearly pathogenic, since either the inheritance pattern could not be determined, the variant was present in gnomAD or lead to another missense change at the same residue as a variant reported in gnomAD, or were located in a less conserved region of *TRRAP* (**Table S2**).

Given the number of *de novo* variants identified, the enrichment for *TRRAP de novo* variants in our study was calculated as ($p=4.2 \times 10^{-6}$) based on denovolyzer²⁶. Nevertheless, the current number of 22 detected *de novo* variants in *TRRAP* is not genome-wide significant ($p=0.08$) after correcting for: a) ~19,000 protein-coding genes, b) 22,898 trios studied, and c) the underlying mutability of the full-length protein-coding *TRRAP* transcript. However, this statistical calculation does not take into account the spatial distribution of the variants. Indeed, three-dimensional modelling of human TRRAP structure inferred from the orthologous *Saccharomyces cerevisiae* protein Tra1 (**Figure 9C**) suggested a clustering of the variants in different regions of TRRAP. The most important clustering was observed for thirteen variants between codons 1031 and 1159. Interestingly, when visualized in 3D, these variants localized near one another (**Figure 8C**), revealing a domain of TRRAP with a potentially novel specific function, although not yet characterized. We performed a statistical clustering analysis comparing the mean distance in observed variants to ten million permutations of random

variants, as previously described²⁷. This analysis revealed a significant clustering of variants along the primary sequence of *TRRAP* (*p* value = 9×10^{-8}), suggesting a model where specific domains are affected, haploinsufficiency being unlikely, at least for clustering variants.

Among the 24 individuals who carried pathogenic variants, 19 presented with facial dysmorphisms. Recurrent features that were noted among these individuals included upslanted palpebral fissures, epicanthus, telecanthus, a wide nasal bridge and ridge, a broad and smooth philtrum and a thin upper lip (**Figure 10**). We performed a computer-assisted facial gestalt visualisation^{28,29}, which highlights several of these features, particularly for individuals with variants clustering with the recurrent p.(Ala1043Thr) variant (**Figure 10R**). All the individuals had developmental delay, with a highly variable severity of intellectual disability (ID). Whereas most individuals had apparent ID with markedly impaired basic life functions, some of them presented with mild ID or even no cognitive deficits (**Table 2 and Table S3**). Peripheral neuropathy was also noted; it was severe in one individual and consisted of lower limb hyperreflexia in five other individuals.

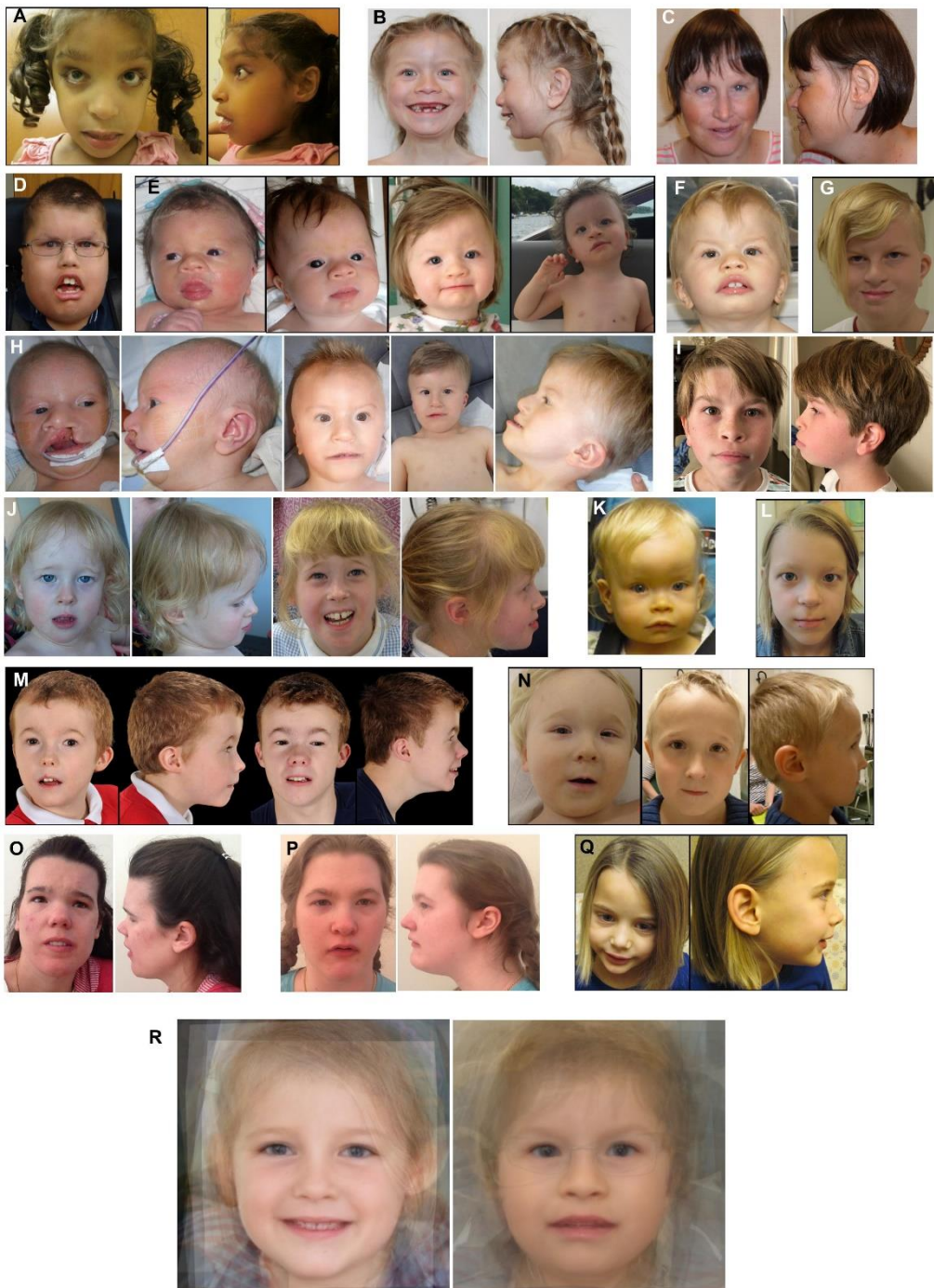


Figure 10: Photographs of individuals with *TRRAP* variants.

In addition to alteration in cerebral function, some individuals showed brain, cerebellum, heart, kidney or urogenital malformations. We observed a strong genotype-phenotype

correlation (**Figure 7A, Table 2**) with the highest incidence of malformations being seen in thirteen individuals whose variants cluster in the region of the predicted protein from codons 1031 to 1159: c.3093T>G p.(Ile1031Met), c.3104G>A p.(Arg1035Gln), c.3111C>A p.(Ser1037Arg), c.3127G>A p.(Ala1043Thr), c.3311A>G p.(Glu1104Gly), c.3316G>A p.(Glu1106Lys), c.3331G>T p.(Gly1111Trp), and c.3475G>A p.(Gly1159Arg). In contrast, individuals with variants residing outside of this region had less malformation and presented mainly with autism spectrum disorder (ASD) and/or ID, sometimes associated with epilepsy. Variants in these individuals were more dispersed along the protein, although some apparently aggregated in another region, including c.5575C>T p.(Arg1859Cys), c.5596T>A p.(Trp1866Arg), c.5598G>T p.(Trp1866Cys), c.5647G>A p.(Gly1883Arg), and c.5795C>T p.(Pro1932Leu).

Thirteen individuals with variants in the codon 1031-1159 region had global developmental delay and apparent ID, ranging from speech delay and learning difficulties to markedly impaired basic life functions (**Table 2 and Table S3**). The last available occipitofrontal circumference measurements revealed microcephaly (ranging from -2.8 to -5 standard deviations (SDs)) in 46% (6/13) of individuals. Cerebral magnetic resonance imaging (MRI) had been performed in 10/13 individuals and showed structural brain anomalies in seven of them (70%), including cerebellar vermis hypoplasia (6/10), ventricular enlargement (3/10), cortical atrophy (2/10), brainstem atrophy (2/10), polymicrogyria (1/10), focal gliosis (1/10), delayed myelination (1/10), and corpus callosum hypoplasia (1/10). Neurological examination revealed hypotonia in 31% (4/13) of individuals. Only one individual was reported with epilepsy. Seven individuals (54%) were reported to have feeding difficulties and were fed exclusively by gastrostomy tube. Among the 10 individuals who were examined by echocardiography, 70% (7/10) had abnormal results with 50% (5/10) having ventricular septal

defect, 30% (3/10) patent ductus arteriosus, 30% (3/10) patent foramen ovale, 20% (2/10) pulmonary hypertension, and 20% (2/10) aortic coarctation. Abdominal ultrasound revealed anomalies in 70% (7/10) of individuals in which it was performed. Abnormal renal morphology, namely multicystic dysplastic kidney, hydronephrosis, duplicate kidney and/or small kidney, was described in 60% (6/10) and vesicoureteral reflux was also observed in 30% (3/10) of these individuals. Individual 15 presented with a large left-sided posterolateral congenital diaphragmatic hernia (Table S3). Hernias of the abdominal wall were also found in 23% (3/13) of individuals and included an umbilical hernia, an omphalocele, and an inguinal hernia. Three males (3/6; 50%) had anomalies of external genitalia, including micropenis, hypoplastic scrotum, and cryptorchidism, while two females (2/7; 29%) had a duplicated vagina and/or uterus. Other observed anomalies included dysplastic nails (8/13; 62%), cleft lip/palate (5/13; 38%), clinodactyly of the 5th finger (4/13; 31%), laryngo/tracheomalacia (3/13), accessory nipple (3/13; 23%), bilateral cutaneous syndactyly of the second and third toe (2/13; 15%) and anomalies of the lacrimal glands (1/13; 8%; see also below in individuals 1 and 19). Four individuals (4/13; 31%) had visual impairment and three (3/13; 23%) had hearing impairment which has associated with inner ear malformations in 2 cases. Recurrent infections, mainly respiratory and urinary tract infections, affected 3/13 (23%) individuals. Individual 9 died at 12 years of age in the context of multiple co-morbidities including: renal failure with acute fluid fluctuations, tracheostomy for severely obstructive laryngotracheomalacia, intermittent supraventricular tachycardia, arterial insufficiency, and polyendocrinopathy (insulin dependent diabetes, adrenal insufficiency, and hypothyroidism).

Among individuals with variants falling outside of the 1031-1159 region, 5/11 (45%) were diagnosed with autism spectrum disorder (ASD), and another three individuals (3/11; 27%) had some findings of ASD but no formal diagnosis. Eight of 11 (73%) had developmental delay

and mild to severe intellectual disability and three had speech delay but whose IQ was measured above 70, including two that were in the normal range. Four individuals (4/11; 36%) had various types of epilepsy, namely absence and tonic-clonic seizures, or Lennox-Gastaut syndrome. The age of seizure onset ranged from 2 to 10 years old. Malformations were infrequent in this group overall, although individual 2 had microcephaly and heart malformations, individual 1 had lacrimal duct aplasia, individual 19 had lacrimal duct aplasia and optic disc colobomas and individual 21 had a postaxial polydactyly of one hand.

TRRAP-associated chromatin remodeling complexes are generally associated with gene activation³⁰, which is consistent with their HAT activity. Nevertheless, the NuA4 complex has been shown to have a gene repression activity necessary for embryonic stem cell pluripotency^{31,32} which seems to be independent from its lysine acetyltransferase activity³³. To test the hypothesis that *TRRAP* variants alter gene expression, we obtained skin fibroblasts from two individuals (individual 1 with p.(Leu805Phe) and individual 19 with p.(Trp1866Cys)) and performed next-generation sequencing with technical replicates of RNA (i.e. separately prepared libraries from the same samples). The RNA library preparation and sequencing as well as bioinformatics analysis methods can be found in the Supplementary notes. We found that, in comparison to two typically developing individuals (controls), both individuals with *TRRAP* variants had remarkably different gene expression patterns (**Figure S2A**). Interestingly, most differentially expressed genes (DEGs) analyzed with DESeq2 were upregulated in affected individuals compared to controls (**Figure S2B**). Moreover, the individual with p.(Leu805Phe) had 619 differentially expressed genes (DEGs), with a Log₂ Fold Change (Log₂FC) higher than 2 or lower than -2, and a p-value adjusted for 10%FDR lower than 0.01 (padj) (**supplementary notes, Table S5**).

To identify genes with significant expression differences, we performed differential gene expression analysis between the two individuals with *TRRAP* variants (combined as biological replicates) and two unaffected controls. Gene ontology (GO) enrichment analysis of these genes using the GOrilla web application indicates an enrichment for the adrenergic receptor signalling pathway, genes important for neurological function, and potassium and ATP-sensitive ion transporters (**Figure S2B, Supplementary notes, Table S5**). The two individuals tested carried variants outside the cluster associated with the more syndromic ID; assuming distinct effects on gene regulation, it will be worth comparing gene expression between the two groups. Finally, we cannot exclude that the transcriptome alteration may be caused by a mechanism other than impaired HAT activity, since it has been shown that TRRAP as direct interactions with different partners not related to HAT complex. Thus, we highlighted candidate pathways that may be useful to uncover the pathomechanism of *TRRAP* variants in future studies.

Discussion:

TRRAP acts as a scaffold in HAT complexes. Although it has not a direct role in acetylation, we hypothesize that pathogenic effect of variants may be due to dysregulation of acetylation, a major process that has been associated with several neurodevelopmental disorders³⁴. Pathogenic variants of *KAT6B* (MIM: 605880) cause both Say-Barber-Biesecker-Young-Simpson syndrome (SBBYSS [MIM: 603736])^{35–37} and genitopatellar syndrome (GPS [MIM: 606170])^{38,39} and pathogenic variants in *KAT6A* and *BRPF1* mutations have also been associated with a neurodevelopmental disorder^{40,41,42(p1)}. Rubinstein-Taybi syndrome (MIM: 180849 and 613684) is associated with variants in genes encoding histone acetyltransferase complexes, namely *CREBBP* and *EP300*^{43–46}. In addition to cognitive impairment, abnormal histone acetylation can also result in behavioral disorders, as evidenced by the associations

found between alterations in several lysine acetyltransferase (KAT) and lysine deacetylase (KDAC) genes including *BRD1*, *HDAC4*, *HDAC6*, and *HDAC9* and non-syndromic ASD and/or schizophrenia^{34,47,48,49(p9),50}.

Variants in *TRRAP* were associated with neuropsychiatric disorders including childhood disintegrative disorder¹⁷, schizophrenia^{18,19} and ASD²⁰. The ASD report included individuals 18 and 19 with p.(Trp1866Arg) and p.(Trp1866Cys), respectively. We thus confirmed the association with ASD, and provide evidence that it can be found either isolated, or associated with intellectual disability. Based on the ExAC dataset without studies on neuropsychiatric disorders, *TRRAP* is in the top five genes most intolerant to missense variants in the human genome, with a missense z-score of 10.1 (Ref. ²²). While this study includes only the first 24 identified individuals, a strength of the study is that it was primarily ascertained by sequencing, reducing phenotypic ascertainment bias. Given the highly constrained region of the observed variants coupled with the population constraint and evolutionary conservation, we hypothesize that variants outside of these regions are likely to be associated with prenatal lethality, although we cannot exclude that milder phenotypes may be underrepresented in current exomes datasets. It is worth noting that we exclusively identified missense variants in the affected individuals. Given the loss of function (LOF) intolerance of *TRRAP* in ExAC (pLI = 1.00), we would expect to identify at least some LOF variants if haploinsufficiency of *TRRAP* was the causal mechanism. In DECIPHER (accessed 2018-05-14), no small or intragenic deletions involving *TRRAP* have been identified. Thus, taking into account the significant clustering, it suggests that missense variants may act either as gain of function or dominant-negative and that haploinsufficiency of *TRRAP* is likely to be prenatally lethal, although we cannot exclude a LOF effect of non-clustering variants associated with a milder phenotype.

TRRAP participates in embryonic development, as demonstrated by its binding with proteins regulating signaling pathways such as Notch in fruit fly⁵¹, Ras in *C. elegans*⁵², or Wnt by influencing beta-catenine ubiquitinylation⁵³. We suspect therefore that TRRAP variants, more especially those falling within the 1031-1159 region, perturb the interactions with at least one of these developmental signaling pathways, which would explain the multiple malformation observed in about half of the affected individuals.

In yeast, a series of ~100 codon deletion mutants in the ortholog tra1, showed reduced or complete loss of viability⁵⁴. Most deletions impaired coactivator complex assembly, notably the ones encompassing the homologous 1031-1159 cluster (mutants Δ13-Δ14), as well as the regions homologous to those containing variants p.(Leu805Phe), p.(Phe860Leu), and p.(Arg893Leu) (mutants Δ11-Δ12) and the p.(Arg3757Gln) variant (mutant Δ39). In contrast, mutants Δ21-Δ22 encompassing the region homologous to the cluster associated with less malformations (codons 1859-1932) were viable and may help explain the milder clinical phenotype associated with variants within this cluster. In mice, *Trrap* knock-out leads to early embryonic lethality¹⁴ and a neural cell-specific conditional *Trrap* knockout line¹⁶ revealed premature differentiation of neural progenitors, with depletion of progenitor pools and a significant reduction in cortical thickness. These mice exhibited striking microcephaly, in agreement with what we observed in half of the individuals in our study cohort, primarily those with variants in the 1031-1159 cluster.

In summary, we report evidence that variants in *TRRAP* are associated with a pleiotropic neurodevelopmental syndrome with a potential genotype-phenotype correlation. Our functional data highlight an enrichment of genes related to neuronal function and ion transport that could underline the pathophysiology of the disease. Future *in vitro* and *in vivo* studies on variants

inside and outside the main cluster will be required to dissect which gene expression changes are connected to which *TRRAP*-related specific phenotypes.

Acknowledgments

We would like to thank all families for participating in this study. We acknowledge HUGODIMS consortium, which was supported by a grant from the French Ministry of Health and from the Health Regional Agency from Poitou-Charentes (HUGODIMS, 2013, RC14_0107). We are grateful to Frédérique Allaire from the Health Regional Agency of Poitou-Charentes for supporting this project. We acknowledge Léa Ferrand and Emilie Le Blanc's assistance for grant and data management. We would like to thank the members of the Canadian Center for Computational Genomics and the McGill University and Génome Québec Innovation Center for their help in bioinformatics analysis. This work was also supported by funds from the National Institute of Neurological Disorders and Stroke (The Epilepsy Phenome/Genome Project NS053998; Epi4K NS077364, NS077274, NS077303, and NS077276) to D.L. and D.B.G. and from the National Institutes of Health/Eunice Kennedy Shriver National Institute of Child Health and Human Development grant (HD064667) to D.A.S. This work was supported in part by NINDS R35 NS105078 to JRL and jointly funded National Human Genome Research Institute (NHGRI), and National Heart, Lung, and Blood Institute (NHLBI) grant to the Baylor-Hopkins Center for Mendelian Genomics (UM1 HG006542). JEP was supported by NHGRI K08 HG008986. VS and JS were supported by the Duke Genome Sequencing Clinic grant. We thank the CIHR and FRSQ for clinician-scientist awards to PMC. We would also like to thank the Mayo Clinic Center for Individualized Medicine (CIM) for supporting this research through the CIM Investigative and Functional Genomics Program. E.E.E. is an investigator of the Howard Hughes Medical Institute. The CAUSES Study is funded by Mining for Miracles,

British Columbia Children's Hospital Foundation, and Genome British Columbia. CAUSES Study investigators include Shelin Adam, Christele Du Souich, Alison Elliott, Anna Lehman, Jill Mwenifumbo, Tanya Nelson, Clara Van Karnebeek, and Jan Friedman. LGB, JJJ, and JCS were supported by the intramural research program of the National Human Genome Research Institute, grant HG200328 12. We acknowledge also the DECIPHER Consortium which contributed to the exchange of genetic and clinical data between the teams. This work was supported, in part, by US National Institute of Mental Health grant R01MH101221 to E.E.E.

The funders had no role in study design, data collection and analysis, decision to publish, or preparation of the manuscript.

Conflicts of interest

E.E.E. is on the scientific advisory board (SAB) of DNAexus, Inc. The Department of Molecular and Human Genetics at Baylor College of Medicine receives revenue for clinical genetic testing completed at Baylor Genetics laboratory. KMc, KR, JZ, MD, AT, AB, and IMW are employees of GeneDx, Inc. Dr. Goldstein is Founder and holds equity in Pairnomix and Praxis Therapeutics. Dr. Goldstein is not aware of any overlap with Pairnomix or Praxis Therapeutics.

Web Resources

ExAC Browser, <http://exac.broadinstitute.org/>

gnomAD, <http://gnomad.broadinstitute.org/>

Ensembl VEP, http://grch37.ensembl.org/Homo_sapiens/Tools/VEP

GenBank, <http://www.ncbi.nlm.nih.gov/genbank/>

OMIM, <http://www.omim.org/>

Phyre2, <http://www.sbg.bio.ic.ac.uk/phyre2/>

UniProt, <http://www.uniprot.org/uniprot>

DECIPHER, <https://decipher.sanger.ac.uk/>

Tables

cDNA	Protein	Inheritance	CpG	gnomAD	CADD score (v1.3)	SIFT	PolyPhen2 HVAR	Number of individuals
c.2413C>T	p.(Leu805Phe)	<i>de novo</i>	no	absent	28.2	deleterious(0)	probably_damaging(0.998)	1
c.2580C>G	p.(Phe860Leu)	<i>de novo</i>	no	absent	27.6	deleterious(0.03)	possibly_damaging(0.867)	1
c.2678G>T	p.(Arg893Leu)	apparently <i>de novo</i>	yes	absent	34	deleterious(0)	probably_damaging(0.986)	1
c.3093T>G	p.(Ile1031Met)	<i>de novo</i>	no	absent	23.4	deleterious(0.02)	benign(0.308)	1
c.3104G>A	p.(Arg1035Gln)	<i>de novo</i>	yes	absent	23.9	tolerated(0.09)	benign(0.404)	1
c.3111C>A	p.(Ser1037Arg)	<i>de novo</i>	yes	absent	23.7	tolerated(0.14)	possibly_damaging(0.656)	1
c.3127G>A	p.(Ala1043Thr)	<i>de novo</i>	yes	absent	23.2	tolerated(0.27)	benign(0.066)	5
c.3311A>G	p.(Glu1104Gly)	<i>de novo</i>	no	absent	24.6	deleterious(0.04)	probably_damaging(0.91)	1
c.3316G>A	p.(Glu1106Lys)	<i>de novo</i> *	no	absent	27.7	deleterious(0)	possibly_damaging(0.816)	2
c.3331G>T	p.(Gly1111Trp)	apparently <i>de novo</i>	yes	absent	34	deleterious(0)	probably_damaging(0.999)	1
c.3475G>A	p.(Gly1159Arg)	<i>de novo</i>	no	absent	33	deleterious(0)	probably_damaging(0.999)	1
c.5575C>T	p.(Arg1859Cys)	<i>de novo</i>	yes	absent	34	deleterious(0)	probably_damaging(0.997)	1
c.5596T>A	p.(Trp1866Arg)	<i>de novo</i>	no	absent	28.7	deleterious(0)	probably_damaging(0.999)	1
c.5598G>T	p.(Trp1866Cys)	<i>de novo</i>	no	absent	33	deleterious(0)	probably_damaging(0.999)	1
c.5647G>A	p.(Gly1883Arg)	<i>de novo</i>	yes	absent	33	deleterious(0)	probably_damaging(1)	2
c.5795C>T	p.(Pro1932Leu)	germline mosaicism	yes	absent	35	deleterious(0)	probably_damaging(0.997)	2
c.11270G>A	p.(Arg3757Gln)	<i>de novo</i>	yes	absent	28.6	deleterious(0.01)	benign(0.269)	1

Table 1. *De novo* variants in *TRRAP* identified in 24 individuals. RefSeq transcript used for *TRRAP* is NM_001244580.1. Apparently *de novo* was mentioned when paternity and maternity were not checked. *For one individual with p.(Glu1106Lys), father was unavailable, paternal grandparents were tested and did not carry the variant.

Symptoms	All individuals	Cluster 1031-1159	Variants outside the cluster
Global developmental delay	24/24 - 100%	13/13 - 100%	11/11 - 100%
Intellectual disability	17/20 - 85%	11/11 - 100%	6/9 - 67%
Facial dysmorphisms	19/24 - 79%	11/13 - 85%	8/11 - 73%
Autism Spectrum Disorder	5/24 - 21%	0/13 - 0%	5/11 - 45%
Microcephaly (<-2.5SD)	7/24 - 29%	6/13 - 46%	1/11 - 9%
Short stature	7/23 - 30%	4/12 - 33%	3/11 - 27%
Hypotonia	8/24 - 33%	4/13 - 31%	4/11 - 36%
Feeding difficulties	8/24 - 33%	7/13 - 54%	1/11 - 9%
Seizures	5/24 - 21%	1/13 - 8%	4/11 - 36%
Cleft lip/palate	5/24 - 21%	5/13 - 38%	0/11 - 0%
Cerebellar hypoplasia	6/18 - 33%	6/11 - 55%	0/7 - 0%
Cerebral abnormalities	6/18 - 33%	6/11 - 55%	0/7 - 0%
Cardiac malformations	10/15 - 66%	9/12 - 75%	1/3 - 33%
Renal malformations	5/17 - 29%	5/13 - 38%	0/4 - 0%

Genital malformations	5/24 - 21%	5/13 - 38%	0/11 - 0%
Hearing impairment	3/24 - 12%	3/13 - 23%	0/11 - 0%
Visual impairment	4/24 - 17%	3/13 - 23%	1/11 - 9%
Scoliosis	3/24 - 12%	3/13 - 23%	0/11 - 0%
Dysplastic nails	8/24 - 33%	8/13 - 62%	0/11 - 0%
Lower limb hyperreflexia	5/24 - 21%	1/13 - 8%	4/11 - 36%
Lacrimal duct aplasia	3/24 - 12%	1/13 - 8%	2/11 - 18%
Accessory nipple	4/24 - 17%	3/13 - 23%	1/11 - 9%

Table 2: Clinical description of individuals with variants inside or outside the 1031-1159 cluster.

REFERENCES

1. Bowman GD, Poirier MG. Post-translational modifications of histones that influence nucleosome dynamics. *Chem Rev.* 2015;115(6):2274-2295. doi:10.1021/cr500350x
2. Venkatesh S, Workman JL. Histone exchange, chromatin structure and the regulation of transcription. *Nat Rev Mol Cell Biol.* 2015;16(3):178-189. doi:10.1038/nrm3941
3. Hunt CR, Ramnarain D, Horikoshi N, et al. Histone Modifications and DNA Double-Strand Break Repair after Exposure to Ionizing Radiations. *Radiat Res.* 2013;179(4):383-392. doi:10.1667/RR3308.2
4. Legube G, Trouche D. Regulating histone acetyltransferases and deacetylases. *EMBO Rep.* 2003;4(10):944-947. doi:10.1038/sj.embo.embor941
5. Berndsen CE, Denu JM. Catalysis and substrate selection by histone/protein lysine acetyltransferases. *Curr Opin Struct Biol.* 2008;18(6):682-689. doi:10.1016/j.sbi.2008.11.004
6. McMahon SB, Van Buskirk HA, Dugan KA, Copeland TD, Cole MD. The novel ATM-related protein TRRAP is an essential cofactor for the c-Myc and E2F oncoproteins. *Cell.* 1998;94(3):363-374.
7. Vassilev A, Yamauchi J, Kotani T, et al. The 400 kDa subunit of the PCAF histone acetylase complex belongs to the ATM superfamily. *Mol Cell.* 1998;2(6):869-875.
8. Park J, Kunjibettu S, McMahon SB, Cole MD. The ATM-related domain of TRRAP is required for histone acetyltransferase recruitment and Myc-dependent oncogenesis. *Genes Dev.* 2001;15(13):1619-1624. doi:10.1101/gad.900101
9. Zhao L-J, Loewenstein PM, Green M. Enhanced MYC association with the NuA4 histone acetyltransferase complex mediated by the adenovirus E1A N-terminal domain activates a subset of MYC target genes highly expressed in cancer cells. *Genes Cancer.* 2017;8(11-12):752-761. doi:10.18632/genescancer.160
10. Jethwa A, Słabicki M, Hüllein J, et al. TRRAP is essential for regulating the accumulation of mutant and wild-type p53 in lymphoma. *Blood.* April 2018. doi:10.1182/blood-2017-09-806679
11. Wei X, Walia V, Lin JC, et al. Exome sequencing identifies GRIN2A as frequently mutated in melanoma. *Nat Genet.* 2011;43(5):442-446. doi:10.1038/ng.810
12. Wurdak H, Zhu S, Romero A, et al. An RNAi screen identifies TRRAP as a regulator of brain tumor-initiating cell differentiation. *Cell Stem Cell.* 2010;6(1):37-47. doi:10.1016/j.stem.2009.11.002
13. Loukopoulos P, Shibata T, Katoh H, et al. Genome-wide array-based comparative genomic hybridization analysis of pancreatic adenocarcinoma: identification of genetic

- indicators that predict patient outcome. *Cancer Sci.* 2007;98(3):392-400. doi:10.1111/j.1349-7006.2007.00395.x
14. Herceg Z, Hulla W, Gell D, et al. Disruption of Trrap causes early embryonic lethality and defects in cell cycle progression. *Nat Genet.* 2001;29(2):206-211. doi:10.1038/ng725
 15. Sawan C, Hernandez-Vargas H, Murr R, et al. Histone acetyltransferase cofactor Trrap maintains self-renewal and restricts differentiation of embryonic stem cells. *Stem Cells.* 2013;31(5):979-991. doi:10.1002/stem.1341
 16. Tapias A, Zhou Z-W, Shi Y, et al. Trrap-dependent histone acetylation specifically regulates cell-cycle gene transcription to control neural progenitor fate decisions. *Cell Stem Cell.* 2014;14(5):632-643. doi:10.1016/j.stem.2014.04.001
 17. Gupta AR, Westphal A, Yang DYJ, et al. Neurogenetic analysis of childhood disintegrative disorder. *Mol Autism.* 2017;8:19. doi:10.1186/s13229-017-0133-0
 18. Xu B, Ionita-Laza I, Roos JL, et al. De novo gene mutations highlight patterns of genetic and neural complexity in schizophrenia. *Nat Genet.* 2012;44(12):1365-1369. doi:10.1038/ng.2446
 19. Takata A, Xu B, Ionita-Laza I, Roos JL, Gogos JA, Karayiorgou M. Loss-of-Function Variants in Schizophrenia Risk and SETD1A as a Candidate Susceptibility Gene. *Neuron.* 2014;82(4):773-780. doi:10.1016/j.neuron.2014.04.043
 20. Geisheker MR, Heymann G, Wang T, et al. Hotspots of missense mutation identify neurodevelopmental disorder genes and functional domains. *Nat Neurosci.* 2017;20(8):1043-1051. doi:10.1038/nn.4589
 21. Sobreira N, Schiettecatte F, Valle D, Hamosh A. GeneMatcher: a matching tool for connecting investigators with an interest in the same gene. *Hum Mutat.* 2015;36(10):928-930. doi:10.1002/humu.22844
 22. Lek M, Karczewski KJ, Minikel EV, et al. Analysis of protein-coding genetic variation in 60,706 humans. *Nature.* 2016;536(7616):285-291. doi:10.1038/nature19057
 23. Kircher M, Witten DM, Jain P, O'Roak BJ, Cooper GM, Shendure J. A general framework for estimating the relative pathogenicity of human genetic variants. *Nat Genet.* 2014;46(3):310-315. doi:10.1038/ng.2892
 24. Kumar P, Henikoff S, Ng PC. Predicting the effects of coding non-synonymous variants on protein function using the SIFT algorithm. *Nat Protoc.* 2009;4(7):1073-1081. doi:10.1038/nprot.2009.86
 25. Adzhubei IA, Schmidt S, Peshkin L, et al. A method and server for predicting damaging missense mutations. *Nat Methods.* 2010;7(4):248-249. doi:10.1038/nmeth0410-248
 26. Ware JS, Samocha KE, Homsy J, Daly MJ. Interpreting de novo variation in human disease using denovolyzeR. *Curr Protoc Hum Genet.* 2015;87:7.25.1-7.25.15. doi:10.1002/0471142905.hg0725s87

27. Lelieveld SH, Wiel L, Venselaar H, et al. Spatial Clustering of de Novo Missense Mutations Identifies Candidate Neurodevelopmental Disorder-Associated Genes. *Am J Hum Genet.* 2017;101(3):478-484. doi:10.1016/j.ajhg.2017.08.004
28. Ferry Q, Steinberg J, Webber C, et al. Diagnostically relevant facial gestalt information from ordinary photos. *Elife.* 2014;3:e02020.
29. Reijnders MRF, Janowski R, Alvi M, et al. PURA syndrome: clinical delineation and genotype-phenotype study in 32 individuals with review of published literature. *J Med Genet.* 2018;55(2):104-113. doi:10.1136/jmedgenet-2017-104946
30. Murr R, Vaissière T, Sawan C, Shukla V, Herceg Z. Orchestration of chromatin-based processes: mind the TRRAP. *Oncogene.* 2007;26(37):5358-5372. doi:10.1038/sj.onc.1210605
31. Chen PB, Hung J-H, Hickman TL, et al. Hdac6 regulates Tip60-p400 function in stem cells. *Elife.* 2013;2:e01557. doi:10.7554/eLife.01557
32. Fazzio TG, Huff JT, Panning B. An RNAi screen of chromatin proteins identifies Tip60-p400 as a regulator of embryonic stem cell identity. *Cell.* 2008;134(1):162-174. doi:10.1016/j.cell.2008.05.031
33. Acharya D, Hainer SJ, Yoon Y, et al. KAT-Independent Gene Regulation by Tip60 Promotes ESC Self-Renewal but Not Pluripotency. *Cell Rep.* 2017;19(4):671-679. doi:10.1016/j.celrep.2017.04.001
34. Tapias A, Wang Z-Q. Lysine Acetylation and Deacetylation in Brain Development and Neuropathies. *Genomics Proteomics Bioinformatics.* 2017;15(1):19-36. doi:10.1016/j.gpb.2016.09.002
35. Clayton-Smith J, O'Sullivan J, Daly S, et al. Whole-exome-sequencing identifies mutations in histone acetyltransferase gene KAT6B in individuals with the Say-Barber-Biesecker variant of Ohdo syndrome. *Am J Hum Genet.* 2011;89(5):675-681. doi:10.1016/j.ajhg.2011.10.008
36. Szakszon K, Salpietro C, Kakar N, et al. De novo mutations of the gene encoding the histone acetyltransferase KAT6B in two patients with Say-Barber/Biesecker/Young-Simpson syndrome. *Am J Med Genet A.* 2013;161A(4):884-888. doi:10.1002/ajmg.a.35848
37. Yilmaz R, Beleza-Meireles A, Price S, et al. A recurrent synonymous KAT6B mutation causes Say-Barber-Biesecker/Young-Simpson syndrome by inducing aberrant splicing. *Am J Med Genet A.* 2015;167A(12):3006-3010. doi:10.1002/ajmg.a.37343
38. Campeau PM, Kim JC, Lu JT, et al. Mutations in KAT6B, encoding a histone acetyltransferase, cause Genitopatellar syndrome. *Am J Hum Genet.* 2012;90(2):282-289. doi:10.1016/j.ajhg.2011.11.023
39. Simpson MA, Deshpande C, Dafou D, et al. De novo mutations of the gene encoding the histone acetyltransferase KAT6B cause Genitopatellar syndrome. *Am J Hum Genet.* 2012;90(2):290-294. doi:10.1016/j.ajhg.2011.11.024

40. Millan F, Cho MT, Retterer K, et al. Whole exome sequencing reveals de novo pathogenic variants in KAT6A as a cause of a neurodevelopmental disorder. *Am J Med Genet A*. 2016;170(7):1791-1798. doi:10.1002/ajmg.a.37670
41. Murray CR, Abel SN, McClure MB, et al. Novel Causative Variants in DYRK1A, KARS, and KAT6A Associated with Intellectual Disability and Additional Phenotypic Features. *J Pediatr Genet*. 2017;6(2):77-83. doi:10.1055/s-0037-1598639
42. Yan K, Rousseau J, Littlejohn RO, et al. Mutations in the Chromatin Regulator Gene BRPF1 Cause Syndromic Intellectual Disability and Deficient Histone Acetylation. *Am J Hum Genet*. 2017;100(1):91-104. doi:10.1016/j.ajhg.2016.11.011
43. Roelfsema JH, White SJ, Ariyürek Y, et al. Genetic heterogeneity in Rubinstein-Taybi syndrome: mutations in both the CBP and EP300 genes cause disease. *Am J Hum Genet*. 2005;76(4):572-580. doi:10.1086/429130
44. Bartholdi D, Roelfsema JH, Papadia F, et al. Genetic heterogeneity in Rubinstein-Taybi syndrome: delineation of the phenotype of the first patients carrying mutations in EP300. *J Med Genet*. 2007;44(5):327-333. doi:10.1136/jmg.2006.046698
45. Tsai AC-H, Dossett CJ, Walton CS, et al. Exon deletions of the EP300 and CREBBP genes in two children with Rubinstein-Taybi syndrome detected by aCGH. *Eur J Hum Genet*. 2011;19(1):43-49. doi:10.1038/ejhg.2010.121
46. Negri G, Milani D, Colapietro P, et al. Clinical and molecular characterization of Rubinstein-Taybi syndrome patients carrying distinct novel mutations of the EP300 gene. *Clin Genet*. 2015;87(2):148-154. doi:10.1111/cge.12348
47. Xu L-M, Li J-R, Huang Y, Zhao M, Tang X, Wei L. AutismKB: an evidence-based knowledgebase of autism genetics. *Nucleic Acids Res*. 2012;40(Database issue):D1016-1022. doi:10.1093/nar/gkr1145
48. Piton A, Jouan L, Rochefort D, et al. Analysis of the effects of rare variants on splicing identifies alterations in GABA_A receptor genes in autism spectrum disorder individuals. *Eur J Hum Genet*. 2013;21(7):749-756. doi:10.1038/ejhg.2012.243
49. Lang B, Alrahbeni TMA, Clair DS, et al. HDAC9 is implicated in schizophrenia and expressed specifically in post-mitotic neurons but not in adult neural stem cells. *Am J Stem Cells*. 2012;1(1):31-41.
50. Severinsen JE, Bjarkam CR, Kiaer-Larsen S, et al. Evidence implicating BRD1 with brain development and susceptibility to both schizophrenia and bipolar affective disorder. *Mol Psychiatry*. 2006;11(12):1126-1138. doi:10.1038/sj.mp.4001885
51. Gause M, Eissenberg JC, MacRae AF, Dorsett M, Misulovin Z, Dorsett D. Nipped-A, the Tra1/TRRAP Subunit of the Drosophila SAGA and Tip60 Complexes, Has Multiple Roles in Notch Signaling during Wing Development. *Mol Cell Biol*. 2006;26(6):2347-2359. doi:10.1128/MCB.26.6.2347-2359.2006
52. Ceol CJ, Horvitz HR. A new class of *C. elegans* synMuv genes implicates a Tip60/NuA4-like HAT complex as a negative regulator of Ras signaling. *Dev Cell*. 2004;6(4):563-576.

53. Finkbeiner MG, Sawan C, Ouzounova M, Murr R, Herceg Z. HAT cofactor TRRAP mediates beta-caténine ubiquitination on the chromatin and the regulation of the canonical Wnt pathway. *Cell Cycle*. 2008;7(24):3908-3914. doi:10.4161/cc.7.24.7354
54. Knutson BA, Hahn S. Domains of Tra1 important for activator recruitment and transcription coactivator functions of SAGA and NuA4 complexes. *Mol Cell Biol*. 2011;31(4):818-831. doi:10.1128/MCB.00687-10
55. Driskell RR, Watt FM. Understanding fibroblast heterogeneity in the skin. *Trends Cell Biol*. 2015;25(2):92-99. doi:10.1016/j.tcb.2014.10.001
-
2. Venkatesh, S., and Workman, J.L. (2015). Histone exchange, chromatin structure and the regulation of transcription. *Nat. Rev. Mol. Cell Biol.* 16, 178–189.
3. Hunt, C.R., Ramnarain, D., Horikoshi, N., Iyengar, P., Pandita, R.K., Shay, J.W., and Pandita, T.K. (2013). Histone Modifications and DNA Double-Strand Break Repair after Exposure to Ionizing Radiations. *Radiat. Res.* 179, 383–392.
4. Legube, G., and Trouche, D. (2003). Regulating histone acetyltransferases and deacetylases. *EMBO Rep.* 4, 944–947.
5. Berndsen, C.E., and Denu, J.M. (2008). Catalysis and substrate selection by histone/protein lysine acetyltransferases. *Curr. Opin. Struct. Biol.* 18, 682–689.
6. McMahon, S.B., Van Buskirk, H.A., Dugan, K.A., Copeland, T.D., and Cole, M.D. (1998). The novel ATM-related protein TRRAP is an essential cofactor for the c-Myc and E2F oncoproteins. *Cell* 94, 363–374.
7. Vassilev, A., Yamauchi, J., Kotani, T., Prives, C., Avantaggiati, M.L., Qin, J., and Nakatani, Y. (1998). The 400 kDa subunit of the PCAF histone acetylase complex belongs to the ATM superfamily. *Mol. Cell* 2, 869–875.
8. Park, J., Kunjibettu, S., McMahon, S.B., and Cole, M.D. (2001). The ATM-related domain of TRRAP is required for histone acetyltransferase recruitment and Myc-dependent oncogenesis. *Genes Dev.* 15, 1619–1624.
9. Zhao, L.-J., Loewenstein, P.M., and Green, M. (2017). Enhanced MYC association with the NuA4 histone acetyltransferase complex mediated by the adenovirus E1A N-terminal domain activates a subset of MYC target genes highly expressed in cancer cells. *Genes Cancer* 8, 752–761.
10. Jethwa, A., Ślabicki, M., Hüllein, J., Jentzsch, M., Dalal, V., Rabe, S., Wagner, L., Walther, T., Klapper, W., Bohnenberger, H., et al. (2018). TRRAP is essential for regulating the accumulation of mutant and wild-type p53 in lymphoma. *Blood*.
11. Wei, X., Walia, V., Lin, J.C., Teer, J.K., Prickett, T.D., Gartner, J., Davis, S., NISC Comparative Sequencing Program, Stemke-Hale, K., Davies, M.A., et al. (2011). Exome sequencing identifies GRIN2A as frequently mutated in melanoma. *Nat. Genet.* 43, 442–446.

12. Wurdak, H., Zhu, S., Romero, A., Lorger, M., Watson, J., Chiang, C.-Y., Zhang, J., Natu, V.S., Lairson, L.L., Walker, J.R., et al. (2010). An RNAi screen identifies TRRAP as a regulator of brain tumor-initiating cell differentiation. *Cell Stem Cell* *6*, 37–47.
13. Loukopoulos, P., Shibata, T., Katoh, H., Kokubu, A., Sakamoto, M., Yamazaki, K., Kosuge, T., Kanai, Y., Hosoda, F., Imoto, I., et al. (2007). Genome-wide array-based comparative genomic hybridization analysis of pancreatic adenocarcinoma: identification of genetic indicators that predict patient outcome. *Cancer Sci.* *98*, 392–400.
14. Herceg, Z., Hulla, W., Gell, D., Cuenin, C., Leonart, M., Jackson, S., and Wang, Z.Q. (2001). Disruption of Trrap causes early embryonic lethality and defects in cell cycle progression. *Nat. Genet.* *29*, 206–211.
15. Sawan, C., Hernandez-Vargas, H., Murr, R., Lopez, F., Vaissière, T., Ghantous, A.Y., Cuenin, C., Imbert, J., Wang, Z.-Q., Ren, B., et al. (2013). Histone acetyltransferase cofactor Trrap maintains self-renewal and restricts differentiation of embryonic stem cells. *Stem Cells Dayt. Ohio* *31*, 979–991.
16. Tapias, A., Zhou, Z.-W., Shi, Y., Chong, Z., Wang, P., Groth, M., Platzer, M., Huttner, W., Herceg, Z., Yang, Y.-G., et al. (2014). Trrap-dependent histone acetylation specifically regulates cell-cycle gene transcription to control neural progenitor fate decisions. *Cell Stem Cell* *14*, 632–643.
17. Gupta, A.R., Westphal, A., Yang, D.Y.J., Sullivan, C.A.W., Eilbott, J., Zaidi, S., Voos, A., Vander Wyk, B.C., Ventola, P., Waqar, Z., et al. (2017). Neurogenetic analysis of childhood disintegrative disorder. *Mol. Autism* *8*, 19.
18. Xu, B., Ionita-Laza, I., Roos, J.L., Boone, B., Woodrick, S., Sun, Y., Levy, S., Gogos, J.A., and Karayiorgou, M. (2012). De novo gene mutations highlight patterns of genetic and neural complexity in schizophrenia. *Nat. Genet.* *44*, 1365–1369.
19. Takata, A., Xu, B., Ionita-Laza, I., Roos, J.L., Gogos, J.A., and Karayiorgou, M. (2014). Loss-of-Function Variants in Schizophrenia Risk and SETD1A as a Candidate Susceptibility Gene. *Neuron* *82*, 773–780.
20. Geisheker, M.R., Heymann, G., Wang, T., Coe, B.P., Turner, T.N., Stessman, H.A.F., Hoekzema, K., Kvarnung, M., Shaw, M., Friend, K., et al. (2017). Hotspots of missense mutation identify neurodevelopmental disorder genes and functional domains. *Nat. Neurosci.* *20*, 1043–1051.
21. Sobreira, N., Schiettecatte, F., Valle, D., and Hamosh, A. (2015). GeneMatcher: a matching tool for connecting investigators with an interest in the same gene. *Hum. Mutat.* *36*, 928–930.
22. Lek, M., Karczewski, K.J., Minikel, E.V., Samocha, K.E., Banks, E., Fennell, T., O'Donnell-Luria, A.H., Ware, J.S., Hill, A.J., Cummings, B.B., et al. (2016). Analysis of protein-coding genetic variation in 60,706 humans. *Nature* *536*, 285–291.
23. Kircher, M., Witten, D.M., Jain, P., O'Roak, B.J., Cooper, G.M., and Shendure, J. (2014). A general framework for estimating the relative pathogenicity of human genetic variants. *Nat. Genet.* *46*, 310–315.

24. Kumar, P., Henikoff, S., and Ng, P.C. (2009). Predicting the effects of coding non-synonymous variants on protein function using the SIFT algorithm. *Nat. Protoc.* *4*, 1073–1081.
25. Adzhubei, I.A., Schmidt, S., Peshkin, L., Ramensky, V.E., Gerasimova, A., Bork, P., Kondrashov, A.S., and Sunyaev, S.R. (2010). A method and server for predicting damaging missense mutations. *Nat. Methods* *7*, 248–249.
26. Ware, J.S., Samocha, K.E., Homsy, J., and Daly, M.J. (2015). Interpreting de novo variation in human disease using denovolyzeR. *Curr. Protoc. Hum. Genet. Editor. Board Jonathan Haines Al* *87*, 7.25.1-7.25.15.
27. Lelieveld, S.H., Wiel, L., Venselaar, H., Pfundt, R., Vriend, G., Veltman, J.A., Brunner, H.G., Vissers, L.E.L.M., and Gilissen, C. (2017). Spatial Clustering of de Novo Missense Mutations Identifies Candidate Neurodevelopmental Disorder-Associated Genes. *Am. J. Hum. Genet.* *101*, 478–484.
28. Ferry, Q., Steinberg, J., Webber, C., FitzPatrick, D.R., Ponting, C.P., Zisserman, A., and Nellåker, C. (2014). Diagnostically relevant facial gestalt information from ordinary photos. *ELife* *3*, e02020.
29. Reijnders, M.R.F., Janowski, R., Alvi, M., Self, J.E., van Essen, T.J., Vreeburg, M., Rouhl, R.P.W., Stevens, S.J.C., Stegmann, A.P.A., Schieving, J., et al. (2018). PURA syndrome: clinical delineation and genotype-phenotype study in 32 individuals with review of published literature. *J. Med. Genet.* *55*, 104–113.
30. Murr, R., Vaissière, T., Sawan, C., Shukla, V., and Herceg, Z. (2007). Orchestration of chromatin-based processes: mind the TRRAP. *Oncogene* *26*, 5358–5372.
31. Chen, P.B., Hung, J.-H., Hickman, T.L., Coles, A.H., Carey, J.F., Weng, Z., Chu, F., and Fazzio, T.G. (2013). Hdac6 regulates Tip60-p400 function in stem cells. *ELife* *2*, e01557.
32. Fazzio, T.G., Huff, J.T., and Panning, B. (2008). An RNAi screen of chromatin proteins identifies Tip60-p400 as a regulator of embryonic stem cell identity. *Cell* *134*, 162–174.
33. Acharya, D., Hainer, S.J., Yoon, Y., Wang, F., Bach, I., Rivera-Pérez, J.A., and Fazzio, T.G. (2017). KAT-Independent Gene Regulation by Tip60 Promotes ESC Self-Renewal but Not Pluripotency. *Cell Rep.* *19*, 671–679.
34. Tapias, A., and Wang, Z.-Q. (2017). Lysine Acetylation and Deacetylation in Brain Development and Neuropathies. *Genomics Proteomics Bioinformatics* *15*, 19–36.
35. Clayton-Smith, J., O'Sullivan, J., Daly, S., Bhaskar, S., Day, R., Anderson, B., Voss, A.K., Thomas, T., Biesecker, L.G., Smith, P., et al. (2011). Whole-exome-sequencing identifies mutations in histone acetyltransferase gene KAT6B in individuals with the Say-Barber-Biesecker variant of Ohdo syndrome. *Am. J. Hum. Genet.* *89*, 675–681.
36. Szakszon, K., Salpietro, C., Kakar, N., Knegt, A.C., Oláh, É., Dallapiccola, B., and Borck, G. (2013). De novo mutations of the gene encoding the histone acetyltransferase KAT6B in two patients with Say-Barber/Biesecker/Young-Simpson syndrome. *Am. J. Med. Genet. A.* *161A*, 884–888.

37. Yilmaz, R., Beleza-Meireles, A., Price, S., Oliveira, R., Kubisch, C., Clayton-Smith, J., Szakson, K., and Borck, G. (2015). A recurrent synonymous KAT6B mutation causes Say-Barber-Biesecker/Young-Simpson syndrome by inducing aberrant splicing. *Am. J. Med. Genet. A.* *167A*, 3006–3010.
38. Campeau, P.M., Kim, J.C., Lu, J.T., Schwartzentruber, J.A., Abdul-Rahman, O.A., Schlaubitz, S., Murdock, D.M., Jiang, M.-M., Lammer, E.J., Enns, G.M., et al. (2012). Mutations in KAT6B, encoding a histone acetyltransferase, cause Genitopatellar syndrome. *Am. J. Hum. Genet.* *90*, 282–289.
39. Simpson, M.A., Deshpande, C., Dafou, D., Vissers, L.E.L.M., Woollard, W.J., Holder, S.E., Gillessen-Kaesbach, G., Derk, R., White, S.M., Cohen-Snuij, R., et al. (2012). De novo mutations of the gene encoding the histone acetyltransferase KAT6B cause Genitopatellar syndrome. *Am. J. Hum. Genet.* *90*, 290–294.
40. Millan, F., Cho, M.T., Retterer, K., Monaghan, K.G., Bai, R., Vitazka, P., Everman, D.B., Smith, B., Angle, B., Roberts, V., et al. (2016). Whole exome sequencing reveals de novo pathogenic variants in KAT6A as a cause of a neurodevelopmental disorder. *Am. J. Med. Genet. A.* *170*, 1791–1798.
41. Murray, C.R., Abel, S.N., McClure, M.B., Foster, J., Walke, M.I., Jayakar, P., Bademci, G., and Tekin, M. (2017). Novel Causative Variants in DYRK1A, KARS, and KAT6A Associated with Intellectual Disability and Additional Phenotypic Features. *J. Pediatr. Genet.* *6*, 77–83.
42. Yan, K., Rousseau, J., Littlejohn, R.O., Kiss, C., Lehman, A., Rosenfeld, J.A., Stumpel, C.T.R., Stegmann, A.P.A., Robak, L., Scaglia, F., et al. (2017). Mutations in the Chromatin Regulator Gene BRPF1 Cause Syndromic Intellectual Disability and Deficient Histone Acetylation. *Am. J. Hum. Genet.* *100*, 91–104.
43. Roelfsema, J.H., White, S.J., Ariyürek, Y., Bartholdi, D., Niedrist, D., Papadia, F., Bacino, C.A., den Dunnen, J.T., van Ommen, G.-J.B., Breuning, M.H., et al. (2005). Genetic heterogeneity in Rubinstein-Taybi syndrome: mutations in both the CBP and EP300 genes cause disease. *Am. J. Hum. Genet.* *76*, 572–580.
44. Bartholdi, D., Roelfsema, J.H., Papadia, F., Breuning, M.H., Niedrist, D., Hennekam, R.C., Schinzel, A., and Peters, D.J.M. (2007). Genetic heterogeneity in Rubinstein-Taybi syndrome: delineation of the phenotype of the first patients carrying mutations in EP300. *J. Med. Genet.* *44*, 327–333.
45. Tsai, A.C.-H., Dossett, C.J., Walton, C.S., Cramer, A.E., Eng, P.A., Nowakowska, B.A., Pursley, A.N., Stankiewicz, P., Wiszniewska, J., and Cheung, S.W. (2011). Exon deletions of the EP300 and CREBBP genes in two children with Rubinstein-Taybi syndrome detected by aCGH. *Eur. J. Hum. Genet. EJHG* *19*, 43–49.
46. Negri, G., Milani, D., Colapietro, P., Forzano, F., Della Monica, M., Rusconi, D., Consonni, L., Caffi, L.G., Finelli, P., Scarano, G., et al. (2015). Clinical and molecular characterization of Rubinstein-Taybi syndrome patients carrying distinct novel mutations of the EP300 gene. *Clin. Genet.* *87*, 148–154.

47. Xu, L.-M., Li, J.-R., Huang, Y., Zhao, M., Tang, X., and Wei, L. (2012). AutismKB: an evidence-based knowledgebase of autism genetics. *Nucleic Acids Res.* *40*, D1016–1022.
48. Piton, A., Jouan, L., Rochefort, D., Dobrzeniecka, S., Lachapelle, K., Dion, P.A., Gauthier, J., and Rouleau, G.A. (2013). Analysis of the effects of rare variants on splicing identifies alterations in GABA_A receptor genes in autism spectrum disorder individuals. *Eur. J. Hum. Genet.* *21*, 749–756.
49. Lang, B., Alrahbeni, T.M.A., Clair, D.S., Blackwood, D.H., International Schizophrenia Consortium, McCaig, C.D., and Shen, S. (2012). HDAC9 is implicated in schizophrenia and expressed specifically in post-mitotic neurons but not in adult neural stem cells. *Am. J. Stem Cells* *1*, 31–41.
50. Severinsen, J.E., Bjarkam, C.R., Kiaer-Larsen, S., Olsen, I.M., Nielsen, M.M., Blechingberg, J., Nielsen, A.L., Holm, I.E., Foldager, L., Young, B.D., et al. (2006). Evidence implicating BRD1 with brain development and susceptibility to both schizophrenia and bipolar affective disorder. *Mol. Psychiatry* *11*, 1126–1138.
51. Gause, M., Eissenberg, J.C., MacRae, A.F., Dorsett, M., Misulovin, Z., and Dorsett, D. (2006). Nipped-A, the Tra1/TRRAP Subunit of the Drosophila SAGA and Tip60 Complexes, Has Multiple Roles in Notch Signaling during Wing Development. *Mol. Cell. Biol.* *26*, 2347–2359.
52. Ceol, C.J., and Horvitz, H.R. (2004). A new class of *C. elegans* synMuv genes implicates a Tip60/NuA4-like HAT complex as a negative regulator of Ras signaling. *Dev. Cell* *6*, 563–576.
53. Finkbeiner, M.G., Sawan, C., Ouzounova, M., Murr, R., and Herceg, Z. (2008). HAT cofactor TRRAP mediates beta-caténine ubiquitination on the chromatin and the regulation of the canonical Wnt pathway. *Cell Cycle Georget. Tex* *7*, 3908–3914.
54. Knutson, B.A., and Hahn, S. (2011). Domains of Tra1 important for activator recruitment and transcription coactivator functions of SAGA and NuA4 complexes. *Mol. Cell. Biol.* *31*, 818–831.
55. Zhou, X., Edmonson, M.N., Wilkinson, M.R., Patel, A., Wu, G., Liu, Y., Li, Y., Zhang, Z., Rusch, M.C., Parker, M., et al. (2016). Exploring genomic alteration in pediatric cancer using ProteinPaint. *Nat. Genet.* *48*, 4–6.
56. Kelley, L.A., Mezulis, S., Yates, C.M., Wass, M.N., and Sternberg, M.J.E. (2015). The Phyre2 web portal for protein modeling, prediction and analysis. *Nat. Protoc.* *10*, 845–858.
57. Pettersen, E.F., Goddard, T.D., Huang, C.C., Couch, G.S., Greenblatt, D.M., Meng, E.C., and Ferrin, T.E. (2004). UCSF Chimera--a visualization system for exploratory research and analysis. *J. Comput. Chem.* *25*, 1605–1612.

Supplementary Material

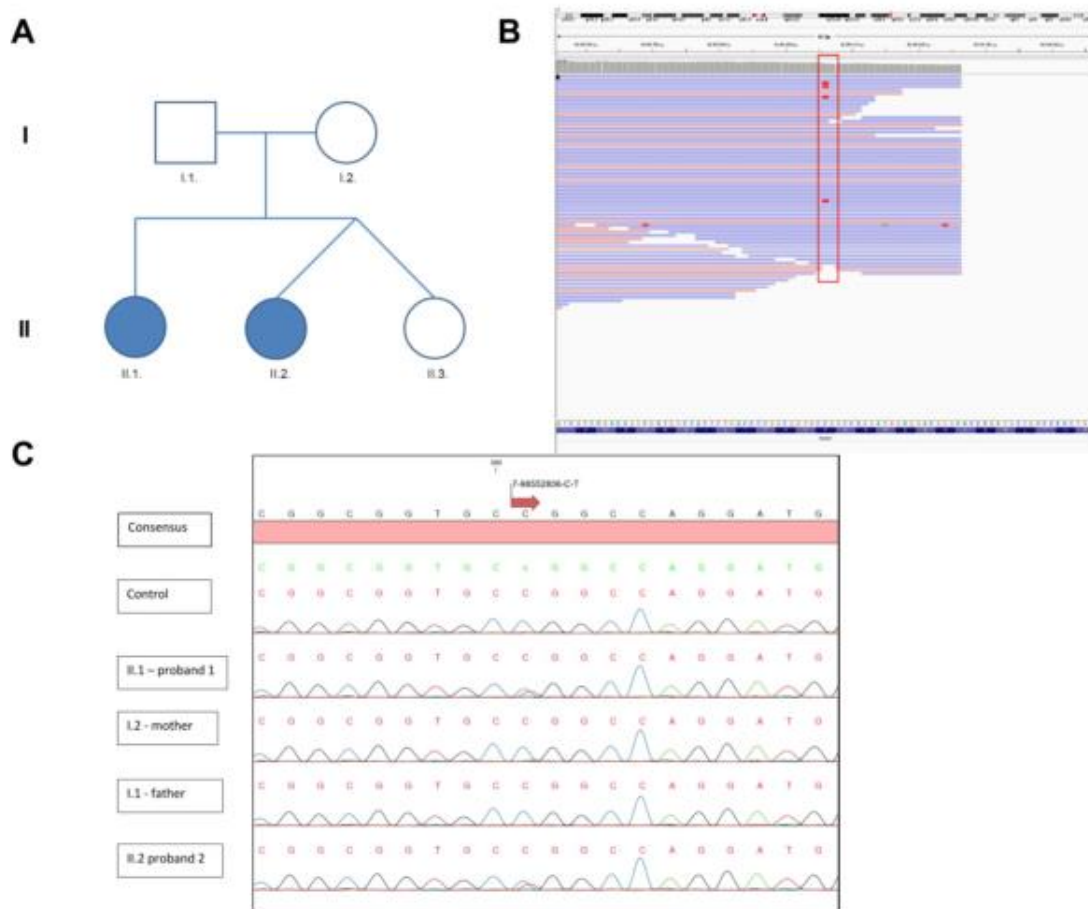


Figure S1. Maternal mosaicism of variant c.5795C>T (p.Pro1932Leu) identified in individuals 22 and 23.

(A) Pedigree of the family. (B) Integrative Genome Viewer snapshot of BAM emitted by GATKhaplotype caller in the mother (individual I.2.). Reads are shown aligned to the genome in blue for forwardstrand and red for reverse strand. The C to T variant is shown in red on 4/55 reads. This low 7% representation is significantly deviated from the expected 50% and is indicative of mosaicism. (C)Segregation analysis of the variant by Sanger sequencing confirms the heterozygous variant in the siblingsand the mosaicism in the mother.

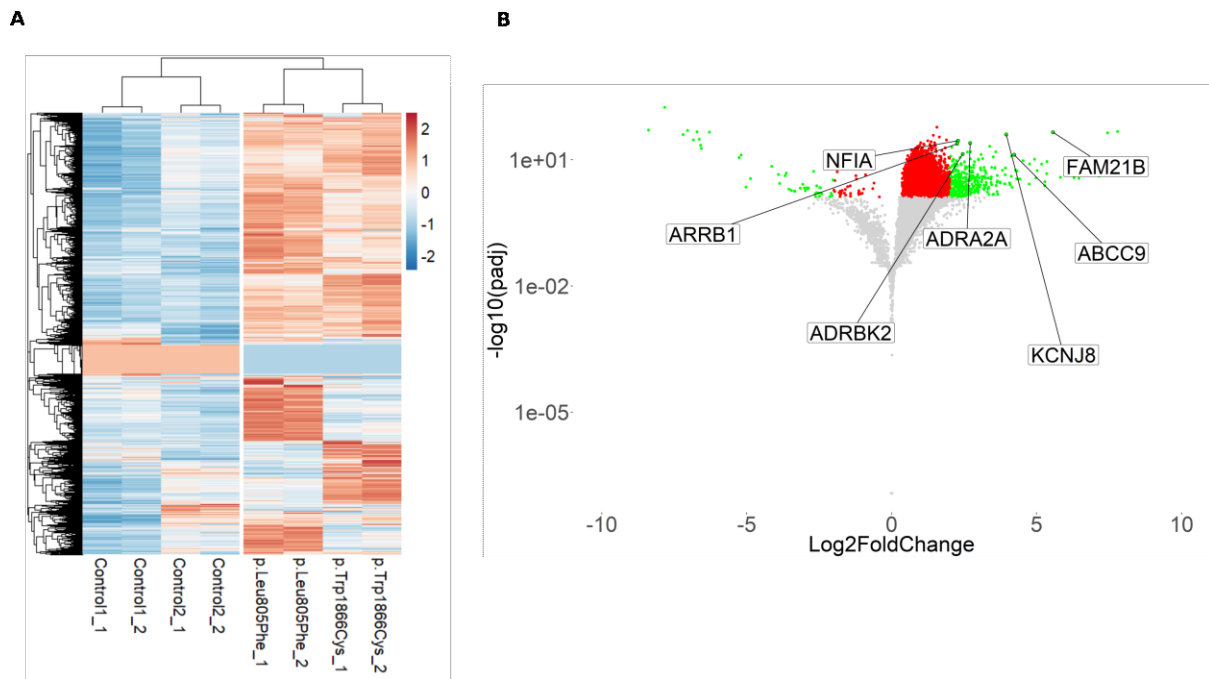


Figure S2. Fibroblasts harboring the p.(Leu805Phe) or p.(Trp1866Cys) variants have differential gene expression patterns.

RNAseq was performed on two healthy controls and two individual fibroblasts to assay gene expression with technical duplicates. (A) Heatmap of genes expressed with at least 10 counts in at least one condition. Normalized count values from “DESeq2” were plotted and scaled row-wise using the “pheatmap” R package. (B) Log2Fold Change (Log2FC) and p-values adjusted for 10% False Discovery Rate (padj) were recalculated for the two affected individuals and two controls respectively pooled together using the “DESeq2” R package then plotted using the “ggplot2” R package as a volcano plot. Green dots represent genes with a padj lower than 0.01, and an absolute Log2FC higher than 2 ($\text{padj} < 0.01, \text{abs}(\text{Log2FC}) > 2$) and are referred to as Differentially Expressed Genes (DEGs). Red dots represent genes with a padj lower than 0.01 but an absolute Log2FC lower than 2 ($\text{padj} < 0.01, \text{abs}(\text{Log2FC}) < 2$).

Supplementary methods

RNAseq

Human primary fibroblasts for patient were cultured in DMEM (ThermoFisher cat# 11995-065), 10% FBS, 1mM GlutaMax (ThermoFisher cat# 35050-061) and antibiotics-antimycotics (ThermoFisher cat# 15240-062). Fibroblasts were plated at 1 million

cells per 150mm dish and allowed to grow until they reached 80% confluence. Cells were washed twice withD-PBS, resuspended in QIAzol (Qiagen cat# 79306) and stored at -80°C until all samples wereready for RNA extraction. RNA isolation was performed using the RNeasy mini kit (Qiagen cat# 74104), according to the manufacturer's protocol. Samples were treated with the Turbo DNA free kit (ThermoFisher cat# AM1907) and quality was assessed using the Agilent 2100 Bioanalyzer. Sequencing was performed at the CHU Sainte-Justine and Génome Québec Integrated Clinical Genomic Centre in Pediatrics (CIGCP). mRNA Libraries were prepared using the TruSeq Stranded mRNA kit for 48 samples (Illumina), according to themanufacturer's instructions. Samples were run on the Illumina HiSeq 4000 PE100 with 7 samples per lane.Output files were analyzed using the MUGQIC RNAseq pipeline (MUGQIC) steps 1 through 14on the Guillimin Génome Québec HPC. In summary, BAM files were converted to FASTQ using Picard (BROAD Institute), sequences were trimmed using Trimmomatic (Bolger, 2014) thenaligned to the GRCh37 genome using STAR (Dobin, 2013); duplicate and misaligned reads were discarded using Picard, and raw counts were called using HTseq (Anders S, 2015). Differential expression analysis was performed using the DESeq2 R package (Love, 2014), with default parameters. GO annotation analysis was performed using the GOrilla web application (Eden, 2009). Control and patient cell lines of the same type were respectively pooled together into two groups for differential gene expression analysis, so as to find genes which were significantly differentially expressed in all patients compared to all controls. Significantly expressed genes were selected with an adjusted p value (10% False Discovery Rate, padj) lower than 0.01, and a log2 Fold Change (log2FC) higher than 2 or lower than -2; corresponding to an overall fold change of at least 4 or -4. Genes of interest were all significantly differentially expressed in individual patient analyses with DESeq2 compared to controls.

Bibliography for methods section

1. Anders S, P. P. (2015). HTSeq--a Python framework to work with high-throughputsequencing data. *Bioinformatics*, 31(2), 166-9.
2. Bolger, A. M. (2014). Trimmomatic: a flexible trimmer for Illumina sequence data. *Bioinformatics*, 30(15), 2114–2120.

3. BROAD Institute. (n.d.). Picard Tools. Retrieved 2017, from <https://github.com/broadinstitute/picard>
4. Dobin, A. D. (2013). STAR: ultrafast universal RNA-seq aligner. Bioinformatics, 29(1), 15–21.
5. Eden, E. N. (2009). GOrilla: A Tool For Discovery And Visualization of Enriched GO Terms in Ranked Gene Lists. BMC Bioinformatics, 10(48).
6. Love, M. I. (2014). Moderated estimation of fold change and dispersion for RNA-seq data with DESeq2. Genome Biolog, 15(12), 550.
7. MUGQIC. (n.d.). MUGQIC pipelines RNAseq, 2.2.1-beta. Retrieved 2017, from https://bitbucket.org/mugqic/mugqic_pipelines/src/master/pipelines/rnaseq/

3.1.2. Vérification des résultats de RNAseq

Afin de vérifier les résultats de séquençage, on a effectué des analyses ciblées sur les gènes les plus différentiellement régulés, et qui auraient un intérêt pertinent par rapport au phénotype neurodéveloppemental des individus affectés. Pour obtenir des résultats plus robustes, nous avons utilisé des contrôles différents de ceux utilisés en RNAseq, et en plus grande nombre. Aussi, comme nous continuons le recrutement d'individus affectés, nous avons reçu plus de cellules après le séquençage sur lesquelles nous avons pu tester les gènes sélectionnés pour les deux premières lignées (Figure 10). Sachant que l'un des termes GO (Gene Ontology) qui était le plus enrichi dans les gènes différentiellement régulés était les transporteurs d'ions, nous nous sommes concentrés sur ceux-ci. Malheureusement, les fibroblastes de l'individu porteur de la mutation W1866C étaient devenus sénescents, mais nous avons pu tester l'individu porteur de la mutation L805F, et nous avons rajouté la mutation G1883R et un individu du regroupement plus syndromique porteur de la mutation récurrente A1043T. Sachant que les individus testés étaient de sexe différent (2 femelles, 1 mâle), d'âge différent (2, 8, et 11 ans), et que les passages des cellules étaient variés, nous avons utilisé des contrôles des deux sexes et de passages les plus proches des cellules utilisées (entre P5 et P10 à partir de l'établissement des cellules). Alors, nous nous sommes heurtés au même problème que pour le RNAseq, c'est-à-dire la variabilité des contrôles qui, même en augmentant à cinq lignées différentes, présentent des écart-types relativement hauts. Pour deux des gènes dont la padj était la plus significative, soit *ABCC9* et *KCNJ8*, on observe une tendance non significative pour *ABCC9* et une augmentation significative pour *KCNJ8* vers une

surexpression de ces gènes dans les individus affectés qui ne font pas partie du regroupement plus syndromique (L805F, G1883R) (Figure 10). Le manque de reproductibilité pour les autres gènes semblerait provenir d'un manque de contrôles lors de l'expérience de RNAseq, qui induirait un biais et donnerait lieu à des faux positifs. Cependant, le manque de reproductibilité du phénomène avec les cellules de l'individu porteur d'une mutation dans le regroupement plus syndromique pourrait laisser penser que différents gènes sont affectés dû aux positions différentes des mutations qui affecteraient des interactions différentes de la protéine TRRAP, et donc des voies biologiques différentes.

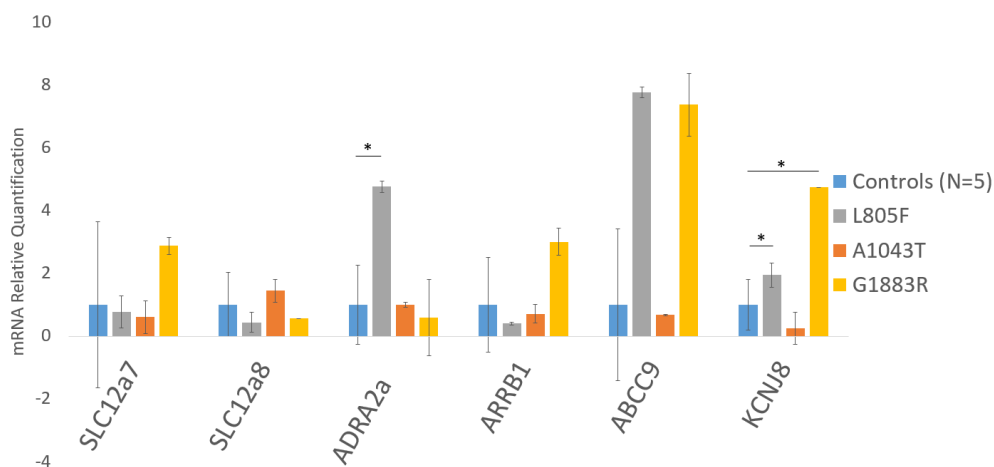


Figure 10: Vérification des gènes sélectionnés du RNAseq par qPCR. L'ARNm a été extrait de cinq fibroblastes sains et des individus affectés en quadruplicatas. L'expression de chaque gène est normalisée à l'expression de *GAPDH*. * : p<0.05 avec un test T pour échantillons indépendants.

3.1.3 Séquençage de l'ARNm de LCLs d'individus TRRAP

En plus des fibroblastes d'individus TRRAP, nous avons aussi obtenu des lignées lymphoblastoïques pour trois individus : l'individu porteur de la mutation L805F, et deux individus porteurs de la mutations récurrente A1043T. En les comparant à trois lignées contrôles, on observe qu'il existe 64 gènes différentiellement régulés dans les cellules d'individus TRRAP (Figure 11). Sur ce total, seulement cinq gènes sont aussi retrouvés dans les DEGs des fibroblastes TRRAP (Annexe 1), et de ceux-ci un seul est différentiellement régulé dans le même sens. Cependant, une grande partie des DEGs des LCLs est impliquée dans le fonctionnement neuronal, le développement neural, ou le cytosquelette ou l'adhésion cellulaire (Tableau V). Alors, il est possible que TRRAP interagisse avec des facteurs de

transcription ou des sous-unités de complexes de remodelage de la chromatine qui soient spécifiques au type-cellulaire, et qui auraient des *loci* cibles différents.

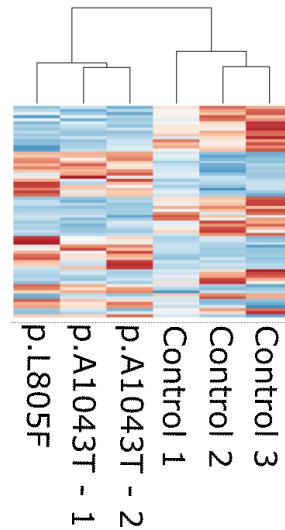


Figure 11 : Les LCLs d'individus TRRAP présentent des gènes différentiellement régulés. L'ARN de LCLs provenant de 3 individus affectés et 3 contrôles sains a été extrait et des libraires pour séquençage Illumina ont été préparées à partir de 800ng d'ARN. Heatmap des DEGs avec $p<0.01$ et $\log_{2}FC>2$ entre les individus TRRAP et les contrôles sains. L'expression des gènes plus élevée est représentée par la couleur rouge, tandis que l'expression moins élevée est représentée par la couleur bleue.

Tableau V - Gènes différentiellement régulés dans les LCLs d'individus porteurs de variants dans TRRAP impliqués dans le développement neural. Les gènes significativement dérégulés dans les 3 LCLs d'individus affectés porteurs de variants dans TRRAP ont été catégorisés par annotation manuelle et seuls ceux ayant un rôle dans la fonction neuronale, le développement neural, ou l'adhérence cellulaire ou le cytosquelette ont été sélectionnés.

Gène	log2FoldChange	padj	Fonction
CACNA1E	-3.02687	3.49E-08	Fonction Neuronale
CHI3L1	-4.57399	1.96E-05	Cytosquelette/Adhérence Cellulaire
CSGALNACT1	3.950611	3.00E-05	Cytosquelette/Adhérence Cellulaire
TNC	-3.02106	3.55E-05	Développement Neural
CPXM2	-4.22239	3.64E-05	Fonction Neuronale
FAT2	-3.31768	3.91E-05	Cytosquelette/Adhérence Cellulaire
ZNF730	2.593326	6.03E-05	Fonction Neuronale
SCHIP1	3.867895	0.001043	Développement Neural
RAB6B	-4.44294	0.001227	Fonction Neuronale
RASGRF1	-2.6115	0.001679	Fonction Neuronale
ADORA2B	2.766366	0.002155	Développement Neural
FHOD3	-3.46566	0.002511	Cytosquelette/Adhérence Cellulaire

IQCA1	3.374123	0.002511	Cytosquelette/Adhérence Cellulaire
NTN4	4.149745	0.002511	Développement Neural
NFIX	-2.05355	0.004128	Développement Neural
FXYD6	-4.29767	0.004134	Fonction Neuronale
ARHGEF28	-2.91451	0.004531	Fonction Neuronale
CCDC85C	-2.94385	0.005947	Développement Neural
PIGR	-2.74115	0.005998	Cytosquelette/Adhérence Cellulaire
SOWAHB	-3.93411	0.006805	Développement Neural
DHRS9	3.25298	0.007148	Cytosquelette/Adhérence Cellulaire
FRMPD2	-2.22181	0.007371	Cytosquelette/Adhérence Cellulaire
KAL1	4.014948	0.007372	Cytosquelette/Adhérence Cellulaire
FOXP2	-3.23619	0.008543	Développement Neural
SATB1	3.263034	0.00938	Fonction Neuronale
HHIP	3.30666	0.009555	Développement Neural
MED12L	2.877447	0.009555	Fonction Neuronale

3.2. Des mutations dans *SMARCC2* sont associées à un syndrome neurodéveloppemental et causent des changements d'expression génique

3.2.1 Mise en situation

Le gène *SMARCC2* encode SMARCC2, ou BAF170, une protéine structurale formant des homo- ou hétéro-dimères avec son homologue SMARCC1. Ce dimère et SMARCD1 forment le cœur du complexe BAF, ou SWI/SNF, sur lequel toutes les autres sous-unités se placent afin de former un complexe de remodelage des nucléosomes fonctionnel. Nous avons caractérisé des individus porteurs de mutations dans *SMARCC2* et présentant un syndrome neurodéveloppemental similaire aux autres syndromes associés à différentes sous unités du complexe BAF, le TDISS (Trouble de Déficience Intellectuelle associé au complexe SWI/SNF). Nous avons aussi démontré que certaines des mutations affectent l'expression génique dans des cellules de ces individus, et que plusieurs de ces gènes sont impliqués dans le développement ou le fonctionnement neural. Nous avons aussi démontré que certaines de ces mutations causaient des défauts d'épissage, soit l'exclusion d'un exon, ou la dégradation d'ARNm non-sens.

Keren Machol a procédé au recrutement et à la caractérisation clinique des individus, et a démontré l'exclusion exon de l'individu huit, et j'ai démontré la dégradation de l'ARNm

de *SMARCC2* dans l'individu quatre. L'établissement des lignées a été fait par Thi-Tuyet Mai Nguyen, Justine Rousseau, et moi-même. Les qPCR ont été réalisées par Thomas Garcia et la préparation pour le séquençage de l'ARNm a été fait par Jusine Rousseau. J'ai effectué toutes les analyses bio-informatiques. Les autres auteurs sont des cliniciens qui ont participé au recrutement et à la collecte de données des individus affectés. Keren, Justine, et moi-même avons écrit le manuscrit publié : Machol et al., *Am J Hum Gen*, 2019¹⁹⁰.

3.2.2 Article 2

Expanding the Spectrum of BAF-related Disorders – *De Novo* Variants in *SMARCC2* Cause a Syndrome with Intellectual Disability and Developmental Delay

Keren Machol,¹ Justine Rousseau,² Sophie Ehresmann,² Thomas Garcia,² Thi Tuyet Mai Nguyen,² Rebecca C. Spillmann,³ Jennifer A. Sullivan,³ Vandana Shashi,³ Yong-Hui Jiang,⁴ Nicholas Stong,⁵ Elise Fiala,⁶ Marcia Willing,⁶ Rolph Pfundt,⁷ Tjitske Kleefstra,⁷ Megan T. Cho,⁸ Heather McLaughlin,⁸ Monica Rosello Piera,⁹ Carmen Orellana,⁹ Francisco Martínez,⁹ Alfonso Caro-Llopis,⁹ Sandra Monfort,⁹ Tony Roscioli,¹⁰ Cheng Yee Nixon,¹⁰ Michael Buckley,¹¹ Anne Turner,¹² Wendy Jones,¹³ Peter M. van Hasselt,¹⁴ Floris C. Hofstede,¹⁴ Koen L.I. van Gassen,¹⁴ Alice S. Brooks,¹⁵ Marjon A. van Slegtenhorst,¹⁵ Katherine Lachlan,¹⁶ Jessica Sebastian,¹⁷ Suneeta Madan-Khetarpal,¹⁷ Desai Sonal,¹⁸ Naidu Sakkubai,¹⁸ Thevenon Julien,¹⁹ Faivre Laurence,¹⁹ Masurel Alice,¹⁹ Slavé Petrovski,²⁰, Ian D. Krantz,²¹ Jennifer M. Tarpinian,²¹ Jill A. Rosenfeld,¹ Brendan H. Lee,¹ Undiagnosed Diseases Network, Philippe M. Campeau^{2*}

1) Department of Molecular and Human Genetics, Baylor College of Medicine, Houston, TX, 77030, USA

- 2) Department of Pediatrics, CHU Sainte-Justine Research Center and University of Montreal, Montreal, QC, H3T 1C5, Canada
- 3) Department of Pediatrics, Duke University School of Medicine, Durham, North Carolina 27710, USA
- 4) Department of Pediatrics and Neurobiology, Program in Genetics and Genomics, Duke University School of Medicine, Durham, North Carolina 27710, USA
- 5) Institute for Genomic Medicine, Columbia University, New York, NY 10032, USA
- 6) Department of Pediatrics, Washington University School of Medicine, St. Louis, MO, USA
- 7) Human Genetics Department, Radboud University Medical Center, HB, Nijmegen, The Netherlands.
- 8) GeneDx, Gaithersburg, Maryland, USA
- 9) Unidad de Genética, Hospital Universitari i Politècnic La Fe, Valencia, Spain
- 10) Centre for Clinical Genetics, Sydney Children's Hospital, Neuroscience Research Australia, University of New South Wales, Sydney, Australia
- 11) New South Wales Health Pathology, Randwick, Australia
- 12) Centre for Clinical Genetics, Sydney Children's Hospital, Sydney, Australia
- 13) North East Thames Regional Genetics service, Great Ormond Street Hospital for Children NHS Foundation Trust, London WC1N 3JH, UK
- 14) Department of Metabolic Diseases, Wilhelmina Children's Hospital, University Medical Center Utrecht, The Netherlands
- 15) Department of Clinical Genetics, Erasmus Medical Center, Rotterdam, The Netherlands
- 16) Wessex Clinical Genetics Service, Princess Anne Hospital, Southampton, UK
- 17) Department of Medical Genetics, Children's Hospital of Pittsburgh of UPMC, Pittsburgh, PA

- 18) Department of Neurogenetics, Kennedy Krieger Institute, Baltimore, MD, USA
- 19) Centre de Génétique, Centre de Référence Anomalies du Développement et Syndromes Malformatifs de l'Interrégion Est et FHU TRANSLAD, CHU Dijon, F-21079 Dijon, France
- 20) AstraZeneca Centre for Genomics Research, Precision Medicine and Genomics, IMED Biotech Unit, AstraZeneca, Cambridge CB2 0AA, UK
- 21) Department of Pediatrics and Division of Human Genetics, The Children's Hospital of Philadelphia and the Perelman School of Medicine at The University of Pennsylvania, Philadelphia PA 19104, USA

* Correspondence: p.campeau@umontreal.ca

Abstract

SMARCC2 (BAF170, MIM: 601734) is one of the invariable core subunits of the ATP-dependent chromatin remodeling BAF (BRG1-Associated Factor) complex and plays a crucial role in embryogenesis and corticogenesis. Pathogenic variants in genes encoding other components of the BAF-complex have been associated with intellectual disability syndromes. Despite its significant biological role variants in *SMARCC2* have not been directly associated with human disease previously. Using whole exome sequencing and a web-based gene-matching program, we identified 15 individuals with variable degrees of neurodevelopmental delay and growth retardation harboring one of 13 heterozygous variants in *SMARCC2*, most of them novel and proven *de novo*. The clinical presentation overlaps with intellectual disability syndromes associated with other BAF subunits, such as Coffin Siris and Nicolaides-Baraitser syndromes, and includes prominent speech impairment, hypotonia, feeding difficulties, behavioral abnormalities, and dysmorphic features

such as hypertrichosis, thick eyebrows, thin upper lip vermillion, and upturned nose. Nine out of the fifteen individuals harbor variants in the highly conserved SMARCC2 DNA-interacting domains (SANT and SWIRM) and present with a more severe phenotype. Two of these individuals present cardiac abnormalities. Transcriptomic analysis of fibroblasts from affected individuals highlights a group of differentially expressed genes with possible roles in regulation of neuronal development and function, namely *H19*, *SCRG1*, *RELN* and *CACNB4*. Our findings suggest a novel SMARCC2-related syndrome which overlaps with neurodevelopmental disorders associated with variants in BAF-complex subunits.

Main Text

Introduction:

The chromatin-remodeling complex BRG1-Associated Factor (BAF) plays an essential role in the regulation of gene expression and higher-order chromatin organization by modulating the nucleosome and changing chromatin conformation and accessibility ^{1,2}. BAFopathies are a heterogeneous group of disorders caused by mutations in the various subunits composing the BAF-complex. The clinical phenotypic spectrum of BAFopathies is wide and involves various human neurodevelopmental disorders including syndromic and nonsyndromic intellectual disability (ID), growth retardation ^{3, 4, 5, 6, 7, 8, 9, 10}, sporadic autism ¹¹, schizophrenia ¹², and amyotrophic lateral sclerosis ¹³.

The most recognizable syndrome associated with BAF abnormalities is Coffin-Siris syndrome (CSS). This is a genetically heterogeneous ID syndrome characterized by developmental delay (DD), speech delay, coarse facial appearance, feeding

difficulties, and hypoplastic-to-absent fifth finger nails and fifth distal phalanges¹⁴. This syndrome is associated with abnormalities in multiple subunits of the BAF-complex including the ATPase subunit SMARCA4 (MIM: 603254), the common core subunit SMARCB1 (MIM: 601607), and BAF accessory subunits such as SMARCE1/BAF57 (MIM: 603111), ARID1A (MIM: 603024), ARID1B (MIM: 614556)¹⁵, ARID2 (MIM: 609539)¹⁶, and DPF2 (MIM: 601671)¹⁷. CSS can result of pathogenic changes in other chromatin remodeling proteins with no direct interaction with BAF-complex, including SOX11 (MIM: 600898)¹⁸ and PHF6 (MIM: 300414)¹⁹.

Other BAFopathies include Nicolaides-Baraitser syndrome caused by pathogenic variants in *SMARCA2* (MIM: 600014) that has a significant phenotypic overlap with CSS and characterized by ID, sparse hair, short stature, microcephaly, brachydactyly, interphalangeal joint swellings, and epilepsy^{20, 21}. Some individuals with clinical diagnosis of DOORS syndrome, characterized by deafness, onychodystrophy, osteodystrophy, ID and seizures, were found to carry pathogenic variants in *SMARCB1* (MIM: 601607), highlighting the clinical overlap between CSS and DOORS syndrome²². We have previously reported mutations in another BAF subunit, *ACTL6A*, to be associated with ID²³. Pathogenic variants in *ADNP* (MIM: 611386), encoding a transcription factor that interacts with the BAF-complex, have been identified in individuals presenting dysmorphic facial features, autism spectrum disorder (ASD), ID, hypotonia, and congenital heart defects²⁴. Detailed phenotypic and genetic comparison between the different BAF related syndromes has been discussed elsewhere^{4, 25}.

SMARCC2 (MIM: 601734) encodes BAF170, a common core subunit of the BAF-complexes with high homology to *SMARCC1* (BAF155)²⁶. It is an intrinsic factor of glial radial cells and plays a crucial role in embryogenesis and corticogenesis, determining the mammalian body and cortical size²⁷. *Smarcc2;Smarcc1* double knockout mice demonstrated proteasome-mediated degradation of the entire BAF-complexes resulting in impairment of the global epigenetic and gene expression program of forebrain development²⁸. Recently, deletion of *Smarcc2* in mice revealed its role in learning and behavioral adaptation²⁹. *SMARCC2* was also reported as one of the chromatin-remodeling genes involved in ASD³⁰. Despite its significant biological role, variants in *SMARCC2* have not been directly associated with a syndrome in humans previously.



Figure 12: Pictures of ten of the individuals with SMARCC2 variants.

Results:

We report 15 unrelated individuals (table 1 and table S1) with variants in *SMARCC2*, detected by whole exome sequencing (WES), and with clinical presentation

that includes mild to severe ID, (HP:0012736), DD with prominent speech delay (HP:0000750), behavioral abnormalities (HP:0000708), growth retardation (HP:0008897), feeding difficulties at the neonatal period (HP:0008872), hypotonia (HP:0011398), and dysmorphic features including hypertrichosis (HP:0000998), thick eyebrows (HP:0000574) / prominent supra-orbital ridges (HP:0000336), and thin upper and lower vermillion (HP:0000233) suggesting overlap with Coffin Siris and Nicolaides-Baraitser syndromes. Subjects in this cohort were gathered using GeneMatcher ³¹. All individuals' families from the different institutions agreed to participate in this study and signed appropriate consent forms. Permission for clinical photographs was given separately. Individual 4 has been reported before and was identified in a gene panel screening (1,256 genes) of 96 individuals with ID ³². The variant c.1833+2T>C in individual 10 was reported before as part of a work to identify new gene-disease associations in trio WES from 119 undiagnosed patients ³³. Individuals 1, 4, 6, 7, 9-13 and 15 had trio WES. Individuals 2, 3, 5 and 14 had a proband WES followed by Sanger confirmation for patient and parents. Biological parents of individuals 3 and father of individual 8 are not available for testing. Individual 8 had duo WES with his mother and results were re-analyzed as part of the Undiagnosed Diseases Network (UDN). Biological parents of individuals 3 and 8 are not available for testing. This individual was found to harbor an intronic splice site variant c.1833+1G>T in *SMARCC2* that was not found in his mother. Twelve of the 15 individuals have proven *de novo* variants in *SMARCC2*. Individual 2 inherited the variant from his affected father. Paternal grandparents were negative for the variant indicating a *de novo* variant in the father.

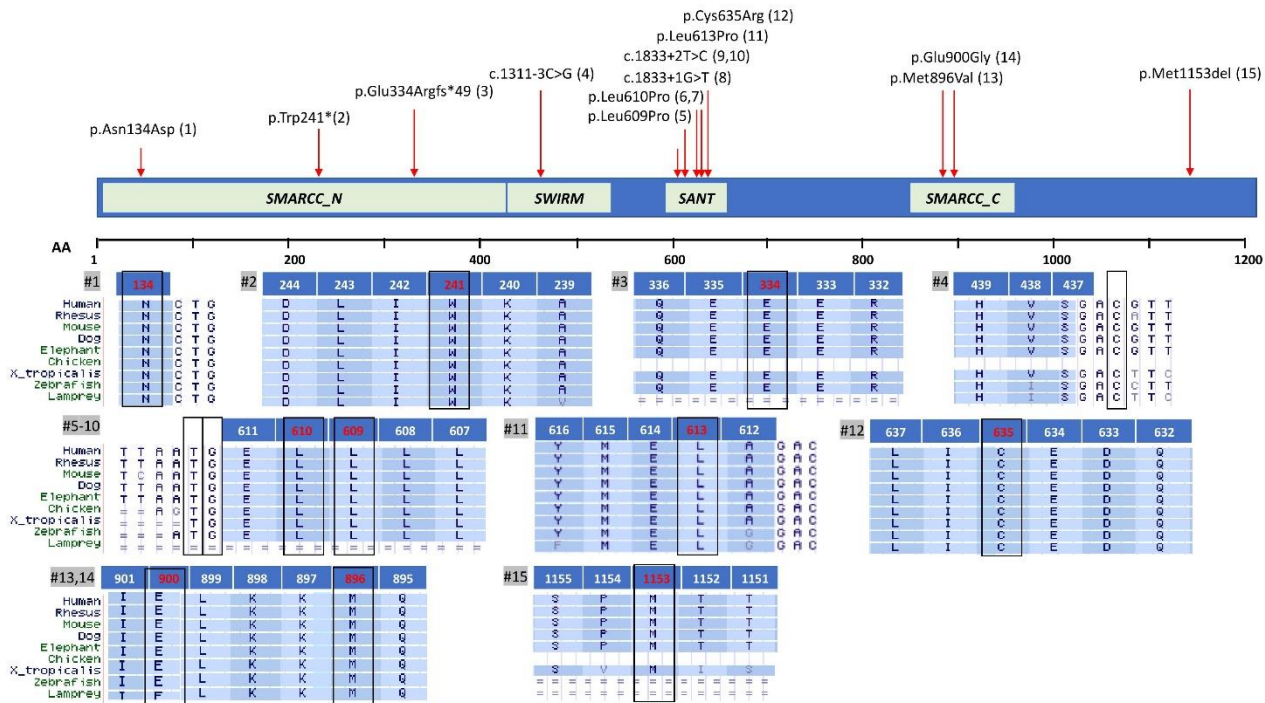


Figure 13: SMARCC2 (BAF170) main domains and variants.

Amino acid alignments demonstrate that the missense variants affect highly conserved amino acids and the variants causing splicing abnormalities affect highly conserved nucleotides (NP_003066, transcript ENST00000267064.8). The involved amino acids / nucleotides are framed in black. Number of relevant individual (#) is on gray background. For intron/exon location of the different variants see table S1.

All of the individuals presented here have some degree of ID and/or DD (table 1 and table S1). Ten (10/15, 65%) have moderate to profound DD and ID while the other five individuals have only mild ID or mild DD. 13/15 (86%) individuals have speech impairment with seven of them completely lacking language. Most individuals present muscle tone abnormalities. 13/15 (85%) individuals present significant hypotonia,

while two of the individuals present high tone or spasticity. Ten of the individuals (67%) present behavioral problems including aggression and self-injurious behavior as well as hyperactivity, hypersensitivity to touch, sleep disturbances, and obsessive and rigid behavior. Two were noted to have difficulties in social interactions, yet not qualified for formal diagnosis of autism. Eight individuals present feeding difficulties and six of them have mostly postnatal growth retardation. Individual 9 has continuous feeding difficulties with laryngomalacia and nasal feeding tube since age 14 months. 11 out of the 15 individuals are reported to have dysmorphic craniofacial features (figure 13). The most pronounced dysmorphic features are hypertrichosis (6/15), thick eyebrows / prominent supra-orbital ridges (6/15), thin upper or thick lower lip-vermilion (6/15 and 5/15), and upturned nose (6/15). Most of the individuals have normal fifth finger/toe or finger/toenail.

Eight of the 15 individuals presented here (1, 5-7, 11-14) have one of seven missense variants in *SMARCC2* (GeneBank: NM_003075.3), all are predicted to be deleterious / probably damaging according to PROVEAN and SIFT, in-silico tools to predict the functional effect of an amino acid substitution. Only individuals 2 and 3 carry truncating mutations. Individual 2 carries a heterozygous nonsense variant at position 241 (p.Trp241*), and individual 3 carries a frameshift variant (p.Glu334Argfs*49). Interestingly, both present with a mild phenotype. Individual 2 inherited the change from his affected father who presents with borderline intelligence (IQ of 72) and behavior problems. This might suggest a milder phenotype in cases with truncating mutations. All missense variants are in well-conserved amino acids in *SMARCC2* (figure 14). In vitro missense tolerance ratio (MTR) tool shows that six of the seven missense variants presented here preferentially affect one of the 25% most

intolerant residues of *SMARCC2* ($p=0.0004$) with p.Asn134Asp being the only missense variant affecting a tolerant region of this gene (figure S1). This might be consistent with the milder phenotype presented in this individual. *SMARCC2* ExAC z-score for intolerance for missense variations is significantly high (4.26) and the gene is predicted to be potentially associated with dominant conditions according to an LDA score of 2.435 by the DOMINO algorithm³⁴. Individual 15 harbors a *de novo* in-frame deletion of methionine 1153 (c.3456_3458delCAT). Methionine 1153 deletion and its missense substitutions to various amino acids (isoleucine, threonine, valine) appear once (allele frequency 3.231×10^{-5}) and 4 times respectively in gnomAD³⁵. This might indicate that this position is relatively tolerable for changes and explain the mild clinical presentation of individual 15. It is important to note that detailed phenotype such as IQ scores are not available for individuals included in the ExAC database.

Individuals 2 and 3 carry truncating mutations located at the N-terminus of *SMARCC2* (exons 9 and 11). Individual 2 carries a heterozygous nonsense variant (p.Trp241*), and individual 3 carries a frameshift variant (p.Glu334Argfs*49). Interestingly, both present mild phenotype. Individual 2, who presents mainly behavioral abnormalities and only mild DD, inherited the change from his affected father who presents with borderline intelligence (IQ of 72) and behavior problems. ExAC database identified only a single loss-of-function allele in *SMARCC2* (p.Glu389Aspfs*5); however, with only 11 (22%) of 49 reads at this frameshift variant site, it is unlikely to be a germline variant (Binomial exact test for 50% germline heterozygous expectation; $p = 0.0001$). The depletion of protein-truncating variants in *SMARCC2* is evident in large human population reference cohorts. Based on the ExAC cohort, *SMARCC2* achieves a LoF depletion FDR adjusted $p = 5.5 \times 10^{-11}$, ranking it

among the 1.6% most significantly LoF-depleted genes in the human exome³⁶. It also has a probability of loss-of-function (LoF) intolerance (pLI) score of 1, supporting deleterious effect for predicted LoF pathogenic variants³⁵. *SMARCC2* %HI score of 20.29 also predicts this gene is less likely to tolerate a loss-of-function variant or deletion³⁷.

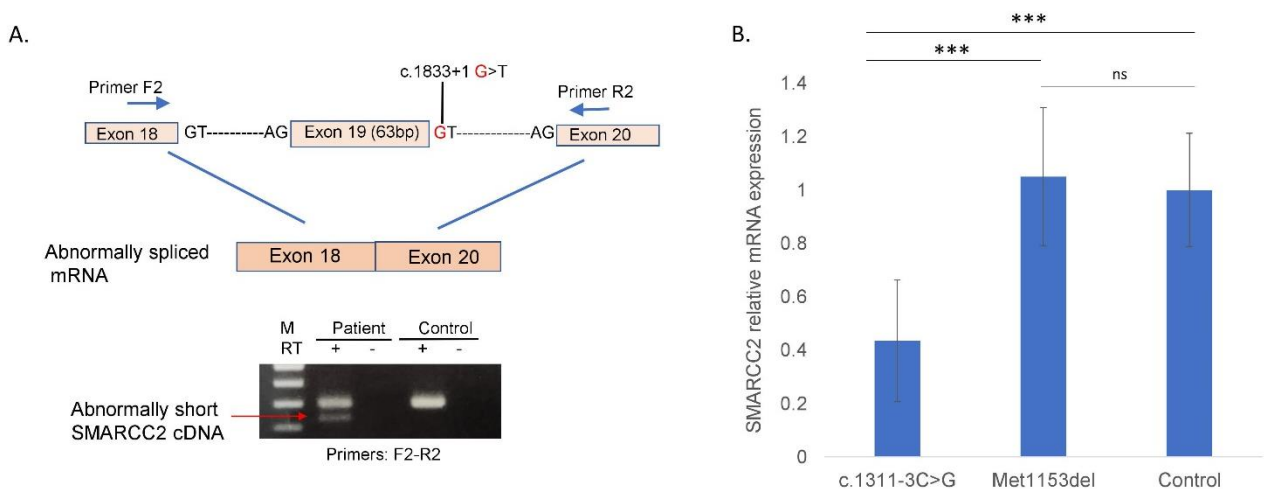


Figure 14: Splicing variant analyses in Individual 8 and 4.

A. PCR amplification of the individual's cDNA at exons 18 to 20 reveals deletion of exon 19 (amino acids 590-611) due to splicing variant *c.1833+1G>T* in *SMARCC2* (NM_003075). **B.** *SMARCC2* gene expression was quantified by qRT-PCR from LCLs for individuals 4 and 15 and an unrelated control, in triplicates. *SMARCC2* expression was normalized to GAPDH, and results are represented as relative expression normalized to the Control. Error bars represent SEM and significance was assessed with bilateral unpaired Student's T tests.

Four individuals harbor splicing variants. Three individuals (8-10) have one of two variants in intron 19 (*c.1833+2T>C* and *c.1833+1G>T*) that are predicted in silico to affect splicing donor site according to Human Splicing Finder (HSF). One individual

(4) presents a splicing variant in intron 14 (c.1311-3C>G) that is predicted to affect exon acceptor site. *In vitro* assay in lymphocytes from individual 8 (c.1833+1G>T) indicates this variant leads to abnormal splicing with deletion of exon 19 (amino acids 590-611) that compose the SANT domain in SMARCC2 (figure **15A**). The capture of a shorter cDNA product using RT-PCR might indicate the presence of an mRNA escaping nonsense-mediated decay (NMD). RT-qPCR quantification of *SMARCC2* in lymphocytes from individual 4 (c.1311-3C>G) demonstrate a ~50% decrease in mRNA compared to a control and a coding in-frame deletion (Individual 15, Met1153del), suggesting haploinsufficiency through NMD (figure **15B**).

Nine individuals carry missense or splicing variants in the highly conserved SWIRM (Swi3, Rsc8, and Moira) and SANT (Swi3, Ada2, NCoR and TFIIB) domains of SMARCC2 (figure **14**). The SWIRM domain interacts with DNA, binds di-nucleosome structures, and mediates specific protein-protein interactions³⁸. The SANT domain has DNA-binding activity³⁹ and is believed to function as a histone tail binding module⁴⁰. Eight of the individuals reported here have a heterozygous novel variant in the SANT domain of SMARCC2. One individual has a missense variant changing leucine for proline in position 609 (p.Leu609Pro), two have a missense variant changing leucine for proline in position 610 (p.Leu610Pro), one individual has a missense variant changing leucine for proline in position 613 (p.Leu613Pro), and one has a missense variant changing cysteine to arginine in position 635 (p.Cys635Arg). Three individuals have one of two intronic variants that are predicted in silico to affect the same splicing donor site in SANT and one individual presents a splicing variant at the SWIRM domain. This group of nine individuals present with moderate to severe DD and ID and with severe speech impairment, with six of them having no language at

all. Five out of these nine individuals (55%) have abnormal brain MRI findings including small corpus callosum and generalized cerebral atrophy. Five out of the nine present significant growth retardation and four of them have seizure disorder. It seems that individuals carrying a pathogenic variant in SWIRM or SANT domains have a more severe presentation. Interestingly, only the two individuals harboring the p.Leu610Pro variant have cardiovascular abnormalities. An echocardiogram for individual 6 revealed distended left coronary artery and for individual 7 mild non-progressive dilatation of the ascending aorta (Z score of 2.54).

To further investigate the pathogenicity of the variants we calculated the geometric mean distance between the observed mutations to assay the clustering of the mutations ⁴¹. As this calculation only considers the length of the spliced transcript, intronic splicing mutations were annotated according to the closest coding nucleotide. Compared to ten million random permutations of mutations along the transcript, the observed mutations are significantly clustered (p-value 10^{-7}), suggesting a pathomechanism which does not operate through haploinsufficiency alone. Interestingly, removing the frameshift and nonsense mutations from the analysis does not affect the significance, but taking out the splicing mutations does (p-value 0.12). This result points towards a more important role in the pathogenicity for the SWIRM and SANT domains than for the SMARCC_N region, and a corollary of this interpretation is the hypothesis that expressed but incorrectly-spliced transcripts could function through a dominant negative mechanism.

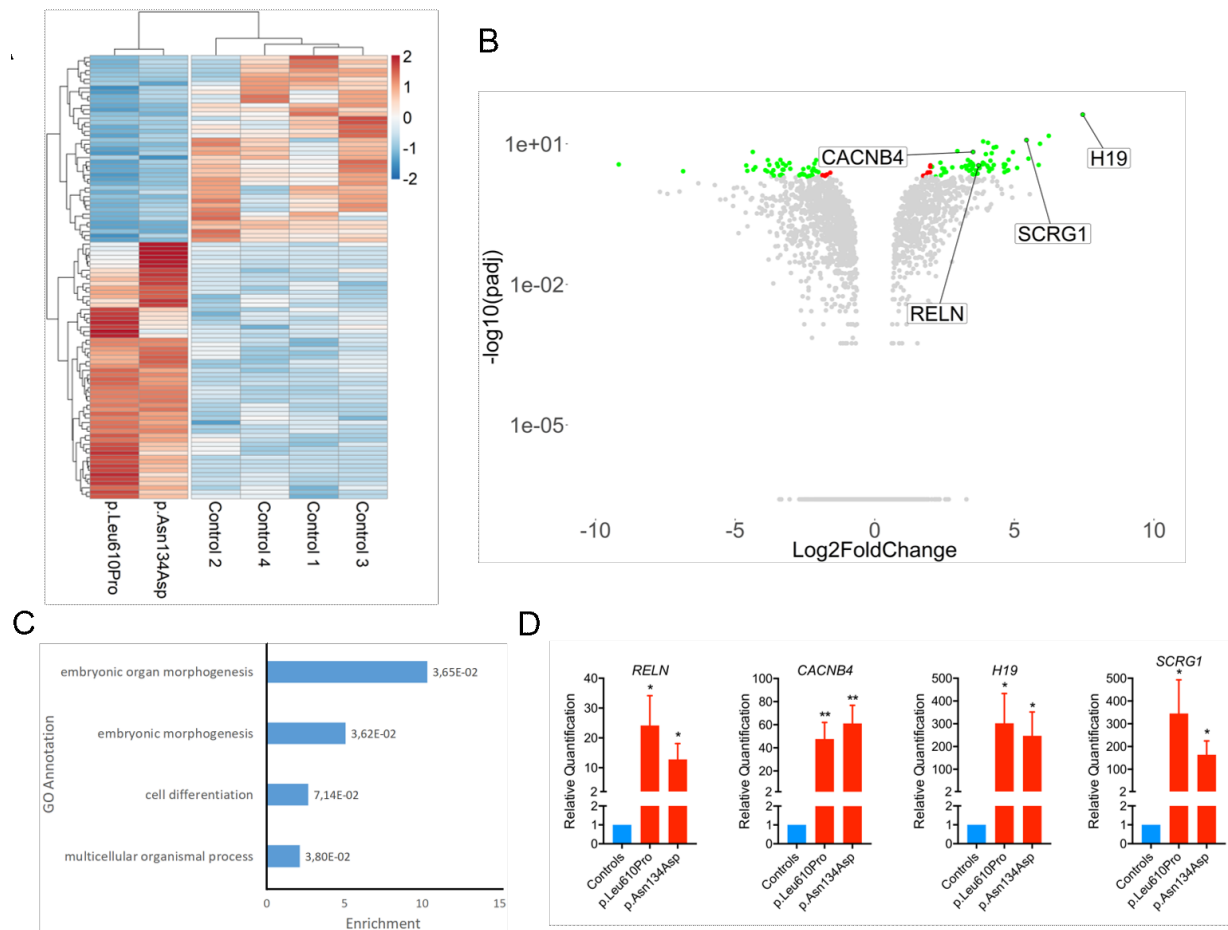


Figure 15: Fibroblasts harboring p.Leu610Pro or p.Asn134Asp SMARCC2 mutation have differential gene expression patterns when compared to fibroblasts from healthy controls.

RNAseq was performed on four healthy controls and two patient fibroblasts to assay gene expression. (A) Heatmap of Differentially Expressed Genes (DEGs). Log₂ Fold Change (Log2FC) and p-values adjusted for 10% False Discovery Rate (padj) were calculated for the two individuals and four controls respectively pooled together using the “DESeq2” R package. Normalized count values from “DESeq2” were plotted and scaled row-wise using the “pheatmap” R package for genes with a padj lower than 0.01 and an absolute Log2FC value higher than 2. DEGs numbers are shown as Venn diagrams with each individual compared separately to controls using the “DESeq2” R package, for up-regulated genes (B) and down-regulated genes (C).

(D) Volcano plot showing differentially regulated genes as fold-change versus adjusted p-values. Log₂FC and $-\log_{10}(\text{padj})$ values were plotted using the “ggplot2” R package as a volcano plot. Red dots represent genes with a padj lower than 0.01 and a abs(Log₂FC) lower than 2. Green dots represent genes with a padj lower than 0.01 and a abs(log₂FC) higher than 2. **(E)** Histogram of the enriched GO annotations with FDR adjusted p-values lower than 0.01 calculated using the GOrilla web application using DEGs for the two individuals pooled together. **(F)** RT-qPCR analysis of

To better understand the impact of *SMARCC2* mutations on gene-expression, we performed an RNAseq analysis on fibroblasts from individual 1 with p.Asn134Asp mutation and individual 7 with p.Leu610Pro mutation. We analyzed both samples together to assess shared differential gene expression patterns. Analysis of Differentially Expressed Genes (DEGs) shows an almost equal amount of DEGs upregulated and downregulated in these two individuals (figure **16A**). Gene Ontology (GO) analysis of these DEGs using the GOrilla web application demonstrates a significant enrichment in genes related to embryonic morphogenesis, multicellular organismal process, and developmental process (figure **16E**). We also looked at DEGs specific to each individual. Consistent with the milder phenotype of individual 1, the p.Asn134Asp mutation seems to affect the expression of fewer genes, as this individual only had 25 DEGs (table S3) compared to the 59 of individual 7 (table S4 and figure **4B** and **4C**). Of those, they shared 12 DEGs. Moreover, many genes that were not significantly differentially expressed in individual 1, but were in individual 7, did show a tendency to have relative changes in expression in the same direction. Consistent with *in silico* predictions, this suggests that the p.Asn134Asp mutation, located at the N-

terminus of the protein has a milder effect than the p.Leu610Pro mutation that is located in the SANT domain. Among the shared DEGs we identified genes with possible role in regulation of neuronal development and function, namely *H19*, *SCRG1*, *RELN* and *CACNB4*.

H19 codes for a long noncoding RNA and is among the most upregulated DEGs ($\log_2\text{FC}=7.4$, $\text{padj}=7.18\text{E}-43$) in both individuals compared to controls (table S2). *H19* is an imprinted gene and has been implicated in the regulation of growth and embryonic development, tumorigenesis and epilepsy-induced astrocyte and microglia activation^{42, 43, 44}. Interestingly, knocking down *SMARCA4* in MCF10A epithelial cell line also results in significant *H19* upregulation¹ suggesting that *H19* expression is affected by BAF complex modification and that *SMARCC2* p.Asn134Asp and p.Leu610Pro mutations could indeed affect the complex integrity and/or function.

SCRG1 is another significant DEG ($\log_2\text{FC}=5.43$, $\text{padj}=9.30\text{E}-13$) mainly expressed in the human brain, and its level is highly regulated during postnatal development, being absent in the fetal brain⁴⁵. Duplication of the gene has been suggested to contribute to ID⁴⁶. In human mesenchymal stem cells, *SCRG1* expression is important for the maintenance of self-renewal and preventing osteoblastic differentiation⁴⁷. Interestingly, impaired postnatal radial glial cells self-renewal was observed in conditional *Smarcc2*-deficient animals²⁹, and abolishing the expression of *Smarca4* or *Smarcc2* in postnatal neuronal stem cells results in preferential onset of gliogenesis instead of neurogenesis^{48,29}.

Another overexpressed gene is *RELN* ($\log_2\text{FC}=3.72$, $\text{padj}=3.39\text{E}-04$), which encodes Reelin, a large secreted matrix serine protease that is involved in layering of neurons in the cortex and cerebellum. It also regulates microtubule function in neurons and neuronal migration, and its enzymatic activity is important for the modulation of cell adhesion. Recessive *RELN* mutations cause lissencephaly (MIM: 257320), while dominant mutations cause epilepsy (MIM: 616436)⁴⁹.

Finally, *CACNB4*, which also has significantly increased expression ($\log_2\text{FC}=3.52$, $\text{padj}=1.88\text{E}-07$), encodes a beta auxiliary subunit of voltage-gated calcium ions channels. Calcium channels play an essential role in the nervous system for neurotransmitter release as well as the regulation of gene expression^{50, 51}. Interestingly, *CACNB4* was shown to translocate to the nucleus to regulate gene expression^{52, 53}. Different isoforms of the β-subunit of voltage-gated calcium ions channels have been shown to control the transcription of genes by recruiting proteins involved in DNA remodeling such as the heterochromatin protein 1⁵⁴. Also, the β-subunit was reported to downregulate Wnt signaling, a crucial player in neural development⁵⁵, through interaction with the transcription factor TCF4 which is associated with Pitt-Hopkins syndrome (MIM: 610954)⁵³. Mutations in other subunits of voltage-gated channels have been associated with mental disorders, autism spectrum disorders (ASD) and cardiovascular problems^{56, 57, 58, 59}. In humans, *CACNB4* mutations have been associated with episodic ataxia (MIM: 613855), juvenile myoclonic and idiopathic generalized epilepsy (MIM: 607682).

To validate the relevance of our results and to understand the low overlap between DEGs in the two assessed individuals, we compared our results to other public

datasets involving BAF-complex components. We looked at datasets in both human and mouse cell lines and primary cells in culture (figure S2) ^{60, 1, 61, 62, 63}. The number of DEGs varies significantly between assays from just 18 to 3038. We calculated and plotted the overlapping genes for each dataset, showing varying degrees of overlap (0% to 83%) suggesting a great heterogeneity in genes affected by BAF-complex defects, in both a subunit and a cell type specific manner. Thus, we hypothesize that pathogenic mutations in different domains of the same subunit, as seen in the two individuals assessed in our study, could lead to different gene expression patterns as they could affect the interaction with unique subunits or transcription factors and could explain the low overlap we obtained. Still, 48% of the DEGs in *SMARCC2* individuals' fibroblasts are found in at least one other dataset, suggesting some commonalities, and confirming a general BAF-complex-linked transcriptomic profile.

Discussion:

Spatiotemporal regulation of the different subunits assembly and the activity of the BAF-complex are well orchestrated and essential to enable normal development and proper functioning of the nervous system ^{2, 64, 65}. With the exception of impaired cognitive function observed in *Smarcc2*-deficient mice, no mutations in *SMARCC2* have been associated with a particular phenotype/disease. Here we show that mutations in *SMARCC2* affect gene expression, and in particular a subset of putative genes potentially implicated in neurogenesis and proper functioning of the nervous system, namely *H19*, *SCRG1*, *RELN* and *CACNB4*. Our results further suggest that mutations of *SMARCC2* may regulate pathways important for postnatal gliogenesis, differentiation and function of astrocytes and oligodendrocytes. Further studies need to

be undertaken in other models to determine the role of these genes in individuals affected by *SMARCC2* mutations.

Neurodevelopmental disorders associated with pathogenic variants in BAF chromatin remodeling complex subunits present overlapping clinical phenotype. Comparing the clinical presentation of the different associated conditions (table 2 ^{66, 4, 3, 67, 68, 69, 23}), emphasizes the wide clinical spectrum of the disorders and the importance of trio WES in the diagnostic process. Other than our observation that missense and splicing variants in the highly conserved SANT and SWIRM domains uniformly lead to a severe phenotype, we could not point out a clear genotype-phenotype correlation. Missense variants outside of these two domains were found mostly but not exclusively in patients with mild presentation suggesting variable degree of effect on BAF-complex function for missense variants. Pathogenic variants reported in SMARC subunits (SMARCA2, SMARCA4, SMARCB1 and SMARCE1) are mostly missense and in-frame deletions (table 2) with dominant negative effect mechanism causing Coffin-Siris and CS-like syndromes ^{8, 25}. Recently, mutations identified in BAF-subunit DPF2 were suggested to cause CSS-like phenotype in a dominant negative mechanism related both to missense and splicing / truncating variants through NMD escape ¹⁷.

Given that *SMARCC1* and *SMARCC2* are paralogous genes, that they can form heterodimers or homodimers ⁷⁰, and that both share functional scaffolding properties ²⁸, it is conceivable that *SMARCC1* could at least partially compensate for the loss of *SMARCC2* leading to a milder phenotype in clinically milder cases with truncating mutations in the SMARCC N-terminal region. Nevertheless, our results also suggest that the mutant mRNA of individual 4 with a severe phenotype (c.1311-3C>G)

undergoes NMD as one of the consequences of the splice site mutation, therefore haploinsufficiency can also be seen in individuals with a severe phenotype. As neither RNA nor cells were available for these individuals with N-terminal truncating mutation, we cannot exclude the possibility that the mRNA could escape NMD and the truncated protein remained functional to perform essential function or to allow for a compensatory mechanism to take place. Finally, different SMARCC2 isoforms could be expressed in different tissues or at different times during development, thus the location of truncating mutations could affect the phenotype since they may affect only certain isoforms. Indeed, if there are N-terminal truncated isoforms of SMARCC2 expressed specifically in the nervous system, the N-terminal truncation mutations causing NMD would have no impact on that isoform while a mutation in the SWIRM domain would. Such specific alternative splicing could explain the discrepancy of mild and severe phenotype being both associated with haploinsufficiency. Interestingly, Kazantseva and colleagues have shown that N-terminally truncated isoforms of SMARCE1 (BAF57) are exclusively expressed in neuronal tissues and contribute to the diversity of the BAF complex in neurons⁷¹. A similar mechanism could occur for SMARCC2, and further research into its neuronal expression would be needed to answer this question. The wide phenotypic variety and the lack of clear genotype-phenotype correlation of the conditions associated with BAF-complex subunits were also suggested to be attributed to a possible dosage dependent manner of the ATP-dependent chromatin remodeling machinery²⁵. This, with the significant intolerance of the BAF-complex subunits genes to LOF variants, might support a contribution of LOF variants to the phenotype.

The *SMARCC2*-related condition presented here overlaps with other BAFopathies suggesting a CSS and Nicolaides-Baraitser-like syndrome characterized by intellectual disability, developmental delay with significant speech delay and behavioral abnormalities. We provide evidence of dysregulated expression of *H19*, *SCRG1*, *RELN* and *CACNB4*, the relevance of which will need to be explored in future model organism studies.

Consortia:

The members of the Undiagnosed Diseases Network are as follows:

David R. Adams, Mercedes E. Alejandro, Patrick Allard, Mahshid S. Azamian, Carlos A. Bacino, Ashok Balasubramanyam, Hayk Barseghyan, Gabriel F. Batzli, Alan H. Beggs, Babak Behnam, Anna Bican, David P. Bick, Camille L. Birch, Devon Bonner, Braden E. Boone, Bret L. Bostwick, Lauren C. Briere, Donna M. Brown, Matthew Brush, Elizabeth A. Burke, Lindsay C. Burrage, Shan Chen, Gary D. Clark, Terra R. Coakley, Joy D. Cogan, Cynthia M. Cooper, Heidi Cope, William J. Craigen, Precilla D'Souza, Mariska Davids, Jyoti G. Dayal, Esteban C. Dell'Angelica, Shweta U. Dhar, Ani Dillon, Katrina M. Dipple, Laurel A. Donnell-Fink, Naghmeh Dorrani, Daniel C. Dorset, Emilie D. Douine, David D. Draper, David J. Eckstein, Lisa T. Emrick, Christine M. Eng, Ascia Eskin, Cecilia Esteves, Tyra Estwick, Carlos Ferreira, Brent L. Fogel, Noah D. Friedman, William A. Gahl, Emily Glanton, Rena A. Godfrey, David B. Goldstein, Sarah E. Gould, Jean-Philippe F. Gourdine, Catherine A. Groden, Andrea L. Gropman, Melissa Haendel, Rizwan Hamid, Neil A. Hanchard, Lori H. Handley, Matthew R. Herzog, Ingrid A. Holm, Jason Hom, Ellen M. Howerton, Yong Huang, Howard J. Jacob, Mahim Jain, Yong-hui Jiang, Jean M. Johnston, Angela L. Jones, Isaac S. Kohane, Donna M.

Krasnewich, Elizabeth L. Krieg, Joel B. Krier, Seema R. Lalani, C. Christopher Lau, Jozef Lazar, Brendan H. Lee, Hane Lee, Shawn E. Levy, Richard A. Lewis, Sharyn A. Lincoln, Allen Lipson, Sandra K. Loo, Joseph Loscalzo, Richard L. Maas, Ellen F. Macnamara, Calum A. MacRae, Valerie V. Maduro, Marta M. Majcherska, May Christine V. Malicdan, Laura A. Mamounas, Teri A. Manolio, Thomas C. Markello, Ronit Marom, Julian A. Martínez-Agosto, Shruti Marwaha, Thomas May, Allyn McConkie-Rosell, Colleen E. McCormack, Alexa T. McCray, Matthew Might, Paolo M. Moretti, Marie Morimoto, John J. Mulvihill, Jennifer L. Murphy, Donna M. Muzny, Michele E. Nehrebecky, Stan F. Nelson, J. Scott Newberry, John H. Newman, Sarah K. Nicholas, Donna Novacic, Jordan S. Orange, J. Carl Pallais, Christina G.S. Palmer, Jeanette C. Papp, Neil H. Parker, Loren D.M. Pena, John A. Phillips III, Jennifer E. Posey, John H. Postlethwait, Lorraine Potocki, Barbara N. Pusey, Chloe M. Reuter, Amy K. Robertson, Lance H. Rodan, Jill A. Rosenfeld, Jacinda B. Sampson, Susan L. Samson, Kelly Schoch, Molly C. Schroeder, Daryl A. Scott, Prashant Sharma, Vandana Shashi, Rebecca Signer, Edwin K. Silverman, Janet S. Sinsheimer, Kevin S. Smith, Rebecca C. Spillmann, Kimberly Splinter, Joan M. Stoler, Nicholas Stong, Jennifer A. Sullivan, David A. Sweetser, Cynthia J. Tifft, Camilo Toro, Alyssa A. Tran, Tiina K. Urv, Zaheer M. Valivullah, Eric Vilain, Tiphanie P. Vogel, Colleen E. Wahl, Nicole M. Walley, Chris A. Walsh, Patricia A. Ward, Katrina M. Waters, Monte Westerfield, Anastasia L. Wise, Lynne A. Wolfe, Elizabeth A. Worhey, Shinya Yamamoto, Yaping Yang, Guoyun Yu, Diane B. Zastrow, and Allison Zheng.

Conflicts of Interest

The Department of Molecular and Human Genetics at Baylor College of Medicine receives revenue from clinical genetic testing performed at Baylor Genetics.

Megan Cho and Heather McLaughlin are employees of GeneDx, Inc., a wholly-owned subsidiary of OPKO Health, Inc. All other authors declare no competing interests.

Acknowledgments

We thank the patients and their families for their participation in this study. We thank the CIHR and FRSQ for clinician-scientist awards to PMC. Spanish patients study was supported by grant PI14/00350 (Instituto de Salud Carlos III -Acción Estratégica en Salud 2013–2016; FEDER - Fondo Europeo de Desarrollo Regional). Partial Research reported in this manuscript was supported by the NIH Common Fund, through the Office of Strategic Coordination/Office of the NIH Director under Award Number(s) U01HG007672 (Duke University) and U01HG007942 (Baylor College of Medicine- Sequencing). The content is solely the responsibility of the authors and does not necessarily represent the official views of the National Institutes of Health and partial funding for this study was provided by UCB Celltech.

Web Resources

ExAC Browser, <http://exac.broadinstitute.org/>

GeneBank, <https://www.ncbi.nlm.nih.gov/genbank/>

GeneMatcher, <https://www.genematcher.org/>

GnomAD Browser, <http://gnomad.broadinstitute.org/>

Genome Browser, <https://genome.ucsc.edu/>

Human Splicing Finder, <http://www.umd.be/HSF3/>

Human Phenotype Ontology (HPO), <http://human-phenotype-ontology.org/>

OMIM, <https://www.omim.org/>

Polyphen-2, <http://genetics.bwh.harvard.edu/pph2>

PROVEAN, <http://provean.jcvi.org/>

SIFT, <http://sift.jcvi.org/>

Genetic Intolerance, <http://genic-intolerance.org/>

Missense Tolerance Ratio (MTR) tool, <http://mtr-viewer.mdhs.unimelb.edu.au/mtr-viewer/>

REFERENCES

1. Barutcu, A.R., Lajoie, B.R., Fritz, A.J., McCord, R.P., Nickerson, J.A., van Wijnen, A.J., Lian, J.B., Stein, J.L., Dekker, J., Stein, G.S., et al. (2016). SMARCA4 regulates gene expression and higher-order chromatin structure in proliferating mammary epithelial cells. *Genome Res* 26, 1188-1201.
2. Ronan, J.L., Wu, W., and Crabtree, G.R. (2013). From neural development to cognition: unexpected roles for chromatin. *Nat Rev Genet* 14, 347-359.
3. Santen, G.W., Aten, E., Vulto-van Silfhout, A.T., Pottinger, C., van Bon, B.W., van Minderhout, I.J., Snowdowne, R., van der Lans, C.A., Boogaard, M., Linssen, M.M., et al. (2013). Coffin-Siris syndrome and the BAF complex: genotype-phenotype study in 63 patients. *Hum Mutat* 34, 1519-1528.
4. Kosho, T., Okamoto, N., and Coffin-Siris Syndrome International, C. (2014). Genotype-phenotype correlation of Coffin-Siris syndrome caused by mutations in SMARCB1, SMARCA4, SMARCE1, and ARID1A. *Am J Med Genet C Semin Med Genet* 166C, 262-275.
5. Sousa, S.B., Hennekam, R.C., and Nicolaides-Baraitser Syndrome International, C. (2014). Phenotype and genotype in Nicolaides-Baraitser syndrome. *Am J Med Genet C Semin Med Genet* 166C, 302-314.
6. Hoyer, J., Ekici, A.B., Ende, S., Popp, B., Zweier, C., Wiesener, A., Wohlleber, E., Dufke, A., Rossier, E., Petsch, C., et al. (2012). Haploinsufficiency of ARID1B, a member of the SWI/SNF-a chromatin-remodeling complex, is a frequent cause of intellectual disability. *Am J Hum Genet* 90, 565-572.
7. Halgren, C., Kjaergaard, S., Bak, M., Hansen, C., El-Schich, Z., Anderson, C.M., Henriksen, K.F., Hjalgrim, H., Kirchhoff, M., Bijlsma, E.K., et al. (2012). Corpus callosum abnormalities, intellectual disability, speech impairment, and autism in patients with haploinsufficiency of ARID1B. *Clin Genet* 82, 248-255.
8. Van Houdt, J.K., Nowakowska, B.A., Sousa, S.B., van Schaik, B.D., Seuntjens, E., Avonce, N., Sifrim, A., Abdul-Rahman, O.A., van den Boogaard, M.J., Bottani, A., et al. (2012). Heterozygous missense mutations in SMARCA2 cause Nicolaides-Baraitser syndrome. *Nat Genet* 44, 445-449, S441.

9. Vandeweyer, G., Helsmoortel, C., Van Dijck, A., Vulto-van Silfhout, A.T., Coe, B.P., Bernier, R., Gerdts, J., Rooms, L., van den Ende, J., Bakshi, M., et al. (2014). The transcriptional regulator ADNP links the BAF (SWI/SNF) complexes with autism. *Am J Med Genet C Semin Med Genet* 166C, 315-326.
10. Santen, G.W., Kriek, M., and van Attikum, H. (2012). SWI/SNF complex in disorder: SWItching from malignancies to intellectual disability. *Epigenetics* 7, 1219-1224.
11. Neale, B.M., Kou, Y., Liu, L., Ma'ayan, A., Samocha, K.E., Sabo, A., Lin, C.F., Stevens, C., Wang, L.S., Makarov, V., et al. (2012). Patterns and rates of exonic de novo mutations in autism spectrum disorders. *Nature* 485, 242-245.
12. Loe-Mie, Y., Lepagnol-Bestel, A.M., Maussion, G., Doron-Faigenboim, A., Imbeaud, S., Delacroix, H., Aggerbeck, L., Pupko, T., Gorwood, P., Simonneau, M., et al. (2010). SMARCA2 and other genome-wide supported schizophrenia-associated genes: regulation by REST/NRSF, network organization and primate-specific evolution. *Hum Mol Genet* 19, 2841-2857.
13. Chesi, A., Staahl, B.T., Jovicic, A., Couthouis, J., Fasolino, M., Raphael, A.R., Yamazaki, T., Elias, L., Polak, M., Kelly, C., et al. (2013). Exome sequencing to identify de novo mutations in sporadic ALS trios. *Nat Neurosci* 16, 851-855.
14. Schrier, S.A., Bodurtha, J.N., Burton, B., Chudley, A.E., Chiong, M.A., D'Avanzo M, G., Lynch, S.A., Musio, A., Nyazov, D.M., Sanchez-Lara, P.A., et al. (2012). The Coffin-Siris syndrome: a proposed diagnostic approach and assessment of 15 overlapping cases. *Am J Med Genet A* 158A, 1865-1876.
15. Tsurusaki, Y., Okamoto, N., Ohashi, H., Kosho, T., Imai, Y., Hibi-Ko, Y., Kaname, T., Naritomi, K., Kawame, H., Wakui, K., et al. (2012). Mutations affecting components of the SWI/SNF complex cause Coffin-Siris syndrome. *Nat Genet* 44, 376-378.
16. Bramswig, N.C., Caluseriu, O., Ludecke, H.J., Bolduc, F.V., Noel, N.C., Wieland, T., Surowy, H.M., Christen, H.J., Engels, H., Strom, T.M., et al. (2017). Heterozygosity for ARID2 loss-of-function mutations in individuals with a Coffin-Siris syndrome-like phenotype. *Hum Genet* 136, 297-305.
17. Vasileiou, G., Vergarajauregui, S., Ende, S., Popp, B., Buttner, C., Ekici, A.B., Gerard, M., Bramswig, N.C., Albrecht, B., Clayton-Smith, J., et al. (2018). Mutations in the BAF-Complex Subunit DPF2 Are Associated with Coffin-Siris Syndrome. *Am J Hum Genet* 102, 468-479.
18. Hempel, A., Pagnamenta, A.T., Blyth, M., Mansour, S., McConnell, V., Kou, I., Ikegawa, S., Tsurusaki, Y., Matsumoto, N., Lo-Castro, A., et al. (2016). Deletions and de novo mutations of SOX11 are associated with a neurodevelopmental disorder with features of Coffin-Siris syndrome. *J Med Genet* 53, 152-162.
19. Zweier, C., Rittinger, O., Bader, I., Berland, S., Cole, T., Degenhardt, F., Di Donato, N., Graul-Neumann, L., Hoyer, J., Lynch, S.A., et al. (2014). Females with de novo aberrations in

- PHF6: clinical overlap of Borjeson-Forssman-Lehmann with Coffin-Siris syndrome. Am J Med Genet C Semin Med Genet 166C, 290-301.
20. Nicolaides, P., and Baraitser, M. (1993). An unusual syndrome with mental retardation and sparse hair. Clin Dysmorphol 2, 232-236.
21. Pretegiani, E., Mari, F., Renieri, A., Penco, S., and Dotti, M.T. (2016). Nicolaides-Baraitser syndrome: defining a phenotype. J Neurol 263, 1659-1660.
22. Campeau, P.M., Hennekam, R.C., and group, D.s.c. (2014). DOORS syndrome: phenotype, genotype and comparison with Coffin-Siris syndrome. Am J Med Genet C Semin Med Genet 166C, 327-332.
23. Marom, R., Jain, M., Burrage, L.C., Song, I.W., Graham, B.H., Brown, C.W., Stevens, S.J.C., Stegmann, A.P.A., Gunter, A.T., Kaplan, J.D., et al. (2017). Heterozygous variants in ACTL6A, encoding a component of the BAF complex, are associated with intellectual disability. Hum Mutat 38, 1365-1371.
24. Helsmoortel, C., Vulfo-van Silfhout, A.T., Coe, B.P., Vandeweyer, G., Rooms, L., van den Ende, J., Schuurs-Hoeijmakers, J.H., Marcelis, C.L., Willemse, M.H., Vissers, L.E., et al. (2014). A SWI/SNF-related autism syndrome caused by de novo mutations in ADNP. Nat Genet 46, 380-384.
25. Bogershausen, N., and Wollnik, B. (2018). Mutational Landscapes and Phenotypic Spectrum of SWI/SNF-Related Intellectual Disability Disorders. Front Mol Neurosci 11, 252.
26. Ring, H.Z., Vameghi-Meyers, V., Wang, W., Crabtree, G.R., and Francke, U. (1998). Five SWI/SNF-related, matrix-associated, actin-dependent regulator of chromatin (SMARC) genes are dispersed in the human genome. Genomics 51, 140-143.
27. Tuoc, T.C., Boretius, S., Sansom, S.N., Pitulescu, M.E., Frahm, J., Livesey, F.J., and Stoykova, A. (2013). Chromatin regulation by BAF170 controls cerebral cortical size and thickness. Dev Cell 25, 256-269.
28. Narayanan, R., Pirouz, M., Kerimoglu, C., Pham, L., Wagener, R.J., Kiszka, K.A., Rosenbusch, J., Seong, R.H., Kessel, M., Fischer, A., et al. (2015). Loss of BAF (mSWI/SNF) Complexes Causes Global Transcriptional and Chromatin State Changes in Forebrain Development. Cell Rep 13, 1842-1854.
29. Tuoc, T., Dere, E., Radyushkin, K., Pham, L., Nguyen, H., Tonchev, A.B., Sun, G., Ronnenberg, A., Shi, Y., Staiger, J.F., et al. (2017). Ablation of BAF170 in Developing and Postnatal Dentate Gyrus Affects Neural Stem Cell Proliferation, Differentiation, and Learning. Mol Neurobiol 54, 4618-4635.
30. Ben-David, E., and Shifman, S. (2013). Combined analysis of exome sequencing points toward a major role for transcription regulation during brain development in autism. Mol Psychiatry 18, 1054-1056.

31. Sobreira, N., Schiettecatte, F., Valle, D., and Hamosh, A. (2015). GeneMatcher: a matching tool for connecting investigators with an interest in the same gene. *Hum Mutat* 36, 928-930.
32. Martinez, F., Caro-Llopis, A., Rosello, M., Oltra, S., Mayo, S., Monfort, S., and Orellana, C. (2017). High diagnostic yield of syndromic intellectual disability by targeted next-generation sequencing. *J Med Genet* 54, 87-92.
33. Zhu, X., Petrovski, S., Xie, P., Ruzzo, E.K., Lu, Y.F., McSweeney, K.M., Ben-Zeev, B., Nissenkorn, A., Anikster, Y., Oz-Levi, D., et al. (2015). Whole-exome sequencing in undiagnosed genetic diseases: interpreting 119 trios. *Genet Med* 17, 774-781.
34. Quinodoz, M., Royer-Bertrand, B., Cisarova, K., Di Gioia, S.A., Superti-Furga, A., and Rivolta, C. (2017). DOMINO: Using Machine Learning to Predict Genes Associated with Dominant Disorders. *Am J Hum Genet* 101, 623-629.
35. Lek, M., Karczewski, K.J., Minikel, E.V., Samocha, K.E., Banks, E., Fennell, T., O'Donnell-Luria, A.H., Ware, J.S., Hill, A.J., Cummings, B.B., et al. (2016). Analysis of protein-coding genetic variation in 60,706 humans. *Nature* 536, 285-291.
36. Petrovski, S., Gussow, A.B., Wang, Q., Halvorsen, M., Han, Y., Weir, W.H., Allen, A.S., and Goldstein, D.B. (2015). The Intolerance of Regulatory Sequence to Genetic Variation Predicts Gene Dosage Sensitivity. *PLoS Genet* 11, e1005492.
37. Huang, N., Lee, I., Marcotte, E.M., and Hurles, M.E. (2010). Characterising and predicting haploinsufficiency in the human genome. *PLoS Genet* 6, e1001154.
38. Aravind, L., and Iyer, L.M. (2002). The SWIRM domain: a conserved module found in chromosomal proteins points to novel chromatin-modifying activities. *Genome Biol* 3, RESEARCH0039.
39. Yoneyama, M., Tochio, N., Umehara, T., Koshiba, S., Inoue, M., Yabuki, T., Aoki, M., Seki, E., Matsuda, T., Watanabe, S., et al. (2007). Structural and functional differences of SWIRM domain subtypes. *J Mol Biol* 369, 222-238.
40. Boyer, L.A., Latek, R.R., and Peterson, C.L. (2004). The SANT domain: a unique histone-tail-binding module? *Nat Rev Mol Cell Biol* 5, 158-163.
41. Lelieveld, S.H., Wiel, L., Venselaar, H., Pfundt, R., Vriend, G., Veltman, J.A., Brunner, H.G., Vissers, L., and Gilissen, C. (2017). Spatial Clustering of de Novo Missense Mutations Identifies Candidate Neurodevelopmental Disorder-Associated Genes. *Am J Hum Genet* 101, 478-484.
42. Gabory, A., Jammes, H., and Dandolo, L. (2010). The H19 locus: role of an imprinted non-coding RNA in growth and development. *Bioessays* 32, 473-480.
43. Raveh, E., Matouk, I.J., Gilon, M., and Hochberg, A. (2015). The H19 Long non-coding RNA in cancer initiation, progression and metastasis - a proposed unifying theory. *Mol Cancer* 14, 184.

44. Han, C.L., Ge, M., Liu, Y.P., Zhao, X.M., Wang, K.L., Chen, N., Meng, W.J., Hu, W., Zhang, J.G., Li, L., et al. (2018). LncRNA H19 contributes to hippocampal glial cell activation via JAK/STAT signaling in a rat model of temporal lobe epilepsy. *J Neuroinflammation* 15, 103.
45. Dron, M., Dandoy-Dron, F., Guillo, F., Benboudjema, L., Hauw, J.J., Lebon, P., Dormont, D., and Tovey, M.G. (1998). Characterization of the human analogue of a Scrapie-responsive gene. *J Biol Chem* 273, 18015-18018.
46. Kashevarova, A.A., Nazarenko, L.P., Skryabin, N.A., Salyukova, O.A., Chechetkina, N.N., Tolmacheva, E.N., Sazhenova, E.A., Magini, P., Graziano, C., Romeo, G., et al. (2014). Array CGH analysis of a cohort of Russian patients with intellectual disability. *Gene* 536, 145-150.
47. Aomatsu, E., Takahashi, N., Sawada, S., Okubo, N., Hasegawa, T., Taira, M., Miura, H., Ishisaki, A., and Chosa, N. (2014). Novel SCRG1/BST1 axis regulates self-renewal, migration, and osteogenic differentiation potential in mesenchymal stem cells. *Sci Rep* 4, 3652.
48. Ninkovic, J., Steiner-Mezzadri, A., Jawerka, M., Akinci, U., Masserdotti, G., Petricca, S., Fischer, J., von Holst, A., Beckers, J., Lie, C.D., et al. (2013). The BAF complex interacts with Pax6 in adult neural progenitors to establish a neurogenic cross-regulatory transcriptional network. *Cell Stem Cell* 13, 403-418.
49. Wasser, C.R., and Herz, J. (2017). Reelin: Neurodevelopmental Architect and Homeostatic Regulator of Excitatory Synapses. *J Biol Chem* 292, 1330-1338.
50. Mochida, S. (2018). Presynaptic calcium channels. *Neurosci Res* 127, 33-44.
51. Greer, P.L., and Greenberg, M.E. (2008). From synapse to nucleus: calcium-dependent gene transcription in the control of synapse development and function. *Neuron* 59, 846-860.
52. Ronjat, M., Kiyonaka, S., Barbado, M., De Waard, M., and Mori, Y. (2013). Nuclear life of the voltage-gated Cacnb4 subunit and its role in gene transcription regulation. *Channels (Austin)* 7, 119-125.
53. Rima, M., Daghni, M., Lopez, A., Fajloun, Z., Lefrancois, L., Dunach, M., Mori, Y., Merle, P., Bruses, J.L., De Waard, M., et al. (2017). Down-regulation of the Wnt/beta-catenine signaling pathway by Cacnb4. *Mol Biol Cell* 28, 3699-3708.
54. Tadmouri, A., Kiyonaka, S., Barbado, M., Rousset, M., Fablet, K., Sawamura, S., Bahembera, E., Pernet-Gallay, K., Arnoult, C., Miki, T., et al. (2012). Cacnb4 directly couples electrical activity to gene expression, a process defective in juvenile epilepsy. *EMBO J* 31, 3730-3744.
55. Mulligan, K.A., and Cheyette, B.N. (2012). Wnt signaling in vertebrate neural development and function. *J Neuroimmune Pharmacol* 7, 774-787.

56. Pinggera, A., and Striessnig, J. (2016). Cav 1.3 (CACNA1D) L-type Ca(2+) channel dysfunction in CNS disorders. *J Physiol* 594, 5839-5849.
57. Zamponi, G.W. (2016). Targeting voltage-gated calcium channels in neurological and psychiatric diseases. *Nat Rev Drug Discov* 15, 19-34.
58. Breitenkamp, A.F., Matthes, J., and Herzig, S. (2015). Voltage-gated Calcium Channels and Autism Spectrum Disorders. *Curr Mol Pharmacol* 8, 123-132.
59. Soldatov, N.M. (2015). CACNB2: An Emerging Pharmacological Target for Hypertension, Heart Failure, Arrhythmia and Mental Disorders. *Curr Mol Pharmacol* 8, 32-42.
60. Wang, X., Lee, R.S., Alver, B.H., Haswell, J.R., Wang, S., Mieczkowski, J., Drier, Y., Gillespie, S.M., Archer, T.C., Wu, J.N., et al. (2017). SMARCB1-mediated SWI/SNF complex function is essential for enhancer regulation. *Nat Genet* 49, 289-295.
61. Raab, J.R., Runge, J.S., Spear, C.C., and Magnuson, T. (2017). Co-regulation of transcription by BRG1 and BRM, two mutually exclusive SWI/SNF ATPase subunits. *Epigenetics Chromatin* 10, 62.
62. Hodges, H.C., Stanton, B.Z., Cermakova, K., Chang, C.Y., Miller, E.L., Kirkland, J.G., Ku, W.L., Veverka, V., Zhao, K., and Crabtree, G.R. (2018). Dominant-negative SMARCA4 mutants alter the accessibility landscape of tissue-unrestricted enhancers. *Nat Struct Mol Biol* 25, 61-72.
63. Nguyen, H., Kerimoglu, C., Pirouz, M., Pham, L., Kiszka, K.A., Sokpor, G., Sakib, M.S., Rosenbusch, J., Teichmann, U., Seong, R.H., et al. (2018). Epigenetic Regulation by BAF Complexes Limits Neural Stem Cell Proliferation by Suppressing Wnt Signaling in Late Embryonic Development. *Stem Cell Reports* 10, 1734-1750.
64. Sokpor, G., Xie, Y., Rosenbusch, J., and Tuoc, T. (2017). Chromatin Remodeling BAF (SWI/SNF) Complexes in Neural Development and Disorders. *Front Mol Neurosci* 10, 243.
65. Son, E.Y., and Crabtree, G.R. (2014). The role of BAF (mSWI/SNF) complexes in mammalian neural development. *Am J Med Genet C Semin Med Genet* 166C, 333-349.
66. Kosho, T., Miyake, N., and Carey, J.C. (2014). Coffin-Siris syndrome and related disorders involving components of the BAF (mSWI/SNF) complex: historical review and recent advances using next generation sequencing. *Am J Med Genet C Semin Med Genet* 166C, 241-251.
67. Gazdag, G., Blyth, M., Scurr, I., Turnpenny, P.D., Mehta, S.G., Armstrong, R., McEntagart, M., Newbury-Ecob, R., Tobias, E.S., Study, D.D.D., et al. (2018). Extending the clinical and genetic spectrum of ARID2 related intellectual disability. A case series of 7 patients. *Eur J Med Genet*.

68. Zarate, Y.A., Bhoj, E., Kaylor, J., Li, D., Tsurusaki, Y., Miyake, N., Matsumoto, N., Phadke, S., Escobar, L., Irani, A., et al. (2016). SMARCE1, a rare cause of Coffin-Siris Syndrome: Clinical description of three additional cases. *Am J Med Genet A* 170, 1967-1973.
69. Khan, U., Study, D., Baker, E., and Clayton-Smith, J. (2018). Observation of Cleft Palate in an Individual with SOX11 Mutation: Indication of a Role for SOX11 in Human Palatogenesis. *Cleft Palate Craniofac J* 55, 456-461.
70. Wang, W., Xue, Y., Zhou, S., Kuo, A., Cairns, B.R., and Crabtree, G.R. (1996). Diversity and specialization of mammalian SWI/SNF complexes. *Genes Dev* 10, 2117-2130.
71. Kazantseva, A., Sepp, M., Kazantseva, J., Sadam, H., Pruunsild, P., Timmus, T., Neuman, T., and Palm, K. (2009). N-terminally truncated BAF57 isoforms contribute to the diversity of SWI/SNF complexes in neurons. *J Neurochem* 109, 807-818.

Individual #	# 1	# 2	# 3	# 4*	# 5	# 6	# 7
gender	M	M	M	F	M	F	M
age (Y)	5 Y	3 Y	2 Y	17 Y	4 Y	18 Y	11 Y
nucleotide change	c.400 A>G	c.723G>A	c.999dupA	c.1311-3C>G	c.1826T>C	c.1829T>C	c.1829T>C
amino acid change	p.Asn134Asp	p.Trp241*	p.Glu334Argfs*49	splicing variant	p.Leu609Pro	p.Leu610Pro	p.Leu610Pro
de-novo variant?	yes	no (affected father)	n/a	yes	yes	yes	yes
affected domain	SMARCC_N	SMARCC_N	SMARCC_N	SWIRM	SANT	SANT	SANT
Clinical information							
developmental delay and/or intellectual disability	mild DD	-	mild DD	severe DD	severe DD	severe DD	severe DD
speech impairment	-	-	-	absence of language	absence of language	absence of language	absence of language
behavioral abnormalities	-	+	+	+	+	-	+
hypotonia	+	spasticity	+	+	+ and spasticity	+	+
seizures	-	-	-	+	+	-	+
movement disorder	-	+	-	-	-	+	-
CNS abnormalities on MRI	n/a	two discrete hyperintens white matter lesions	n/a	normal MRI	thinning of corpus callosum and splenium, periventricular white matter loss	generalized cerebral atrophy, hypointensity globus pallidus	generalized cerebral atrophy, hypomyelination
Growth							
FTT	-	-	-	-	+	+	+
sucking/feeding difficulty	-	-	-	-	+	+	+
Craniofacial features							
thin/sparse scalp hair	-	-	-	-	+	+	-

hypertrichosis	-	-	-	-	+	+	-	-
thick eyebrows	-	-	-	-	+	-	+	+
long eyelashes	-	-	-	-	-	-	-	-
ptosis	-	-	-	-	-	-	+	+
thin upper lip vermillion	-	-	-	-	-	+	+	-
thick lower lip vermillion	-	-	-	-	+	-	-	+
palate abnormalities	-	-	-	-	-	-	-	-
nose upturned/anteverted nostrils	-	-	-	-	-	+	+	+
Skeletal-limb features								
5th finger or toe / nails abnormalities	-	-	-	-	-	+	-	-
scoliosis	-	-	-	-	kyphosis	+	+	+
Other								
cardiovascular	n/a	-	-	-	-	n/a	left coronary distension	non-progressive mild aortic dilatation (Z score=2.54).
inguinal hernia	-	-	-	-	-	+	-	+
undescended testis	n/a	-	-	-	n/ap	+	n/ap	+
skin problems	-	hypo pigmented hair, cafe au lait macules		-	-	eczema	eczema, scleroderma	-

# 8	# 9	# 10 **	# 11	# 12	# 13	# 14	# 15	Total
M 11 Y c.1833+1G>T splicing variant***	M 2.5 Y c.1833+2T>C splicing variant	M 10.5 Y c.1833+2T>C splicing variant	M 19 Y c.1838T>C p.Leu613Pro	F 7 Y c.1903A>G p.Cys635Arg	M 8 Y c.2686A>G p.Met896Val	M 5 Y c.2699A>G p.Glu900Gly	M 27 Mo c.3456_3458delCAT p.Met1153del	
n/a	yes	yes	yes	yes	yes	yes	yes	
SANT	SANT	SANT	SANT	SANT	SMARCC_C	SMARCC_C	carboxy terminal	
severe DD (DQ=20)	moderate ID	moderate DD, moderate-severe ID	moderate-severe DD	moderate DD, moderate ID	moderate-severe DD	mild ID	mild DD	14/15
absence of language	absence of language	minimal speech	absence of language	speech delay	speech delay	speech delay	speech abnormalities	12/15
+	-	-	-	+	+	+	+	10/15
+	+	+	-	+	+	+	+	13/15
-	-	-	+	-	-	-	-	4/15
-	-	-	-	-	-	-	-	2/15
normal MRI	normal MRI	normal MRI	abnormal corpus callosum	slightly small corpus callosum, prominent perivascular spaces	normal MRI	normal MRI	n/a	6/12
-	+	+	-	-	-	+	-	6/15
-	+	+	+	-	-	+	+	8/15
11/15								
-	+	-	+	-	-	-	-	4/15

-	+	-	-	+	+	+	-	6/15
-	+	-	+	-	-	+	-	6/15
-	+	+	+	-	+	+	-	5/15
-	-	+	+	-	-	+	-	5/15
+	+	-	-	+	+	-	-	6/15
-	+	-	+	-	+	-	-	5/15
-	-	+	+	-	-	+	-	3/15
-	-	+	+	+	-	-	-	6/15
-	-	+	+	-	-	+	-	4/15
-	-	-	-	+	-	-	-	5/15
-	-	-	-	-	n/a	-	n/a	2/11
+	-	-	-	-	-	-	-	3/15
-	n/a	-	-	n/ap	-	-	n/a	2/12
-	hypomelanotic macula	vitiligo (present in unaffected father)	hyper pigmented irregular skin on back	eczema	-	-	-	7/15

Table 1: Summary of *SMARCC2* variants and clinical presentation of 15 individuals. * see Martinez et. al; ** see Zhu et.al; *** see figure 3; '-' - not reported in this individual; '+' - reported in this individual; FTT – failure to thrive; DD – developmental delay; ID – Intellectual disability; DQ - Developmental Quotient; CNS – central nervous system; MRI – magnetic resonance imaging; M - male; F - female; Y - years; Mo - months; n/a - not available information; n/ap - not applicable.

	<i>ARID1A</i>	<i>ARID1B</i>	<i>ARID2</i>	<i>SMARCA2</i>	<i>SMARCA4</i>	<i>SMARCB1</i>
Associated Condition (MIM#)	CSS 2 (614607)	CSS 1 (135900)	CSS 6 (617808)	NCBRS (601358)	CSS 4 (614609)	CSS 3 (614608)
OMIM Gene (*)	603024	614556	609539	600014	603254	601607
References (PMID)	Koshko et al, 2014; Kosho, Miyake, and Carey 2014; Santen et al, 2013	Santen et al, 2013	Gazdag et al, 2018	Santen et al, 2013	Koshko et al, 2014; Kosho, Miyake, and Carey 2014; Santen et al, 2013	Koshko et al, 2014; Kosho, Miyake, and Carey 2014
Types of pathogenic mutations described in literature	missense in-frame deletion splicing mutation frameshift and stop gained / nonsense partial/full gene deletions			4/4	10/12	4/13
				2/29	2/12	9/13 (all p.Lys364del)
	8/8	25/29	11/14			
		2/29	3/14			
Short stature (<= -2 SD)	3/8	3/27	10/14	1/4	9/12	11/11
Weight <=-2 SD	3/6	11/28		2/4	4/12	8/9
OFC < -2SD	2/8	0/27	0/14	1/4	10/11	9/10

DD and/or ID	7/7	28/28	14/14	4/4	11/11	11/11
Speech delay (first word after 12 months)	6/6	28/28	11/11	4/4	11/11	10/10
Severe speech delay (1st word =>5)/No language	5/6	17/28	5/11	2/4	6/11	9/10
Seizures	2/7	5/20	3/4	0/4	2/12	8/10
Hypotonia	7/8	23/27	2/14	2/4	8/11	8/11
Brain MRI abnormalities	7/8	9/25	6/6	0/3	6/7	9/9
Behavioral phenotypes	3/5	n/r	10/14	n/r	7/8	4/8
phenotype described	AX, OCB, HA	n/r	ADHD, AG, AX, HA, HS (to loud noises), RG, SLD, STM	n/r	HA, HS, IM, OCB, SAS, SI	HA, IM, SI, TAN
Dysmorphic features	reported as coarse	n/r	n/r	9/14	n/r	n/r
	thick eyebrows	6/8	24/27	2/7	4/4	9/12
	thick lower vermillion	6/7	22/24	1/7	2/3	10/12
	hypertrichosis	7/7	26/28	0/7	4/4	12/12
	sparse scalp hair	3/5	18/28	0/7	4/4	5/12
Cleft palate		2/6	n/r	1/14	n/r	5/12
Laryngotracheal anomalies		1/4	2/28	2/14	n/r	2/4
Hearing loss		2/6	5/22	n/r	0/3	4/12
						8/11

Hand, foot & digital anomalies	hypoplasia or absence of 5th distal phalanx	6/7	5/22	2/10	0/3	10/12	8/11
	Hypoplastic nails	6/8	19/28	8/12	0/2	10/12	11/11
	Brachydactyly	0/8	11/24	1/10	1/3	n/r	n/r
	Clinodactyly	n/r	n/r	0/7	n/r	n/r	n/r
	Syndactyly	n/r	n/r	0/7	n/r	n/r	n/r
Other skeletal anomalies (including scoliosis)		2/7	n/r	4/14	n/r	1/10	7/9
Cryptorchidism		2/5	n/r	n/r	n/r	3/9	2/5
Heart defect		3/8	n/r	1/14		5/12	5/11
	dextrocardia	0/8	0/27	n/r	0/4	0/12	2/11

<i>SMARCE1</i>	<i>SOX11</i>	<i>ACTL6A</i>	<i>DPF2</i>	<i>SMARCC2</i>
CSS 5 (616938)	Mental retardation, AD 27 (615866)	ID syndrome	CSS 7 (618027)	CSS -like
603111	600898	604958	601671	601734
Koshko et al, 2014; Kosho, Miyake, and Carey 2014; Zarate et al, 2016	Khan et al, 2018	Marom et al, 2017	Vasiliou et al, 2018	current report
6/6	4/13	2/3	5/8	8/15
			1/15	
		1/3	1/8	4/15
	2/13		2/8	2/15
	7/13			
3/5	4/11	0/3	4/8	6/13
4/6	n/r	0/3	4/7	5/13
4/6	3/13	n/r	0/7	6/13
6/6	10/13	3/3	8/8	14/15

2/6	11/13	3/3	8/8	12/15
n/r	n/r	0/3	n/r	8/15
2/6	4/14	0/3	n/r	4/15
2/6	3/13	0/3	4/7	13/15
3/4	2/3	n/r	3/3	6/12
1/1	6/13	2/3	3/8	10/15
HA	ASD, ADHD,AG, HA, SI, SLD	ADD/ADHD, AG, IM,TAN, SLD	STM, TAN, OCB, HA, SLD, RG, DSI/ASD	ADHD, AG, ASD, AX, DSI, HA, HP, HS, OCB, RG, SI , SLD, TAN
6/6	n/r	1/3	2/8	n/r
5/6	1/13	1/3	n/r	6/15
6/6	7/13	n/r	n/r	5/15
n/r	2/13	n/r	n/r	6/15
5/6	4/13	n/r	6/7	4/15
2/6	1/13	0/3	n/r	0/15
1/6	n/r	1/3	n/r	2/15
2/6	2/14	n/r	4/8	2/15
2/6	n/r	0/3	0/8	0/15
6/6	7/14	1/3	8/8	3/15
0/6	0/14	1/3	5/8	0/15
0/6	12/14	2/3	3/8	1/15

0/6	4/14	1/3	n/r	0/15
3/6	4/14	1/3	3/8 (craniosynostosis)	7/15
<hr/>				
1/4	3/4	0/3	n/r	2/12
4/5		1/3	4/8	2/11
1/5	n/r	0/3	n/r	0/11

Table 2: Summary of molecular variants and clinical presentation in genes associated with Coffin-Siris and Coffin-Siris-like syndromes.

AD - Autosomal Dominant; ADHD - attention deficit hyperactivity disorder; AG - aggressiveness; ASD - Autism Spectrum Disorder; AX - anxiety; CCS - Coffin-Siris syndrome; DD - developmental delay; DSI-difficulties with social interactions (not qualify for ASD diagnosis); HA - hyperactivity; HP - Hyperphagia; HS - hypersensitive; ID - Intellectual disability; IM - impulsive; MRI - magnetic resonance imaging; NCBRS - Nicolaides-Baraitser syndrome; n/r - not reported; OCB - obsessive-compulsive behavior; OFC - occipital frontal circumference; RG - rigidity/‘routine driven’; SAS - short attention span; SD - standard deviation; SI - self-injury; SLD - sleep disturbance; STM - stereotypic movements; TAN - Tantrums; For comparison of clinical presentation of other BAF related genes (including *PHF6*, *ADNP*, and *TBC1D24*) see Koshko et al, 2014⁶⁶.

3.3 Des mutations dans CHD3 sont associées à un syndrome neurodéveloppemental et induisent des changements d'expression génique

Nous avons identifié 35 individus avec 27 mutations différentes dans le gène *CHD3* qui présentaient un syndrome neurodéveloppemental. Nous avons introduit par mutagénèse dirigée six des mutations les plus récurrentes dans un plasmide d'expression avec une étiquette eGFP. Nos collaborateurs dans le laboratoire Wade au NIEHS ont exprimé puis purifié ces constructions, et démontré par un essai d'activité ATPase et un essai de déplacement de nucléosomes que sur ces six mutations, quatre ont une activité de remodelage de nucléosomes déficiente, et une a une activité augmentée²⁰⁰. De ces mutations à activité différente de la protéine sauvage, trois ont une activité ATPase amoindrie tandis que la mutation donnant une activité de remodelage de nucléosomes augmentée est aussi associée à une activité ATPase plus importante. Ainsi, ils ont démontré que ces mutations induisent des défauts dans l'activité de *CHD3*.

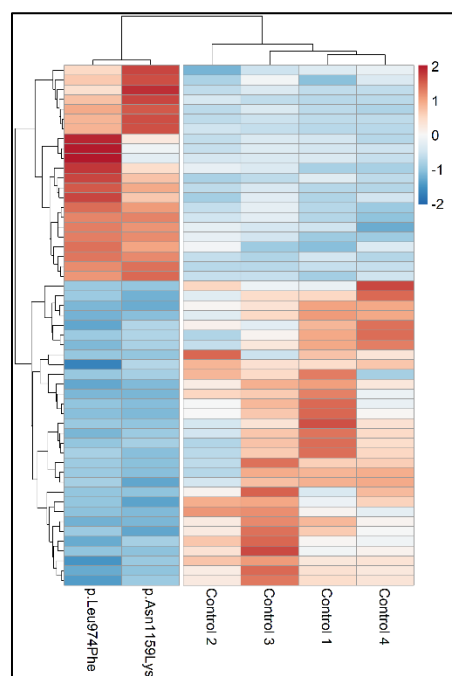


Figure 16: Les fibroblastes porteurs de mutations dans *CHD3* présentent un profil d'expression génique différent. Des fibroblastes provenant de deux individus porteurs respectivement des mutations NM_001005273.2 : p.L915F et p.N1159K ont été établis, et leur ARN total a été séquencé par RNAseq sur une librairie enrichie en queues polyA,

avec un échantillon par lignée. L'analyse bioinformatique est détaillée dans la section des méthodes. Les 59 gènes différentiellement exprimés par les deux fibroblastes porteurs de mutations dans *CHD3* par rapport à quatre contrôles ($\text{padj}<0.01$, $\text{Log2FC}>2$) sont visualisés par une heatmap où l'expression des gènes plus élevée est représentée par la couleur rouge, tandis que l'expression moins élevée est représentée par la couleur bleue.

Nous avons pu obtenir des fibroblastes provenant de deux individus porteurs de ces mutations, soit la mutation p.L915F, causant une activité augmentée, et p.N1159K, ayant une activité presque inexistante. Nous nous sommes donc demandé si des défauts dans le remodelage de la chromatine causeraient des différences d'expression génique et de la structure de la chromatine. L'activité augmentée ou réduite du déplacement des nucléosomes le long de l'ADN pourrait causer des changements de l'expression génique similaires, où les loci ciblés auraient une structure anormale. Nous avons donc analysé l'expression des deux lignées en les considérant comme replicatas de la même condition, ce qui correspond à 59 gènes différentiellement régulés dans les deux individus ($\text{log2FC}>2$, $\text{padj}<0.01$, Figure 16). En faisant une revue de la littérature de ces gènes, on observe que presque la moitié sont associés au développement neural ou à la fonction neuronale (Tableau VI).

Tableau VI - Gènes différentiellement régulés dans des fibroblastes d'individus porteurs de mutations dans *CHD3* impliqués dans le développement neural. Les 59 gènes différentiellement exprimés dans les fibroblastes provenant d'individus porteurs d'une mutation dans *CHD3* ont été associés à une fonction par revue manuelle de la littérature. 27 gènes ont été sélectionnés pour leur fonction dans le développement neural, la fonction neuronale, ou le cytosquelette/adhérence cellulaire.

Gène	log2FoldChange	padj	Fonction
AJAP1	5.749532	1.72E-14	Cytosquelette/Adhérence Cellulaire
RIMS1	-5.53026	9.02E-09	Fonction Neuronale
IGSF10	3.901759	7.05E-08	Développement Neural
PPP2R2B	-5.7364	2.95E-06	Développement Neural
SCRG1	4.471867	3.72E-06	Développement Neural
SPON1	3.305276	2.49E-05	Fonction Neuronale
PDE11A	-4.98013	4.59E-05	Fonction Neuronale
EDIL3	-4.21355	5.32E-05	Développement Neural
ABLIM1	-2.74679	0.000115	Fonction Neuronale
OPCML	-3.51261	0.000171	Développement Neural
SYT1	-2.88565	0.000185	Fonction Neuronale
TRH	4.662962	0.000228	Fonction Neuronale
PPL	3.047235	0.000448	Fonction Neuronale

SLC6A17	-3.22161	0.000566	Fonction Neuronale
GRIA4	4.744157	0.000789	Développement Neural
PPP1R14C	-4.35755	0.001234	Fonction Neuronale
ST8SIA5	-3.27798	0.001256	Fonction Neuronale
TMEM150C	-3.36194	0.001435	Développement Neural
ALS2CL	-2.37697	0.001735	Fonction Neuronale
PRUNE2	-2.68799	0.002449	Développement Neural
MCF2L	-3.7851	0.002604	Fonction Neuronale
CELSR1	-3.49912	0.002805	Développement Neural
SAMD12	-2.09953	0.003035	Fonction Neuronale
PARD6G	-2.29205	0.003532	Cytosquelette/Adhérence Cellulaire
NTNG1	-2.66482	0.005345	Développement Neural
PPP1R9A	-3.91374	0.005345	Développement Neural
SLC1A1	-3.2517	0.009457	Fonction Neuronale

3.4 Analyse de l'ouverture de la chromatine dans des fibroblastes d'individus *TRRAP*, *SMARCC2*, et *CHD3*

Ayant démontré que les mutations dans les gènes *TRRAP*, *SMARCC2*, et *CHD3* causaient des changements d'expression dans les cellules d'individus affectés comparés à des contrôles sains, on a voulu étudier leur impact au niveau de la structure de la chromatine. Pour ce faire, nous sommes partis de l'hypothèse que des défauts dans le remodelage de la chromatine ou dans l'acétylation d'histones pourraient engendrer des différences dans les régions d'ouverture de la chromatine. Ces différences pourraient exister dans deux conditions : premièrement, le défaut de remodelage de nucléosomes pourrait induire des changements dans la localisation des régions d'ouverture de la chromatine où les pics correspondant à des régions libres de nucléosomes seraient décalés dans les cellules d'individus affectés. Aussi, ces défauts pourraient induire des changements dans la structure de la chromatine, où les pics correspondant à la chromatine ouverte seraient de taille et d'intensité différente. Alors, nous avons décidé d'utiliser la méthode du séquençage ATAC (assay for transposase accessible chromatin) qui nous permettrait d'identifier les régions ouvertes de la chromatine et de les comparer à des cellules provenant d'individus sains.

Nous avons décidé de comparer les mêmes cellules séquencées par RNAseq afin d'établir une corrélation entre DEGs et ouverture de la chromatine. Ainsi, nous avons procédé à l'analyse par ATACseq des fibroblastes provenant d'individus porteurs de mutations dans *CHD3*, *TRRAP*, ou *SMARCC2*. Comme la transposase favorise l'ADN ouvert et que le chromosome mitochondrial n'est pas condensé, nous avons enlevé les séquences correspondant à l'ADN mitochondrial, qui correspondaient à 40-60% des fragments séquencés. Après les étapes de nettoyage des fichiers, il restait environ 5 à 15 millions de fragments, correspondant à 90 000-120 000 pics larges.

L'analyse subséquente a été réalisée avec le logiciel Homer, qui a permis de confirmer qu'il y avait un enrichissement de pics dans les régions correspondant aux ARN (exon, intron), promoteurs, et 5'UTR, ce qui correspond aux attentes où les régions ouvertes de la chromatine sont celles où la machinerie de transcription a accès. Cependant, afin de faire une analyse statistique, il est nécessaire de considérer les trois contrôles et les individus porteurs de mutations dans le même gène comme des répliques des mêmes conditions, ce que le logiciel détectait comme étant problématique, où l'auto-corrélation entre les échantillons était faible et qu'il y avait un enrichissement amoindri. Alors, l'analyse statistique n'a pu détecter qu'entre 0 et 300 pics différents entre contrôles et individus affectés, où la quasi-totalité des pics différents se trouve dans des introns ou dans des régions intergéniques. De plus, en considérant une annotation des pics au gène le plus proche, correspondant probablement à des régions de promoteur ou de enhancer (région connue comme ayant un impact positif sur la transcription d'un gène ou d'un groupe de gènes), très peu des pics se rapprochent de gènes différemment exprimés.

Nous avons procédé à l'analyse pour l'ATACseq pour seulement une des deux lignées de fibroblastes d'individus TRRAP (p.W1866C, Annexe II). Il est intéressant que l'on trouve onze gènes qui sont différemment exprimés dans les deux fibroblastes TRRAP, et qu'il existe des pics significativement plus grands au niveau de leur promoteur dans la lignée séquencée par ATACseq (Tableau VII). De ces gènes, presque la moitié est impliquée dans le neurodéveloppement ou le fonctionnement neuronal, notamment *SP9*, *DRD1*, *TRIM36*, *DYNC1II*, et *FGF12*.

Tableau VII - Gènes significatifs en RNAseq et ATACseq pour des fibroblastes TRRAP. Les 285 gènes significatifs en RNAseq ($\text{Log2FC}>2$ et $\text{padj}<0.01$) ont été comparés 359 aux pics significatifs en ATACseq ($\text{padj}<0.05$) annotés au gène ayant le TSS le plus proche.

Gène	log2FoldChange RNAseq	padj RNAseq	Log2FoldChange ATACseq	padj ATACseq
SP9	4.93073586	5.93E-11	2.74037472	0.03587464
PAX9	2.39854929	8.22E-09	3.42667259	0.02100832
PARP8	5.17592124	1.34E-08	2.16295983	0.03557351
EMB	8.38520896	1.90E-06	3.40159632	0.04352787
DRD1	3.42449606	0.00035459	2.7035415	0.02016334
APBB1IP	2.60235882	0.00047851	2.97705712	0.04688938
GATA6	2.5823747	0.00079646	4.0152643	0.04940477
FGF12	3.18762447	0.00359546	3.7181421	0.04196407
KIAA1671	2.54056845	0.00403068	6.91262031	0.02728563
TRIM36	2.57511414	0.0056605	2.86346218	0.04940477
DYNC1I1	2.60108211	0.00585867	5.32955024	0.0463569

Alors, il est possible que les défauts dans l'expression génique des individus TRRAP soient causés par une ouverture anormale de la chromatine au niveau du promoteur de ces gènes mal régulés. Pour les autres individus (SMARCC2 et CHD3), nous n'avons pas trouvé de corrélation entre RNAseq et ATACseq.

4. Discussion

Sachant que le développement neural est un concours de mécanismes extrêmement précis dépendant de changements d'expression génique subtils, de nombreuses mutations dans des régulateurs de la chromatine ont été associées à des syndromes neurodéveloppementaux. Nous avons caractérisé trois syndromes associés aux régulateurs de la chromatine *TRRAP*, *SMARCC2*, et *CHD3*. Pour chacun, nous avons démontré que dans des cellules provenant de ces individus (fibroblastes ou LCLs), un profil de gènes dérégulés émergeait et que ceux-ci sont en grande partie impliqués dans le développement neural ou le fonctionnement neuronal. Bien qu'elles soient des protéines exprimées ubiquitairement, il est probable que leur impact est majoritairement sur le développement neural dû à sa nécessité d'un système fin et précis où chaque cellule est nécessaire pour le fonctionnement normal du cerveau. Dans d'autres systèmes, il y a peut-être une plus grande tolérance à ces défauts d'expression, et leur fonctionnement ne nécessiterait pas la totalité des cellules fonctionnelles pour être opérationnel. Enfin, les gènes affectés qui causent un phénotype cellulaire pourraient nécessiter la combinaison avec des facteurs de transcription qui ne sont exprimés que lors du développement neural.

4.1 Limitations techniques et améliorations

Un important défaut de nos études est la taille de l'échantillon particulièrement petit. En effet, il est particulièrement difficile d'obtenir le consentement des parents des individus affectés afin de procéder à une biopsie de la peau, relativement invasive, ou même à obtenir du sang. De ce fait, bien qu'on ait caractérisé entre 15 et 35 individus pour chaque syndrome, seuls deux à trois ont accepté de donner des tissus. Alors, les résultats que nous obtenons sont extrêmement biaisés. En ayant séquencé le même individu à deux moments différents, on a donc changé plusieurs paramètres, soit le passage des cellules (différence de 3 passages), les contrôles auxquels il était comparé (deux contrôles versus quatre contrôles différents), le kit de préparation de librairie (Illumina TruseqV2 vs NEBNext Ultra II directional), et la méthode de séquençage (Illumina HiSeq4000 vs NovaSeq S2). Les deux derniers paramètres devraient affecter seulement un minimum le séquençage, et ne devraient compter que pour une infime partie des différences. Cependant, en comparant des passages différents, et à des contrôles

différents, on change complètement le cadre de l'analyse statistique, et les résultats sont extrêmement différents. En comparant seulement le fibroblaste répété (TRRAP p.L805F) avec les contrôles des expériences respectives, on obtient 343 et 270 DEGs, dont seulement 90 sont communs.

Ces changements sont vérifiables en augmentant le nombre de contrôles pour obtenir une vision plus proche de la moyenne de l'expression génique dans des cellules contrôles, et en étudiant les cellules à passages différents. En effet, c'est un exercice qui a été fait par qPCR sur plusieurs gènes (Figure 10 et résultats non-montrés), et qui démontre qu'il y a un biais quant aux contrôles utilisés, où les résultats ne sont pas tous reproductibles avec plus de contrôles, et où l'écart-type de la valeur d'un gène dans la même lignée est relativement élevé. On a pu observer que pour la première expérience de séquençage où seulement deux contrôles différents étaient utilisés, plus de 50% des gènes qui faisaient partie des gènes les plus significativement dérégulés n'étaient plus significativement dérégulés en rajoutant des contrôles et des réplicatas (six gènes testés dans deux individus). Dans notre deuxième expérience de séquençage, passer de deux contrôles à quatre a permis de réduire cette proportion à 20% (cinq gènes testés sur deux individus SMARCC2).

Les données d'ATACseq n'ont été que peu conclusive, particulièrement à cause de la variabilité inter-individuels. Il est important de noter que les fibroblastes provenant de biopsies différentes ont des caractéristiques particulières, et expriment des marqueurs uniques²⁵². Ceci suggèrerait un profil d'expression singulier à chaque sous-type de fibroblaste et donc une ouverture de la chromatine différente. Or, les fibroblastes utilisés proviennent généralement de deux tissus relativement différents (fibroblastes de la peau et fibroblastes du prépuce). En refaisant l'expérience avec plus de réplicats par individu, et des contrôles provenant du même tissu que les individus étudiés, on pourrait peut-être procéder à des comparaisons plus représentatives du tissu source, et se rapprochant des vraies valeurs. Alors, on pourrait faire des analyses plus poussées en s'intéressant à des régions spécifiques du génome. Par exemple, on pourrait comparer les pics d'ouverture de la chromatine à des données de méthylation H3K4me1/me3 qui caractérisent les séquences des promoteurs (haut taux de H3K4me3 / bas taux de H3K4me1) et des enhancers (haut taux de H3K4me1 / bas taux de H3K4me3)²⁵³.

Aussi, il est compliqué de déterminer un profil d’expression qui serait affecté par toutes les mutations de la même façon. Sachant que les protéines qu’on étudie sont présentes dans plusieurs complexes de remodelage de la chromatine, et qu’ils interagissent avec une multitude de protéines, il est possible que chaque mutation ait un impact différent. Alors, le seul moyen de les étudier serait dans un contexte isogénique, soit de procéder à une ablation génétique du gène, puis de réintroduire ses versions sauvages et mutantes. Cependant, il faut aussi faire attention à ce que l’expression du gène soit à un niveau similaire à celui de la protéine endogène, particulièrement dans le cas de SMARCC2 qui agit en compétition avec SMARCC1, et où la quantité relative de chacune des protéines est variable au cours du développement, démontrant une nécessité de garder des niveaux d’expression distincts. Des expériences ont déjà été réalisées *in vitro* pour démontrer les différences d’activité hélicase de CHD3, où différentes mutations résultent en des taux d’activité spécifiques, et même une activité plus grande ou amoindrie selon la localisation de la mutation.

Enfin, la comparaison entre la même mutation dans deux lignées cellulaires démontre des effets dépendants du type cellulaire. Effectivement, des LCLs et des fibroblastes provenant du même individu ne montrent pas de DEGs en commun. De plus, on n’a pu démontrer un profil spécifique au complexe BAF en comparant tous les sets de données sur le GEO omnibus ayant rapport avec l’une de ses sous-unités¹⁹⁰. Alors, il est difficile de confirmer les résultats qu’on a obtenu. Ainsi, pour avoir des résultats significatifs par rapport aux syndromes étudiés, on a décidé de dé-différencier les cellules provenant d’individus en cellules pluripotentes induites (iPSCs) et de les différencier en CSNs afin d’étudier un modèle plus approprié.

4.2 Contexte et signification

L’étude de lignées primaires ou transformées de patients porteurs de mutations dans des régulateurs de la chromatine associées à des maladies neurodéveloppementales n’a jamais été faite auparavant. Ainsi, il est difficile d’évaluer nos résultats. Il a été démontré récemment que des profils de méthylation spécifiques étaient retrouvés dans l’ADN provenant du sang d’individus affectés de TDISS, et que les régions différemment méthylées de ceux-ci étaient associées notamment au développement embryonnaire, à la régulation des processus

développementaux, et à la maturation synaptique²⁵⁴. Comme pour nos études, bien qu’étant dans des cellules non-spécifiques au cerveau et établies après le développement embryonnaire, ces gènes et leurs régions régulatrices sont particulièrement enrichis dans les profils des individus affectés comparés aux contrôles sains. Grâce à un modèle spécifique de méthylation, les auteurs ont pu caractériser la pathogénicité d’un variant précédemment identifié comme « non-concluant » (Variant of Unknown Significance), en montrant que le profil de l’individu concerné était différentiellement méthylé comme ceux des autres individus affectés. En séquençant l’ARN de plus de patients affectés, nous espérons pouvoir établir un modèle similaire et aider au diagnostic d’individus présentant des variants dont le potentiel pathogénique est flou.

En général, nous nous sommes intéressés aux gènes impliqués dans la neurogenèse ou la fonction neuronale. Bien que les phénotypes observés chez les porteurs de variants dans les trois gènes étudiés sont à la fois très hétérogènes dans une même cohorte, mais ont plusieurs éléments en commun (DI, DD, TSA), il n’y a pas ou peu de gènes communs qui sont retrouvés significativement différentiellement régulés. Il semble qu’il s’agirait plutôt de groupes de gènes impliqués dans des voies de signalisation communes qui seraient affectés, notamment des gènes importants pour la formation du cytosquelette et l’adhésion cellulaire. Certains gènes des voies développementales sont dérégulés, tels les BMPs *GDF6* et *GDF10* dans les fibroblastes *SMARCC2*, ou les facteurs de la voie Hedgehog *NSG1* et *HHIP* dans les fibroblastes *TRRAP* (Annexe I). En revanche, aucune voie ne ressort significativement dérégulée dans un syndrome particulier. Alors, il est probable qu’une déviation du modèle normal du développement cortical avec un changement d’expression incluant une multitude de gènes serait suffisante pour causer un défaut pathogénique.

De façon intéressante, un gène qui est hautement dérégulé dans les cellules d’individus porteurs de mutations dans *TRRAP* et *SMARCC2* est *H19*. Ce long ARN non-codant a une empreinte réciproque au gène *IGF2*, qui est dépendante de la méthylation de leurs loci respectifs ainsi que de l’hypoacétylation de la région codant pour *H19*. *H19* régule la croissance cellulaire à travers des micro-ARNs : le 1^{er} exon de *H19* encode miR-675, et *H19* séquestre la famille de micro-ARNs let-7^{255–257}. Pourtant, *IGF2*, la cible de miR-675 *IGF1R*, et les cibles de *Let-7 DICER* et *HMGA2* ne sont pas significativement différentiellement régulés dans les cellules

d'individus porteurs des mutations dans *SMARCC2*, et *TRRAP*. Il est possible que d'autres cibles de ces miRNAs ou de l'ARN lui-même soient différentiellement régulées et se trouvent dans nos listes de DEGs.

Bien que nous nous soyons concentrés sur un défaut principalement neuronal, nous nous sommes rendu compte qu'une grande partie des DEGs trouvés dans les fibroblastes d'individus *TRRAP* et *SMARCC2* étaient impliqués dans le fonctionnement astrocytaire ou oligodendocytaire (*SCRG1*, *PCDH7*, *SBTBN2*, ... voir Annexe). Il serait donc intéressant d'étudier non-seulement un modèle *in vitro* neuronal mais aussi des co-cultures avec des cellules gliales et dans un contexte *in vivo*, les gènes et les types cellulaires impliqués dans les pathogenèses. En effet, certaines maladies neurodéveloppementales impliquent des types cellulaires différents, comme la maladie de Pelizaeus-Merzbacher (OMIM : 312080) où l'hypomyélination par les oligodendrocytes cause un phénotype caractérisé par un retard du développement, l'hypotonie, et un nystagmus (mouvements répétitifs involontaires des yeux)²⁵⁸. De même, les variants de *FMRI* associés au syndrome de l'X fragile (OMIM : 300624) causent une dérégulation du transport du glutamate entre neurones et astrocytes par une dérégulation de l'expression astrocytaire du récepteur au glutamate *mGluR5* et du transporteur *EAAT-1*²⁵⁹⁻²⁶¹.

L'ARN des fibroblastes d'individus porteurs de variants dans *TRRAP* a été préparé selon une librairie différente des autres lignées étudiées. Cette librairie a permis non seulement le séquençage de l'ARNm, mais aussi d'autres ARNs porteurs d'une queue poly-A. Ainsi, dans les gènes différentiellement régulés se trouvent 227 gènes codants pour des protéines, mais aussi des longs ARNs non-codants (LncRNA, 6 gènes), des longs ARNs intergéniques non-codants (LincRNA, 12 gènes), des pseudogènes (20 gènes), et enfin des ARNs anti-sens (15 gènes). Nous nous sommes seulement intéressés aux gènes codants par manque de temps et d'annotations sur les gènes non-codants mais il est possible que leur dérégulation fasse partie du mécanisme pathogénique de la maladie. En effet, plusieurs LncRNAs ont été impliqués dans la progression de maladies neurodégénératives et dans le développement cortical^{262,263}.

4.3 Pistes Thérapeutiques

En identifiant les cibles des sous-unités de complexes épigénétiques, nous espérons trouver des gènes sous-jacents aux phénotypes observés chez les individus affectés. Des variants de *MECP2* (Methyl CpG Binding Protein 2) sont la majeure cause du syndrome de Rett (OMIM : 312750)²⁶⁴. Dans ce cas là, la régulation transcriptionnelle par *MECP2* et ses partenaires d’interaction est entravée et l’expression de la sous-unité du récepteur du glutamate *GRID1* est sous-exprimée²⁶⁵. Cette expression trop basse induit une malformation des synapses activatrices glutamatergique et une baisse des courants synaptiques de neurones *in vitro*. Le traitement avec l’acide valproïque, un activateur de la déméthylation de l’ADN et un inhibiteur global de la déacétylation, permet de rétablir la fonction et la morphologie de neurones *in vitro*, ainsi que de réduire les symptômes de TSA dans un modèle murin et de rétablir un taux d’expression génique normal pour une grande partie des gènes affectés dans le cerveau²⁶⁴.

De même, des essais cliniques sont en cours pour le traitement du syndrome de Rubinstein-Taybi, qui est causé par des variants dans l’histone acétyltransferase *CREBBP*, avec des inhibiteurs d’acétylation (Essai RUBIVAL ClinicalTrials ID : NCT01619644). Aucuns résultats n’ont été publiés pour l’instant, mais il est fort probable qu’un traitement serait efficace. En effet, il a aussi été montré qu’une hypoacétylation globale du cortex préfrontal murin causée par l’inactivation hétérozygote de *SHANK3*, un gène muté dans presque 2% des cas de TSA, est rétablie lors du traitement avec l’inhibiteur d’histone déacétylases Romidepsin²⁶⁶. La récupération de taux normaux d’acétylation est associée avec une diminution des symptômes associés au TSA chez ces souris. Alors, si les variants dans *TRRAP* induisent des défauts d’acétylation par TIP60, il serait intéressant de considérer l’acide valproïque comme piste de traitement.

Ainsi, l’utilisation de petites molécules inhibitrices générales pourrait permettre de rétablir des profils d’acétylation, de méthylation, ou de positionnement de nucléosomes spécifiques chez les individus porteurs de mutations dans *CHD3*, *TRRAP*, et *SMARCC2*, et ce particulièrement dans le cas de mutations gain de fonction type hypermorphes ou néomorphes. De plus, Chory et al. ont récemment montré qu’il était possible de développer des inhibiteurs de fonctions spécifiques de complexes de remodelage de la chromatine²⁶⁷. Ainsi, les auteurs ont pu

développer un inhibiteur spécifique de la répression génique dépendante du complexe BAF, qui n'affecte pas les capacités d'activation de la transcription des complexes BAF canoniques. Alors, le développement de ces molécules pourrait atténuer les symptômes causés par une sous-unité spécifique de chacun des complexes étudiés sans empêcher le reste du complexe de fonctionner correctement. Caractériser le mécanisme particulier par lequel le variant entraîne la maladie (perte ou gain de fonction) permettrait donc un traitement plus spécifique et avec potentiellement moins d'effets secondaires. Les molécules déjà identifiées pour le complexe BAF seraient des pistes thérapeutiques importantes pour tous les TDISS, dont celui causé par des variants dans *SMARCC2*. En identifiant le gène causateur de chaque syndrome, il devient donc possible de tester un traitement particulier au type d'enzyme qui est affecté (HAT, remodelleur de nucléosome). Ceci n'est possible qu'avec un diagnostic génétique car le diagnostic spécifique de chacun des syndromes sur le phénotype seulement n'est pas possible à cause de leur chevauchement.

Un traitement plus précis est aussi possible grâce à de nouvelles technologies de pointe dont la précision permet d'envisager leur utilisation *in vivo*. Des variants dans le gène *FMRI* sont causateurs du syndrome du X fragile, l'une des causes les plus fréquentes de DI. Il a été démontré que l'utilisation de la Cas9 enzymatiquement inactive (dCas9) fusionnée à la déméthylase Tet1 permet de cibler spécifiquement un complexe déméthylase à un gène cible, ici le gène *FMRI*, et de rétablir son expression²⁶⁰. En inhibant l'hyperméthylation des îlots CpG en amont du gène *FMRI*, son expression est réactivée de façon permanente dans les cellules, et est maintenue quand les cellules sont greffées dans des cerveaux murins. Dans le cas d'une perte de fonction hétérozygote, augmenter l'expression de l'allèle sauvage pourrait rétablir un fonctionnement normal de la protéine. Au-delà d'une thérapie génique visant à réparer les variants pathogéniques dans les gènes étudiés, il est donc aussi nécessaire de déterminer quelles sont les cibles précises des complexes associés à *TRRAP*, *CHD3*, et *SMARCC2*, et d'identifier quels sont les gènes responsables du phénotype observé. Avec ces informations, il serait possible de développer des outils utilisant la dCas9 fusionnée à des modificateurs de la chromatine pour rétablir des profils épigénétiques normaux dans le cerveau d'enfants atteints.

4.4 Perspectives et expériences futures

Nos études ont permis de montrer qu'il y avait une différence dans les profils d'expression génique entre les individus porteurs de variants dans les gènes *TRRAP*, *CHD3*, et *SMARCC2*. Dans les trois cas, nous pourrions confirmer nos résultats en utilisant des techniques d'inactivation génique (CRISPR-Cas9, Flox/Cre) ou de « knockdown » (siRNA/shRNA/ASO) pour supprimer chacune des protéines et confirmer la dérégulation des gènes ciblés dans les mêmes modèles cellulaires (Fibroblastes et LCLs) avec des contrôles isogéniques.

La fonction enzymatique de CHD3 étant connue, on a pu tester *in vitro* l'activité de la protéine sauvage ainsi que de certaines des mutations les plus récurrentes à l'aide de tests de l'activité ATPase, et de l'activité de remodelage de nucléosomes¹⁹⁷. Ceci a permis de démontrer que les variants testés dans *CHD3*, bien qu'ils causent un phénotype similaire, peuvent donner lieu à des activités enzymatiques variables, c'est-à-dire un gain ou une perte de fonction. Pourtant, un des variants testés ne montre pas de différence significative dans les deux essais. Alors, sachant que la totalité du complexe est nécessaire pour la fonction de CHD3, il serait intéressant de tester la capacité des protéines mutantes à s'assembler correctement dans le complexe NuRD par fixation du complexe suivi d'une analyse par spectrométrie de masse. Aussi, les variants dans *CHD3* pourraient affecter la localisation du complexe NuRD au niveau de la chromatine. Sachant que le complexe NuRD intègre prioritairement mais concurremment différentes hélicases CHD au cours du développement neural, et que chaque complexe NuRD (*CHD3/4/5*) est recruté à des niveaux distincts aux promoteurs de certains gènes selon le stade de différenciation des SCNs ou PNEs, il est possible que l'impact d'un variant ne soit détectable qu'à un certain stade de différenciation¹²⁵. Il est donc important de tester plusieurs stades de différenciation de neurones à la fois *in vitro* et *in vivo*. Sachant que le complexe NuRD est aussi impliqué dans la déacétylation¹³⁴, il serait intéressant d'évaluer si les variants dans *CHD3* affectent aussi l'activité des HDAC 1/2 par ChIPseq des marques d'acétylation d'histones. En effet, si l'activité HDAC est dépendante de la formation complète du complexe et que celle-ci est contrainte par une protéine CHD3 mutante, alors l'acétylation par le complexe NuRD pourrait être entravée.

Dans le cas des deux autres protéines, il n'y a pas de fonction enzymatique connue que l'on pourrait tester facilement *in vitro*. Dans le cas de SMARCC2, il serait possible d'évaluer sa présence dans le complexe BAF en exprimant les versions sauvage et mutantes puis en évaluant la composition du complexe en le fixant au formaldéhyde et en analysant son contenu par spectrométrie de masse, comme l'a été fait précédemment²²⁷. Avec cette technique, on pourrait caractériser la formation du complexe BAF au complet et déterminer s'il y a certaines sous-unités singulièrement affectées. La même étude pourrait être effectuée pour TRRAP afin d'évaluer ses interactions avec le complexe TIP60, mais aussi avec d'autres facteurs de transcription (cMYC, E2F). En effet, les variants dans *TRRAP* présentant un regroupement significatif dans des regions distinctes ce qui suggère que des fonctions différentes de la protéine sont affectées par chaque groupe de variants. Alors, il est probable que ces groupes affectent le site de liaison de partenaires d'interaction spécifiques ; expliquant les phénotypes différents observés chez ces individus.

Bibliographie

1. Watson JD, Crick FH. Molecular structure of nucleic acids; a structure for deoxyribose nucleic acid. *Nature*. 1953;171(4356):737-738.
2. Pauling L, Corey RB. Structure of the nucleic acids. *Nature*. 1953;171(4347):346.
3. International Human Genome Sequencing Consortium. Initial sequencing and analysis of the human genome. *Nature*. 2001;409(6822):860-921. doi:10.1038/35057062
4. Little PFR. Structure and function of the human genome. *Genome Res*. 2005;15(12):1759-1766. doi:10.1101/gr.4560905
5. Lyko F. The DNA methyltransferase family: A versatile toolkit for epigenetic regulation. *Nat Rev Genet*. 2018;19(2):81-92. doi:10.1038/nrg.2017.80
6. Wu SC, Zhang Y. Active DNA demethylation: Many roads lead to Rome. *Nature Reviews Molecular Cell Biology*. 2010;11(9):607-620. doi:10.1038/nrm2950
7. Legault L-M, Bertrand-Lehouillier V, McGraw S. Pre-implantation alcohol exposure and developmental programming of FASD: An epigenetic perspective. *Biochem Cell Biol*. 2018;96(2):117-130. doi:10.1139/bcb-2017-0141
8. Reik W. Stability and flexibility of epigenetic gene regulation in mammalian development. *Nature*. 2007;447(7143):425-432. doi:10.1038/nature05918
9. Barlow DP. Genomic imprinting: A mammalian epigenetic discovery model. *Annu Rev Genet*. 2011;45:379-403. doi:10.1146/annurev-genet-110410-132459
10. Buck-Kohntop BA, Defossez P-A. On how mammalian transcription factors recognize methylated DNA. *Epigenetics*. 2013;8(2):131-137. doi:10.4161/epi.23632
11. Zou X, Ma W, Solov'yov IA, Chipot C, Schulten K. Recognition of methylated DNA through methyl-CpG binding domain proteins. *Nucleic Acids Res*. 2012;40(6):2747-2758. doi:10.1093/nar/gkr1057
12. Almouzni G, Cedar H. Maintenance of Epigenetic Information. *Cold Spring Harb Perspect Biol*. 2016;8(5):a019372. doi:10.1101/cshperspect.a019372
13. Prakash K, Fournier D. Evidence for the implication of the histone code in building the genome structure. *Biosystems*. 2018;164:49-59. doi:10.1016/j.biosystems.2017.11.005
14. Hirota A, Nakajima-Koyama M, Ashida Y, Nishida E. The nucleosome remodeling and deacetylase complex protein CHD4 regulates neural differentiation of mouse embryonic stem cells by down-regulating p53. *J Biol Chem*. 2019;294(1):195-209. doi:10.1074/jbc.RA118.004086

15. Talbert PB, Henikoff S. Histone variants on the move: Substrates for chromatin dynamics. *Nature Reviews Molecular Cell Biology*. 2017;18(2):115-126. doi:10.1038/nrm.2016.148
16. Lawrence M, Daujat S, Schneider R. Lateral Thinking: How Histone Modifications Regulate Gene Expression. *Trends Genet.* 2016;32(1):42-56. doi:10.1016/j.tig.2015.10.007
17. Yu Q, Zhang X, Bi X. Roles of chromatin remodeling factors in the formation and maintenance of heterochromatin structure. *J Biol Chem.* 2011;286(16):14659-14669. doi:10.1074/jbc.M110.183269
18. Saksouk N, Simboeck E, Déjardin J. Constitutive heterochromatin formation and transcription in mammals. *Epigenetics & Chromatin.* 2015;8(1):3. doi:10.1186/1756-8935-8-3
19. Mermoud JE, Rowbotham SP, Varga-Weisz PD. Keeping chromatin quiet: How nucleosome remodeling restores heterochromatin after replication. *Cell Cycle.* 2011;10(23):4017-4025. doi:10.4161/cc.10.23.18558
20. Kloc A, Martienssen R. RNAi, heterochromatin and the cell cycle. *Trends Genet.* 2008;24(10):511-517. doi:10.1016/j.tig.2008.08.002
21. Nakagawa C, Kawakita A, Fukada T, Sugimoto K. Live-cell imaging of HP1 α throughout the cell cycle of mouse C3H10T1/2 cells and rhythmical flickering of heterochromatin dots in interphase. *Biosci Biotechnol Biochem.* 2014;78(4):556-564. doi:10.1080/09168451.2014.893184
22. Sobecki M, Mrouj K, Camasses A, et al. The cell proliferation antigen Ki-67 organises heterochromatin. *eLife.* 2016;5:e13722. doi:10.7554/eLife.13722
23. Xing Y, Li WX. Heterochromatin components in germline stem cell maintenance. *Sci Rep.* 2015;5:17463. doi:10.1038/srep17463
24. Workman JL. Nucleosome displacement in transcription. *Genes Dev.* 2006;20(15):2009-2017. doi:10.1101/gad.1435706
25. Wigley DB, Bowman GD. A glimpse into chromatin remodeling. *Nature Structural & Molecular Biology.* 2017;24(6):498-500. doi:10.1038/nsmb.3415
26. Zhou CY, Johnson SL, Gamarra NI, Narlikar GJ. Mechanisms of ATP-Dependent Chromatin Remodeling Motors. *Annual Review of Biophysics.* 2016;45(1):153-181. doi:10.1146/annurev-biophys-051013-022819
27. Henikoff S, Smith MM. Histone Variants and Epigenetics. *Cold Spring Harbor Perspectives in Biology.* 2015;7(1). doi:10.1101/cshperspect.a019364

28. Weber CM, Henikoff S. Histone variants: Dynamic punctuation in transcription. *Genes Dev.* 2014;28(7):672-682. doi:10.1101/gad.238873.114
29. Lorch Y, Maier-Davis B, Kornberg RD. Chromatin remodeling by nucleosome disassembly in vitro. *PNAS.* 2006;103(9):3090-3093. doi:10.1073/pnas.0511050103
30. Volle C, Dalal Y. Histone variants: The tricksters of the chromatin world☆. *Curr Opin Genet Dev.* 2014;0:8-14. doi:10.1016/j.gde.2013.11.006
31. Bönisch C, Hake SB. Histone H2A variants in nucleosomes and chromatin: More or less stable? *Nucleic Acids Res.* 2012;40(21):10719-10741. doi:10.1093/nar/gks865
32. Turinetto V, Giachino C. Multiple facets of histone variant H2AX: A DNA double-strand-break marker with several biological functions. *Nucleic Acids Res.* 2015;43(5):2489-2498. doi:10.1093/nar/gkv061
33. Mariño-Ramírez L, Kann MG, Shoemaker BA, Landsman D. Histone structure and nucleosome stability. *Expert Rev Proteomics.* 2005;2(5):719-729. doi:10.1586/14789450.2.5.719
34. Starkova TY, Polyanichko AM, Artamonova TO, et al. Post-translational modifications of linker histone H1 variants in mammals. *Phys Biol.* 2017;14(1):016005. doi:10.1088/1478-3975/aa551a
35. Ausio J, Dong F, van Holde KE. Use of selectively trypsinized nucleosome core particles to analyze the role of the histone “tails” in the stabilization of the nucleosome. *J Mol Biol.* 1989;206(3):451-463.
36. Cosgrove MS, Boeke JD, Wolberger C. Regulated nucleosome mobility and the histone code. *Nat Struct Mol Biol.* 2004;11(11):1037-1043. doi:10.1038/nsmb851
37. Kahn TG, Dorafshan E, Schultheis D, et al. Interdependence of PRC1 and PRC2 for recruitment to Polycomb Response Elements. *Nucleic Acids Res.* 2016;44(21):10132-10149. doi:10.1093/nar/gkw701
38. Zhang K, Tang H, Huang L, et al. Identification of acetylation and methylation sites of histone H3 from chicken erythrocytes by high-accuracy matrix-assisted laser desorption ionization-time-of-flight, matrix-assisted laser desorption ionization-postsource decay, and nanoelectrospray ionization tandem mass spectrometry. *Anal Biochem.* 2002;306(2):259-269.
39. Sims Iii RJ, Reinberg D. Processing the H3K36me3 signature. *Nature Genetics.* 2009;41(3):270-271. doi:10.1038/ng0309-270
40. Chantalat S, Depaux A, Héry P, et al. Histone H3 trimethylation at lysine 36 is associated with constitutive and facultative heterochromatin. *Genome Res.* 2011;21(9):1426-1437. doi:10.1101/gr.118091.110

41. Li F, Wan M, Zhang B, et al. Bivalent Histone Modifications and Development. *Curr Stem Cell Res Ther.* 2018;13(2):83-90. doi:10.2174/1574888X12666170123144743
42. Minoux M, Holwerda S, Vitobello A, et al. Gene bivalency at Polycomb domains regulates cranial neural crest positional identity. *Science.* 2017;355(6332). doi:10.1126/science.aal2913
43. Farooq Z, Banday S, Pandita TK, Altaf M. The many faces of histone H3K79 methylation. *Mutat Res Rev Mutat Res.* 2016;768:46-52. doi:10.1016/j.mrrev.2016.03.005
44. Tropberger P, Pott S, Keller C, et al. Regulation of transcription through acetylation of H3K122 on the lateral surface of the histone octamer. *Cell.* 2013;152(4):859-872. doi:10.1016/j.cell.2013.01.032
45. Li M, Dong Q, Zhu B. Aurora Kinase B Phosphorylates Histone H3.3 at Serine 31 during Mitosis in Mammalian Cells. *J Mol Biol.* 2017;429(13):2042-2045. doi:10.1016/j.jmb.2017.01.016
46. Wilkins BJ, Rall NA, Ostwal Y, et al. A cascade of histone modifications induces chromatin condensation in mitosis. *Science.* 2014;343(6166):77-80. doi:10.1126/science.1244508
47. Götz M, Huttner WB. The cell biology of neurogenesis. *Nat Rev Mol Cell Biol.* 2005;6(10):777-788. doi:10.1038/nrm1739
48. Taverna E, Götz M, Huttner WB. The cell biology of neurogenesis: Toward an understanding of the development and evolution of the neocortex. *Annu Rev Cell Dev Biol.* 2014;30:465-502. doi:10.1146/annurev-cellbio-101011-155801
49. Uzquiano A, Gladwyn-Ng I, Nguyen L, et al. Cortical progenitor biology: Key features mediating proliferation versus differentiation. *J Neurochem.* 2018;146(5):500-525. doi:10.1111/jnc.14338
50. Bond AM, Ming G-L, Song H. Adult Mammalian Neural Stem Cells and Neurogenesis: Five Decades Later. *Cell Stem Cell.* 2015;17(4):385-395. doi:10.1016/j.stem.2015.09.003
51. Lim DA, Alvarez-Buylla A. Adult neural stem cells stake their ground. *Trends Neurosci.* 2014;37(10):563-571. doi:10.1016/j.tins.2014.08.006
52. Kriegstein A, Alvarez-Buylla A. The Glial Nature of Embryonic and Adult Neural Stem Cells. *Annu Rev Neurosci.* 2009;32:149-184. doi:10.1146/annurev.neuro.051508.135600
53. Florio M, Heide M, Pinson A, et al. Evolution and cell-type specificity of human-specific genes preferentially expressed in progenitors of fetal neocortex. Gleeson JG, ed. *eLife.* 2018;7:e32332. doi:10.7554/eLife.32332

54. Florio M, Huttner WB. Neural progenitors, neurogenesis and the evolution of the neocortex. *Development*. 2014;141(11):2182-2194. doi:10.1242/dev.090571
55. Kowalczyk T, Pontious A, Englund C, et al. Intermediate Neuronal Progenitors (Basal Progenitors) Produce Pyramidal–Projection Neurons for All Layers of Cerebral Cortex. *Cereb Cortex*. 2009;19(10):2439-2450. doi:10.1093/cercor/bhn260
56. Smart IHM, Dehay C, Giroud P, Berland M, Kennedy H. Unique morphological features of the proliferative zones and postmitotic compartments of the neural epithelium giving rise to striate and extrastrate cortex in the monkey. *Cereb Cortex*. 2002;12(1):37-53.
57. Hardwick LJA, Ali FR, Azzarelli R, Philpott A. Cell cycle regulation of proliferation versus differentiation in the central nervous system. *Cell Tissue Res*. 2015;359:187-200. doi:10.1007/s00441-014-1895-8
58. Ohnuma S, Harris WA. Neurogenesis and the Cell Cycle. *Neuron*. 2003;40(2):199-208. doi:10.1016/S0896-6273(03)00632-9
59. Calegari F, Haubensak W, Haffner C, Huttner WB. Selective lengthening of the cell cycle in the neurogenic subpopulation of neural progenitor cells during mouse brain development. *J Neurosci*. 2005;25(28):6533-6538. doi:10.1523/JNEUROSCI.0778-05.2005
60. Dobashi Y, Shoji M, Kitagawa M, Noguchi T, Kameya T. Simultaneous suppression of cdc2 and cdk2 activities induces neuronal differentiation of PC12 cells. *J Biol Chem*. 2000;275(17):12572-12580.
61. Wen S, Li H, Liu J. Dynamic signaling for neural stem cell fate determination. *Cell Adh Migr*. 2009;3(1):107-117.
62. Herrera A, Saade M, Menendez A, Marti E, Pons S. Sustained Wnt/β-catenin signalling causes neuroepithelial aberrations through the accumulation of aPKC at the apical pole. *Nature Communications*. 2014;5:4168. doi:10.1038/ncomms5168
63. Woodhead GJ, Mutch CA, Olson EC, Chenn A. Cell-Autonomous β-Catenin Signaling Regulates Cortical Precursor Proliferation. *J Neurosci*. 2006;26(48):12620-12630. doi:10.1523/JNEUROSCI.3180-06.2006
64. Varela-Nallar L, Inestrosa NC. Wnt signaling in the regulation of adult hippocampal neurogenesis. *Front Cell Neurosci*. 2013;7. doi:10.3389/fncel.2013.00100
65. Munji RN, Choe Y, Li G, Siegenthaler JA, Pleasure SJ. Wnt Signaling Regulates Neuronal Differentiation of Cortical Intermediate Progenitors. *J Neurosci*. 2011;31(5):1676-1687. doi:10.1523/JNEUROSCI.5404-10.2011

66. Agathocleous M, Iordanova I, Willardsen MI, et al. A directional Wnt/β-catenin-Sox2-proneural pathway regulates the transition from proliferation to differentiation in the *Xenopus* retina. *Development*. 2009;136(19):3289-3299. doi:10.1242/dev.040451
67. Belgacem YH, Hamilton AM, Shim S, Spencer KA, Borodinsky LN. The Many Hats of Sonic Hedgehog Signaling in Nervous System Development and Disease. *J Dev Biol*. 2016;4(4). doi:10.3390/jdb4040035
68. Rowitch DH, S-Jacques B, Lee SM, Flax JD, Snyder EY, McMahon AP. Sonic hedgehog regulates proliferation and inhibits differentiation of CNS precursor cells. *J Neurosci*. 1999;19(20):8954-8965.
69. Wechsler-Reya RJ, Scott MP. Control of Neuronal Precursor Proliferation in the Cerebellum by Sonic Hedgehog. *Neuron*. 1999;22(1):103-114. doi:10.1016/S0896-6273(00)80682-0
70. Contreras-Cornejo H, Saucedo-Correa G, Oviedo-Boys J, et al. The CSL proteins, versatile transcription factors and context dependent corepressors of the notch signaling pathway. *Cell Div*. 2016;11. doi:10.1186/s13008-016-0025-2
71. Yoon K, Gaiano N. Notch signaling in the mammalian central nervous system: Insights from mouse mutants. *Nature Neuroscience*. 2005;8(6):709-715. doi:10.1038/nn1475
72. Taylor MK, Kelly Y, Morrison SJ. Physiological Notch signaling promotes gliogenesis in the developing peripheral and central nervous systems. *Development*. 2007;134(13):2435-2447. doi:10.1242/dev.005520
73. Kageyama R, Ohtsuka T, Kobayashi T. Roles of Hes genes in neural development. *Development, Growth & Differentiation*. 2008;50(s1):S97-S103. doi:10.1111/j.1440-169X.2008.00993.x
74. Lee H-Y, Kléber M, Hari L, et al. Instructive role of Wnt/beta-catenin in sensory fate specification in neural crest stem cells. *Science*. 2004;303(5660):1020-1023. doi:10.1126/science.1091611
75. Hirabayashi Y, Itoh Y, Tabata H, et al. The Wnt/β-catenin pathway directs neuronal differentiation of cortical neural precursor cells. *Development*. 2004;131(12):2791-2801. doi:10.1242/dev.01165
76. Pöschl J, Grammel D, Dorostkar MM, Kretzschmar HA, Schüller U. Constitutive activation of β-Catenin in neural progenitors results in disrupted proliferation and migration of neurons within the central nervous system. *Developmental Biology*. 2013;374(2):319-332. doi:10.1016/j.ydbio.2012.12.001
77. Bond AM, Bhalala OG, Kessler JA. The Dynamic Role of Bone Morphogenetic Proteins in Neural Stem Cell Fate and Maturation. *Dev Neurobiol*. 2012;72(7):1068-1084. doi:10.1002/dneu.22022

78. Panchision DM, Pickel JM, Studer L, et al. Sequential actions of BMP receptors control neural precursor cell production and fate. *Genes Dev.* 2001;15(16):2094-2110. doi:10.1101/gad.894701
79. Miller FD, Gauthier AS. Timing Is Everything: Making Neurons versus Glia in the Developing Cortex. *Neuron*. 2007;54(3):357-369. doi:10.1016/j.neuron.2007.04.019
80. Liu B, Ma A, Zhang F, et al. MAZ mediates the cross-talk between CT-1 and NOTCH1 signaling during gliogenesis. *Scientific Reports*. 2016;6:21534. doi:10.1038/srep21534
81. Barnabé-Heider F, Wasylka JA, Fernandes KJL, et al. Evidence that Embryonic Neurons Regulate the Onset of Cortical Gliogenesis via Cardiotrophin-1. *Neuron*. 2005;48(2):253-265. doi:10.1016/j.neuron.2005.08.037
82. Fukuda S, Abematsu M, Mori H, et al. Potentiation of astrogliogenesis by STAT3-mediated activation of bone morphogenetic protein-Smad signaling in neural stem cells. *Mol Cell Biol*. 2007;27(13):4931-4937. doi:10.1128/MCB.02435-06
83. Zhou Z-D, Kumari U, Xiao Z-C, Tan E-K. Notch as a molecular switch in neural stem cells. *IUBMB Life*. 2010;62(8):618-623. doi:10.1002/iub.362
84. Brädl M, Lassmann H. Oligodendrocytes: Biology and pathology. *Acta Neuropathol*. 2010;119(1):37-53. doi:10.1007/s00401-009-0601-5
85. Davies JE, Miller RH. Local Sonic Hedgehog Signaling Regulates Oligodendrocyte Precursor Appearance in Multiple Ventricular Zone Domains in the Chick Metencephalon. *Developmental Biology*. 2001;233(2):513-525. doi:10.1006/dbio.2001.0224
86. Nery S, Wichterle H, Fishell G. Sonic hedgehog contributes to oligodendrocyte specification in the mammalian forebrain. *Development*. 2001;128(4):527-540.
87. Wang L-C, Almazan G. Role of Sonic Hedgehog Signaling in Oligodendrocyte Differentiation. *Neurochem Res*. 2016;41(12):3289-3299. doi:10.1007/s11064-016-2061-3
88. Zhou Q, Anderson DJ. The bHLH transcription factors OLIG2 and OLIG1 couple neuronal and glial subtype specification. *Cell*. 2002;109(1):61-73.
89. Meijer DH, Kane MF, Mehta S, et al. Separated at birth? The functional and molecular divergence of OLIG1 and OLIG2. *Nature Reviews Neuroscience*. 2012;13(12):819-831. doi:10.1038/nrn3386
90. Hu J-G, Lü H-Z, Wang Y-X, Bao M-S, Zhao B-M, Zhou J-S. BMP signaling mediates astrocyte differentiation of oligodendrocyte progenitor cells. *Tohoku J Exp Med*. 2010;222(3):195-200.

91. Mekki-Dauriac S, Agius E, Kan P, Cochard P. Bone morphogenetic proteins negatively control oligodendrocyte precursor specification in the chick spinal cord. *Development*. 2002;129(22):5117-5130.
92. Juliandi B, Abematsu M, Nakashima K. Chromatin remodeling in neural stem cell differentiation. *Curr Opin Neurobiol*. 2010;20(4):408-415. doi:10.1016/j.conb.2010.04.001
93. Sokpor G, Castro-Hernandez R, Rosenbusch J, Staiger JF, Tuoc T. ATP-Dependent Chromatin Remodeling During Cortical Neurogenesis. *Front Neurosci*. 2018;12. doi:10.3389/fnins.2018.00226
94. Hota SK, Bruneau BG. ATP-dependent chromatin remodeling during mammalian development. *Development*. 2016;143(16):2882-2897. doi:10.1242/dev.128892
95. Sokpor G, Xie Y, Rosenbusch J, Tuoc T. Chromatin Remodeling BAF (SWI/SNF) Complexes in Neural Development and Disorders. *Front Mol Neurosci*. 2017;10:243. doi:10.3389/fnmol.2017.00243
96. Bachmann C, Nguyen H, Rosenbusch J, et al. MSWI/SNF (BAF) Complexes Are Indispensable for the Neurogenesis and Development of Embryonic Olfactory Epithelium. *PLoS Genet*. 2016;12(9):e1006274. doi:10.1371/journal.pgen.1006274
97. Narayanan R, Pirouz M, Kerimoglu C, et al. Loss of BAF (mSWI/SNF) Complexes Causes Global Transcriptional and Chromatin State Changes in Forebrain Development. *Cell Rep*. 2015;13(9):1842-1854. doi:10.1016/j.celrep.2015.10.046
98. Tuoc T, Dere E, Radyushkin K, et al. Ablation of BAF170 in Developing and Postnatal Dentate Gyrus Affects Neural Stem Cell Proliferation, Differentiation, and Learning. *Mol Neurobiol*. 2017;54(6):4618-4635. doi:10.1007/s12035-016-9948-5
99. Ninkovic J, Steiner-Mezzadri A, Jawerka M, et al. The BAF complex interacts with Pax6 in adult neural progenitors to establish a neurogenic cross-regulatory transcriptional network. *Cell Stem Cell*. 2013;13(4):403-418. doi:10.1016/j.stem.2013.07.002
100. Georgala PA, Carr CB, Price DJ. The role of Pax6 in forebrain development. *Developmental Neurobiology*. 2011;71(8):690-709. doi:10.1002/dneu.20895
101. Lessard J, Wu JI, Ranish JA, et al. An essential switch in subunit composition of a chromatin remodeling complex during neural development. *Neuron*. 2007;55(2):201-215. doi:10.1016/j.neuron.2007.06.019
102. Staahl BT, Tang J, Wu W, et al. Kinetic analysis of npBAF to nBAF switching reveals exchange of SS18 with CREST and integration with neural developmental pathways. *J Neurosci*. 2013;33(25):10348-10361. doi:10.1523/JNEUROSCI.1258-13.2013

103. Vasileiou G, Ekici AB, Uebe S, et al. Chromatin-Remodeling-Factor ARID1B Represses Wnt/β-Catenin Signaling. *American Journal of Human Genetics*. 2015;97(3):445. doi:10.1016/j.ajhg.2015.08.002
104. Middeljans E, Wan X, Jansen PW, Sharma V, Stunnenberg HG, Logie C. SS18 together with animal-specific factors defines human BAF-type SWI/SNF complexes. *PLoS ONE*. 2012;7(3):e33834. doi:10.1371/journal.pone.0033834
105. Nguyen H, Kerimoglu C, Pirouz M, et al. Epigenetic Regulation by BAF Complexes Limits Neural Stem Cell Proliferation by Suppressing Wnt Signaling in Late Embryonic Development. *Stem Cell Reports*. 2018;10(6):1734-1750. doi:10.1016/j.stemcr.2018.04.014
106. Zhan X, Shi X, Zhang Z, Chen Y, Wu JI. Dual role of Brg chromatin remodeling factor in Sonic hedgehog signaling during neural development. *Proc Natl Acad Sci U S A*. 2011;108(31):12758-12763. doi:10.1073/pnas.1018510108
107. Yoo AS, Staahl BT, Chen L, Crabtree GR. MicroRNA-mediated switching of chromatin-remodelling complexes in neural development. *Nature*. 2009;460(7255):642-646. doi:10.1038/nature08139
108. Yoo M, Choi K-Y, Kim J, et al. BAF53b, a Neuron-Specific Nucleosome Remodeling Factor, Is Induced after Learning and Facilitates Long-Term Memory Consolidation. *J Neurosci*. 2017;37(13):3686-3697. doi:10.1523/JNEUROSCI.3220-16.2017
109. Tuoc TC, Boretius S, Sansom SN, et al. Chromatin regulation by BAF170 controls cerebral cortical size and thickness. *Dev Cell*. 2013;25(3):256-269. doi:10.1016/j.devcel.2013.04.005
110. Tuoc TC, Narayanan R, Stoykova A. BAF chromatin remodeling complex: Cortical size regulation and beyond. *Cell Cycle*. 2013;12(18):2953-2959. doi:10.4161/cc.25999
111. Arlotta P, Molyneaux BJ, Jabaudon D, Yoshida Y, Macklis JD. Ctip2 Controls the Differentiation of Medium Spiny Neurons and the Establishment of the Cellular Architecture of the Striatum. *J Neurosci*. 2008;28(3):622-632. doi:10.1523/JNEUROSCI.2986-07.2008
112. Wiegreffe C, Simon R, Peschkes K, et al. Bcl11a (Ctip1) Controls Migration of Cortical Projection Neurons through Regulation of Sema3c. *Neuron*. 2015;87(2):311-325. doi:10.1016/j.neuron.2015.06.023
113. John A, Brylka H, Wiegreffe C, et al. Bcl11a is required for neuronal morphogenesis and sensory circuit formation in dorsal spinal cord development. *Development*. 2012;139(10):1831-1841. doi:10.1242/dev.072850

114. Choi K-Y, Yoo M, Han J-H. Toward understanding the role of the neuron-specific BAF chromatin remodeling complex in memory formation. *Experimental & Molecular Medicine*. 2015;47(4):e155. doi:10.1038/emm.2014.129
115. Aizawa H, Hu S-C, Bobb K, et al. Dendrite development regulated by CREST, a calcium-regulated transcriptional activator. *Science*. 2004;303(5655):197-202. doi:10.1126/science.1089845
116. Matsumoto Y, Otsuka F, Hino J, et al. Bone morphogenetic protein-3b (BMP-3b) inhibits osteoblast differentiation via Smad2/3 pathway by counteracting Smad1/5/8 signaling. *Mol Cell Endocrinol*. 2012;350(1):78-86. doi:10.1016/j.mce.2011.11.023
117. Yu Y, Chen Y, Kim B, et al. Olig2 Targets Chromatin Remodelers To Enhancers To Initiate Oligodendrocyte Differentiation. *Cell*. 2013;152(1-2):248-261. doi:10.1016/j.cell.2012.12.006
118. Bischof M, Weider M, Kuspert M, Nave K-A, Wegner M. Brg1-Dependent Chromatin Remodelling Is Not Essentially Required during Oligodendroglial Differentiation. *Journal of Neuroscience*. 2015;35(1):21-35. doi:10.1523/JNEUROSCI.1468-14.2015
119. Stanton BZ, Hodges C, Calarco JP, et al. Smarca4 ATPase mutations disrupt direct eviction of PRC1 from chromatin. *Nat Genet*. 2017;49(2):282-288. doi:10.1038/ng.3735
120. Kadoc C, Williams RT, Calarco JP, et al. Dynamics of BAF-Polycomb complex opposition on heterochromatin in normal and oncogenic states. *Nat Genet*. 2017;49(2):213-222. doi:10.1038/ng.3734
121. Basta J, Rauchman M. The Nucleosome Remodeling and Deacetylase (NuRD) Complex in Development and Disease. *Transl Res*. 2015;165(1):36-47. doi:10.1016/j.trsl.2014.05.003
122. Denslow SA, Wade PA. The human Mi-2/NuRD complex and gene regulation. *Oncogene*. 2007;26(37):5433-5438. doi:10.1038/sj.onc.1210611
123. López AJ, Wood MA. Role of nucleosome remodeling in neurodevelopmental and intellectual disability disorders. *Front Behav Neurosci*. 2015;9. doi:10.3389/fnbeh.2015.00100
124. Nitarska J, Smith JG, Sherlock WT, et al. A Functional Switch of NuRD Chromatin Remodeling Complex Subunits Regulates Mouse Cortical Development. *Cell Rep*. 2016;17(6):1683-1698. doi:10.1016/j.celrep.2016.10.022
125. Hoffmeister H, Fuchs A, Erdel F, et al. CHD3 and CHD4 form distinct NuRD complexes with different yet overlapping functionality. *Nucleic Acids Res*. 2017;45(18):10534-10554. doi:10.1093/nar/gkx711

126. Chudnovsky Y, Kim D, Zheng S, et al. ZFHX4 interacts with the NuRD core member CHD4 and regulates the glioblastoma tumor initiating cell state. *Cell Rep.* 2014;6(2):313-324. doi:10.1016/j.celrep.2013.12.032
127. Vestin A, Mills AA. The tumor suppressor Chd5 is induced during neuronal differentiation in the developing mouse brain. *Gene Expr Patterns.* 2013;13(8):482-489. doi:10.1016/j.gep.2013.09.003
128. Bishop B, Ho KK, Tyler K, et al. The chromatin remodeler chd5 is necessary for proper head development during embryogenesis of *Danio rerio*. *Biochim Biophys Acta.* 2015;1849(8):1040-1050. doi:10.1016/j.bbagen.2015.06.006
129. Montgomery RL, Hsieh J, Barbosa AC, Richardson JA, Olson EN. Histone deacetylases 1 and 2 control the progression of neural precursors to neurons during brain development. *PNAS.* 2009;106(19):7876-7881. doi:10.1073/pnas.0902750106
130. Tapias A, Wang Z-Q. Lysine Acetylation and Deacetylation in Brain Development and Neuropathies. *Genomics, Proteomics & Bioinformatics.* 2017;15(1):19-36. doi:10.1016/j.gpb.2016.09.002
131. Hagelkruys A, Lagger S, Krahmer J, et al. A single allele of Hdac2 but not Hdac1 is sufficient for normal mouse brain development in the absence of its paralog. *Development.* 2014;141(3):604-616. doi:10.1242/dev.100487
132. Kaji K, Caballero IM, MacLeod R, Nichols J, Wilson VA, Hendrich B. The NuRD component Mbd3 is required for pluripotency of embryonic stem cells. *Nat Cell Biol.* 2006;8(3):285-292. doi:10.1038/ncb1372
133. Baubec T, Ivánek R, Lienert F, Schübler D. Methylation-dependent and -independent genomic targeting principles of the MBD protein family. *Cell.* 2013;153(2):480-492. doi:10.1016/j.cell.2013.03.011
134. Reynolds N, Salmon-Divon M, Dvinge H, et al. NuRD-mediated deacetylation of H3K27 facilitates recruitment of Polycomb Repressive Complex 2 to direct gene repression. *EMBO J.* 2012;31(3):593-605. doi:10.1038/emboj.2011.431
135. Mor N, Rais Y, Sheban D, et al. Neutralizing Gatad2a-Chd4-Mbd3/NuRD Complex Facilitates Deterministic Induction of Naive Pluripotency. *Cell Stem Cell.* 2018;23(3):412-425.e10. doi:10.1016/j.stem.2018.07.004
136. Murr R, Vaissière T, Sawan C, Shukla V, Herceg Z. Orchestration of chromatin-based processes: Mind the TRRAP. *Oncogene.* 2007;26(37):5358-5372. doi:10.1038/sj.onc.1210605
137. Herceg Z, Hull W, Gell D, et al. Disruption of *Trrap* causes early embryonic lethality and defects in cell cycle progression. *Nature Genetics.* 2001;29(2):206-211. doi:10.1038/ng725

138. Knutson BA, Hahn S. Domains of Tra1 important for activator recruitment and transcription coactivator functions of SAGA and NuA4 complexes. *Mol Cell Biol*. 2011;31(4):818-831. doi:10.1128/MCB.00687-10
139. Flegel K, Grushko O, Bolin K, Griggs E, Buttitta L. Roles for the Histone Modifying and Exchange Complex NuA4 in Cell Cycle Progression in *Drosophila melanogaster*. *Genetics*. 2016;203(3):1265-1281. doi:10.1534/genetics.116.188581
140. Mo F, Zhuang X, Liu X, et al. Acetylation of Aurora B by TIP60 ensures accurate chromosomal segregation. *Nat Chem Biol*. 2016;12(4):226-232. doi:10.1038/nchembio.2017
141. Zhao L-J, Loewenstein PM, Green M. Identification of a panel of MYC and Tip60 co-regulated genes functioning primarily in cell cycle and DNA replication. *Genes Cancer*. 2018;9(3-4):101-113. doi:10.18632/genesandcancer.175
142. Shedd K, Cooper S. Analysis of cell-cycle gene expression in *Saccharomyces cerevisiae* using microarrays and multiple synchronization methods. *Nucleic Acids Res*. 2002;30(13):2920-2929.
143. Fischle W. Tip60-ing the balance in DSB repair. *Nature Cell Biology*. 2009;11(11):1279-1281. doi:10.1038/ncb1109-1279
144. Sun Y, Jiang X, Chen S, Fernandes N, Price BD. A role for the Tip60 histone acetyltransferase in the acetylation and activation of ATM. *PNAS*. 2005;102(37):13182-13187. doi:10.1073/pnas.0504211102
145. Tang Y, Luo J, Zhang W, Gu W. Tip60-dependent acetylation of p53 modulates the decision between cell-cycle arrest and apoptosis. *Mol Cell*. 2006;24(6):827-839. doi:10.1016/j.molcel.2006.11.021
146. Fazzio TG, Huff JT, Panning B. An RNAi screen of chromatin proteins identifies Tip60-p400 as a regulator of embryonic stem cell identity. *Cell*. 2008;134(1):162-174. doi:10.1016/j.cell.2008.05.031
147. Giaimo BD, Ferrante F, Vallejo DM, et al. Histone variant H2A.Z deposition and acetylation directs the canonical Notch signaling response. *Nucleic Acids Res*. 2018;46(16):8197-8215. doi:10.1093/nar/gky551
148. Park JH, Sun X-J, Roeder RG. The SANT Domain of p400 ATPase Represses Acetyltransferase Activity and Coactivator Function of TIP60 in Basal p21 Gene Expression. *Molecular and Cellular Biology*. 2010;30(11):2750-2761. doi:10.1128/MCB.00804-09
149. Xu Y, Sun Y, Jiang X, et al. The p400 ATPase regulates nucleosome stability and chromatin ubiquitination during DNA repair. *The Journal of Cell Biology*. 2010;191(1):31-43. doi:10.1083/jcb.201001160

150. Chen PB, Hung J-H, Hickman TL, et al. Hdac6 regulates Tip60-p400 function in stem cells. *eLife*. 2013;2. doi:10.7554/eLife.01557
151. Acharya D, Hainer SJ, Yoon Y, et al. KAT-Independent Gene Regulation by Tip60 Promotes ESC Self-Renewal but Not Pluripotency. *Cell Reports*. 2017;19(4):671-679. doi:10.1016/j.celrep.2017.04.001
152. Rust K, Tiwari MD, Mishra VK, Grawe F, Wodarz A. Myc and the Tip60 chromatin remodeling complex control neuroblast maintenance and polarity in Drosophila. *EMBO J*. 2018;37(16). doi:10.15252/embj.201798659
153. Kim C-H, Kim J-W, Jang S-M, An J-H, Song K-H, Choi K-H. Transcriptional activity of paired homeobox Pax6 is enhanced by histone acetyltransferase Tip60 during mouse retina development. *Biochem Biophys Res Commun*. 2012;424(3):427-432. doi:10.1016/j.bbrc.2012.06.126
154. Tea JS, Luo L. The chromatin remodeling factor Bap55 functions through the TIP60 complex to regulate olfactory projection neuron dendrite targeting. *Neural Dev*. 2011;6:5. doi:10.1186/1749-8104-6-5
155. Xu S, Panikker P, Iqbal S, Elefant F. Tip60 HAT Action Mediates Environmental Enrichment Induced Cognitive Restoration. *PLoS One*. 2016;11(7). doi:10.1371/journal.pone.0159623
156. Panikker P, Xu S-J, Zhang H, et al. Restoring Tip60 HAT/HDAC2 Balance in the Neurodegenerative Brain Relieves Epigenetic Transcriptional Repression and Reinstates Cognition. *J Neurosci*. 2018;38(19):4569-4583. doi:10.1523/JNEUROSCI.2840-17.2018
157. Lorbeck M, Pirooznia K, Sarthi J, Zhu X, Elefant F. Microarray Analysis Uncovers a Role for Tip60 in Nervous System Function and General Metabolism. *PLoS One*. 2011;6(4). doi:10.1371/journal.pone.0018412
158. Bu P, Evrard YA, Lozano G, Dent SYR. Loss of Gcn5 Acetyltransferase Activity Leads to Neural Tube Closure Defects and Exencephaly in Mouse Embryos. *Mol Cell Biol*. 2007;27(9):3405-3416. doi:10.1128/MCB.00066-07
159. Lin W, Zhang Z, Srajer G, et al. Proper expression of the Gcn5 histone acetyltransferase is required for neural tube closure in mouse embryos. *Dev Dyn*. 2008;237(4):928-940. doi:10.1002/dvdy.21479
160. Martínez-Cerdeño V, Lemen JM, Chan V, et al. N-Myc and GCN5 Regulate Significantly Overlapping Transcriptional Programs in Neural Stem Cells. *PLoS One*. 2012;7(6). doi:10.1371/journal.pone.0039456
161. Kalkat M, Resetca D, Lourenco C, et al. MYC Protein Interactome Profiling Reveals Functionally Distinct Regions that Cooperate to Drive Tumorigenesis. *Molecular Cell*. 2018;72(5):836-848.e7. doi:10.1016/j.molcel.2018.09.031

162. Zhang N, Ichikawa W, Faiola F, Lo S-Y, Liu X, Martinez E. MYC interacts with the human STAGA coactivator complex via multivalent contacts with the GCN5 and TRRAP subunits. *Biochim Biophys Acta.* 2014;1839(5):395-405. doi:10.1016/j.bbagr.2014.03.017
163. Palhan VB, Chen S, Peng G-H, et al. Polyglutamine-expanded ataxin-7 inhibits STAGA histone acetyltransferase activity to produce retinal degeneration. *Proc Natl Acad Sci U S A.* 2005;102(24):8472-8477. doi:10.1073/pnas.0503505102
164. Xu W, Edmondson DG, Evrard YA, Wakamiya M, Behringer RR, Roth SY. Loss of Gcn5l2 leads to increased apoptosis and mesodermal defects during mouse development. *Nat Genet.* 2000;26(2):229-232. doi:10.1038/79973
165. Puttagunta R, Tedeschi A, Sória MG, et al. PCAF-dependent epigenetic changes promote axonal regeneration in the central nervous system. *Nature Communications.* 2014;5:3527. doi:10.1038/ncomms4527
166. Lang SE, McMahon SB, Cole MD, Hearing P. E2F transcriptional activation requires TRRAP and GCN5 cofactors. *J Biol Chem.* 2001;276(35):32627-32634. doi:10.1074/jbc.M102067200
167. Memedula S, Belmont AS. Sequential Recruitment of HAT and SWI/SNF Components to Condensed Chromatin by VP16. *Current Biology.* 2003;13(3):241-246. doi:10.1016/S0960-9822(03)00048-4
168. Gause M, Eissenberg JC, MacRae AF, Dorsett M, Misulovin Z, Dorsett D. Nipped-A, the Tra1/TRRAP Subunit of the Drosophila SAGA and Tip60 Complexes, Has Multiple Roles in Notch Signaling during Wing Development. *Molecular and Cellular Biology.* 2006;26(6):2347-2359. doi:10.1128/MCB.26.6.2347-2359.2006
169. Mohan M, Herz H-M, Takahashi Y-H, et al. Linking H3K79 trimethylation to Wnt signaling through a novel Dot1-containing complex (DotCom). *Genes Dev.* 2010;24(6):574-589. doi:10.1101/gad.1898410
170. Finkbeiner MG, Sawan C, Ouzounova M, Murr R, Herceg Z. HAT cofactor TRRAP mediates beta-catenin ubiquitination on the chromatin and the regulation of the canonical Wnt pathway. *Cell Cycle.* 2008;7(24):3908-3914. doi:10.4161/cc.7.24.7354
171. Ceol CJ, Horvitz HR. A New Class of *C. elegans* synMuv Genes Implicates a Tip60/NuA4-like HAT Complex as a Negative Regulator of Ras Signaling. *Developmental Cell.* 2004;6(4):563-576. doi:10.1016/S1534-5807(04)00065-6
172. Sawan C, Hernandez-Vargas H, Murr R, et al. Histone Acetyltransferase Cofactor Trrap Maintains Self-Renewal and Restricts Differentiation of Embryonic Stem Cells. *STEM CELLS.* 2013;31(5):979-991. doi:10.1002/stem.1341

173. Tapias A, Zhou Z-W, Shi Y, et al. Trrap-Dependent Histone Acetylation Specifically Regulates Cell-Cycle Gene Transcription to Control Neural Progenitor Fate Decisions. *Cell Stem Cell*. 2014;14(5):632-643. doi:10.1016/j.stem.2014.04.001
174. Hardy S, Brand M, Mittler G, et al. TATA-binding Protein-free TAF-containing Complex (TFTC) and p300 Are Both Required for Efficient Transcriptional Activation. *J Biol Chem*. 2002;277(36):32875-32882. doi:10.1074/jbc.M205860200
175. Kato Y, Shi Y, He X. Neuralization of the Xenopus Embryo by Inhibition of p300/ CREB-Binding Protein Function. *J Neurosci*. 1999;19(21):9364-9373. doi:10.1523/JNEUROSCI.19-21-09364.1999
176. Yao T-P, Oh SP, Fuchs M, et al. Gene Dosage-Dependent Embryonic Development and Proliferation Defects in Mice Lacking the Transcriptional Integrator p300. *Cell*. 1998;93(3):361-372. doi:10.1016/S0092-8674(00)81165-4
177. Wang J, Weaver ICG, Gauthier-Fisher A, et al. CBP Histone Acetyltransferase Activity Regulates Embryonic Neural Differentiation in the Normal and Rubinstein-Taybi Syndrome Brain. *Developmental Cell*. 2010;18(1):114-125. doi:10.1016/j.devcel.2009.10.023
178. Nakashima K, Yanagisawa M, Arakawa H, et al. Synergistic Signaling in Fetal Brain by STAT3-Smad1 Complex Bridged by p300. *Science*. 1999;284(5413):479-482. doi:10.1126/science.284.5413.479
179. Zhang L, He X, Liu L, et al. Hdac3 Interaction with p300 Histone Acetyltransferase Regulates the Oligodendrocyte and Astrocyte Lineage Fate Switch. *Developmental Cell*. 2016;36(3):316-330. doi:10.1016/j.devcel.2016.01.002
180. Sun Y, Nadal-Vicens M, Misono S, et al. Neurogenin Promotes Neurogenesis and Inhibits Glial Differentiation by Independent Mechanisms. *Cell*. 2001;104(3):365-376. doi:10.1016/S0092-8674(01)00224-0
181. Mefford HC, Batshaw ML, Hoffman EP. Genomics, Intellectual Disability, and Autism. *The New England journal of medicine*. 2012;366(8):733. doi:10.1056/NEJMra1114194
182. Srivastava AK, Schwartz CE. Intellectual Disability and Autism Spectrum Disorders: Causal Genes and Molecular Mechanisms. *Neurosci Biobehav Rev*. 2014;46 Pt 2:161-174. doi:10.1016/j.neubiorev.2014.02.015
183. Moeschler JB. 3 - Neurodevelopmental Disabilities: Global Developmental Delay, Intellectual Disability, and Autism. In: Pyeritz RE, Korf BR, Grody WW, eds. *Emery and Rimoin's Principles and Practice of Medical Genetics and Genomics (Seventh Edition)*. Academic Press; 2019:61-79. doi:10.1016/B978-0-12-812536-6.00003-1
184. Baio J, Wiggins L, Christensen DL, et al. Prevalence of Autism Spectrum Disorder Among Children Aged 8 Years—Autism and Developmental Disabilities Monitoring Network,

11 Sites, United States, 2014. *MMWR Surveill Summ.* 2018;67(6):1-23. doi:10.15585/mmwr.ss6706a1

185. Satterstrom FK, Kosmicki JA, Wang J, et al. Novel genes for autism implicate both excitatory and inhibitory cell lineages in risk. *BioRxiv*. December 2018:484113. doi:10.1101/484113
186. Lelieveld SH, Wiel L, Venselaar H, et al. Spatial Clustering of de Novo Missense Mutations Identifies Candidate Neurodevelopmental Disorder-Associated Genes. *The American Journal of Human Genetics*. 2017;101(3):478-484. doi:10.1016/j.ajhg.2017.08.004
187. Bögershausen N, Wollnik B. Mutational Landscapes and Phenotypic Spectrum of SWI/SNF-Related Intellectual Disability Disorders. *Front Mol Neurosci*. 2018;11. doi:10.3389/fnmol.2018.00252
188. Santen GWE, Aten E, Vulto-van Silfhout AT, et al. Coffin-Siris syndrome and the BAF complex: Genotype-phenotype study in 63 patients. *Hum Mutat*. 2013;34(11):1519-1528. doi:10.1002/humu.22394
189. Sousa SB, Hennekam RC, Nicolaides-Baraitser Syndrome International Consortium. Phenotype and genotype in Nicolaides-Baraitser syndrome. *Am J Med Genet C Semin Med Genet*. 2014;166C(3):302-314. doi:10.1002/ajmg.c.31409
190. Machol K, Rousseau J, Ehresmann S, et al. Expanding the Spectrum of BAF-Related Disorders: De Novo Variants in SMARCC2 Cause a Syndrome with Intellectual Disability and Developmental Delay. *The American Journal of Human Genetics*. 2019;104(1):164-178. doi:10.1016/j.ajhg.2018.11.007
191. Marfella CGA, Imbalzano AN. The Chd Family of Chromatin Remodelers. *Mutat Res*. 2007;618(1-2):30-40. doi:10.1016/j.mrfmmm.2006.07.012
192. Pilarowski GO, Vernon HJ, Applegate CD, et al. Missense variants in the chromatin remodeler CHD1 are associated with neurodevelopmental disability. *J Med Genet*. 2018;55(8):561-566. doi:10.1136/jmedgenet-2017-104759
193. Carvill GL, Heavin SB, Yendle SC, et al. Targeted resequencing in epileptic encephalopathies identifies de novo mutations in CHD2 and SYNGAP1. *Nat Genet*. 2013;45(7):825-830. doi:10.1038/ng.2646
194. Suls A, Jaehn JA, Kecskés A, et al. De novo loss-of-function mutations in CHD2 cause a fever-sensitive myoclonic epileptic encephalopathy sharing features with Dravet syndrome. *Am J Hum Genet*. 2013;93(5):967-975. doi:10.1016/j.ajhg.2013.09.017
195. Rauch A, Wieczorek D, Graf E, et al. Range of genetic mutations associated with severe non-syndromic sporadic intellectual disability: An exome sequencing study. *Lancet*. 2012;380(9854):1674-1682. doi:10.1016/S0140-6736(12)61480-9

196. Petersen AK, Streff H, Tokita M, Bostwick BL. The first reported case of an inherited pathogenic CHD2 variant in a clinically affected mother and daughter. *Am J Med Genet A*. 2018;176(7):1667-1669. doi:10.1002/ajmg.a.38835
197. Blok LS, Rousseau J, Twist J, et al. CHD3 helicase domain mutations cause a neurodevelopmental syndrome with macrocephaly and impaired speech and language. *Nature Communications*. 2018;9(1):4619. doi:10.1038/s41467-018-06014-6
198. Eising E, Carrion-Castillo A, Vino A, et al. A set of regulatory genes co-expressed in embryonic human brain is implicated in disrupted speech development. *Mol Psychiatry*. February 2018. doi:10.1038/s41380-018-0020-x
199. Sifrim A, Hitz M-P, Wilsdon A, et al. Distinct genetic architectures for syndromic and nonsyndromic congenital heart defects identified by exome sequencing. *Nat Genet*. 2016;48(9):1060-1065. doi:10.1038/ng.3627
200. Weiss K, Terhal PA, Cohen L, et al. De Novo Mutations in CHD4, an ATP-Dependent Chromatin Remodeler Gene, Cause an Intellectual Disability Syndrome with Distinctive Dysmorphisms. *Am J Hum Genet*. 2016;99(4):934-941. doi:10.1016/j.ajhg.2016.08.001
201. Pauli S, von Velsen N, Burfeind P, et al. CHD7 mutations causing CHARGE syndrome are predominantly of paternal origin. *Clin Genet*. 2012;81(3):234-239. doi:10.1111/j.1399-0004.2011.01701.x
202. Sanlaville D, Etchevers HC, Gonzales M, et al. Phenotypic spectrum of CHARGE syndrome in fetuses with CHD7 truncating mutations correlates with expression during human development. *J Med Genet*. 2006;43(3):211-217. doi:10.1136/jmg.2005.036160
203. Layman WS, McEwen DP, Beyer LA, et al. Defects in neural stem cell proliferation and olfaction in Chd7 deficient mice indicate a mechanism for hyposmia in human CHARGE syndrome. *Hum Mol Genet*. 2009;18(11):1909-1923. doi:10.1093/hmg/ddp112
204. Bernier R, Golzio C, Xiong B, et al. Disruptive CHD8 mutations define a subtype of autism early in development. *Cell*. 2014;158(2):263-276. doi:10.1016/j.cell.2014.06.017
205. O'Roak BJ, Vives L, Girirajan S, et al. Sporadic autism exomes reveal a highly interconnected protein network of de novo mutations. *Nature*. 2012;485(7397):246-250. doi:10.1038/nature10989
206. Williams SR, Aldred MA, Der Kaloustian VM, et al. Haploinsufficiency of HDAC4 causes brachydactyly mental retardation syndrome, with brachydactyly type E, developmental delays, and behavioral problems. *Am J Hum Genet*. 2010;87(2):219-228. doi:10.1016/j.ajhg.2010.07.011
207. Chassaing N, Siani V, Carles D, et al. X-linked dominant chondrodysplasia with platyspondyly, distinctive brachydactyly, hydrocephaly, and microphthalmia. *Am J Med Genet A*. 2005;136A(4):307-312. doi:10.1002/ajmg.a.30570

208. Simon D, Laloo B, Barillot M, et al. A mutation in the 3'-UTR of the HDAC6 gene abolishing the post-transcriptional regulation mediated by hsa-miR-433 is linked to a new form of dominant X-linked chondrodysplasia. *Hum Mol Genet.* 2010;19(10):2015-2027. doi:10.1093/hmg/ddq083
209. Kaiser FJ, Ansari M, Braunholz D, et al. Loss-of-function HDAC8 mutations cause a phenotypic spectrum of Cornelia de Lange syndrome-like features, ocular hypertelorism, large fontanelle and X-linked inheritance. *Hum Mol Genet.* 2014;23(11):2888-2900. doi:10.1093/hmg/ddu002
210. Harakalova M, van den Boogaard M-J, Sinke R, et al. X-exome sequencing identifies a HDAC8 variant in a large pedigree with X-linked intellectual disability, truncal obesity, gynaecomastia, hypogonadism and unusual face. *J Med Genet.* 2012;49(8):539-543. doi:10.1136/jmedgenet-2012-100921
211. Lang B, Alrahbeni TMA, Clair DS, Blackwood DH, McCaig CD, Shen S. HDAC9 is implicated in schizophrenia and expressed specifically in post-mitotic neurons but not in adult neural stem cells. *Am J Stem Cells.* 2011;1(1):31-41.
212. Hobara T, Uchida S, Otsuki K, et al. Altered gene expression of histone deacetylases in mood disorder patients. *J Psychiatr Res.* 2010;44(5):263-270. doi:10.1016/j.jpsychires.2009.08.015
213. Pinto D, Delaby E, Merico D, et al. Convergence of genes and cellular pathways dysregulated in autism spectrum disorders. *Am J Hum Genet.* 2014;94(5):677-694. doi:10.1016/j.ajhg.2014.03.018
214. Arboleda VA, Lee H, Dorrani N, et al. De novo nonsense mutations in KAT6A, a lysine acetyl-transferase gene, cause a syndrome including microcephaly and global developmental delay. *Am J Hum Genet.* 2015;96(3):498-506. doi:10.1016/j.ajhg.2015.01.017
215. Tham E, Lindstrand A, Santani A, et al. Dominant mutations in KAT6A cause intellectual disability with recognizable syndromic features. *Am J Hum Genet.* 2015;96(3):507-513. doi:10.1016/j.ajhg.2015.01.016
216. Campeau PM, Kim JC, Lu JT, et al. Mutations in KAT6B, encoding a histone acetyltransferase, cause Genitopatellar syndrome. *Am J Hum Genet.* 2012;90(2):282-289. doi:10.1016/j.ajhg.2011.11.023
217. Clayton-Smith J, O'Sullivan J, Daly S, et al. Whole-exome-sequencing identifies mutations in histone acetyltransferase gene KAT6B in individuals with the Say-Barber-Biesecker variant of Ohdo syndrome. *Am J Hum Genet.* 2011;89(5):675-681. doi:10.1016/j.ajhg.2011.10.008

218. Gannon T, Perveen R, Schlecht H, et al. Further delineation of the KAT6B molecular and phenotypic spectrum. *Eur J Hum Genet*. 2015;23(9):1165-1170. doi:10.1038/ejhg.2014.248
219. Simpson MA, Deshpande C, Dafou D, et al. De Novo Mutations of the Gene Encoding the Histone Acetyltransferase KAT6B Cause Genitopatellar Syndrome. *Am J Hum Genet*. 2012;90(2):290-294. doi:10.1016/j.ajhg.2011.11.024
220. Rubinstein JH, Taybi H. Broad thumbs and toes and facial abnormalities. A possible mental retardation syndrome. *Am J Dis Child*. 1963;105:588-608.
221. Hennekam RCM. Rubinstein-Taybi syndrome. *European Journal of Human Genetics*. 2006;14(9):981-985. doi:10.1038/sj.ejhg.5201594
222. Thienpont B, Béna F, Breckpot J, et al. Duplications of the critical Rubinstein-Taybi deletion region on chromosome 16p13.3 cause a novel recognisable syndrome. *J Med Genet*. 2010;47(3):155-161. doi:10.1136/jmg.2009.070573
223. Bartsch O, Labonté J, Albrecht B, et al. Two patients with EP300 mutations and facial dysmorphism different from the classic Rubinstein-Taybi syndrome. *Am J Med Genet A*. 2010;152A(1):181-184. doi:10.1002/ajmg.a.33153
224. Roelfsema JH, White SJ, Ariyürek Y, et al. Genetic heterogeneity in Rubinstein-Taybi syndrome: Mutations in both the CBP and EP300 genes cause disease. *Am J Hum Genet*. 2005;76(4):572-580. doi:10.1086/429130
225. Yan K, Rousseau J, Littlejohn RO, et al. Mutations in the Chromatin Regulator Gene BRPF1 Cause Syndromic Intellectual Disability and Deficient Histone Acetylation. *Am J Hum Genet*. 2017;100(1):91-104. doi:10.1016/j.ajhg.2016.11.011
226. Cogné B, Ehresmann S, Beauregard-Lacroix E, et al. Missense Variants in the Histone Acetyltransferase Complex Component Gene TRRAP Cause Autism and Syndromic Intellectual Disability. *Am J Hum Genet*. 2019;104(3):530-541. doi:10.1016/j.ajhg.2019.01.010
227. Mashtalir N, D'Avino AR, Michel BC, et al. Modular Organization and Assembly of SWI/SNF Family Chromatin Remodeling Complexes. *Cell*. 2018;175(5):1272-1288.e20. doi:10.1016/j.cell.2018.09.032
228. Monahan BJ, Villén J, Marguerat S, Bähler J, Gygi SP, Winston F. Fission yeast SWI/SNF and RSC complexes show compositional and functional differences from budding yeast. *Nat Struct Mol Biol*. 2008;15(8):873-880. doi:10.1038/nsmb.1452
229. Stern M, Jensen R, Herskowitz I. Five SWI genes are required for expression of the HO gene in yeast. *J Mol Biol*. 1984;178(4):853-868.

230. Boyer LA, Latek RR, Peterson CL. The SANT domain: A unique histone-tail-binding module? *Nature Reviews Molecular Cell Biology*. 2004;5(2):158-163. doi:10.1038/nrm1314
231. Boyer LA, Langer MR, Crowley KA, Tan S, Denu JM, Peterson CL. Essential role for the SANT domain in the functioning of multiple chromatin remodeling enzymes. *Mol Cell*. 2002;10(4):935-942.
232. Da G, Lenkart J, Zhao K, Shiekhattar R, Cairns BR, Marmorstein R. Structure and function of the SWIRM domain, a conserved protein module found in chromatin regulatory complexes. *Proc Natl Acad Sci U S A*. 2006;103(7):2057-2062. doi:10.1073/pnas.0510949103
233. Aravind L, Iyer LM. The SWIRM domain: A conserved module found in chromosomal proteins points to novel chromatin-modifying activities. *Genome Biol*. 2002;3(8):research0039.1-research0039.7.
234. Ho L, Ronan JL, Wu J, et al. An embryonic stem cell chromatin remodeling complex, esBAF, is essential for embryonic stem cell self-renewal and pluripotency. *Proc Natl Acad Sci USA*. 2009;106(13):5181-5186. doi:10.1073/pnas.0812889106
235. Ragvin A, Valvatne H, Erdal S, et al. Nucleosome binding by the bromodomain and PHD finger of the transcriptional cofactor p300. *J Mol Biol*. 2004;337(4):773-788. doi:10.1016/j.jmb.2004.01.051
236. Weaver TM, Morrison EA, Musselman CA. Reading More than Histones: The Prevalence of Nucleic Acid Binding among Reader Domains. *Molecules*. 2018;23(10). doi:10.3390/molecules23102614
237. Bouazoune K, Mitterweger A, Längst G, et al. The dMi-2 chromodomains are DNA binding modules important for ATP-dependent nucleosome mobilization. *The EMBO Journal*. 2002;21(10):2430-2440. doi:10.1093/emboj/21.10.2430
238. McMahon SB, Van Buskirk HA, Dugan KA, Copeland TD, Cole MD. The novel ATM-related protein TRRAP is an essential cofactor for the c-Myc and E2F oncoproteins. *Cell*. 1998;94(3):363-374.
239. Jiang X, Sun Y, Chen S, Roy K, Price BD. The FATC Domains of PIKK Proteins Are Functionally Equivalent and Participate in the Tip60-dependent Activation of DNA-PKcs and ATM. *J Biol Chem*. 2006;281(23):15741-15746. doi:10.1074/jbc.M513172200
240. Bosotti R, Isacchi A, Sonnhammer EL. FAT: A novel domain in PIK-related kinases. *Trends Biochem Sci*. 2000;25(5):225-227.
241. Bourgey M, Dali R, Eveleigh R, et al. GenPipes: An open-source framework for distributed and scalable genomic analyses. *BioRxiv*. November 2018:459552. doi:10.1101/459552

242. Picard Tools™ By Broad Institute. <http://broadinstitute.github.io/picard/>. Accessed February 18, 2019.
243. Bolger AM, Lohse M, Usadel B. Trimmomatic: A flexible trimmer for Illumina sequence data. *Bioinformatics*. 2014;30(15):2114-2120. doi:10.1093/bioinformatics/btu170
244. Dobin A, Davis CA, Schlesinger F, et al. STAR: Ultrafast universal RNA-seq aligner. *Bioinformatics*. 2013;29(1):15-21. doi:10.1093/bioinformatics/bts635
245. Anders S, Pyl PT, Huber W. HTSeq—a Python framework to work with high-throughput sequencing data. *Bioinformatics*. 2015;31(2):166-169. doi:10.1093/bioinformatics/btu638
246. Love MI, Huber W, Anders S. Moderated estimation of fold change and dispersion for RNA-seq data with DESeq2. *Genome Biol.* 2014;15(12). doi:10.1186/s13059-014-0550-8
247. Eden E, Navon R, Steinfield I, Lipson D, Yakhini Z. GOrilla: A tool for discovery and visualization of enriched GO terms in ranked gene lists. *BMC Bioinformatics*. 2009;10(1):48. doi:10.1186/1471-2105-10-48
248. Mi H, Huang X, Muruganujan A, et al. PANTHER version 11: Expanded annotation data from Gene Ontology and Reactome pathways, and data analysis tool enhancements. *Nucleic Acids Res.* 2017;45(D1):D183-D189. doi:10.1093/nar/gkw1138
249. Langmead B, Salzberg SL. Fast gapped-read alignment with Bowtie 2. *Nature Methods*. 2012;9(4):357-359. doi:10.1038/nmeth.1923
250. Li H, Handsaker B, Wysoker A, et al. The Sequence Alignment/Map format and SAMtools. *Bioinformatics*. 2009;25(16):2078-2079. doi:10.1093/bioinformatics/btp352
251. Zhang Y, Liu T, Meyer CA, et al. Model-based Analysis of ChIP-Seq (MACS). *Genome Biology*. 2008;9(9):R137. doi:10.1186/gb-2008-9-9-r137
252. Heinz S, Benner C, Spann N, et al. Simple combinations of lineage-determining transcription factors prime cis-regulatory elements required for macrophage and B cell identities. *Mol Cell*. 2010;38(4):576-589. doi:10.1016/j.molcel.2010.05.004
253. Sharifi-Zarchi A, Gerovska D, Adachi K, et al. DNA methylation regulates discrimination of enhancers from promoters through a H3K4me1-H3K4me3 seesaw mechanism. *BMC Genomics*. 2017;18. doi:10.1186/s12864-017-4353-7
254. Aref-Eshghi E, Bend EG, Hood RL, et al. BAFopathies' DNA methylation epi-signatures demonstrate diagnostic utility and functional continuum of Coffin–Siris and Nicolaides–Baraitser syndromes. *Nature Communications*. 2018;9(1):4885. doi:10.1038/s41467-018-07193-y
255. Gabory A, Jammes H, Dandolo L. The H19 locus: Role of an imprinted non-coding RNA in growth and development. *Bioessays*. 2010;32(6):473-480. doi:10.1002/bies.200900170

256. Han C-L, Ge M, Liu Y-P, et al. LncRNA H19 contributes to hippocampal glial cell activation via JAK/STAT signaling in a rat model of temporal lobe epilepsy. *J Neuroinflammation*. 2018;15(1):103. doi:10.1186/s12974-018-1139-z
257. Kallen AN, Zhou X-B, Xu J, et al. The Imprinted H19 LncRNA Antagonizes Let-7 MicroRNAs. *Mol Cell*. 2013;52(1). doi:10.1016/j.molcel.2013.08.027
258. Koyama Y. Functional alterations of astrocytes in mental disorders: Pharmacological significance as a drug target. *Front Cell Neurosci*. 2015;9. doi:10.3389/fncel.2015.00261
259. Higashimori H, Morel L, Huth J, et al. Astroglial FMRP-dependent translational down-regulation of mGluR5 underlies glutamate transporter GLT1 dysregulation in the fragile X mouse. *Hum Mol Genet*. 2013;22(10):2041-2054. doi:10.1093/hmg/ddt055
260. Liu XS, Wu H, Krzisch M, et al. Rescue of Fragile X Syndrome Neurons by DNA Methylation Editing of the FMR1 Gene. *Cell*. 2018;172(5):979-992.e6. doi:10.1016/j.cell.2018.01.012
261. Yang Q, Feng B, Zhang K, et al. Excessive astrocyte-derived neurotrophin-3 contributes to the abnormal neuronal dendritic development in a mouse model of fragile X syndrome. *PLoS Genet*. 2012;8(12):e1003172. doi:10.1371/journal.pgen.1003172
262. Sauvageau M, Goff LA, Lodato S, et al. Multiple knockout mouse models reveal lincRNAs are required for life and brain development. *eLife*. 2013;2. doi:10.7554/eLife.01749
263. Li L, Zhuang Y, Zhao X, Li X. Long Non-coding RNA in Neuronal Development and Neurological Disorders. *Front Genet*. 2019;9. doi:10.3389/fgene.2018.00744
264. Guo W, Tsujimura K, Otsuka I M, et al. VPA alleviates neurological deficits and restores gene expression in a mouse model of Rett syndrome. *PLoS ONE*. 2014;9(6):e100215. doi:10.1371/journal.pone.0100215
265. Livide G, Patriarchi T, Amenduni M, et al. GluD1 is a common altered player in neuronal differentiation from both MECP2-mutated and CDKL5-mutated iPS cells. *Eur J Hum Genet*. 2015;23(2):195-201. doi:10.1038/ejhg.2014.81
266. Qin L, Ma K, Wang Z-J, et al. Social deficits in Shank3 -deficient mouse models of autism are rescued by histone deacetylase (HDAC) inhibition. *Nature Neuroscience*. 2018;21(4):564. doi:10.1038/s41593-018-0110-8
267. Chory EJ, Kirkland JG, Chang C-Y, et al. Inhibition of a Selective SWI/SNF Function Synergizes with ATR Inhibitors in Cancer Cell Killing. *BioRxiv*. June 2019. doi:10.1101/660456

**Annexe I : Gènes différentiellement régulés dans les
fibroblastes ou LCLs d'individus porteurs de variants dans
SMARCC2, *TRRAP*, et *CHD3*.**

DEGs Fibros SMARCC2	Symbol	log2FoldChange	padj	p.L610P	p.N134D	CTL - 1	CTL - 2	CTL - 3	CTL - 4
ENSG00000002745	WNT16	-3.30036192	0.00159541	46	45	722	64	326	681
ENSG00000002746	HECW1	-3.29197247	0.00016541	40	33	321	513	508	88
ENSG00000003249	DBNDD1	-2.66798575	0.00632532	30	53	215	348	419	73
ENSG00000021645	NRXN3	4.09275461	0.00253113	14	259	2	6	17	7
ENSG00000044524	EPHA3	3.38170818	0.00215804	206	65	2	15	9	26
ENSG00000049540	ELN	4.26166254	4.86E-09	98206	101102	1180	6950	7139	5512
ENSG00000060140	STYK1	-2.22239111	0.00940238	16	41	139	83	122	188
ENSG00000069122	GPR116	4.62448736	0.00022242	37	37	1	3	1	1
ENSG00000070669	ASNS	2.05314323	0.00059786	9155	4532	1406	1710	1457	2023
ENSG00000077092	RARB	4.18878288	4.79E-07	379	314	10	10	9	47
ENSG00000077943	ITGA8	2.77747067	0.0007461	1024	3491	495	362	150	310
ENSG00000078081	LAMP3	3.92056377	0.00018085	48	58	2	2	2	8
ENSG00000088756	ARHGAP28	4.26589213	0.00028765	790	220	2	57	36	10
ENSG00000099864	PALM	3.43653078	7.76E-05	2104	646	88	260	101	59
ENSG00000101188	NTSR1	-6.86416353	0.00250752	3	4	308	75	1214	34
ENSG00000101670	LIPG	3.50396185	0.00016289	118	211	29	18	6	5
ENSG00000103449	SALL1	-2.09942114	0.00245475	87	125	237	552	515	513
ENSG00000105664	COMP	3.5742729	0.00681206	19337	2312	883	676	1967	109
ENSG00000106031	HOXA13	-4.3471595	0.00152098	2	15	83	323	271	15
ENSG00000107623	GDF10	4.78135512	0.00183208	161	4	2	3	6	1
ENSG00000108602	ALDH3A1	-4.56332608	0.0022302	1	6	136	5	118	72
ENSG00000110203	FOLR3	-3.91832415	0.00183208	12	55	1130	45	503	348
ENSG00000111341	MGP	4.79344338	2.72E-05	522	1336	51	8	72	3
ENSG00000111907	TPD52L1	2.95989316	1.00E-07	1184	1512	198	108	246	141
ENSG00000112559	MDFI	4.12337981	0.00115412	107	15	4	6	3	1
ENSG00000114200	BCHE	3.45317124	0.00163013	49	66	4	12	4	1
ENSG00000114270	COL7A1	-2.01919461	0.00317099	1461	1236	4445	9110	3813	4497

ENSG00000114315	HES1	2.42146374	0.00104444	454	746	145	57	82	164
ENSG00000115380	EFEMP1	4.3477743	2.38E-09	88459	34036	1329	5257	1718	3728
ENSG00000115602	IL1RL1	3.11839394	0.00065623	99	66	10	4	6	18
ENSG00000115604	IL18R1	6.23405279	1.55E-15	271	143	3	1	5	2
ENSG00000116183	PAPPA2	3.37496485	0.00031247	1018	201	39	26	102	68
ENSG00000117069	ST6GALNAC5	-3.05256591	0.00012899	113	143	735	666	2233	614
ENSG00000120875	DUSP4	-3.50103623	0.00016289	90	157	1830	2738	523	502
ENSG00000123892	RAB38	-3.39940305	0.0074207	11	18	13	269	185	145
ENSG00000126218	F10	-2.16053474	0.00016289	282	386	2125	1191	1357	1300
ENSG00000128655	PDE11A	-3.33627995	0.00628205	10	15	155	13	171	166
ENSG00000130487	KLHDC7B	4.06300748	0.00066953	97	20	2	2	3	7
ENSG00000130595	TNNT3	4.64385091	0.00327043	32	18	1	1	1	1
ENSG00000130600	H19	7.44905184	7.18E-43	3329	2350	11	14	30	10
ENSG00000136928	GABBR2	-3.29594004	0.00754882	184	267	1808	311	5774	966
ENSG00000137203	TFAP2A	-3.63055504	0.00184572	25	84	655	1558	98	389
ENSG00000137975	CLCA2	-3.69812152	0.00388446	5	19	330	18	116	159
ENSG00000138207	RBP4	3.29123016	0.00118098	65	28	5	5	4	5
ENSG00000138378	STAT4	2.18249009	0.00990217	791	564	168	51	186	192
ENSG00000138678	AGPAT9	-2.70257015	0.00754882	12	40	67	118	235	257
ENSG00000138792	ENPEP	2.55829424	0.00317099	108	160	11	39	27	14
ENSG00000139269	INHBE	3.68588941	0.00483663	123	25	4	14	4	1
ENSG00000139289	PHLDA1	-2.19097791	0.00103169	1942	2865	6736	15015	14208	7940
ENSG00000139629	GALNT6	-2.37092358	0.00074044	873	392	1783	3103	4182	4019
ENSG00000139970	RTN1	3.74284077	0.00049122	30	298	11	20	9	9
ENSG00000141576	RNF157	-3.18475778	0.0003665	14	29	91	223	360	108
ENSG00000142910	TINAGL1	3.6264122	0.00204375	634	3497	84	127	419	39
ENSG00000144152	FBLN7	-2.24297753	0.0022302	204	211	461	1565	1019	884
ENSG00000145936	KCNMB1	5.10153241	0.00089237	6	97	1	2	1	2
ENSG00000147509	RGS20	-2.27403186	0.0082856	45	102	153	493	429	347

ENSG00000148677	ANKRD1	3.87191635	0.00010879	1581	11032	388	164	295	876
ENSG00000149968	MMP3	-2.55929666	0.00127289	942	509	5274	1532	4128	6171
ENSG00000152580	IGSF10	3.33552198	2.99E-05	541	312	31	40	82	16
ENSG00000154556	SORBS2	3.503486	0.00088005	799	664	73	30	10	145
ENSG00000156218	ADAMTSL3	4.14683953	4.29E-05	66	58	1	6	6	1
ENSG00000156466	GDF6	4.0314539	0.0003906	2792	871	9	185	67	187
ENSG00000156475	PPP2R2B	-4.27696507	0.00068063	6	16	582	30	118	123
ENSG00000162552	WNT4	4.19703444	0.00115505	300	76	28	1	10	2
ENSG00000162692	VCAM1	3.98088999	9.35E-07	70	80	6	5	6	2
ENSG00000162981	FAM84A	-4.60287862	0.0003516	7	8	246	277	199	7
ENSG00000164106	SCRG1	5.43740346	9.30E-13	268	187	12	1	4	4
ENSG00000164684	ZNF704	4.05726655	2.80E-11	292	299	11	30	19	11
ENSG00000164764	SBSPON	5.50461587	1.52E-05	15	212	4	4	1	1
ENSG00000165061	ZMAT4	4.9514538	2.03E-07	215	48	1	4	5	7
ENSG00000165105	RASEF	-3.37696765	2.93E-05	5	13	70	99	131	74
ENSG00000165617	DACT1	3.88532365	5.54E-12	6917	2644	305	249	295	445
ENSG00000166473	PKD1L2	-3.46446472	0.00049122	5	8	38	100	108	41
ENSG00000167941	SOST	5.87035674	0.00028536	6	111	1	1	1	1
ENSG00000168209	DDIT4	2.48556311	0.00118098	6789	1693	705	603	949	772
ENSG00000170571	EMB	-3.61579502	0.00787264	6	48	375	493	430	26
ENSG00000170893	TRH	4.68182035	0.00023948	53	24	2	1	1	2
ENSG00000172201	ID4	3.25082245	0.00041126	2421	1320	50	108	310	318
ENSG00000177133	LINC00982	3.75488562	0.00089947	31	50	4	5	1	2
ENSG00000177990	DPY19L2	-2.33847772	0.00835597	21	57	128	335	171	155
ENSG00000178184	PARD6G	-2.10132045	3.21E-05	153	170	614	833	587	738
ENSG00000178662	CSRNP3	-3.02384485	0.00118098	6	9	70	54	87	33
ENSG00000178919	FOXE1	5.91886033	9.34E-11	89	637	3	12	6	3
ENSG00000179772	FOXS1	4.63226406	0.00068063	36	26	1	1	1	2
ENSG00000180332	KCTD4	-3.85085201	0.00262301	3	18	62	29	202	313

ENSG00000182389	CACNB4	3.52222621	1.88E-07	270	270	42	11	18	23
ENSG00000183770	FOXL2	-2.52842087	0.00618732	70	149	592	284	1233	418
ENSG00000184005	ST6GALNAC3	3.50733999	0.00552186	65	134	2	19	13	1
ENSG00000185338	SOCS1	-2.56432084	0.00586859	37	51	167	442	336	96
ENSG00000186352	ANKRD37	2.35269762	0.00010891	287	566	67	93	93	81
ENSG00000189056	RELN	3.71665191	0.00033884	846	541	16	141	19	35
ENSG00000196436	NPIPBP15	-4.37068496	1.93E-07	3	5	75	87	74	95
ENSG00000196562	SULF2	2.3732263	0.00734394	6081	1820	816	334	990	910
ENSG00000198597	ZNF536	-2.5986353	0.00521502	87	158	760	537	1414	257
ENSG00000204176	SYT15	3.536052	0.00032627	357	339	4	64	30	22
ENSG00000213025	COX20P1	4.75001715	0.00213289	5	143	3	6	1	1
ENSG00000231924	PSG1	-3.77555308	0.00028765	22	55	188	140	709	1072
ENSG00000236453	AC003092.1	-2.69487836	0.00740532	11	9	111	41	69	38
ENSG00000254353	RP11-195E2.4	-3.2684865	0.00157488	4	7	31	56	86	39
ENSG00000257453	RP11-290L1.3	-2.41740703	0.00964018	8	11	39	69	52	43
ENSG00000261786	RP4-555D20.2	-2.24265603	0.00658898	446	781	1798	2781	5290	1745
ENSG00000268894	PLCE1-AS1	3.86673204	0.00022678	73	299	7	6	7	31

DEGs Fibros TRRAP	Symbol	log2FoldChange	padj	p.W186 6C	p.W186 6C	p.L805F	p.L805F	CTL-1	CTL-1	CTL-2	CTL-2
ENSG00000152726	FAM21B	5.56390033	1.16E-45	205.060 967	199.404 112	203.646 753	161.220 346	2.12132 034	7.77817 459	2.82842 713	3.53553 391
ENSG00000121361	KCNJ8	3.95235454	1.43E-40	435.577 777	434.163 564	565.685 425	502.045 815	16.9705 628	43.1335 137	27.5771 645	37.4766 594
ENSG00000162599	NFIA	2.28818792	3.81E-29	305.470 13	285.671 14	411.536 147	371.938 167	74.2462 12	67.8822 51	77.0746 392	62.2253 967
ENSG00000115828	QPCT	2.24871311	1.39E-26	1067.73 124	1036.61 854	772.160 605	695.793 073	172.534 055	210.717 821	192.333 045	176.069 589
ENSG00000150594	ADRA2A	2.70573871	1.52E-25	831.557 575	789.131 168	1279.86 327	1149.75 563	132.936 075	204.353 86	136.471 609	147.078 211
ENSG00000137486	ARRB1	2.26151662	9.78E-25	319.612 265	295.570 635	251.730 014	207.889 394	60.1040 764	56.5685 425	58.6898 628	48.7903 679
ENSG00000131002	TXLNG2P	-6.59120785	1.02E-22	1.41421 356	1.41421 356	1.41421 356	4.24264 069	176.776 695	236.880 772	180.312 229	224.152 85
ENSG00000176435	CLEC14A	3.38285699	2.14E-21	183.847 763	173.948 268	203.646 753	190.918 831	10.6066 017	22.6274 17	10.6066 017	28.2842 713
ENSG00000205664	RP11-706O15.1	2.07800254	2.14E-20	110.308 658	110.308 658	125.865 658	24.0416 007	28.2842 306	27.5771 713	27.5771 645	28.2842 713
ENSG00000096696	DSP	2.72168931	4.61E-16	15562.0 06	18632.2 637	8297.19 097	8700.24 184	1584.62 63	2308.70 364	1781.20 198	2085.96 501
ENSG00000255644	RP11-59N23.1	3.59515798	4.62E-16	59.3969 696	91.9238 816	127.279 221	123.036 58	7.07106 781	9.89949 494	4.24264 069	12.0208 153
ENSG00000120915	EPHX2	2.61759349	6.83E-16	87.6812 409	100.409 163	131.521 861	123.036 58	24.0416 306	16.2634 56	20.5060 967	11.3137 085
ENSG00000100077	ADRBK2	2.45251219	1.77E-14	79.1959 595	79.1959 595	66.4680 374	69.2964 646	13.4350 288	9.89949 494	19.0918 831	11.3137 085
ENSG00000169851	PCDH7	3.08746279	5.41E-14	394.565 584	371.938 167	197.989 899	189.504 617	19.0918 831	44.5477 272	29.6984 848	42.4264 069
ENSG00000069431	ABCC9	4.22214792	6.10E-14	961.665 222	1023.89 062	1859.69 084	1723.92 633	26.1629 509	129.400 541	33.9411 255	108.894 444

ENSG000002	RP11-57022	4.1351587	7.57E-13	41.0121	28.2842	57.9827	46.6690	1.41421	3.53553	1.41421	3.53553
				933	713	561	476	356	391	356	391
ENSG000001	BST1	2.04036859	8.08E-13	899.439	872.569	1139.85	1137.02	291.327	193.040	330.925	168.998
				826	768	613	77	994	151	974	521
ENSG000002	GTF2H2B	3.51096145	2.20E-12	26.8700	43.8406	43.8406	46.6690	4.24264	3.53553	4.24264	2.12132
				577	204	204	476	069	391	069	034
ENSG000001	STAC	2.35888594	4.35E-12	360.624	370.523	608.111	478.004	110.308	60.1040	120.208	63.6396
				458	953	832	184	658	764	153	103
ENSG000001	ROBO2	-5.26223277	6.33E-12	7.07106	11.3137	15.5563	12.7279	113.844	823.779	115.258	738.219
				781	085	492	221	192	4	405	48
ENSG000000	CHRD	3.14345256	2.19E-11	101.823	96.1665	76.3675	69.2964	3.53553	16.9705	6.36396	12.0208
				377	222	324	646	391	628	103	153
ENSG000002	RP3-61189	2.71706595	3.83E-11	103.237	103.237	80.6101	52.3259	17.6776	15.5563	11.3137	7.07106
				59	59	731	018	695	492	085	781
ENSG000001	RAP1GAP2	2.99999974	5.00E-11	36.7695	32.5269	39.5979	38.1837	7.07106	4.94974	3.53553	2.82842
				526	119	798	662	781	747	391	713
ENSG000002	SP9	4.93073586	5.93E-11	533.158	602.454	96.1665	62.2253	7.07106	13.4350	12.0208	9.89949
				513	978	222	967	781	288	153	494
ENSG000001	HHIP	2.1324503	6.05E-11	48.0832	66.4680	52.3259	74.9533	15.5563	13.4350	13.4350	12.7279
				611	374	018	188	492	288	288	221
ENSG000002	RP11-30623	2.98935251	9.70E-11	55.1543	38.1837	66.4680	31.1126	6.36396	4.94974	7.77817	4.94974
				289	662	374	984	103	747	459	747
ENSG000002	SLC9A7P1	2.10218042	2.02E-10	89.0954	94.7523	69.2964	77.7817	11.3137	26.1629	21.2132	18.3847
				544	087	646	459	085	509	034	763
ENSG000002	RP11-34449	4.53915701	3.19E-10	36.7695	48.0832	18.3847	28.2842	1.41421	1.41421	1.41421	1.41421
				526	611	763	713	356	356	356	356
ENSG000001	GUCY1A2	2.23653665	3.28E-10	159.806	111.722	165.462	142.835	31.8198	21.9203	48.7903	20.5060
				133	871	987	57	052	102	679	967
ENSG000001	HRCT1	2.09953569	5.77E-10	72.1248	65.0538	62.2253	55.1543	9.89949	21.2132	15.5563	12.7279
				917	239	967	289	494	034	492	221
ENSG000001	LRRN1	5.36256718	8.95E-10	138.592	213.546	29.6984	25.4558	1.41421	2.82842	4.24264	1.41421
				929	248	848	441	356	713	069	356

ENSG000001 34247	PTGFRN	2.86391972	1.04E-09	1562.70 599	1455.22 576	3054.70 13	2534.27 07	391.030 05	178.190 909	464.569 155	148.492 424
ENSG000001 27928	GNGT1	2.5161635	1.26E-09	164.048 773	192.333 045	91.9238 816	101.823 377	20.5060 967	30.4055 916	13.4350 288	31.8198 052
ENSG000001 98807	PAX9	2.39854929	8.22E-09	39.5979 798	57.9827 561	35.3553 391	31.1126 984	9.19238 816	7.07106 781	7.77817 459	7.07106 781
ENSG000001 24134	KCNS1	2.19264511	8.73E-09	141.421 356	145.663 997	66.4680 374	76.3675 324	20.5060 967	26.8700 577	26.1629 509	20.5060 967
ENSG000002 68241	AC018470. 1	4.76249879	1.11E-08	287.085 353	308.298 557	53.7401 154	22.6274 17	7.07106 781	8.48528 137	3.53553 391	5.65685 425
ENSG000001 51883	PARP8	5.17592124	1.34E-08	466.690 476	449.719 913	57.9827 561	48.0832 611	12.7279 221	2.82842 713	10.6066 017	2.12132 034
ENSG000002 21955	SLC12A8	2.23731597	1.79E-08	295.570 635	321.026 479	229.102 597	207.889 394	72.1248 917	34.6482 323	84.1457 07	32.5269 119
ENSG000001 06789	CORO2A	2.24051698	1.94E-08	113.137 085	142.835 57	65.0538 239	56.5685 425	19.7989 899	19.7989 899	19.0918 831	21.2132 034
ENSG000001 13504	SLC12A7	2.15560544	2.03E-08	379.009 235	408.707 72	182.433 55	164.048 773	62.9325 035	74.2462 12	59.3969 696	57.9827 561
ENSG000002 40747	KRBOX1	2.4027591	2.03E-08	49.4974 747	41.0121 933	48.0832 611	82.0243 866	13.4350 288	7.77817 459	13.4350 288	7.07106 781
ENSG000001 05963	ADAP1	2.2052581	2.29E-08	124.450 794	134.350 288	84.8528 137	50.9116 883	20.5060 967	26.1629 509	19.0918 831	19.7989 899
ENSG000001 79841	AKAP5	2.39231736	2.31E-08	59.3969 696	67.8822 51	65.0538 239	45.2548 34	14.8492 424	5.65685 425	16.9705 628	7.77817 459
ENSG000001 82272	B4GALNT4	2.83310258	2.57E-08	100.409 163	103.237 59	222.031 529	173.948 268	12.0208 153	25.4558 441	10.6066 017	36.0624 458
ENSG000001 25378	BMP4	2.21900975	4.40E-08	56.5685 425	48.0832 611	50.9116 883	45.2548 34	13.4350 288	6.36396 103	16.2634 56	7.07106 781
ENSG000001 63701	IL17RE	2.27008924	4.44E-08	263.043 723	336.582 828	147.078 211	123.036 58	53.0330 086	38.8908 73	55.1543 289	33.2340 187
ENSG000001 05825	TFPI2	2.09406577	6.41E-08	4876.20 836	5594.62 885	2151.01 883	2322.13 867	717.713 383	1011.86 98	785.595 634	984.999 746

ENSG000001 23243	ITIH5	-4.13876045	1.13E-07	2.82842	1.41421	19.7989	12.7279	236.880	79.9030	256.679	74.2462
ENSG000001 70421	KRT8	2.55323495	1.37E-07	271.529	302.641	934.795	844.285	86.2670	123.036	80.6101	111.015
ENSG000001 82013	PNMAL1	2.58204501	1.80E-07	94.7523	100.409	250.315	253.144	18.3847	39.5979	21.2132	37.4766
ENSG000002 35655	H3F3AP4	2.18442467	2.36E-07	168.291	190.918	263.043	261.629	63.6396	24.7487	74.2462	31.8198
ENSG000002 03721	LINC00862	2.02783422	2.63E-07	62.2253	57.9827	52.3259	49.4974	16.9705	10.6066	19.7989	7.07106
ENSG000001 71631	P2RY6	3.45066047	2.80E-07	38.1837	43.8406	15.5563	18.3847	4.24264	2.12132	1.41421	2.82842
ENSG000001 11341	MGP	3.18844446	2.88E-07	43.8406	57.9827	90.5096	84.8528	7.07106	4.24264	16.9705	2.12132
ENSG000001 62620	LRRIQ3	2.83007457	3.30E-07	18.3847	22.6274	25.4558	24.0416	1.41421	4.24264	3.53553	3.53553
ENSG000000 67141	NEO1	2.74127473	3.31E-07	7659.38	8582.86	2684.17	2572.45	488.610	1158.24	523.259	1045.10
ENSG000001 18276	B4GALT6	2.59484402	3.81E-07	295.570	295.570	115.965	121.622	45.9619	21.9203	49.4974	19.7989
ENSG000002 37510	AC008268. 2	3.06228367	4.18E-07	39.5979	22.6274	21.2132	16.9705	3.53553	2.12132	4.24264	2.12132
ENSG000001 82993	C12orf60	2.00000001	4.68E-07	49.4974	35.3553	76.3675	56.5685	16.9705	9.19238	14.8492	13.4350
ENSG000002 68658	LINC00664	-2.0246616	4.80E-07	11.3137	8.48528	9.89949	11.3137	43.8406	47.3761	35.3553	40.3050
ENSG000001 64530	PI16	3.92439372	4.86E-07	111.722	104.651	1138.44	931.966	42.4264	33.2340	42.4264	32.5269
ENSG000000 06432	MAP3K9	3.56187788	5.50E-07	67.8822	69.2964	22.6274	15.5563	2.82842	5.65685	2.12132	4.24264
ENSG000001 76485	PLA2G16	2.53098493	1.20E-06	295.570	347.896	173.948	147.078	20.5060	58.6898	21.9203	65.7609
				635	536	268	211	967	628	102	307

ENSG000001	VAX2	2.20328357	1.48E-06	76.3675	80.6101	43.8406	46.6690	13.4350	17.6776	16.9705	5.65685
16035				324	731	204	476	288	695	628	425
ENSG000001	EMB	8.38520896	1.90E-06	2026.56	1981.31	7.07106	4.24264	2.12132	2.12132	4.94974	2.82842
70571				804	32	781	069	034	034	747	713
ENSG000001	GPAT2	3.08048974	2.22E-06	366.281	432.749	145.663	149.906	57.9827	12.0208	45.9619	13.4350
86281				313	35	997	638	561	153	408	288
ENSG000001	SPTBN2	4.27462045	2.37E-06	183.847	202.232	25.4558	12.7279	3.53553	3.53553	7.07106	7.77817
73898				763	539	441	221	391	391	781	459
ENSG000001	GOS2	3.82516477	2.54E-06	76.3675	121.622	14.1421	18.3847	3.53553	4.24264	2.82842	5.65685
23689				324	366	356	763	391	069	713	425
ENSG000001	CYP11A1	3.19877912	2.57E-06	16.9705	15.5563	67.8822	42.4264	3.53553	4.24264	4.24264	3.53553
40459				628	492	51	069	391	069	069	391
ENSG000001	GBP2	2.26716605	2.65E-06	605.283	540.229	1077.63	1139.85	90.5096	272.943	101.116	234.052
62645				405	581	074	613	68	218	27	345
ENSG000002	RP11-	5.02236336	3.26E-06	91.9238	77.7817	5.65685	8.48528	1.41421	1.41421	1.41421	1.41421
72763	357H14.17			816	459	425	137	356	356	356	356
ENSG000001	FAM198B	2.69603697	3.61E-06	3184.80	3098.54	704.278	646.295	274.357	308.298	291.327	304.055
64125				894	192	354	598	431	557	994	916
ENSG000000	EBF4	2.19703675	3.63E-06	42.4264	29.6984	32.5269	28.2842	5.65685	4.94974	12.7279	5.65685
88881				069	848	119	713	425	747	221	425
ENSG000002	RP11-	3.23703824	4.07E-06	36.7695	26.8700	21.2132	8.48528	2.12132	2.12132	3.53553	2.12132
30438	420G6.4			526	577	034	137	034	034	391	034
ENSG000001	DYSF	4.32438385	4.24E-06	1111.57	1255.82	63.6396	62.2253	31.1126	21.9203	45.9619	25.4558
35636				186	164	103	967	984	102	408	441
ENSG000001	KRT18	2.78783932	4.78E-06	510.531	554.371	1848.37	1603.71	79.1959	265.872	88.3883	220.617
11057				096	717	713	818	595	15	477	316
ENSG000001	ALDH5A1	2.30281931	4.80E-06	183.847	193.747	79.1959	73.5391	17.6776	37.4766	16.9705	35.3553
12294				763	258	595	052	695	594	628	391
ENSG000001	APOD	-2.69116085	5.11E-06	4.24264	7.07106	1.41421	4.24264	29.6984	27.5771	31.1126	21.2132
89058				069	781	356	069	848	645	984	034
ENSG000001	SRGAP3	2.13565507	5.84E-06	66.4680	42.4264	70.7106	41.0121	12.0208	9.19238	21.9203	7.07106
96220				374	069	781	933	153	816	102	781

ENSG000002	PCDHA7	2.79908682	8.19E-06	43.8406	45.2548	15.5563	18.3847	2.82842	7.07106	3.53553	4.24264
04963				204	34	492	763	713	781	391	069
ENSG000001	SLC2A12	2.10764078	9.13E-06	158.391	152.735	69.2964	52.3259	18.3847	26.1629	22.6274	33.2340
46411				919	065	646	018	763	509	17	187
ENSG000002	AC107016.	2.44513944	9.26E-06	39.5979	59.3969	104.651	115.965	9.19238	16.2634	7.77817	25.4558
25410	1			798	696	804	512	816	56	459	441
ENSG000001	C3orf80	2.74322411	9.36E-06	12.7279	22.6274	43.8406	29.6984	4.94974	5.65685	3.53553	2.12132
80044				221	17	204	848	747	425	391	034
ENSG000001	NSG1	3.25633931	1.67E-05	312.541	366.281	84.8528	87.6812	38.8908	8.48528	34.6482	7.07106
68824				197	313	137	409	73	137	323	781
ENSG000002	RP11-	5.34576883	2.13E-05	166.877	169.705	7.07106	1.41421	1.41421	1.41421	2.12132	3.53553
24114	343H5.4			2	628	781	356	356	356	034	391
ENSG000001	ESYT3	2.30932797	2.17E-05	101.823	76.3675	31.1126	32.5269	8.48528	16.9705	10.6066	12.7279
58220				377	324	984	119	137	628	017	221
ENSG000001	CDA	2.58644611	2.74E-05	520.430	620.839	125.865	108.894	65.0538	62.9325	50.9116	50.2045
58825				591	754	007	444	239	035	883	815
ENSG000002	RP11-	2.38102546	2.89E-05	603.869	579.827	142.835	135.764	69.2964	73.5391	70.0035	67.8822
48429	597D13.9			191	561	57	502	646	052	713	51
ENSG000001	PYGL	2.03053113	3.22E-05	4442.04	4347.29	1511.79	1315.21	552.957	873.276	591.848	825.193
00504				48	249	43	861	503	875	376	614
ENSG000002	FAHD2CP	2.24152658	3.41E-05	91.9238	144.249	70.7106	50.9116	27.5771	8.48528	27.5771	12.0208
31584				816	783	781	883	645	137	645	153
ENSG000001	DNAH10	2.96729591	3.48E-05	159.806	128.693	1110.15	1006.92	74.2462	79.9030	86.2670	67.1751
97653				133	434	765	006	12	663	273	442
ENSG000001	CCDC68	-3.90688597	3.53E-05	7.07106	4.24264	1.41421	8.48528	29.6984	152.735	11.3137	124.450
66510				781	069	356	137	848	065	085	794
ENSG000001	HOXC10	7.35586129	3.58E-05	3412.49	3859.38	15.5563	9.89949	19.7989	2.82842	18.3847	3.53553
80818				733	881	492	494	899	713	763	391
ENSG000001	NUP210	3.9205636	4.38E-05	135.764	138.592	14.1421	11.3137	8.48528	2.82842	2.12132	6.36396
32182				502	929	356	085	137	713	034	103
ENSG000000	CYP24A1	7.00373657	5.82E-05	2.82842	1.41421	616.597	468.104	2.12132	2.12132	2.12132	2.12132
19186				713	356	113	689	034	034	034	034

ENSG000001	LPPR4	2.73335435	5.88E-05	461.033	509.116	76.3675	82.0243	44.5477	43.1335	46.6690	35.3553
17600				621	883	324	866	272	137	476	391
ENSG000002	RP11-50159	2.30812199	6.25E-05	14.1421	12.7279	24.0416	22.6274	4.24264	3.53553	2.82842	4.24264
	381K20.2			356	221	306	17	069	391	713	069
ENSG000002	CTD-67650	2.19347976	6.42E-05	60.8111	26.8700	142.835	118.793	21.2132	19.7989	16.9705	18.3847
	2553C6.1			832	577	57	939	034	899	628	763
ENSG000001	ZNF257	3.64385421	6.46E-05	7.07106	8.48528	43.8406	46.6690	2.12132	1.41421	3.53553	1.41421
97134				781	137	204	476	034	356	391	356
ENSG000001	RASGRP1	2.75429995	6.48E-05	41.0121	28.2842	179.605	185.261	16.9705	20.5060	16.2634	10.6066
72575				933	713	122	977	628	967	56	017
ENSG000001	HOXC11	7.15985471	6.67E-05	654.780	756.604	2.82842	1.41421	2.12132	1.41421	4.24264	2.12132
23388				879	256	713	356	034	356	069	034
ENSG000002	KRBOX1-06552	2.38827033	6.76E-05	16.9705	19.7989	31.1126	57.9827	7.77817	3.53553	6.36396	6.36396
	AS1			628	899	984	561	459	391	103	103
ENSG000001	GALNT18	2.23379707	7.37E-05	22.6274	29.6984	66.4680	60.8111	7.07106	15.5563	5.65685	9.89949
10328				17	848	374	832	781	492	425	494
ENSG000001	NR3C2	2.8160368	7.41E-05	154.149	145.663	26.8700	26.8700	12.0208	11.3137	17.6776	9.19238
51623				278	997	577	577	153	085	695	816
ENSG000001	OCIAD2	2.0108886	8.13E-05	578.413	586.898	179.605	159.806	93.3380	81.3172	103.944	94.7523
45247				347	628	122	133	951	798	697	087
ENSG000002	POLRMTP1	2.04064187	8.15E-05	18.3847	31.1126	24.0416	28.2842	5.65685	10.6066	3.53553	4.94974
66066				763	984	306	713	425	017	391	747
ENSG000002	HOTAIR	7.15175996	8.50E-05	528.915	473.761	1.41421	1.41421	1.41421	1.41421	2.82842	1.41421
28630				872	543	356	356	356	356	713	356
ENSG000001	BANK1	2.72513976	8.66E-05	89.0954	98.9949	25.4558	15.5563	9.89949	8.48528	10.6066	5.65685
53064				544	494	441	492	494	137	017	425
ENSG000002	AC018804.	3.20789203	8.83E-05	145.663	145.663	18.3847	16.9705	5.65685	9.19238	9.89949	10.6066
13225	7			997	997	763	628	425	816	494	017
ENSG000000	NRXN3	4.1292799	9.51E-05	72.1248	63.6396	2.82842	9.89949	3.53553	2.12132	1.41421	1.41421
21645				917	103	713	494	391	034	356	356
ENSG000001	SOX6	3.11839386	0.000106	84.8528	110.308	15.5563	22.6274	12.7279	2.82842	7.07106	4.24264
10693			1	137	658	492	17	221	713	781	069

ENSG000000	COL5A3	2.20571293	0.000108	661.851	537.401	2709.63	2252.84	255.265	405.172	325.976	349.310
80573				12	947	154	319	221	548	186	226
ENSG000001	SCRG1	2.20645071	0.000110	12.7279	25.4558	46.6690	42.4264	7.77817	9.19238	4.94974	5.65685
64106				42	221	441	476	069	459	816	747
ENSG000002	RP1-	2.15457701	0.000110	31.1126	48.0832	104.651	80.6101	19.0918	9.19238	22.6274	8.48528
60604	140K8.5			58	984	611	804	731	831	816	17
ENSG000001	ST6GALNA	3.18057124	0.000113	24.0416	11.3137	76.3675	80.6101	9.19238	3.53553	7.07106	1.41421
84005	C3			16	306	085	324	731	816	391	781
ENSG000001	ZCCHC5	2.94110551	0.000113	11.3137	11.3137	56.5685	56.5685	5.65685	3.53553	3.53553	4.94974
79300				54	085	085	425	425	425	391	391
ENSG000002	RP4-	2.13245009	0.000122	12.7279	28.2842	16.9705	22.6274	5.65685	5.65685	3.53553	3.53553
28035	663N10.1			58	221	713	628	17	425	425	391
ENSG000000	PITX1	3.43841295	0.000122	299.813	294.156	38.1837	42.4264	19.7989	3.53553	30.4055	8.48528
69011				96	275	421	662	069	899	391	916
ENSG000001	SCUBE3	2.54980651	0.000140	10581.1	10818.7	2037.88	2245.77	1428.35	743.876	1612.91	601.040
46197				6	459	338	174	114	57	334	057
ENSG000001	APOE	2.70171449	0.000149	188.090	148.492	35.3553	28.2842	11.3137	24.0416	10.6066	15.5563
30203				52	404	424	391	713	085	306	017
ENSG000001	WNT7B	5.82577679	0.000152	4.24264	7.07106	479.418	511.945	4.24264	2.82842	7.77817	2.82842
88064				28	069	781	398	31	069	713	459
ENSG000002	HLA-F	2.01335853	0.000155	207.889	230.516	96.1665	79.1959	19.0918	57.2756	27.5771	48.0832
04642				04	394	811	222	595	831	493	645
ENSG000001	LDB3	3.01559591	0.000157	55.1543	53.7401	7.07106	15.5563	4.94974	2.12132	4.24264	4.94974
22367				23	289	154	781	492	747	034	069
ENSG000001	ALPL	2.74075666	0.000158	21.2132	12.7279	79.1959	66.4680	7.77817	5.65685	9.89949	3.53553
62551				04	034	221	595	374	459	425	494
ENSG000002	CTD-	2.71881762	0.000161	43.8406	43.8406	9.89949	14.1421	4.24264	4.94974	2.12132	5.65685
54429	2562J17.7			02	204	204	494	356	069	747	034
ENSG000002	DNAH100	2.37808812	0.000163	63.6396	100.409	401.636	397.394	43.8406	54.4472	41.0121	45.9619
50091	S			81	103	163	652	011	204	222	933
ENSG000001	SFRP4	2.88752442	0.000164	36.7695	45.2548	15.5563	7.07106	2.82842	3.53553	5.65685	2.12132
06483				27	526	34	492	781	713	391	425
											034

ENSG000002	AC093627.	2.7655338	0.000170	12.7279	14.1421	12.7279	8.48528	2.12132	1.41421	1.41421	2.12132
42611	8			14	221	356	221	137	034	356	356
ENSG000001	FAM101A	2.82244892	0.000174	1363.30	1446.74	212.132	239.002	160.513	68.5893	176.776	55.1543
78882				82	187	047	034	092	239	578	695
ENSG000002	HOXC-AS3	6.29276922	0.000193	357.796	468.104	1.41421	4.24264	4.94974	1.41421	2.12132	2.12132
51151				07	031	689	356	069	747	356	034
ENSG000001	SPINT1	2.80735391	0.000194	16.9705	7.07106	12.7279	12.7279	2.12132	1.41421	1.41421	2.12132
66145				64	628	781	221	221	034	356	356
ENSG000002	KB-226F1.1	2.85414816	0.000195	26.8700	21.2132	11.3137	7.07106	2.82842	1.41421	3.53553	1.41421
72955				31	577	034	085	781	713	356	391
ENSG000001	MPZ	2.30256258	0.000195	59.3969	62.2253	18.3847	16.9705	5.65685	7.77817	8.48528	9.89949
58887				72	696	967	763	628	425	459	137
ENSG000001	C10orf35	3.34169004	0.000198	89.0954	91.9238	14.1421	12.7279	9.19238	2.12132	7.07106	2.12132
71224				62	544	816	356	221	816	034	781
ENSG000001	BEAN1	2.46712549	0.000199	12.7279	8.48528	18.3847	26.8700	3.53553	2.82842	2.82842	2.82842
66546				05	221	137	763	577	391	713	713
ENSG000001	SIM2	3.01885823	0.000200	94.7523	94.7523	18.3847	9.89949	4.94974	9.19238	4.94974	7.77817
59263				53	087	087	763	494	747	816	747
ENSG000002	RP11-24149	4.97727331	0.000200	1.41421	1.41421	89.0954	86.2670	1.41421	1.41421	1.41421	1.41421
	510C10.3			85	356	356	544	273	356	356	356
ENSG000001	SGIP1	2.57324556	0.000202	1784.73	1831.40	265.872	280.014	201.525	140.007	197.989	159.806
18473				69	752	656	15	285	433	143	899
ENSG000001	ANO4	2.36415626	0.000217	87.6812	118.793	87.6812	73.5391	5.65685	31.8198	5.65685	28.2842
51572				78	409	939	409	052	425	052	425
ENSG000001	LAMB3	2.8538112	0.000229	1077.63	999.848	142.835	100.409	56.5685	103.944	67.8822	92.6309
96878				82	074	989	57	163	425	697	51
ENSG000001	PLEKHA7	2.05794729	0.000243	56.5685	63.6396	22.6274	36.7695	7.77817	12.7279	4.94974	17.6776
66689				3	425	103	17	526	459	221	747
ENSG000002	RP11-34665	2.69187688	0.000244	21.2132	19.7989	7.07106	11.3137	3.53553	1.41421	2.12132	2.12132
	262H14.3			36	034	899	781	085	391	356	034
ENSG000001	ATP1A3	3.24792663	0.000247	127.279	255.972	25.4558	21.2132	6.36396	19.0918	4.94974	14.8492
05409				92	221	655	441	034	103	831	747
											424

ENSG000001	LHX8	6.46193723	0.000255	1.41421	1.41421	427.092	380.423	2.12132	2.12132	3.53553	1.41421	
62624				6	356	356	496	448	034	034	391	356
ENSG000001	SLC16A6	-4.87172341	0.000273	4.24264	4.24264	1.41421	2.82842	4.24264	183.847	2.12132	182.433	
08932				87	069	069	356	713	069	763	034	55
ENSG000002	CLDN23	2.5670401	0.000278	16.9705	9.89949	49.4974	36.7695	2.12132	7.07106	4.94974	4.94974	
53958				14	628	494	747	526	034	781	747	747
ENSG000001	SGCA	2.05444759	0.000286	21.2132	9.89949	22.6274	22.6274	4.94974	4.94974	5.65685	2.82842	
08823				23	034	494	17	17	747	747	425	713
ENSG000001	NR5A2	4.31563815	0.000325	4.24264	2.82842	141.421	175.362	2.82842	7.07106	2.82842	3.53553	
16833				32	069	713	356	482	713	781	713	391
ENSG000000	SORBS1	3.12062878	0.000349	9.89949	14.1421	113.137	127.279	9.19238	8.48528	6.36396	6.36396	
95637				18	494	356	085	221	816	137	103	103
ENSG000001	PCSK2	4.36256581	0.000349	113.137	84.8528	4.24264	1.41421	3.53553	1.41421	2.82842	2.12132	
25851				4	085	137	069	356	391	356	713	034
ENSG000001	SOX5	2.8981192	0.000353	16.9705	25.4558	9.89949	5.65685	2.82842	1.41421	2.12132	1.41421	
34532				26	628	441	494	425	713	356	034	356
ENSG000002	AL139147.	2.33604903	0.000354	98.9949	77.7817	16.9705	24.0416	10.6066	12.7279	10.6066	9.19238	
48458	1			41	494	459	628	306	017	221	017	816
ENSG000001	DRD1	3.42449606	0.000354	7.07106	11.3137	53.7401	72.1248	7.07106	1.41421	3.53553	1.41421	
84845				59	781	085	154	917	781	356	391	356
ENSG000001	HOXB9	4.42998356	0.000358	142.835	125.865	4.24264	1.41421	3.53553	1.41421	4.24264	3.53553	
70689				92	57	007	069	356	391	356	069	391
ENSG000001	EFHB	2.19793901	0.000398	11.3137	18.3847	12.7279	12.7279	3.53553	2.82842	2.82842	2.82842	
63576				36	085	763	221	221	391	713	713	713
ENSG000000	GGT5	2.89450613	0.000410	11.3137	12.7279	89.0954	91.9238	7.07106	5.65685	5.65685	9.19238	
99998				65	085	221	544	816	781	425	425	816
ENSG000001	MCHR1	2.74322382	0.000416	8.48528	9.89949	41.0121	49.4974	4.24264	4.94974	2.82842	4.24264	
28285				54	137	494	933	747	069	747	713	069
ENSG000000	APBB1IP	2.60235882	0.000478	1907.77	1988.38	783.474	748.118	50.9116	405.172	71.4177	366.281	
77420				51	41	427	314	975	883	186	849	313
ENSG000001	ESPNL	-2.02333116	0.000519	39.5979	35.3553	12.7279	9.89949	117.379	62.2253	153.442	63.6396	
44488				49	798	391	221	494	726	967	172	103

ENSG000002	LINC00601	2.2016335	0.000546	24.0416	12.7279	18.3847	9.89949	5.65685	2.82842	2.82842	2.82842	
35180				44	306	221	763	494	425	713	713	713
ENSG000001	VWA5A	2.0548841	0.000583	114.551	87.6812	271.529	246.073	64.3467	23.3345	66.4680	19.0918	
10002				54	299	409	004	16	171	238	374	831
ENSG000001	KY	2.14201876	0.000617	14.1421	12.7279	31.1126	32.5269	8.48528	2.82842	4.24264	4.94974	
74611				55	356	221	984	119	137	713	069	747
ENSG000002	HCG4P11	2.67242485	0.000624	77.7817	93.3380	19.7989	25.4558	4.94974	11.3137	2.12132	15.5563	
25864				39	459	951	899	441	747	085	034	492
ENSG000001	RSPH10B2	2.5728892	0.000630	41.0121	49.4974	41.0121	36.7695	14.8492	1.41421	10.6066	1.41421	
69402				5	933	747	933	526	424	356	017	356
ENSG000001	RBM47	2.02769182	0.000652	100.409	111.722	74.9533	84.8528	6.36396	39.5979	11.3137	33.9411	
63694				38	163	871	188	137	103	798	085	255
ENSG000001	STMN2	2.86845332	0.000672	1146.92	1565.53	104.651	115.965	105.358	106.773	91.9238	97.5807	
04435				52	72	441	804	512	91	124	816	358
ENSG000001	PPP1R14C	2.70043901	0.000674	50.9116	59.3969	9.89949	8.48528	4.94974	4.24264	4.94974	5.65685	
98729				77	883	696	494	137	747	069	747	425
ENSG000002	U82695.10	2.32192758	0.000699	14.1421	11.3137	18.3847	12.7279	2.12132	2.12132	5.65685	1.41421	
59886				92	356	085	763	221	034	034	425	356
ENSG000001	RNF180	2.96082838	0.000735	69.2964	62.2253	14.1421	8.48528	7.77817	1.41421	7.07106	3.53553	
64197				1	646	967	356	137	459	356	781	391
ENSG000001	PCLO	3.64909046	0.000754	90.5096	94.7523	5.65685	4.24264	5.65685	1.41421	4.24264	4.24264	
86472				4	68	087	425	069	425	356	069	069
ENSG000001	MYRF	2.01559675	0.000768	21.2132	14.1421	48.0832	48.0832	12.0208	5.65685	9.19238	5.65685	
24920				26	034	356	611	611	153	425	816	425
ENSG000001	GATA6	2.5823747	0.000796	53.7401	35.3553	364.867	333.754	40.3050	28.2842	38.1837	24.7487	
41448				46	154	391	099	401	865	713	662	373
ENSG000000	HSD17B7P	2.26303391	0.000801	16.9705	12.7279	12.7279	8.48528	2.82842	1.41421	3.53553	2.82842	
99251	2			66	628	221	221	137	713	356	391	713
ENSG000001	DUOX1	2.96593754	0.000811	203.646	173.948	19.7989	16.9705	12.7279	7.77817	22.6274	9.89949	
37857				08	753	268	899	628	221	459	17	494
ENSG000001	TMEM56	2.09686149	0.000867	67.8822	94.7523	35.3553	19.7989	16.2634	7.07106	19.0918	8.48528	
52078				9	51	087	391	899	56	781	831	137

ENSG000002	MICE	2.32192755	0.000898	12.7279	24.0416	9.89949	9.89949	2.82842	3.53553	1.41421	3.53553
73340				07	221	306	494	494	713	391	356
ENSG000001	TRIM29	2.32930759	0.000900	168.291	181.019	33.9411	32.5269	14.1421	21.2132	15.5563	31.8198
37699				13	414	336	255	119	356	034	492
ENSG000001	PSG6	3.64769556	0.000907	63.6396	62.2253	4.24264	2.82842	2.12132	2.12132	2.12132	4.24264
70848				71	103	967	069	713	034	034	069
ENSG000001	LYPD1	2.40281593	0.000932	38.1837	46.6690	229.102	295.570	23.3345	40.3050	19.7989	31.8198
50551				64	662	476	597	635	238	865	899
ENSG000001	SLC37A1	2.18057179	0.000956	14.1421	9.89949	11.3137	12.7279	2.12132	2.82842	2.12132	3.53553
60190				68	356	494	085	221	034	713	034
ENSG000001	RBP1	2.23446479	0.000958	9.89949	14.1421	22.6274	9.89949	3.53553	2.12132	2.12132	4.24264
14115				07	494	356	17	494	391	034	069
ENSG000001	LIPG	3.1043354	0.000996	7.07106	15.5563	86.2670	73.5391	7.07106	2.12132	9.89949	2.12132
01670				33	781	492	273	052	781	034	494
ENSG000001	TACSTD2	5.28734231	0.001036	2712.46	2470.63	33.9411	29.6984	50.9116	7.07106	67.1751	9.19238
84292				73	161	109	255	848	883	781	442
ENSG000001	CHRNA9	2.54056771	0.001068	33.9411	36.7695	12.7279	7.07106	5.65685	2.12132	5.65685	2.12132
74343				43	255	526	221	781	425	034	425
ENSG000002	HOXC-AS1	2.98351065	0.001072	53.7401	52.3259	9.89949	7.07106	6.36396	2.12132	5.65685	1.41421
50451				5	154	018	494	781	103	034	425
ENSG000002	CTAGE1	3.74415775	0.001095	42.4264	46.6690	4.24264	1.41421	1.41421	1.41421	2.12132	2.12132
12710				36	069	476	069	356	356	034	034
ENSG000002	AL592284.	2.8624951	0.001151	21.2132	24.0416	4.24264	7.07106	2.82842	1.41421	2.12132	1.41421
31360				1	68	034	306	069	781	713	356
ENSG000000	TLL2	2.47804713	0.001161	137.178	197.989	31.1126	19.7989	10.6066	19.0918	20.5060	19.0918
95587				08	716	899	984	899	017	831	967
ENSG000001	PIK3AP1	2.49476382	0.001170	9.89949	14.1421	12.7279	7.07106	3.53553	1.41421	1.41421	1.41421
55629				18	494	356	221	781	391	356	356
ENSG000001	CACNG7	3.63226609	0.001234	11.3137	9.89949	176.776	152.735	15.5563	2.12132	9.19238	1.41421
05605				99	085	494	695	065	492	034	816
ENSG000001	EGR3	3.26104505	0.001332	12.7279	18.3847	408.707	380.423	19.7989	19.0918	23.3345	23.3345
79388				63	221	763	72	448	899	831	238

ENSG000001	GFPT2	2.1805097	0.001374	295.570	291.327	2013.84	1704.12	243.244	232.638	260.922	212.839	
31459				36	635	994	011	734	733	131	402	141
ENSG000002	RP11-49790	3.42998603	0.001381	107.480	149.906	9.89949	7.07106	1.41421	12.7279	4.94974	6.36396	
	20D14.6			56	231	638	494	781	356	221	747	103
ENSG000002	AC011242.23658	2.03102662	0.001448	26.8700	16.9705	11.3137	11.3137	3.53553	2.12132	5.65685	4.94974	
	6			43	577	628	085	085	391	034	425	747
ENSG000001	CCN JL	2.45169549	0.001475	28.2842	21.2132	33.9411	48.0832	8.48528	1.41421	12.7279	1.41421	
35083				5	713	034	255	611	137	356	221	356
ENSG000001	RBPMS2	4.07038512	0.001565	1.41421	1.41421	96.1665	79.1959	2.82842	2.82842	3.53553	1.41421	
66831				38	356	356	222	595	713	713	391	356
ENSG000000	TSPAN15	3.74542405	0.001571	77.7817	77.7817	2.82842	2.82842	5.65685	1.41421	2.12132	2.82842	
99282				21	459	459	713	713	425	356	034	713
ENSG000002	CTD-54963	2.16227104	0.001608	28.2842	18.3847	9.89949	9.89949	2.82842	4.24264	2.12132	5.65685	
	2562J17.9			89	713	763	494	494	713	069	034	425
ENSG000001	TCF21	2.38304744	0.001717	253.144	226.274	80.6101	70.7106	45.2548	9.89949	56.5685	9.19238	
18526				84	228	17	731	781	34	494	425	816
ENSG000000	CD82	2.09825312	0.001746	698.621	623.668	137.178	130.107	107.480	69.2964	139.300	55.1543	
85117				13	5	181	716	648	231	646	036	289
ENSG000001	FAM90A1	2.36923305	0.001831	15.5563	14.1421	7.07106	7.07106	1.41421	2.12132	2.82842	2.12132	
71847				53	492	356	781	781	356	034	713	034
ENSG000000	SDK2	-3.86211225	0.001879	4.24264	2.82842	14.1421	12.7279	6.36396	285.671	4.94974	196.575	
69188				89	069	713	356	221	103	14	747	685
ENSG000001	MYH10	2.02231676	0.001889	2453.66	2470.63	14355.6	13705.1	1822.92	2288.90	2090.91	1916.96	
33026				38	053	109	819	436	128	465	475	648
ENSG000001	MALL	2.24654646	0.001971	38.1837	59.3969	278.600	362.038	35.3553	42.4264	31.8198	45.9619	
44063				14	662	696	072	672	391	069	052	408
ENSG000002	RP11-59985	2.42884249	0.001973	18.3847	15.5563	9.89949	5.65685	4.24264	1.41421	1.41421	2.12132	
	549B18.1			78	763	492	494	425	069	356	356	034
ENSG000002	ZNF826P	2.43812058	0.002067	12.7279	15.5563	45.2548	45.2548	2.82842	7.07106	1.41421	10.6066	
31205				61	221	492	34	34	713	781	356	017
ENSG000001	KLF15	2.28445306	0.002077	16.9705	14.1421	52.3259	50.9116	3.53553	12.7279	2.82842	8.48528	
63884				69	628	356	018	883	391	221	713	137

ENSG000001	MDFI	3.89811622	0.002112	1.41421	1.41421	52.3259	60.8111	2.12132	1.41421	2.82842	1.41421
12559				8	356	356	018	832	034	356	713
ENSG000001	ADCY4	2.21065894	0.002119	263.043	287.085	41.0121	43.8406	25.4558	40.3050	32.5269	38.8908
29467				96	723	353	933	204	441	865	119
ENSG000001	RORB	3.9068863	0.002122	50.9116	52.3259	1.41421	1.41421	2.82842	1.41421	1.41421	1.41421
98963				46	883	018	356	356	713	356	356
ENSG000001	P2RY2	2.26303381	0.002165	14.1421	21.2132	5.65685	9.89949	3.53553	2.12132	2.82842	2.12132
75591				2	356	034	425	494	391	034	713
ENSG000001	NCAM1	2.335523	0.002186	1019.64	1117.22	114.551	161.220	148.492	95.4594	151.320	82.7314
49294				34	798	871	299	346	424	155	851
ENSG000001	PDE11A	4.7498329	0.002336	1057.83	943.280	8.48528	7.07106	14.8492	25.4558	14.1421	20.5060
28655				81	175	446	137	781	424	441	356
ENSG000002	RP11-66283	2.77137467	0.002381	9.89949	4.24264	67.8822	57.9827	6.36396	4.94974	3.53553	5.65685
	627G18.1			81	494	069	51	561	103	747	391
ENSG000001	TNFRSF10C	2.25434032	0.002393	465.276	485.075	67.8822	57.9827	56.5685	58.6898	62.9325	47.3761
73535				62	262	252	51	561	425	628	035
ENSG000001	TBX1	-3.06522249	0.002478	15.5563	8.48528	28.2842	18.3847	12.7279	299.813	19.7989	259.508
84058				06	492	137	713	763	221	275	899
ENSG000002	RAD21L1	2.58496147	0.002614	24.0416	18.3847	14.1421	2.82842	1.41421	4.24264	1.41421	2.82842
44588				39	306	763	356	713	356	069	356
ENSG000001	KIAA1211	2.97400311	0.002715	38.1837	31.1126	2.82842	5.65685	2.82842	2.12132	3.53553	1.41421
09265				25	662	984	713	425	713	034	391
ENSG000002	HLA-H	2.02790609	0.002746	147.078	108.894	49.4974	63.6396	36.0624	7.07106	37.4766	9.89949
06341				7	211	444	747	103	458	781	594
ENSG000001	C8orf46	2.90689008	0.002796	292.742	271.529	11.3137	18.3847	19.7989	19.7989	17.6776	21.9203
69085				82	207	004	085	763	899	899	695
ENSG000000	MCF2L2	2.29698133	0.002908	29.6984	19.7989	42.4264	29.6984	10.6066	1.41421	11.3137	1.41421
53524				85	848	899	069	848	017	356	085
ENSG000001	CES1	4.08745842	0.002923	1.41421	1.41421	130.107	131.521	5.65685	1.41421	7.07106	1.41421
98848				95	356	356	648	861	425	356	781
ENSG000002	ABC7-42389800	2.31139737	0.002927	79.1959	67.8822	118.793	120.208	28.9913	3.53553	40.3050	4.94974
26210	N19.1			53	595	51	939	153	78	391	865

ENSG000001	GALNT3	3.26107177	0.002939	309.712	296.984	8.48528	8.48528	21.2132	12.0208	18.3847	13.4350
15339				53	77	848	137	137	034	153	763
ENSG000002	HOXC-AS2	3.44930503	0.003004	91.9238	98.9949	5.65685	4.24264	7.77817	1.41421	7.77817	1.41421
50133				75	816	494	425	069	459	356	459
ENSG000000	ABCB4	2.05614299	0.003067	96.1665	52.3259	24.0416	12.7279	12.0208	7.07106	14.1421	11.3137
05471				66	222	018	306	221	153	781	356
ENSG000002	PSG2	3.05595596	0.003138	509.116	475.175	28.2842	28.2842	12.0208	53.7401	12.7279	46.6690
42221				08	883	757	713	713	153	154	221
ENSG000000	MCOLN3	2.19264469	0.003143	29.6984	43.8406	7.07106	9.89949	4.94974	4.24264	5.65685	4.94974
55732				77	848	204	781	494	747	069	425
ENSG000001	SP6	2.0374745	0.003203	25.4558	22.6274	16.9705	45.2548	2.12132	6.36396	4.24264	14.1421
89120				31	441	17	628	34	034	103	069
ENSG000001	RIPK3	2.43706374	0.003485	205.060	243.244	25.4558	24.0416	15.5563	33.9411	16.9705	25.4558
29465				84	967	733	441	306	492	255	628
ENSG000001	FGF12	3.18762447	0.003595	28.2842	24.0416	1.41421	4.24264	1.41421	1.41421	1.41421	2.12132
14279				46	713	306	356	069	356	356	034
ENSG000001	SLC14A2	2.29545507	0.003676	8.48528	7.07106	15.5563	7.07106	1.41421	2.12132	2.12132	2.12132
32874				99	137	781	492	781	356	034	034
ENSG000001	CACNG8	3.60485851	0.003742	1.41421	1.41421	56.5685	43.8406	1.41421	2.82842	2.12132	2.12132
42408				53	356	356	425	204	356	713	034
ENSG000001	SFRP2	5.28076259	0.003872	4.24264	2.82842	1496.23	1135.61	21.2132	5.65685	33.9411	7.07106
45423				85	069	713	795	349	034	425	255
ENSG000001	KIAA1671	2.54056845	0.004030	376.180	400.222	53.7401	29.6984	53.7401	19.7989	55.8614	18.3847
97077				68	808	438	154	848	154	899	357
ENSG000001	OASL	-2.58495996	0.004037	4.24264	4.24264	2.82842	2.82842	16.9705	8.48528	48.7903	10.6066
35114				24	069	069	713	713	628	137	679
ENSG000002	RP11- 54353	2.35049655	0.004211	5.65685	14.1421	22.6274	29.6984	4.94974	1.41421	6.36396	1.41421
195E2.4				27	425	356	17	848	747	356	103
ENSG000001	SUSD3	2.9860593	0.004280	2.82842	7.07106	65.0538	70.7106	5.65685	3.53553	7.07106	2.12132
57303				02	713	781	239	781	425	391	781
ENSG000002	CTD- 44649	2.84799511	0.004352	26.8700	16.9705	4.24264	2.82842	2.12132	1.41421	2.12132	1.41421
2377D24.6				25	577	628	069	713	034	356	034
											356

ENSG000001	KLF14	2.50589013	0.004586	43.8406	41.0121	4.24264	11.3137	7.07106	2.12132	5.65685	2.82842	
74595				12	204	933	069	085	781	034	425	713
ENSG000002	RP11-47157	2.6724241	0.004607	32.5269	28.2842	4.24264	7.07106	1.41421	5.65685	1.41421	2.82842	
	434C1.1			31	119	713	069	781	356	425	356	713
ENSG000001	ARL9	2.31033955	0.004644	11.3137	4.24264	36.7695	35.3553	4.94974	3.53553	6.36396	2.82842	
96503				4	085	069	526	391	747	391	103	713
ENSG000001	WNT2	2.34763389	0.004862	132.936	98.9949	227.688	181.019	52.3259	6.36396	62.2253	4.94974	
05989				21	075	494	384	336	018	103	967	747
ENSG000001	GLDN	2.49098572	0.005051	12.7279	4.24264	72.1248	57.9827	4.94974	4.94974	9.19238	7.07106	
86417				69	221	069	917	561	747	747	816	781
ENSG000002	RP11-53125	2.96962437	0.005093	2.82842	2.82842	25.4558	35.3553	2.12132	2.82842	1.41421	2.12132	
	459E5.1			98	713	713	441	391	034	713	356	034
ENSG000001	THSD7B	2.80735301	0.005153	22.6274	8.48528	5.65685	2.82842	1.41421	1.41421	1.41421	1.41421	
44229				17	17	137	425	713	356	356	356	356
ENSG000001	NR4A3	2.81950691	0.005217	33.9411	26.8700	774.989	681.650	57.9827	44.5477	71.4177	41.0121	
19508				86	255	577	032	937	561	272	849	933
ENSG000002	CTD-61821	2.58496102	0.005255	4.24264	4.24264	12.7279	12.7279	1.41421	1.41421	1.41421	1.41421	
	2311M21.			18	069	069	221	221	356	356	356	356
ENSG000001	PTGDS	2.99999932	0.005305	360.624	265.872	26.8700	14.1421	4.94974	31.8198	8.48528	38.1837	
07317				91	458	15	577	356	747	052	137	662
ENSG000001	PNLDC1	3.22238954	0.005390	1.41421	2.82842	35.3553	19.7989	2.12132	1.41421	1.41421	1.41421	
46453				87	356	713	391	899	034	356	356	356
ENSG000001	INPP5J	2.24392519	0.005580	8.48528	9.89949	63.6396	45.2548	5.65685	4.24264	9.89949	7.07106	
85133				16	137	494	103	34	425	069	494	781
ENSG000001	TRIM36	2.57511414	0.005660	74.9533	114.551	8.48528	8.48528	7.77817	11.3137	10.6066	4.94974	
52503				5	188	299	137	137	459	085	017	747
ENSG000001	NRGN	2.23162561	0.005673	15.5563	16.9705	142.835	120.208	19.7989	13.4350	16.9705	12.7279	
54146				94	492	628	57	153	899	288	628	221
ENSG000001	NTSR1	-5.02536897	0.005772	2.82842	1.41421	8.48528	18.3847	2.12132	505.581	3.53553	502.045	
01188					713	356	137	763	034	349	391	815
ENSG000001	DYNC1I1	2.60108211	0.005858	308.298	407.293	14.1421	33.9411	39.5979	24.7487	35.3553	26.1629	
58560				67	557	506	356	255	798	373	391	509

ENSG000001 66796	LDHC	3.0324192	0.005922	4.24264	1.41421	21.2132	36.7695	2.82842	1.41421	2.12132	1.41421
				16	069	356	034	526	713	356	034
ENSG000001 98133	TMEM229 B	2.30854881	0.005955	89.0954	93.3380	26.8700	18.3847	2.82842	21.9203	4.94974	16.2634
				24	544	951	577	763	713	102	747
ENSG000001 70577	SIX2	2.43812044	0.006038	7.07106	5.65685	49.4974	56.5685	7.07106	4.24264	4.24264	6.36396
				04	781	425	747	425	781	069	069
ENSG000001 62817	C1orf115	4.15889961	0.006085	469.518	434.163	9.89949	8.48528	19.0918	5.65685	24.0416	2.82842
				76	903	564	494	137	831	425	306
ENSG000001 64251	F2RL1	2.192942	0.006141	49.4974	49.4974	421.435	462.447	58.6898	48.0832	68.5893	39.5979
				57	747	747	642	835	628	611	578
ENSG000001 19862	LGALSL	2.36074732	0.006190	197.989	179.605	50.9116	50.9116	40.3050	6.36396	41.7193	4.94974
				15	899	122	883	883	865	103	001
ENSG000002 30880	RP11- 417J8.3	3.35754851	0.006279	1.41421	1.41421	32.5269	22.6274	1.41421	1.41421	1.41421	1.41421
				57	356	356	119	17	356	356	356
ENSG000001 53898	MCOLN2	2.29278108	0.006367	32.5269	21.2132	7.07106	8.48528	3.53553	1.41421	7.07106	2.12132
				29	119	034	781	137	391	356	781
ENSG000001 05650	PDE4C	2.25375604	0.006553	32.5269	38.1837	12.7279	4.24264	2.82842	4.94974	2.82842	7.77817
				67	119	662	221	069	713	747	713
ENSG000001 57423	HYDIN	2.16046408	0.006637	18.3847	21.2132	4.24264	9.89949	2.82842	2.82842	4.94974	1.41421
				53	763	034	069	494	713	713	747
ENSG000001 96611	MMP1	-2.47399968	0.006665	1104.50	1336.43	8845.90	10011.2	8826.10	52730.3	10024.6	46747.5
				88	079	182	583	178	684	669	528
ENSG000002 55282	WTAPP1	-2.46056953	0.007092	250.315	271.529	1880.90	2299.51	1986.26	11519.4	2262.74	10114.4
				22	801	004	404	125	295	766	17
ENSG000000 99260	PALMD	2.94498545	0.007149	374.766	360.624	39.5979	25.4558	4.94974	44.5477	4.94974	49.4974
				32	594	458	798	441	747	272	747
ENSG000001 97258	EIF4BP6	-3.004282	0.007303	7.07106	5.65685	7.07106	9.89949	4.24264	110.308	5.65685	118.086
				98	781	425	781	494	069	658	425
ENSG000001 20949	TNFRSF8	2.35363583	0.007318	4.24264	5.65685	11.3137	11.3137	1.41421	2.12132	1.41421	1.41421
				72	069	425	085	085	356	034	356
ENSG000001 21005	CRISPLD1	2.79354747	0.007529	36.7695	29.6984	5.65685	1.41421	2.82842	1.41421	3.53553	2.82842
				69	526	848	425	356	713	356	391
											713

ENSG000001	NKX2-6	-2.87183873	0.007778	4.24264	4.24264	12.7279	14.1421	126.572	8.48528	116.672	7.07106
80053			31	069	069	221	356	114	137	619	781
ENSG000002	RP11-47416	2.48542585	0.008012	38.1837	31.1126	4.24264	5.65685	4.24264	2.12132	5.65685	2.12132
	629G13.1		8	662	984	069	425	069	034	425	034
ENSG000001	CHST6	3.32192513	0.008111	1.41421	1.41421	62.2253	48.0832	4.24264	2.12132	3.53553	1.41421
83196			04	356	356	967	611	069	034	391	356
ENSG000002	NCAM1-27487	2.07972695	0.008373	35.3553	73.5391	15.5563	7.07106	7.77817	10.6066	7.77817	4.94974
	AS1		01	391	052	492	781	459	017	459	747
ENSG000001	B3GNT5	2.34146809	0.008717	63.6396	57.9827	93.3380	100.409	33.9411	2.12132	24.0416	2.12132
76597			28	103	561	951	163	255	034	306	034
ENSG000001	IL18	2.28950555	0.008742	5.65685	12.7279	5.65685	7.07106	1.41421	1.41421	1.41421	2.12132
50782			01	425	221	425	781	356	356	356	034
ENSG000002	RP11-24127	3.16992184	0.008855	1.41421	1.41421	24.0416	24.0416	1.41421	1.41421	1.41421	1.41421
	510C10.2		4	356	356	306	306	356	356	356	356
ENSG000001	MKRN3	2.67807041	0.009072	31.1126	28.2842	2.82842	5.65685	2.12132	1.41421	5.65685	1.41421
79455			36	984	713	713	425	034	356	425	356
ENSG000000	CERS4	-2.90688664	0.009445	1.41421	1.41421	1.41421	4.24264	4.94974	25.4558	4.24264	28.9913
90661			49	356	356	356	069	747	441	069	78
ENSG000000	LMO3	2.13750269	0.009585	9.89949	5.65685	7.07106	8.48528	1.41421	1.41421	2.12132	2.12132
48540			51	494	425	781	137	356	356	034	034
ENSG000002	RP11-65489	2.60768138	0.009601	2.82842	4.24264	36.7695	46.6690	3.53553	4.94974	3.53553	2.82842
	1090M7.1		9	713	069	526	476	391	747	391	713
ENSG000002	LINC00578	3.33038723	0.009700	1.41421	2.82842	111.722	125.865	2.12132	7.77817	3.53553	10.6066
28221			21	356	713	871	007	034	459	391	017
ENSG000002	CEACAMP	2.75488541	0.009844	12.7279	19.7989	4.24264	1.41421	1.41421	1.41421	1.41421	1.41421
41104	10		16	221	899	069	356	356	356	356	356

DEGs Fibros CHD3	Symbol	log2FoldChange	padj	p.L915F	p.N1159K	CTL-1	CTL-2	CTL-3	CTL-4
ENSG00000019186	CYP24A1	3.65207478	0.00685758	104	28	1	11	8	1
ENSG00000064042	LIMCH1	-4.39430926	1.04E-06	97	75	4107	647	1971	509
ENSG00000067715	SYT1	-2.88565296	0.00018455	37	36	447	241	266	125
ENSG00000075275	CELSR1	-3.49911756	0.00280458	19	25	480	294	196	25
ENSG00000079841	RIMS1	-5.5302628	9.02E-09	5	2	236	76	113	222
ENSG00000099204	ABLM1	-2.74679381	0.00011479	155	90	399	1036	1087	767
ENSG00000101638	ST8SIA5	-3.27798246	0.00125552	5	10	57	48	134	52
ENSG00000106511	MEOX2	6.09880018	1.32E-14	258	1147	5	22	8	6
ENSG00000106565	TMEM176B	4.02974486	0.00200141	82	16	4	2	5	1
ENSG00000106688	SLC1A1	-3.25169943	0.00945704	156	85	1453	203	2616	319
ENSG00000106772	PRUNE2	-2.68799066	0.00244924	326	462	4635	802	2580	2139
ENSG00000110203	FOLR3	-4.15152403	0.00018455	22	35	1130	45	503	348
ENSG00000115380	EFEMP1	2.66616771	0.00143314	22576	15610	1329	5257	1718	3728
ENSG00000115604	IL18R1	4.69031192	0.00055442	133	9	3	1	5	2
ENSG00000118785	SPP1	-3.29191253	0.00361199	22	12	334	29	162	141
ENSG00000118898	PPL	3.0472351	0.00044792	1470	1262	173	260	192	36
ENSG00000126217	MCF2L	-3.78509777	0.00260448	16	26	382	26	122	628
ENSG00000128655	PDE11A	-4.98013427	4.59E-05	6	2	155	13	171	166
ENSG00000130600	H19	4.8324995	3.27E-13	637	289	11	14	30	10
ENSG00000135324	MRAP2	-4.18914053	3.13E-08	13	16	310	161	451	136
ENSG00000137203	TFAP2A	-4.35434546	1.16E-05	34	32	655	1558	98	389
ENSG00000144891	AGTR1	2.50875187	0.00462124	385	887	53	77	184	133
ENSG00000147655	RSPO2	4.29767657	0.00705694	13	46	1	3	1	1
ENSG00000148426	PROSER2	-2.68011779	0.00720879	33	22	271	82	268	84
ENSG00000149968	MMP3	2.65190081	0.00351447	13257	40495	5274	1532	4128	6171
ENSG00000152268	SPON1	3.30527634	2.49E-05	443	160	21	17	48	36
ENSG00000152578	GRIA4	4.74415677	0.00078884	23	44	1	1	2	1
ENSG00000152580	IGSF10	3.90175881	7.05E-08	750	513	31	40	82	16

ENSG00000153002	CPB1	3.887523	0.00201661	28	46	2	2	5	1
ENSG00000153132	CLGN	-2.26429982	0.00534491	203	129	798	574	1350	468
ENSG00000156463	SH3RF2	-2.07778571	0.00941381	48	40	221	252	133	137
ENSG00000156475	PPP2R2B	-5.73639515	2.95E-06	5	3	582	30	118	123
ENSG00000157554	ERG	-3.44421524	0.00742831	11	2	88	27	134	34
ENSG00000158528	PPP1R9A	-3.91374011	0.00534491	6	1	19	90	78	24
ENSG00000162631	NTNG1	-2.66481731	0.00534491	367	349	782	1258	4528	2513
ENSG00000162692	VCAM1	4.56585075	0.00037393	216	9	6	5	6	2
ENSG00000163395	IGFN1	4.47804413	0.00042884	27	51	1	3	2	1
ENSG00000164106	SCRG1	4.47186684	3.72E-06	173	60	12	1	4	4
ENSG00000164176	EDIL3	-4.21354732	5.32E-05	130	117	601	1604	629	6331
ENSG00000165105	RASEF	-3.02333068	0.00067059	5	18	70	99	131	74
ENSG00000170893	TRH	4.66296151	0.00022768	35	41	2	1	1	2
ENSG00000177570	SAMD12	-2.09953466	0.00303452	63	77	391	220	354	235
ENSG00000178038	ALS2CL	-2.37696809	0.00173525	70	128	441	371	845	400
ENSG00000178184	PARD6G	-2.29205188	0.00353198	66	217	614	833	587	738
ENSG00000180053	NKX2-6	-4.22238856	0.00056842	2	4	81	20	49	74
ENSG00000183715	OPCML	-3.512609	0.00017143	31	15	220	84	206	540
ENSG00000184058	TBX1	4.42626339	1.90E-06	725	737	21	41	71	3
ENSG00000186684	CYP27C1	-3.04803012	0.00313268	17	55	349	166	106	570
ENSG00000188393	CLEC2A	5.48112283	1.90E-06	30	171	1	1	6	1
ENSG00000188581	KRTAP1-1	-3.63807043	0.00118027	8	22	251	33	117	346
ENSG00000196581	AJAP1	5.74953229	1.72E-14	297	241	11	6	1	2
ENSG00000197106	SLC6A17	-3.22160897	0.00056559	29	70	232	465	955	195
ENSG00000197614	MFAP5	-2.57373254	0.00180091	3803	1991	21431	5989	19043	22526
ENSG00000198729	PPP1R14C	-4.35754753	0.00123443	3	2	100	26	52	27
ENSG00000198848	CES1	4.32527727	0.00016264	227	204	1	27	14	1
ENSG00000231389	HLA-DPA1	-4.2910782	0.00012334	7	6	48	84	317	60
ENSG00000232725	U52111.14	3.76249908	0.00043916	41	54	1	4	4	5

ENSG00000249242	TMEM150C	-3.36194124	0.00143516	9	7	47	121	128	33
ENSG00000250337	LINC01021	-4.13270987	0.00055442	8	4	96	16	211	98

DEGs LCLs TRRAP	Symbol	log2FoldChange	padj	p.L805F	p.A1043T_1	p.A1043T_2	CTL-1	CTL-2	CTL-3
ENSG00000205786	AC002511.1	-3.11334	0.002155	67	15	100	174	386	1015
ENSG00000170425	ADORA2B	2.766366	0.002155	104	96	147	29	5	17
ENSG00000272620	AFAP1-AS1	-5.09493	3.49E-08	3	6	8	52	393	136
ENSG00000214944	ARHGEF28	-2.91451	0.004531	53	159	27	211	462	1129
ENSG00000169136	ATF5	-2.15265	0.004531	3918	2338	1877	5860	13377	16926
ENSG00000187479	C11orf96	-3.16619	1.11E-05	24	39	23	121	248	403
ENSG00000198216	CACNA1E	-3.02687	3.49E-08	452	225	287	1873	3377	2607
ENSG00000205476	CCDC85C	-2.94385	0.005947	54	35	42	67	176	765
ENSG00000129277	CCL4	-2.88459	0.00463	918	624	1645	1987	3810	17739
ENSG00000163823	CCR1	2.046204	0.009093	480	778	836	199	231	77
ENSG00000112486	CCR6	2.287577	0.008606	118	142	72	34	13	21
ENSG00000133048	CHI3L1	-4.57399	1.96E-05	1	11	21	37	295	454
ENSG00000121898	CPXM2	-4.22239	3.64E-05	1	13	10	57	78	313
ENSG00000147408	CSGALNACT1	3.950611	3.00E-05	36	101	64	4	4	5
ENSG00000227117	CTA-85E5.10	2.541146	0.009567	44	122	61	10	19	10
ENSG00000263264	CTB-133G6.1	2.258734	0.007147	180	276	214	61	17	62
ENSG00000073737	DHRS9	3.25298	0.007148	84	20	39	8	4	3
ENSG00000138080	EMILIN1	3.417991	0.00023	834	1813	3221	405	87	57
ENSG00000124491	F13A1	2.541238	0.000157	3634	2512	4838	297	845	745
ENSG00000086570	FAT2	-3.31768	3.91E-05	10	10	14	60	91	188
ENSG00000134775	FHOD3	-3.46566	0.002511	23	218	53	170	1778	1300
ENSG00000128573	FOXP2	-3.23619	0.008543	4	9	13	14	158	73
ENSG00000170324	FRMPD2	-2.22181	0.007371	56	46	77	232	138	465
ENSG00000137726	FXYD6	-4.29767	0.004134	6	2	1	5	49	123
ENSG00000110328	GALNT18	-2.04175	0.004531	133	90	75	262	560	405
ENSG00000164161	HHIP	3.30666	0.009555	21	128	39	5	12	2
ENSG00000248890	HHIP-AS1	3.607329	0.007371	18	152	25	5	9	2

ENSG00000271361	HTATSF1P2	2.576139	0.006119	154	133	202	56	11	15
ENSG00000106302	HYAL4	-3.46379	0.002434	29	29	2	429	172	61
ENSG00000125538	IL1B	-2.97304	0.001448	190	142	269	663	548	3508
ENSG00000132321	IQCA1	3.374123	0.002511	20	60	117	9	6	4
ENSG00000163207	IVL	-4.30117	4.36E-06	9	24	9	136	615	77
ENSG0000011201	KAL1	4.014948	0.007372	4	36	154	3	6	3
ENSG00000145936	KCNMB1	3.800147	0.001227	54	934	210	60	12	14
ENSG00000144893	MED12L	2.877447	0.009555	164	37	284	41	11	14
ENSG00000178053	MLF1	-3.04525	0.002971	18	22	11	36	107	278
ENSG0000008441	NFIX	-2.05355	0.004128	37	39	43	138	139	217
ENSG00000074527	NTN4	4.149745	0.002511	25	247	12	6	3	7
ENSG00000108405	P2RX1	2.419376	0.001227	146	141	157	43	23	17
ENSG00000188389	PDCD1	-2.83903	0.004531	208	72	119	299	486	2070
ENSG00000162896	PIGR	-2.74115	0.005998	480	168	505	548	4759	2402
ENSG00000254681	PKD1P5	3.3025	0.004134	41	1152	356	55	42	60
ENSG0000007038	PRSS21	-3.58775	1.96E-05	8	22	13	271	58	188
ENSG00000144724	PTPRG	-3.04062	0.004546	174	19	74	257	1415	525
ENSG00000154917	RAB6B	-4.44294	0.001227	5	4	3	10	27	224
ENSG00000138670	RASGEF1B	3.0614	0.004531	78	33	81	13	8	2
ENSG00000058335	RASGRF1	-2.6115	0.001679	166	128	101	415	417	1582
ENSG00000254006	RP11-1D12.2	-2.96657	0.000961	40	11	80	357	192	475
ENSG00000260303	RP11-203B7.2	2.365396	0.004888	222	131	85	36	17	32
ENSG00000260896	RP11-314O13.1	-4.33955	3.49E-08	12	9	40	644	157	434
ENSG00000230880	RP11-417J8.3	5.294615	0.001483	37	4	116	1	2	1
ENSG00000182568	SATB1	3.263034	0.00938	396	58	26	23	18	9
ENSG00000074660	SCARF1	2.584308	0.000201	1141	2396	871	357	185	193
ENSG00000151967	SCHIP1	3.867895	0.001043	15	87	263	13	7	5
ENSG00000135094	SDS	-4.97345	1.42E-06	5	4	3	29	84	264
ENSG0000070915	SLC12A3	-3.32192	0.007147	13	3	5	36	148	26

ENSG00000186212	SOWAHB	-3.93411	0.006805	2	2	3	9	39	59
ENSG00000077327	SPAG6	3.377554	0.000255	82	442	983	35	58	52
ENSG00000164691	TAGAP	2.265402	0.007187	260	569	147	65	55	83
ENSG00000041982	TNC	-3.02106	3.55E-05	10	12	12	86	112	78
ENSG00000115085	ZAP70	4.366811	1.57E-07	436	1554	589	79	38	8
ENSG00000183850	ZNF730	2.593326	6.03E-05	153	229	137	29	33	24
ENSG00000124203	ZNF831	2.542898	0.002511	85	202	220	46	18	23

Annexe II : Pics d'ATACseq significatifs pour les fibroblastes *TRRAP* p.W1866C

PeakID	Chr	Start	End	Strand	Annotation	Distance to TSS	Nearest PromoterID	Gene Name
chr13-4884	chr13	1.12E+08	1.12E+08	+	Intergenic	78340	NM_152324	TEX29
chr22-259	chr22	50118402	50119152	+	Intergenic	-67587	NR_110522	C22orf34
chr8-14649	chr8	40470921	40471685	+	intron (NM_001135731, intron 4 of 5)	284040	NM_0011357	ZMAT4
chr2-23207	chr2	1.05E+08	1.05E+08	+	intron (NR_038231, intron 1 of 3)	2221	NR_038231	LINC01114
chr6-26983	chr6	57538282	57541018	+	Intergenic	284720	NR_036097	MIR548U
chr13-1312	chr13	98758081	98758706	+	Intergenic	-36423	NM_0012868	FARP1
chr7-23351	chr7	1.4E+08	1.4E+08	+	intron (NM_004333, intron 17 of 17)	-41431	NR_024454	NDUFB2-AS1

chr22-4308	chr22	25463595	25464744	+	intron (NM_001145206, intron 4 of 10)	40228	NM_0011452 06	KIAA1671
chr19-1246	chr19	15562985	15563865	+	intron (NM_022904, intron 16 of 17)	-2663	NM_021241	WIZ
chr2-5826	chr2	1.55E+08	1.55E+08	+	Intergenic	-74374	NM_002239	KCNJ3
chr8-15135	chr8	87979181	87980328	+	intron (NM_173538, intron 4 of 10)	101078	NM_173538	CNBD1
chr16-18139	chr16	77517340	77518532	+	Intergenic	-48925	NM_199355	ADAMTS18
chr6-19061	chr6	50348064	50349236	+	Intergenic	-332286	NM_0010374 98	DEFB112
chr1-8852	chr1	74077357	74077983	+	Intergenic	305817	NR_110676	LINC01360
chr11-20041	chr11	65198854	65205969	+	non-coding (NR_131012, exon 1 of 1)	-9518	NR_030343	MIR612
chr4-17939	chr4	15119631	15120774	+	intron (NR_125911, intron 2 of 5)	115904	NM_0011773 83	CPEB2
chr4_gI000193_ra_ndom-13	chr4_gI000193_random	83007	87406	+	intron (NR_038377, intron 1 of 5)	3169	NR_038377	LINC01667
chr6-23892	chr6	88653891	88654880	+	Intergenic	-103122	NM_030960	SPACA1
chr7-14919	chr7	1.59E+08	1.59E+08	+	intron (NR_130758, intron 4 of 12)	-1979	NM_0013082 59	VIPR2
chr5-8827	chr5	1.14E+08	1.14E+08	+	Intergenic	135919	NM_0013007 59	TRIM36
chrX-12878	chrX	79540609	79541430	+	intron (NR_110646, intron 5 of 5)	49798	NR_110646	CHMP1B2P
chr2-41746	chr2	1.51E+08	1.51E+08	+	Intergenic	22572	NM_005168	RND3
chrUn_gI000219-40	chrUn_gI000219-40	132667	133673	+	Intergenic	-33528	NR_027436	LOC283788
								9

chr13-6623	chr13	36488474	36489964	+	intron (NM_001330071, intron 4 of 16)	-59221	NM_0011954 15	DCLK1
chrUn_gI000224-42	chrU n_gI0 0022 4	212	3307	+	Intergenic	-100744	NR_135482	LOC100505874
chr11-3528	chr11	73729444	73730199	+	intron (NM_001286577, intron 32 of 32)	-9539	NM_003356	UCP3
chr8-20672	chr8	43252013	43253177	+	Intergenic	105010	NM_0010053 65	POTEA
chr11-21271	chr11	61728612	61732063	+	non-coding (NR_134580, exon 10 of 11)	4795	NM_002032	FTH1
chr9-19240	chr9	1.21E+08	1.21E+08	+	Intergenic	829095	NM_138554	TLR4
chr21-1228	chr21	44573611	44574236	+	Intergenic	-12721	NR_133678	LOC106780825
chr9-20347	chr9	1.09E+08	1.09E+08	+	Intergenic	163725	NM_018112	TMEM38B
chr13-2785	chr13	1.02E+08	1.02E+08	+	intron (NR_047687, intron 5 of 7)	-105361	NR_047015	LINC00411
chr1-33530	chr1	41471438	41473676	+	intron (NR_125440, intron 13 of 17)	-7705	NR_037868	SLFNL1-AS1
chr19-6942	chr19	55700540	55701443	+	intron (NM_001161440, intron 10 of 17)	-9271	NM_003180	SYT5
chr2-39106	chr2	90007568	90008500	+	Intergenic	896150	NR_039635	MIR4436A
chr14-256	chr14	37130862	37133579	+	exon (NM_006194, exon 3 of 5)	5447	NM_006194	PAX9
chr5-26320	chr5	10607481	10608520	+	intron (NM_001164440, intron 1 of 3)	43565	NM_0011644 40	ANKRD33B
chr5-7677	chr5	21341178	21342449	+	Intergenic	-117776	NR_027027	GUSBP1
chr6-29579	chr6	10659419	10660852	+	Intergenic	34704	NM_0011450 20	C6orf52
chr9-136	chr9	69710795	69711420	+	intron (NR_135597, intron 4 of 4).2	46677	NR_121570	LOC101928381
chr20-10936	chr20	21434063	21435121	+	Intergenic	-56545	NM_033176	NKX2-4

chr6-17209	chr6	76095756	76096665	+	intron (NR_125859, intron 2 of 8)	3308	NR_125859	LOC101928540
chrUn_g1000224-18	chrU n_g10 0022 4	6478	8690	+	Intergenic	-94919	NR_135482	LOC100505874
chrX-3652	chrX	1.23E+08	1.23E+08	+	Intergenic	-12954	NM_0012044 01	XIAP
chr13-10937	chr13	41786780	41787889	+	intron (NR_120423, intron 3 of 3)	-18623	NM_032138	KBTBD7
chr12-9635	chr12	77024160	77024961	+	Intergenic	-70971	NM_0013196 52	OSBPL8
chr1-32340	chr1	1.43E+08	1.43E+08	+	Intergenic	-174074	NR_106967	MIR6077
chr1-49474	chr1	1.75E+08	1.75E+08	+	TTS (NM_001243764)	-3279	NM_0010072 14	CACYBP
chr4-22083	chr4	1.7E+08	1.7E+08	+	Intergenic	-64427	NM_020870	SH3RF1
chr8-22051	chr8	41258386	41259877	+	Intergenic	-88950	NM_016099	GOLGA7
chr18-7675	chr18	14415576	14416328	+	Intergenic	78530	NR_026756	CYP4F35P
chr2-29289	chr2	90012275	90013284	+	Intergenic	900895	NR_039635	MIR4436A
chr4-7844	chr4	68099805	68100560	+	Intergenic	187536	NR_110747	LOC101927237
chr2-11101	chr2	2.25E+08	2.25E+08	+	Intergenic	15338	NM_022915	MRPL44
chr20-2971	chr20	4080478	4081105	+	Intergenic	-48635	NM_175840	SMOX
chr5-3265	chr5	71623886	71624511	+	intron (NM_001284404, intron 3 of 7)	8004	NM_0012844 04	PTCD2
chr16-11816	chr16	65234740	65236004	+	Intergenic	-24896	NR_110918	LINC02126
chr6-11624	chr6	47128718	47129473	+	Intergenic	-118996	NM_153840	ADGRF1
chr14-11144	chr14	1.05E+08	1.05E+08	+	Intergenic	10999	NM_0013081 74	PLD4
chr20-10191	chr20	30084292	30086156	+	Intergenic	11643	NR_024358	LINC00028
chr2-32290	chr2	1.47E+08	1.47E+08	+	Intergenic	-825955	NR_026904	PABPC1P2

chr3-2451	chr3	1.11E+08	1.11E+08	+	intron (NM_005816, intron 8 of 13)	-21496	NM_024508	ZBED2
chr19-12676	chr19	53811446	53812212	+	Intergenic	-16954	NM_033341	BIRC8
chr4-25906	chr4	32500524	32501370	+	Intergenic	148287	NR_134672	LOC101927363
chr15-14885	chr15	34034365	34035699	+	intron (NM_001243996, intron 52 of 102)	-225483	NM_0013209	CHRM5 17
chr3-5201	chr3	1.01E+08	1.01E+08	+	Intergenic	103607	NM_016247	IMPG2
chr6-18620	chr6	1.41E+08	1.41E+08	+	Intergenic	296413	NR_039675	MIR4465
chrUn_gI000224- 70	chrU n_gI0 0022 4	17134	20991	+	Intergenic	-83441	NR_135482	LOC100505874
chr15-685	chr15	39873531	39892314	+	intron (NM_003246, intron 14 of 21)	9642	NM_003246	THBS1
chr3-4440	chr3	7042172	7042797	+	intron (NM_000844, intron 1 of 9)	-106780	NR_131906	GRM7-AS2
chr17-15321	chr17	22203791	22204567	+	Intergenic	181742	NM_0011904 52	MTRNR2L1
chr1-16457	chr1	6698064	6698836	+	intron (NM_018198, intron 11 of 15)	13240	NM_0011957 52	THAP3
chr21-4073	chr21	15352097	15353014	+	non-coding (NR_027270, exon 1 of 6)	210	NR_027270	ANKRD20A11P
chr6-29197	chr6	58385554	58386536	+	Intergenic	-98321	NR_125729	LINC00680
chr7-2789	chr7	76637297	76637922	+	intron (NR_023383, intron 6 of 10)	27470	NR_023383	DTX2P1- UPK3BP1- PMS2P11
chr2-42878	chr2	2.16E+08	2.16E+08	+	intron (NM_054034, intron 6 of 12)	10637	NM_212482	FN1
chr4-4782	chr4	35910132	35910883	+	Intergenic	-335231	NR_122079	LOC439933
chr22-5369	chr22	18574279	18575496	+	Intergenic	14127	NM_0011276 49	PEX26
chr5-14966	chr5	33032675	33033553	+	Intergenic	85565	NR_033832	LINC02120

chr17-6804	chr17	19630535	19632141	+	Intergenic	-9046	NR_135624	SLC47A2
chrX-3180	chrX	79471586	79472338	+	Intergenic	118855	NR_110646	CHMP1B2P
chr6-15535	chr6	69814975	69815754	+	intron (NM_001704, intron 17 of 31)	469732	NM_001704	ADGRB3
chr14-8155	chr14	52830428	52831212	+	Intergenic	49804	NM_000956	PTGER2
chr14-2731	chr14	20291858	20292483	+	intron (NM_001004723, intron 1 of 1)	20241	NM_0010047 23	OR4N2
chrX-4661	chrX	57633889	57634783	+	Intergenic	16067	NM_007157	ZXDB
chr19-10019	chr19	57813035	57814085	+	Intergenic	-18305	NM_213598	ZNF543
chr13-6148	chr13	28427813	28428726	+	intron (NR_047484, intron 1 of 3)	61489	NM_145657	GSX1
chr22-5998	chr22	35931792	35932879	+	Intergenic	-5017	NM_014310	RASD2
chr2-29939	chr2	2.25E+08	2.25E+08	+	intron (NM_006216, intron 1 of 8)	26878	NR_073116	SERPINE2
chr18-7448	chr18	14969791	14972538	+	promoter-TSS (NR_110783)	-697	NR_110783	LINC01444
chr14-7514	chr14	33583113	33584006	+	intron (NM_001164749, intron 2 of 11)	175100	NM_0011647 49	NPAS3
chr2-41553	chr2	91749832	91751461	+	Intergenic	97329	NR_027238	LOC654342
chr3-19828	chr3	4813474	4814503	+	intron (NM_002222, intron 42 of 57)	-20714	NR_004428	EGOT
chr1-41015	chr1	1.53E+08	1.53E+08	+	Intergenic	-5857	NM_0011286 00	LCE6A
chr5-11940	chr5	17061988	17062881	+	Intergenic	-126049	NM_012334	MYO10
chr3-24262	chr3	1.84E+08	1.84E+08	+	intron (NM_001322103, intron 3 of 3)	27706	NM_0013221 03	LINC02054
chr12-17832	chr12	1.2E+08	1.2E+08	+	intron (NM_001136534, intron 1 of 2)	1444	NM_0011365 34	TMEM233
chr4-20453	chr4	31540701	31541813	+	Intergenic	368491	NR_125935	LOC102723778
chrUn_gI000224- 34	chrU	11024	11927	+	Intergenic	-91028	NR_135482	LOC100505874

0022
4

chr11-11418	chr11	59230483	59231387	+	Intergenic	6501	NM_0010047	OR4D6
						08		
chr14-15182	chr14	24109051	24110616	+	intron (NM_005794, intron 4 of 8)	4260	NM_182908	DHRS2
chr15-3346	chr15	86790760	86791386	+	exon (NM_152336, exon 7 of 25)	69126	NR_046012	AGBL1-AS1
chr12-15589	chr12	86036377	86037168	+	Intergenic	193546	NM_005447	RASSF9
chr4-8566	chr4	35794730	35795747	+	Intergenic	-450500	NR_122079	LOC439933
chr18-4812	chr18	48185217	48186122	+	intron (NM_001292039, intron 1 of 4)	99185	NM_0012920	MAPK4
chr2-33993	chr2	1.56E+08	1.56E+08	+	Intergenic	552389	NM_0012605	KCNJ3
						10		
chr10-17781	chr10	1.11E+08	1.11E+08	+	Intergenic	895290	NM_0013241	XPNPEP1
						36		
chrX-9823	chrX	68436329	68437355	+	Intergenic	37442	NR_103715	LINC00269
chr10-4865	chr10	67118276	67118904	+	Intergenic	-212593	NR_120647	LINC01515
chr3-28738	chr3	1.4E+08	1.4E+08	+	intron (NM_022131, intron 9 of 16)	-36968	NR_108084	CLSTN2-AS1
chr11-18945	chr11	32872707	32874296	+	intron (NM_024081, intron 5 of 5)	22020	NM_024081	PRRG4
chr5-4491	chr5	52166248	52166873	+	intron (NM_181501, intron 6 of 28)	82424	NM_181501	ITGA1
chr12-16638	chr12	48361313	48362488	+	intron (NM_001143842, intron 7 of 7)	4570	NM_0011438	TMEM106C
						41		
chr14-11308	chr14	21466392	21467821	+	promoter-TSS (NM_001256588)	216	NR_110139	LOC101929718
chr17-15420	chr17	66165073	66166124	+	Intergenic	-29203	NR_027283	LOC440461
chr12-8336	chr12	19555551	19556479	+	Intergenic	-36593	NM_0011141	AEBP2
						76		

chr18-2905	chr18	13823756	13825856	+	promoter-TSS (NM_005913)	-737	NM_005913	MC5R
chr6-15463	chr6	13984629	13985523	+	Intergenic	59652	NM_0011650	RNF182 33
chr17-10110	chr17	72565281	72566427	+	Intergenic	-2372	NM_0013240	LOC100130520 76
chrX-13440	chrX	64461029	64461924	+	Intergenic	-206852	NM_0011780	ZC4H2 32
chr18-5796	chr18	72924305	72926268	+	intron (NM_001308210, intron 1 of 1)	1802	NM_0013082	TSHZ1 10
chr5-7301	chr5	45113827	45114454	+	Intergenic	305113	NM_016640	MRPS30
chr2-9060	chr2	1.28E+08	1.28E+08	+	Intergenic	78380	NM_0013206	BIN1 34
chr16-11137	chr16	66398101	66399990	+	Intergenic	-1465	NM_001795	CDH5
chr7-13062	chr7	1.04E+08	1.04E+08	+	intron (NM_199000, intron 1 of 2)	177936	NR_034142	LHFPL3-AS1
chr18-6142	chr18	14430509	14431977	+	Intergenic	67462	NR_024076	CXADRP3
chr8-15354	chr8	70091759	70092527	+	Intergenic	-75718	NR_039986	LINC01592
chr1-22784	chr1	59495810	59496834	+	intron (NR_110626, intron 2 of 2)	10174	NR_110626	LINC01358
chr1-23978	chr1	1.76E+08	1.76E+08	+	Intergenic	-107107	NM_0012866	RFWD2 44
chr18-6672	chr18	7174462	7175263	+	Intergenic	-56275	NM_0011055	LRRC30 81
chr13-5224	chr13	43559484	43560363	+	intron (NM_001002264, intron 1 of 12)	6525	NM_0010022	EPSTI1 64
chr14-17162	chr14	83683366	83684535	+	Intergenic	-1594545	NR_110074	LINC01467
chr18-6278	chr18	61572468	61575430	+	Intergenic	-1275	NM_005024	SERPINB10
chr18-7569	chr18	14469693	14471529	+	Intergenic	28094	NR_024076	CXADRP3
chr1-20873	chr1	2.09E+08	2.09E+08	+	Intergenic	-162463	NR_135085	LINC01696
chr9-17816	chr9	68402364	68403907	+	Intergenic	-12173	NR_039689	MIR4477B

chr7-22350	chr7	89623552	89624437	+	intron (NR_110029, intron 2 of 2)	-124720	NR_003551	DPY19L2P4
chr2-36172	chr2	28631586	28632900	+	intron (NM_005253, intron 3 of 3)	-14704	NR_103831	FLJ31356
chr2-17998	chr2	1.57E+08	1.57E+08	+	intron (NR_110250, intron 1 of 3)	139391	NR_110250	LINC01876
chr21-3787	chr21	9849932	9852942	+	Intergenic	25234	NR_037458	MIR3687-1
chr1-10682	chr1	2.12E+08	2.12E+08	+	Intergenic	26833	NM_021194	SLC30A1
chr11-9657	chr11	1.32E+08	1.32E+08	+	intron (NM_001144058, intron 3 of 7)	-45666	NR_046820	NTM-IT
chr13-9103	chr13	95041545	95043633	+	intron (NM_005708, intron 7 of 8)	89347	NM_001922	DCT
chr5-3033	chr5	78048922	78049547	+	Intergenic	-104586	NM_005779	LHFPL2
chr3-4482	chr3	1.92E+08	1.92E+08	+	Intergenic	-45184	NM_004113	FGF12
chr18-2674	chr18	14868766	14869266	+	Intergenic	38851	NR_036153	MIR3156-2
chr15-9942	chr15	59886449	59887340	+	Intergenic	-17088	NM_004751	GCNT3
chr7-4231	chr7	1.01E+08	1.01E+08	+	exon (NM_000602, exon 5 of 9)	6782	NM_000602	SERPINE1
chr2-29827	chr2	1.75E+08	1.75E+08	+	Intergenic	-1305	NM_0011452	SP9 50
chr16-18006	chr16	46590496	46592388	+	intron (NR_026556, intron 4 of 16)	11567	NR_026556	ANKRD26P1
chr8-16861	chr8	54908294	54909186	+	intron (NR_109901, intron 4 of 11)	26276	NR_109902	TCEA1
chr6-2551	chr6	83420829	83422298	+	Intergenic	347602	NM_0011663	TPBG 92
chr5-14766	chr5	1.75E+08	1.75E+08	+	Intergenic	208769	NM_000794	DRD1
chr2-21518	chr2	2247167	2248075	+	intron (NM_001329845, intron 2 of 24)	-75383	NR_024468	MYT1L-AS1
chr12-20474	chr12	82281562	82282889	+	Intergenic	-65273	NR_110089	LOC101928449
chr21-4771	chr21	34216333	34217906	+	Intergenic	-31066	NM_0011624	C21orf62 96

chr10-12079	chr10	36111002	36111793	+	Intergenic	44167	NR_110138	PCAT5
chr2-9488	chr2	90143943	90144592	+	Intergenic	1032383	NR_039635	MIR4436A
chr1-15817	chr1	1.53E+08	1.53E+08	+	Intergenic	-6627	NM_178354	LCE1F
chr14-5255	chr14	20683328	20683954	+	Intergenic	-8228	NM_001004480	OR11H6
chr4-20578	chr4	94953747	94954534	+	Intergenic	174567	NR_125922	LOC101929210
chr18-7713	chr18	34073089	34073900	+	intron (NM_025135, intron 3 of 24)	169887	NR_132982	LOC105372071
chr19-13786	chr19	658811	660168	+	intron (NM_194460, intron 1 of 8)	3744	NM_194460	RNF126
chr2-14708	chr2	1.23E+08	1.23E+08	+	Intergenic	481300	NM_004622	TSN
chrX-9760	chrX	16866450	16867228	+	intron (NM_001198719, intron 10 of 11)	21139	NM_001198719	RBBP7
chr16-12157	chr16	56135853	56136912	+	intron (NR_027078, intron 2 of 4)	88624	NR_027078	LOC283856
chr4-15346	chr4	32931502	32932289	+	Intergenic	579235	NR_134672	LOC101927363
chr2-12541	chr2	2.16E+08	2.16E+08	+	Intergenic	44903	NM_004044	ATIC
chr13-2427	chr13	23980998	23981624	+	intron (NM_014363, intron 2 of 9)	-11799	NR_103450	SACS-AS1
chr2-45684	chr2	1.55E+08	1.55E+08	+	intron (NM_052917, intron 2 of 12)	-3727	NM_001301627	GALNT13
chr12-23022	chr12	1.28E+08	1.28E+08	+	Intergenic	-3914	NR_120451	LOC101927637
chr3-26708	chr3	1.66E+08	1.66E+08	+	Intergenic	-66500	NM_000055	BCHE
chr11-29327	chr11	31408635	31409474	+	intron (NM_181706, intron 2 of 4)	17677	NM_181706	DNAJC24
chr1-1709	chr1	86046841	86049511	+	exon (NM_001554, exon 4 of 5)	1732	NM_001554	CYR61
chr18-3599	chr18	34324069	34324945	+	intron (NM_025135, intron 20 of 24)	-81126	NR_132982	LOC105372071
chr18-4499	chr18	19859755	19860816	+	Intergenic	110887	NM_005257	GATA6
chr13-4980	chr13	98064143	98065035	+	Intergenic	-21886	NM_021033	RAP2A

chr2-23809	chr2	90018464	90019645	+	Intergenic	907170	NR_039635	MIR4436A
chr6-19736	chr6	1.64E+08	1.64E+08	+	Intergenic	19307	NR_134620	LOC102724152
chr2-5534	chr2	2.07E+08	2.07E+08	+	intron (NM_003812, intron 2 of 25)	33918	NM_003812	ADAM23
chr10-10438	chr10	68081616	68082771	+	intron (NM_001127384, intron 12 of 17)	-603599	NM_178011	LRRTM3
chrUn_gl000224-57	chrU n_gl0 0022 4	12813	16077	+	Intergenic	-88058	NR_135482	LOC100505874
chr7-7193	chr7	96672389	96673141	+	Intergenic	-18622	NM_005221	DLX5
chr11-8353	chr11	59897922	59898422	+	Intergenic	42035	NM_0012569	MS4A2 16
chr3-8337	chr3	1.47E+08	1.47E+08	+	Intergenic	-319102	NR_134937	LINC02032
chr2-23936	chr2	2.01E+08	2.01E+08	+	Intergenic	-172253	NR_004862	TYW5
chr13-550	chr13	98279764	98280389	+	Intergenic	193601	NM_021033	RAP2A
chr11-29319	chr11	27578588	27580361	+	intron (NR_033315, intron 2 of 6)	-42880	NR_107054	MIR8087
chr2-29308	chr2	1.01E+08	1.01E+08	+	Intergenic	-10549	NR_103730	LINC01104
chr18-7306	chr18	6993866	6995106	+	intron (NM_005559, intron 34 of 62)	39810	NR_126040	LOC101927188
chrX-10417	chrX	1.53E+08	1.53E+08	+	intron (NM_001110792, intron 1 of 2)	-20467	NR_031757	MIR718
chrX-11866	chrX	1.16E+08	1.16E+08	+	Intergenic	-144246	NM_0013214	LOC100126447 13
chr5-22756	chr5	911537	913408	+	intron (NM_004237, intron 10 of 12)	19503	NM_0011662	TRIP13 60
chr9-1661	chr9	85937292	85938042	+	intron (NM_001244959, intron 6 of 14)	9209	NM_0012449	FRMD3 61
chr8-9052	chr8	81838155	81839313	+	Intergenic	-51718	NM_0010337	ZNF704 23
chr15-3660	chr15	56776381	56777011	+	Intergenic	-19361	NM_018365	MNS1

chr15-7084	chr15	63361385	63366215	+	TTS (NM_001018008)	23164	NM_0010180 08	TPM1
chr16-4172	chr16	3342506	3343257	+	Intergenic	9394	NM_005741	ZNF263
chr4-23639	chr4	35773535	35774488	+	Intergenic	-471727	NR_122079	LOC439933
chr5-28835	chr5	95207897	95216160	+	Intergenic	24092	NR_026936	LINC01554
chr3-17947	chr3	13147145	13148942	+	Intergenic	-33426	NM_0011343 82	IQSEC1
chr1-10085	chr1	1.48E+08	1.48E+08	+	intron (NM_001037501, intron 18 of 19)	-19458	NR_049810	MIR5087
chr12-17021	chr12	1.15E+08	1.15E+08	+	exon (NM_005996, exon 1 of 7)	1266	NM_005996	TBX3
chr17-5330	chr17	33337049	33337674	+	non-coding (NR_037713, exon 7 of 7)	29844	NM_002311	LIG3
chr5-14322	chr5	55736872	55737788	+	Intergenic	40266	NR_104664	LINC01948
chr6-24354	chr6	1.18E+08	1.18E+08	+	intron (NM_173674, intron 1 of 14)	5372	NM_173674	DCBLD1
chr7-10961	chr7	1.35E+08	1.35E+08	+	Intergenic	-9580	NR_144293	AGBL3
chr9-15672	chr9	71061529	71062498	+	intron (NM_021965, intron 6 of 10)	-89231	NR_121192	PGM5-AS1
chr18-9218	chr18	14925001	14925920	+	Intergenic	-20806	NR_104164	LINC01443
chr1-11099	chr1	77980752	77981768	+	intron (NM_174858, intron 10 of 13)	167083	NM_015534	ZZZ3
chr14-2635	chr14	76155295	76155921	+	intron (NM_015072, intron 5 of 31)	28057	NM_015072	TTLL5
chr3-19048	chr3	12912257	12913173	+	Intergenic	13995	NR_136189	LINC02022
chr9-3679	chr9	35962067	35962962	+	Intergenic	-4363	NM_019897	OR2S2
chr21-1472	chr21	41973971	41974602	+	intron (NM_001389, intron 3 of 32)	28407	NR_046774	DSCAM-IT1
chr9-6230	chr9	67926278	67927049	+	promoter-TSS (NM_032250)	-98	NM_032250	ANKRD20A1
chr4-5507	chr4	42675032	42675657	+	Intergenic	-16222	NM_006095	ATP8A1

chr7-18725	chr7	1.43E+08	1.43E+08	+	intron (NR_046453, intron 1 of 21)	2746	NR_046453	CLCN1
chr17-9508	chr17	25314709	25315605	+	Intergenic	101110	NR_135673	LOC105371703
chr15-9744	chr15	1.01E+08	1.01E+08	+	promoter-TSS (NR_073405)	-155	NR_073405	PRKXP1
chr5-23943	chr5	1.71E+08	1.71E+08	+	Intergenic	35033	NR_037474	MIR3912
chr22-8294	chr22	50157396	50158464	+	Intergenic	61618	NM_0013048 09	BRD1
chr10-10090	chr10	1.19E+08	1.19E+08	+	Intergenic	-16413	NM_173791	PDZD8
chr5-18777	chr5	1.02E+08	1.02E+08	+	intron (NM_173488, intron 6 of 13)	48314	NM_0012890 04	SLCO6A1
chr1-52629	chr1	1.52E+08	1.52E+08	+	Intergenic	-27851	NM_0010099 31	HRNR
chr9-9349	chr9	80744785	80745544	+	Intergenic	-98799	NM_002072	GNAQ
chr2-22687	chr2	1.49E+08	1.49E+08	+	intron (NM_018328, intron 4 of 14)	-251884	NM_181742	ORC4
chr20-12380	chr20	865331	866249	+	exon (NM_001322809, exon 4 of 8)	31187	NM_0013228 09	ANGPT4
chr11-19224	chr11	60267793	60268684	+	intron (NM_001164470, intron 2 of 5)	7987	NM_0011644 70	MS4A12
chr19-13432	chr19	47322931	47323715	+	Intergenic	10638	NR_024258	SNAR-E
chr2-37390	chr2	2.25E+08	2.25E+08	+	intron (NM_006216, intron 1 of 8)	14615	NR_073116	SERpine2
chr3-16857	chr3	1.67E+08	1.67E+08	+	intron (NR_126353, intron 3 of 3)	14225	NR_126353	LINC01327
chr2-17103	chr2	1.05E+08	1.05E+08	+	Intergenic	-17134	NR_038231	LINC01114
chr1-51757	chr1	2.1E+08	2.1E+08	+	promoter-TSS (NM_005525)	-128	NM_005525	HSD11B1
chr1-15123	chr1	1.48E+08	1.48E+08	+	Intergenic	56620	NM_0011016 63	NBPF11
chr14-7585	chr14	24502175	24504312	+	intron (NR_102687, intron 1 of 3)	-2378	NR_102689	DHRS4L1

chr21-855	chr21	31708844	31709721	+	TTS (NM_001077711)	730	NM_0010777	KRTAP27-1 11
chr15-7354	chr15	34339471	34340367	+	intron (NM_012125, intron 2 of 2)	-8616	NM_020371	AVEN
chr6-18284	chr6	36648625	36658741	+	3' UTR (NM_001220777, exon 3 of 3)	7196	NM_0012207	CDKN1A 78
chr8-6985	chr8	83490568	83491324	+	Intergenic	-333393	NR_134295	LOC101927141
chr15-13112	chr15	33012686	33017724	+	intron (NM_013372, intron 1 of 1)	-4139	NR_109767	LOC100131315
chr3-14777	chr3	1.67E+08	1.67E+08	+	intron (NR_135545, intron 2 of 2)	26832	NR_135545	LOC105374194
chr9-15542	chr9	1.24E+08	1.24E+08	+	intron (NM_032552, intron 1 of 16)	69520	NM_032552	DAB2IP
chr2-31844	chr2	1.92E+08	1.92E+08	+	intron (NM_014905, intron 17 of 17)	53761	NM_139266	STAT1
chr2-16942	chr2	1.13E+08	1.13E+08	+	Intergenic	-22581	NM_032824	TMEM87B
chr4_gl000193_ra_ndom-69	chr4_gl000193_random	78229	80193	+	intron (NR_038377, intron 1 of 5)	9164	NR_038377	LINC01667
chr11-4802	chr11	57774337	57774962	+	Intergenic	-16704	NM_0010052	OR9Q1 12
chr5-24563	chr5	67818274	67819342	+	Intergenic	230412	NM_0012424	PIK3R1 66
chr20-3684	chr20	42309655	42310801	+	intron (NM_001278610, intron 2 of 12)	14569	NM_002466	MYBL2
chr12-3716	chr12	62560278	62560903	+	intron (NM_178539, intron 1 of 4)	26030	NM_178539	FAM19A2
chr7-18981	chr7	1.21E+08	1.21E+08	+	Intergenic	-151085	NM_002851	PTPRZ1
chr7-6097	chr7	23355918	23356543	+	intron (NM_006547, intron 12 of 14)	17290	NM_138446	MALSU1

chr1-19747	chr1	1.02E+08	1.02E+08	+	Intergenic	193353	NR_110212	OLFM3
chr6-8735	chr6	1.05E+08	1.05E+08	+	Intergenic	676467	NM_0013210 83	HACE1
chr3-3322	chr3	60596379	60597004	+	intron (NM_002012, intron 4 of 9)	6912	NR_128708	MIR548BB
chr5-19765	chr5	5165459	5167045	+	intron (NR_136935, intron 3 of 21)	25809	NM_139056	ADAMTS16
chr2-32821	chr2	1.34E+08	1.34E+08	+	intron (NM_207481, intron 4 of 17)	27756	NR_110294	LOC101928161
chr12-1629	chr12	1.04E+08	1.04E+08	+	intron (NM_017564, intron 5 of 68)	39931	NM_017564	STAB2
chr3-7028	chr3	1.64E+08	1.64E+08	+	Intergenic	254751	NR_031665	MIR1263
chr18-1344	chr18	5073236	5074119	+	Intergenic	123578	NM_0011451 94	AKAIN1
chr14-5581	chr14	66505072	66505832	+	Intergenic	-447637	NR_024338	LINC00238
chr15-4678	chr15	25841774	25843076	+	Intergenic	-158250	NM_000462	UBE3A
chr15-16105	chr15	21925452	21928450	+	Intergenic	13788	NR_027053	LOC646214
chr6-15798	chr6	9225440	9226537	+	Intergenic	573546	NR_004855	HULC
chr2-16937	chr2	1.05E+08	1.05E+08	+	Intergenic	-1294	NR_038231	LINC01114
chr13-8955	chr13	99393686	99394649	+	intron (NM_005073, intron 1 of 22)	10762	NM_005073	SLC15A1
chr12-15701	chr12	6334827	6336318	+	intron (NM_001330312, intron 2 of 7)	26090	NM_001769	CD9
chr10-16246	chr10	87307577	87308366	+	Intergenic	-29517	NR_038986	GRID1-AS1
chr18-6799	chr18	14747653	14748687	+	promoter-TSS (NM_001145029)	-69 29	NM_0011450	ANKRD30B
chr5-24073	chr5	49660461	49662186	+	Intergenic	75911	NM_198449	EMB
chr13-6798	chr13	34083545	34084820	+	intron (NM_001243476, intron 4 of 17)	166790 76	NM_0012434	STARD13
chr6-15396	chr6	1.18E+08	1.18E+08	+	Intergenic	101151	NM_138459	NUS1
chr7-22363	chr7	94060023	94063293	+	Intergenic	37785	NM_000089	COL1A2

chr6-11355	chr6	99318686	99319583	+	Intergenic	36554	NM_005604	POU3F2
chr4-16526	chr4	14405775	14406827	+	Intergenic	292709	NR_033931	LINC01085
chr2-33572	chr2	2.25E+08	2.25E+08	+	intron (NM_006216, intron 3 of 8)	33786	NR_073116	SERpine2
chr2-14712	chr2	1.31E+08	1.31E+08	+	Intergenic	-30939	NM_207312	TUBA3E
chr1-29880	chr1	91586020	91587158	+	Intergenic	-98777	NM_201269	ZNF644
chr21-4889	chr21	40823179	40824922	+	exon (NM_001317740, exon 1 of 6)	270	NM_007341	SH3BGR
chr9-19547	chr9	97883112	97884265	+	intron (NM_001243743, intron 10 of 14)	-35312	NR_036109	MIR3074
chr3-18661	chr3	75551788	75553013	+	Intergenic	-68134	NR_024241	FAM86DP
chr5-14650	chr5	39506122	39506905	+	Intergenic	-14020	NR_104632	LINC02104
chr18-6639	chr18	52279231	52280006	+	Intergenic	21228	NM_173629	DYNAP
chr3-10178	chr3	1.63E+08	1.63E+08	+	Intergenic	-12739	NR_033945	LINC01192
chr2-12371	chr2	18492473	18493521	+	Intergenic	248962	NM_020905	RDH14
chr10-17441	chr10	79595705	79596866	+	intron (NM_004747, intron 7 of 31)	90063	NM_004747	DLG5
chr5-23205	chr5	49849235	49850026	+	Intergenic	-112103	NM_0011780 55	PARP8
chr8-10137	chr8	586712	588264	+	intron (NM_001303100, intron 5 of 5)	-91707	NM_175075	TDRP
chr5-17189	chr5	5145703	5146575	+	intron (NR_136935, intron 2 of 21)	5696	NM_139056	ADAMTS16
chr2-10055	chr2	10654682	10655567	+	Intergenic	65270	NR_110597	LOC101929715
chr2-28398	chr2	60612398	60614236	+	intron (NR_132992, intron 1 of 1)	1263	NR_039631	MIR4432
chr3-33158	chr3	1.67E+08	1.67E+08	+	promoter-TSS (NR_135545)	-703	NR_135545	LOC105374194
chr10-11519	chr10	1.22E+08	1.22E+08	+	Intergenic	92061	NR_103717	LINC01561
chr15-13330	chr15	33027016	33033698	+	Intergenic	-19291	NR_109767	LOC100131315
chr12-3712	chr12	53253803	53254555	+	Intergenic	-11401	NM_173352	KRT78

chr2-37346	chr2	2.16E+08	2.16E+08	+	intron (NM_001306132, intron 36 of 44)	62002	NM_004044	ATIC
chr10-18418	chr10	1217729	1218987	+	Intergenic	12650	NR_015376	LINC00200
chr7-19799	chr7	64309444	64310527	+	intron (NR_073389, intron 2 of 2)	-53635	NM_021148	ZNF273
chr3-26532	chr3	83995504	83996259	+	Intergenic	922845	NR_033860	LINC00971
chr9-5718	chr9	74427132	74428022	+	Intergenic	-43777	NM_013390	TMEM2
chr1-44141	chr1	2.13E+08	2.13E+08	+	Intergenic	-16299	NR_125985	LINC01740
chr2-10406	chr2	1.51E+08	1.51E+08	+	intron (NM_005168, intron 3 of 5)	4391	NM_005168	RND3
chr18-1582	chr18	14978955	14979455	+	Intergenic	-8738	NR_110783	LINC01444
chr8-13786	chr8	1.37E+08	1.37E+08	+	intron (NM_006558, intron 6 of 8)	142561	NM_006558	KHDRBS3
chr20-12945	chr20	11735349	11736553	+	Intergenic	115412	NR_110635	LINC00687
chr2-6323	chr2	1.23E+08	1.23E+08	+	Intergenic	147247	NM_004622	TSN
chr18-8279	chr18	40511008	40512300	+	intron (NM_001272077, intron 3 of 5)	184003	NM_002930	RIT2
chr4-9774	chr4	53023877	53024783	+	Intergenic	106833	NM_145263	SPATA18
chr3-4481	chr3	1.65E+08	1.65E+08	+	intron (NR_125764, intron 1 of 5)	48096	NR_125764	LINC01322
chr10-8723	chr10	38439680	38440435	+	TTS (NM_001324256)	-24542	NR_024524	LOC100129055
chr18-4857	chr18	46574400	46575456	+	intron (NM_017653, intron 16 of 16)	1210	NR_039898	MIR4744
chr7-11570	chr7	96603123	96604048	+	intron (NR_015448, intron 2 of 2)	-31705	NM_005222	DLX6
chr2-6449	chr2	1.23E+08	1.23E+08	+	Intergenic	601403	NM_004622	TSN
chr18-3016	chr18	40439909	40440544	+	intron (NM_002930, intron 4 of 4)	255431	NM_002930	RIT2
chr10-22819	chr10	26726611	26728583	+	5' UTR (NM_019043, exon 2 of 15)	331	NM_019043	APBB1IP
chr9-9085	chr9	71011716	71012995	+	intron (NM_021965, intron 6 of 10)	-39573	NR_121192	PGM5-AS1

chr3-12160	chr3	84088069	84088825	+	Intergenic	830279	NR_033860	LINC00971
chrUn_gI000218-32	chrU n_gI0 0021 8	127873	129288	+	Intergenic	-31126	NR_037871	LOC100233156
chr2-37033	chr2	87575441	87577040	+	Intergenic	154331	NR_039929	MIR4771-2
chr11-27207	chr11	1.01E+08	1.01E+08	+	Intergenic	173379	NR_037485	MIR3920
chr10-14883	chr10	771347	772367	+	Intergenic	-36249	NM_014974	DIP2C
chr2-8432	chr2	1.75E+08	1.75E+08	+	intron (NR_038897, intron 1 of 2)	1394	NR_038897	LINC01305
chrX-9256	chrX	1.45E+08	1.45E+08	+	Intergenic	-207588	NM_0011440 04	SLTRK2
chr15-12465	chr15	20398043	20398829	+	Intergenic	-89561	NR_038836	CHEK2P2
chr7-21944	chr7	95592610	95593425	+	intron (NM_001278422, intron 5 of 15)	191199	NM_0011355 57	DYNC1I1
chr9-20931	chr9	2610700	2611477	+	intron (NR_015375, intron 1 of 3)	-10686	NM_0013222 26	VLDLR
chr8-13418	chr8	896545	897340	+	intron (NM_001346810, intron 2 of 14)	208394	NR_134292	LOC401442
chr7-16656	chr7	1.04E+08	1.04E+08	+	intron (NM_199000, intron 1 of 2)	120637	NM_199000	LHFPL3
chrX-12157	chrX	1.4E+08	1.4E+08	+	Intergenic	-23161	NR_031725	MIR320D2
chr4-10265	chr4	44018406	44019460	+	promoter-TSS (NR_131958)	55	NR_131959	LVCAT1
chr9-3129	chr9	18368162	18368787	+	Intergenic	-105605	NM_0010402 72	ADAMTSL1
chr6-22914	chr6	1.65E+08	1.65E+08	+	Intergenic	-212343	NR_131926	MEAT6
chr16-6708	chr16	61466302	61466956	+	Intergenic	-376959	NR_039624	MIR4426
chrX-10558	chrX	1.11E+08	1.11E+08	+	intron (NM_014289, intron 2 of 12)	8283	NM_014289	CAPN6
chr10-1534	chr10	25419810	25420435	+	intron (NR_120649, intron 6 of 7)	18135	NR_120649	LINC01516

chr12-12611	chr12	14707017	14707933	+	intron (NM_024829, intron 1 of 10)	-13191	NR_120465	PLBD1-AS1
chr5-17749	chr5	1.07E+08	1.07E+08	+	Intergenic	-266748	NR_104671	LINC01950
chr8-16626	chr8	88386667	88387548	+	intron (NM_173538, intron 10 of 10)	499189	NM_152418	DCAF4L2
chr5-3445	chr5	89716906	89717531	+	Intergenic	11401	NR_105024	LOC731157
chr5-8159	chr5	1.01E+08	1.01E+08	+	Intergenic	-632063	NM_005668	ST8SIA4
chr10-5294	chr10	2551168	2552187	+	Intergenic	-8023	NR_136146	LOC105376351
chr21-2887	chr21	28204940	28209546	+	Intergenic	10485	NM_006988	ADAMTS1
chr20-7779	chr20	7755466	7756285	+	Intergenic	165218	NM_017545	HAO1
chr1-40426	chr1	1.76E+08	1.76E+08	+	Intergenic	34562	NR_002998	SCARNA3
chr5-5504	chr5	20972503	20973148	+	Intergenic	-396843	NM_0012919 56	CDH18
chr10-14491	chr10	1.34E+08	1.34E+08	+	intron (NM_001318879, intron 2 of 11)	18756	NR_134911	STK32C
chr5-21589	chr5	1.7E+08	1.7E+08	+	intron (NM_014592, intron 1 of 7)	67875	NM_0012783 39	KCNIP1
chr16-949	chr16	13959918	13960544	+	Intergenic	-53783	NM_005236	ERCC4
chr18-2467	chr18	14510637	14511262	+	TTS (NM_001137671)	-12244	NR_024076	CXADRP3
chr14-15264	chr14	57578777	57579623	+	Intergenic	-156406	NR_026895	AP5M1
chr10-24952	chr10	56318987	56319839	+	intron (NM_001142771, intron 2 of 34)	48304	NR_031642	MIR548F1
chr9-8252	chr9	2319435	2320395	+	Intergenic	161459	NM_0012894 00	SMARCA2
chr5-2673	chr5	5658311	5659062	+	Intergenic	235900	NM_015325	ICE1
chr2-39984	chr2	1.23E+08	1.23E+08	+	Intergenic	448145	NM_004622	TSN
chr14-6674	chr14	21788019	21788912	+	intron (NM_020366, intron 11 of 23)	32329	NM_020366	RPGRIP1
chr9-14787	chr9	75778316	75792453	+	TTS (NM_000700)	18737	NM_000700	ANXA1
chr1-10064	chr1	17188268	17188768	+	Intergenic	-3002	NR_037446	MIR3675

chr6-17058	chr6	1.32E+08	1.32E+08	+	3' UTR (NM_001901, exon 5 of 5)	3029	NM_001901	CTGF
chr9-20642	chr9	74960852	74964748	+	Intergenic	16708	NM_0012782	ZFAND5 45

